

Universidad Nacional de San Luis (UNSL)

Facultad de Ciencias Físico Matemática y Naturales (FCFMyN)

Departamento de Matemática

**Tesis para aspirar al grado de:  
Doctor en Ciencias Matemáticas**

---

**Clasificación por 2-switch-degree de grafos  
split**

Tesis presentada por: Victor Nicolas Schvöllner

---

dirigida por: Dr. Adrián Pastine

# Índice general

<b>1. Introducción</b>	<b>1</b>
1.1. Nociones básicas y notación . . . . .	1
1.2. Preliminares . . . . .	12
<b>2. El grado de un grafo</b>	<b>23</b>
2.1. Vértices activos . . . . .	25
2.2. Espacio activo . . . . .	30
2.3. Propiedades básicas del grado . . . . .	32
2.4. Fórmulas explícitas . . . . .	35
2.5. Grado de árboles y unicíclicos . . . . .	41
<b>3. Cociente por gemelos</b>	<b>46</b>
3.1. Propiedades básicas . . . . .	47
3.2. Cociente en grafos split . . . . .	52
3.3. Cociente, diámetro y grafos activos . . . . .	55
3.4. Cociente y composición . . . . .	58
3.5. Índice cociente . . . . .	61
<b>4. Grafos asociados a los grafos split</b>	<b>67</b>
4.1. Relación entre $\Phi$ y $A_4$ . . . . .	68
4.2. Caracterización de los $\Phi$ simples . . . . .	72
4.3. Caminos y ciclos inducidos en $\Phi$ . . . . .	85
4.4. Configuración de flujo . . . . .	90
4.5. Grafos split lineales . . . . .	93
<b>5. La propiedad <math>\Delta</math></b>	<b>100</b>
5.1. De los grafos a la Teoría de Números . . . . .	101
5.2. Números $\Delta$ -primitivos . . . . .	110
5.3. Polinomios generadores . . . . .	113
5.4. Números sin la propiedad $\Delta$ . . . . .	116

<b>6. Grafos activos de grado bajo</b>	<b>128</b>
6.1. Grafos activos de grado 1 y 2 . . . . .	128
6.2. Grafos activos de grado 3 . . . . .	133
6.3. Grafos split primos de grado 4 . . . . .	137
<b>7. Conclusiones</b>	<b>142</b>
<b>A. Demostración del Lema 2.1.1</b>	<b>145</b>
<b>B. Familias intersecantes de conjuntos</b>	<b>149</b>

# Índice de figuras

1.1.	Representación en el plano de un grafo. . . . .	5
1.2.	Un camino de longitud 5 en un grafo conexo. . . . .	6
1.3.	Un camino de longitud 1 en un grafo desconexo. . . . .	6
1.4.	El ciclo 123451, de longitud 5, en el grafo $G$ . . . . .	7
1.5.	Un $C_6$ (a la izquierda) y un $P_4$ (a la derecha). . . . .	8
1.6.	$M_0, M_1$ y $M_2$ no son grafos simples. . . . .	8
1.7.	Un bosque de orden 12 y 4 componentes. . . . .	10
1.8.	Dos grafos isomorfos. . . . .	10
1.9.	Dos grafos no isomorfos. . . . .	11
1.10.	Los 11 grafos no-etiquetados de orden 4. . . . .	14
1.11.	Espacio de transición asociado a $\mathcal{G}(2^31^2)$ . . . . .	15
1.12.	Grafo split (vértices clique en negro, independientes en blanco). . . . .	18
1.13.	Representación standard de un grafo split . . . . .	20
1.14.	Composición de Tyshkevich entre $S \approx P_4$ y $G \approx C_4$ . . . . .	21
1.15.	La composición de Tyshkevich depende de la bipartición. . . . .	21
3.1.	$[G]$ es split (desbalanceado) pero $G$ no $(2K_2 \preceq G)$ . . . . .	52
3.2.	$[G]$ es split y activo pero $G$ no es split. . . . .	53
3.3.	$G$ es activo y $diam(G) = 3$ , pero $[G]$ no es activo. . . . .	58
4.1.	$\Phi$ es conexo pero $A_4$ no. . . . .	70
4.2.	$\deg(S) = \sigma_{ab} + \sigma_{ac} + \sigma_{bc} = 4 + 6 + 0 = 10$ . . . . .	73
4.3.	$N_\Phi(1) = N_\Phi(2)$ pero $N_1 \neq N_2$ . . . . .	75
4.4.	$N_2 \subset N_1$ pero $N_\Phi(2) \not\subset N_\Phi(1)$ . . . . .	75
4.5.	Triángulos permitidos en $\vec{\Phi}$ . . . . .	91
4.6.	Los $C_4$ prohibidos en $\vec{\Phi}$ . . . . .	92
4.7.	Los $C_4$ posibles en $\vec{\Phi}$ . . . . .	93
4.8.	$C_4(0121)$ (a la izquierda) y $C_4(0101)$ (a la derecha). . . . .	94
5.1.	Hipótesis del Teorema 5.1.5. . . . .	105
5.2.	Aplicación del Teorema 5.1.10 al caso $n = 24$ . . . . .	109

6.1. Los 3 multigrafos conexos de tamaño $\leq 2$ . . . . .	131
6.2. Los 6 grafos activos de grado $\leq 2$ . . . . .	132
6.3. Los 5 multigrafos conexos de tamaño 3. . . . .	134
6.4. Los 6 grafos primos de grado 3. . . . .	137
6.5. Izquierda: $\mathcal{G}(U_6)$ ; $G_i \approx U_6$ (centro), $H_1 \approx \overline{R_{211}}$ (derecha). . . . .	137
6.6. Los 12 multigrafos conexos de tamaño 4. . . . .	138
6.7. Los grafos split primos $D_{41}, D_{22}$ y sus complementos. . . . .	140
6.8. Los grafos split primos $F_{311}, F_{331}$ y sus complementos. . . . .	140
6.9. Los grafos split primos $R_{211}, R_{321}$ y sus complementos. . . . .	141

# Resumen y objetivos principales

La secuencia de grados de un grafo  $G$  es la lista de los grados de sus vértices. El 2-switch es una operación sobre un grafo  $G$  que reemplaza dos aristas disjuntas  $ab, cd \in G$  con dos aristas disjuntas que no están en  $G$  y que inciden en los vértices  $a, b, c$  y  $d$ . Esta operación preserva la secuencia de grados. Un resultado fundamental relacionado a este concepto se encuentra en [3] (pag. 24), y dice que, dados dos grafos con la misma secuencia de grados, se puede transformar uno en el otro por medio de una secuencia de 2-switches. El 2-switch-degree de  $G$ , o grado de  $G$ , es la cantidad de 2-switches que actúan sobre  $G$ . El objetivo principal de este trabajo es estudiar las propiedades de este nuevo parámetro estructural (lo cual se hace en el Capítulo 2) y desarrollar herramientas para poder clasificar ciertas familias de grafos en base al mismo (Capítulos 4 y 6). Más específicamente, nos enfocamos en los grafos split, grafos cuyo conjunto de vértices puede ser particionado en una clique y un conjunto independiente. Esta decisión se debe a la descomposición de Tyshkevich (ver [7], o el Teorema 1.2.6), según la cual todo grafo  $G$  puede escribirse de manera única como “producto”  $G_r \circ \dots \circ G_2 \circ G_1$  de grafos irreducibles, donde  $G_2, \dots, G_r$  son todos split y  $G_1$  es split si y solo si  $G$  lo es. En cierto sentido, esta descomposición juega para los grafos el papel que el Teorema Fundamental del Aritmética juega para los números enteros. Siguiendo esta analogía, es inmediato comparar los grafos split irreducibles con los números primos. Más aún, vamos a demostrar que el 2-switch-degree distribuye sobre la composición de Tyshkevich, es decir, “el grado del producto es la suma de los grados” (como para polinomios). Estos hechos justifican la importancia de estudiar primero la clasificación por grado de los grafos split antes de abordar el mismo problema para grafos cualesquiera. Aquí, es importante remarcar lo siguiente: los grafos de grado 0 son precisamente los grafos threshold, una sub-familia de grafos split muy estudiada en la literatura.

La herramienta más importante con la cual atacamos este problema es sin

duda el grafo factor  $\Phi(S)$  asociado a un grafo split  $S$ , el cual se introduce en el Capítulo 4. Este multigrafo codifica información sobre el grado de  $S$  mediante la multiplicidad de sus aristas, y lo hace usando solamente los vértices independientes de  $S$ . En principio, listar todos los grafos split irreducibles de un cierto grado se ve como una tarea demasiado difícil de llevar a cabo por inspección o fuerza bruta. Sin embargo, el grafo factor divide este gran problema en varios problemas más simples. En efecto, como el tamaño de  $\Phi(S)$  coincide con el grado de  $S$ , vamos a ver que es suficiente listar todos los multigrafos (no-etiquetados) conexos de tamaño fijo: a cada uno de estos le corresponderá una lista (a veces vacía) de grafos split primos, es decir, grafos split irreducibles cuyos vértices participan todos en algún 2-switch. Este método podrá verse en acción en el Capítulo 6, donde clasificaremos todos los grafos split primos de grado 1, 2, 3 y 4. El estudio del grafo factor lleva a investigar otros dos temas muy importantes, los cuales podrían verse como sub-objetivos de este trabajo: el cociente por gemelos y la propiedad  $\Delta$ .

El cociente por gemelos es el protagonista del Capítulo 3. Dos vértices se dice que son gemelos en un grafo  $G$  cuando sus vecindarios en  $G$  son esencialmente idénticos. En otras palabras, que un cierto vértice tenga gemelos en  $G$ , significa que tiene una o más “copias” de si mismo en  $G$ . Dado que “ser gemelos” es una relación de equivalencia, podemos cocientar a  $G$  por la misma, obteniendo un grafo cociente  $[G]$  donde esas copias han sido eliminadas. El estudio del cociente por gemelos es importante en este trabajo principalmente por dos razones. La primera la podemos ver en la Sección 4.2: si  $u$  y  $v$  son dos vértices independientes de  $S$  que son gemelos en  $S$ , entonces  $u$  y  $v$  son no-vecinos y gemelos en  $\Phi(S)$ . Más aún, cuando  $S$  es homogéneo (es decir, cuando todos sus vértices independientes tienen el mismo grado en  $S$ ), tenemos que  $u$  y  $v$  son no-vecinos en  $\Phi(S)$  si y solo si  $u$  y  $v$  son gemelos en  $S$ . La segunda razón por la cual el cociente por gemelos es importante en este trabajo radica en su “compatibilidad” con la descomposición de Tyshkevich. En efecto, en la Sección 3.4 demostramos que el cociente distribuye sobre  $\circ$ :  $[S \circ G] = [S] \circ [G]$ , siempre y cuando  $S$  sea un grafo split balanceado.

La propiedad  $\Delta$  se introduce en la Sección 5.1. Esta es particularmente bella e interesante, ya que representa una conexión entre la Teoría Estructural de Grafos y la Teoría de Números. Si  $n \in \mathbb{N}$ , decimos que  $n$  tiene la propiedad  $\Delta$  si existe una terna  $\{x, y, z\}$  de divisores de  $n$  tales que  $1 < x < y \leq z < \sqrt{n}$  y  $\frac{n}{x} - x = \frac{n}{y} - y + \frac{n}{z} - z$ . El Capítulo 5 se dedica por completo al estudio de los números que satisfacen o no esta condición. Sin embargo, los primeros avisos de una conexión con la Teoría de Números se presentan ya desde la Sección 4.2, cuando se proporciona la fórmula para calcular la multiplicidad de un arista  $uv$  en  $\Phi$ . La definición de la propiedad  $\Delta$  puede parecer un poco artificial hasta que se investigan los ciclos inducidos del grafo factor.

En la Sección 4.3 mostramos que tales ciclos solo pueden tener tamaño 3 o 4. Respecto de esto, la situación más “simétrica” que puede ocurrir en  $\Phi$  es que este contenga un triángulo  $n$ -simple, es decir, un ciclo de longitud 3 cuyas aristas tengan todas multiplicidad  $n$ . En tal caso, mostramos en la Sección 5.1 que, si  $\Phi(S)$  es un triángulo  $n$ -simple  $abca$  tal que  $\deg_S(a) < \deg_S(b) < \deg_S(c)$ , entonces  $n$  satisface la condición  $\Delta$ . Recíprocamente, si  $n$  tiene la propiedad  $\Delta$ , entonces existe un grafo split balanceado  $S$  tal que  $\Phi(S)$  es un triángulo  $n$ -simple  $abca$  con  $\deg_S(a) < \deg_S(b) < \deg_S(c)$ .

Antes de comenzar con el Capítulo 1, el cual brinda toda la notación y el conocimiento propedéutico a este trabajo, queremos aclarar que, todos los resultados de los Capítulos 2, 3, 4, 5, 6 y del Apéndice B, son originales, a menos que no se especifique lo contrario. El contenido del Apéndice A, en cambio, es una demostración original de un resultado ya conocido.

# Capítulo 1

## Introducción

### 1.1. Nociones básicas y notación

En esta sección vamos a introducir las nociones básicas de Teoría de Grafos con las cuales trabajaremos a lo largo de este texto. Acompañamos cada definición con oportunos ejemplos, comentarios y observaciones con el objetivo de ofrecer una mejor intuición sobre la misma. Comenzamos con la definición formal de grafo, junto con la de vértice y arista. A partir de esta, definimos orden, tamaño y complemento de un grafo, así como también el concepto de subgrafo y de igualdad entre grafos. Luego, mostramos como dibujar un grafo en el plano. Esto nos permite expresar muchos conceptos de forma más intuitiva. Es en este lenguaje que definimos conceptos como el de vecindad, grado de un vértice y secuencia de grados. Siguen a esto la definición de camino, la cual abre las puertas a muchas otras nociones estructurales como la de ciclo, conexidad y diámetro. Del resto de los conceptos que se introducen, cabe destacar el de multigrafo, digrafo, bosque, isomorfismo y clique.

Antes de comenzar a hablar de Teoría de Grafos, queremos aclarar/advertir que, en este texto:

- (1).  $0 \notin \mathbb{N}$ ;
- (2). si  $n \in \mathbb{N}$ , usaremos el símbolo  $[n]$  para referirnos al conjunto  $\{1, 2, \dots, n\}$ ;
- (3). a veces, escribiremos los conjuntos de un solo elemento sin llaves, es decir,  $a = \{a\}$ ;
- (4). de la misma manera, escribiremos a veces los conjuntos de dos elementos sin llaves ni coma, o sea,  $ab = \{a, b\}$ ;

- (5). la diferencia entre dos conjuntos,  $A$  y  $B$ , se va a denotar  $A - B$ ; es decir:  
 $A - B = \{a \in A \mid a \notin B\}$ .

El contexto evitará en todo caso eventuales ambigüedades de las notaciones en los ítems (3) y (4).

Un **grafo** es un par ordenado  $G = (V, E)$ , donde  $V$  es un conjunto y

$$E \subseteq \binom{V}{2} = \{W \subseteq V : |W| = 2\}.$$

Los elementos de  $V$  se llaman **vértices** y los de  $E$  se llaman **aristas**. En otras palabras, un grafo es un objeto determinado por un conjunto de vértices y por un conjunto de aristas, una colección de pares desordenados de vértices. Dos grafos  $G = (V, E)$  y  $G' = (V', E')$  son iguales si  $V = V'$  y  $E = E'$ . La cantidad  $|V|$  de vértices y la cantidad  $|E|$  de aristas se llaman, respectivamente, **orden** y **tamaño** del grafo  $G$ . Usaremos la notación  $|G|$  para el orden y  $\|G\|$  para el tamaño. Lo más común es presentar a un grafo  $G$  sin exhibirlo como par ordenado; en tal caso, usamos la notación  $V(G)$  y  $E(G)$  para referirnos, respectivamente, al conjunto de vértices de  $G$  y al conjunto de aristas de  $G$ .

El **complemento** de un grafo  $G = (V, E)$ , es el grafo  $\bar{G} = (V, E^c)$ , donde

$$E^c = \binom{V}{2} - E.$$

Si  $G = (V, E)$  y  $H = (V', E')$  es un grafo tal que  $V' \subseteq V$  y  $E' \subseteq E$ , entonces decimos que  $H$  es un **subgrafo** de  $G$  y denotamos esta relación con  $H \subseteq G$ . Si  $H \subseteq G$  y  $H \neq G$  entonces decimos que  $H$  es un subgrafo **propio** de  $G$  y denotamos esto con  $H \subset G$ . Usaremos esta misma notación para la contención propia entre conjuntos. Por ejemplo,

$$G = (\{x, y, z, t\}, \{\{x, z\}, \{x, t\}\})$$

es un grafo con 4 vértices y 2 aristas y

$$H = (\{x, y, z\}, \{\{x, z\}\})$$

es un subgrafo propio de  $G$ , de orden 3 y tamaño 1; el complemento de  $H$  es

$$\bar{H} = (\{x, y, z\}, \{\{x, y\}, \{y, z\}\}).$$

Un subgrafo  $H \subseteq G$  se dice que es un subgrafo **inducido** de  $G$  si para cada  $\{u, v\} \subseteq V(H)$  se cumple lo siguiente: si  $uv \in E(G)$ , entonces  $uv \in E(H)$ . Denotamos esta relación con el símbolo  $\preceq$ . Cuando  $H \preceq G$  pero  $H \neq G$ ,

podemos usar  $\prec$ . Si  $W = \{v_1, \dots, v_n\} \subseteq V(G)$ , denotamos con  $\langle W \rangle_G$  o con  $\langle v_1, \dots, v_n \rangle_G$  al subgrafo  $H \preceq G$  tal que  $V(H) = W$  y

$$E(H) = \{uv \in E(G) : u, v \in W\}.$$

En tal caso, decimos que  $H$  es el subgrafo de  $G$  inducido por  $W$  o por los vértices  $v_1, \dots, v_n$ . El “ $G$ ” en el subíndice de  $\langle W \rangle_G$  se puede omitir si el contexto es claro. Obviamente,  $H \preceq G$  implica  $H \subseteq G$ . Sin embargo, la recíproca no es cierta. Esto puede verificarse muy rápidamente tomando

$$H = (\{a, b\}, \emptyset) \subseteq (\{a, b, c\}, \{ab, bc\}) = G.$$

Luego,  $H$  no es inducido en  $G$ , pues  $ab \in E(G) - E(H)$ .

Si  $G = (V, E)$  es un grafo y  $E' \subseteq \binom{V}{2}$ , entonces

$$G + E' = (V, E \cup E'), \quad G - E' = (V, E - E').$$

Si  $V' \subseteq V$ , entonces

$$G - V' = \langle V - V' \rangle_G.$$

Cuando  $E' = \{e\} = \{ab\}$  y  $V' = \{v\}$ , es usual escribir  $G \pm e$ ,  $G \pm ab$  y  $G - v$ .

Un grafo  $G$  tiene una representación visual natural que consiste en pensar a los vértices como puntos distintos y etiquetados en el plano (es decir, a todo  $v \in V(G)$  le corresponde un punto en el plano etiquetado con “ $v$ ”). A un par cualquiera  $u, v$  de estos puntos se los une luego con una línea si y solo si  $uv \in E(G)$ . Al dibujo que resulta de este procedimiento se lo suele llamar **grafo etiquetado**. El mismo dibujo, pero privado de las etiquetas en los vértices, es en cambio un **grafo no-etiquetado**. Dos grafos no-etiquetados  $G$  y  $H$  se consideran iguales si es posible etiquetar a ambos de tal manera que resulten iguales como grafos. Dos vértices (puntos)  $a, b$  unidos por una arista (línea)  $ab$  se dicen **vecinos** (o **adyacentes**) y  $ab$  se dice **incidente** en  $a$  y  $b$ . Formalmente:  $u$  y  $v$  son vecinos en  $G$  si y solo si  $uv \in E(G)$ . El conjunto

$$N_G(v) = \{x \in V(G) : vx \in E(G)\},$$

de todos los vecinos de un vértice  $v$  en un grafo  $G$ , se denomina **vecindad** (o **vecindario**) de  $v$  en  $G$ . Obviamente,  $v \notin N_G(v)$ . Dos aristas  $ab, cd$  que no inciden en un mismo vértice se dicen **disjuntas** ( $ab \cap cd = \emptyset$ ). La cantidad de aristas que inciden sobre un vértice  $v$  en un grafo  $G$  se denomina **grado** de  $v$  en  $G$  y se puede denotar de diferentes maneras según el contexto:  $\deg_G(v)$ ,  $\deg(v)$ , o simplemente  $d_v$ . Es claro que  $0 \leq d_v \leq |G| - 1$ . Si  $d_v = 0$ , decimos que  $v$  es **aislado** (en  $G$ ). Si  $d_v = 1$ , se dice que  $v$  es una **hoja** (en  $G$ ). Finalmente, si  $d_v = |G| - 1$  (es decir, si  $N_G(v) = V(G) - v$ ), decimos

que  $v$  es **universal** (en  $G$ ). Un grafo  $k$ -**regular** es un grafo cuyos vértices tienen todos grado  $k$ . El “ $k$ ” puede omitirse si no es necesario especificarlo. Dado que usualmente  $V(G) = [n]$  para algún  $n$ , los grados de los vértices en  $G$  pueden disponerse en una  $n$ -upla

$$(d_i)_{i=1}^n = (d_1, \dots, d_n)$$

y formar lo que se llama **secuencia de grados**, que indicaremos con  $s(G)$  o simplemente  $s$ , si el contexto no da lugar a ambigüedades. Por ejemplo, si  $G = ([4], \{12, 23\})$ , entonces  $s(G) = (1, 2, 1, 0)$ . Si etiquetamos los vértices de  $G$  de modo que  $d_1 \geq \dots \geq d_n$ , entonces podemos reescribir a  $s$  de la siguiente manera más compacta:

$$s = d_{n_1}^{\alpha_1} \dots d_{n_k}^{\alpha_k},$$

donde  $\{n_i : i \in [k]\} \subseteq [n]$ ,  $d_{n_1} > \dots > d_{n_k}$  y

$$\alpha_i = |\{v \in V(G) : d_v = d_{n_i}\}|.$$

Esta forma de expresar a  $s$  es útil sobre todo para grafos no-etiquetados, ya que en estos solo es relevante conocer, para cada  $i$ , la cantidad  $\alpha_i$  de vértices de grado  $d_{n_i}$ . Dos secuencias de grados  $(d_i)_{i=1}^n$  y  $(\delta_i)_{i=1}^m$  de grafos etiquetados, son iguales si y solo si  $n = m$  y  $d_i = \delta_i$  para todo  $i \in [n]$ . Por otro lado, dos secuencias de grados  $d_1^{\alpha_1} \dots d_n^{\alpha_n}$  y  $\delta_1^{\beta_1} \dots \delta_m^{\beta_m}$  de grafos no-etiquetados, son iguales si y solo si  $n = m$  y

$$\{(d_i, \alpha_i) : i \in [n]\} = \{(\delta_i, \beta_i) : i \in [n]\}.$$

Un hecho básico pero muy importante sobre las secuencias de grados es el que se conoce en la literatura como “**Lema de apretón de manos**”, el cual establece que

$$\sum_{v \in V(G)} \deg_G(v) = 2\|G\|,$$

para todo grafo  $G$ . Con el símbolo  $\mathcal{G}(s)$  denotamos el conjunto de todos los grafos cuya secuencia de grados es  $s$ . Si  $X$  es un grafo, el símbolo  $\mathcal{G}(X)$  significa  $\mathcal{G}(s(X))$ . Dependerá del contexto si los miembros de  $\mathcal{G}(s)$  serán considerados etiquetados o no. Dada una secuencia arbitraria de enteros  $s$ , no siempre existe un grafo  $G$  tal que  $s(G) = s$ . Una secuencia **gráfica** es una secuencia  $s$  de enteros tal que  $\mathcal{G}(s) \neq \emptyset$ . En general, puede haber más de un grafo asociado a una cierta secuencia gráfica.

En la Figura 1.1 tenemos representado un grafo  $G$  de orden 12 y tamaño 11. Su secuencia de grados es

$$s(G) = (3, 3, 2, 4, 3, 1, 2, 1, 1, 1, 1, 0).$$

Imaginando  $G$  sin etiquetas, podríamos escribir

$$s = 4^1 3^3 2^2 1^5 0^1.$$

$G$  tiene 5 hojas (los vértices 6, 8, 9, 10, 11), un vértice aislado (el 12) y no tiene vértices universales. Las aristas  $\{4, 5\}$  y  $\{10, 11\}$ , las cuales son disjuntas, pertenecen a  $G$ , mientras que la arista 56 no. Por otra parte, 87 y 74 no son disjuntas porque ambas inciden sobre el vértice 7. La vecindad del vértice 5 es el conjunto  $\{2, 5, 9\}$ , mientras que  $N_G(12) = \emptyset$ . El grafo

$$H = (\{2, 3, 4, 5\}, \{23, 34, 45\})$$

es un subgrafo propio de  $G$ . Sin embargo,  $H$  no es inducido en  $G$ , pues  $25 \notin E(H)$ .

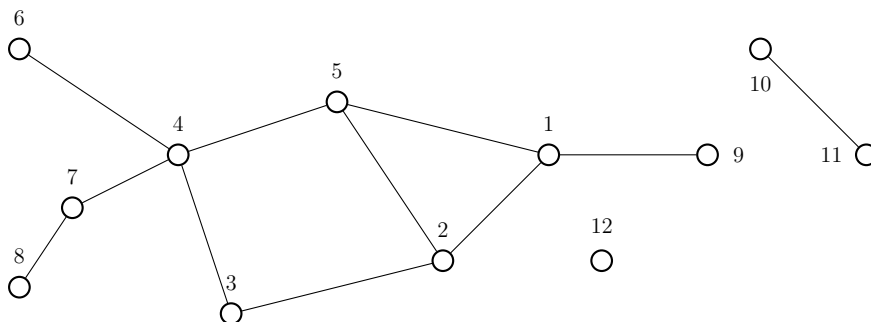


Figura 1.1: Representación en el plano de un grafo.

Un **camino** en  $G$  es una sucesión  $v_1 \dots v_n$  de vértices distintos de  $G$  con la propiedad de que  $v_i v_{i+1} \in E(G)$ , para todo  $i \in [n-1]$ ,  $n \geq 2$ . Llamamos  $v_1$  vértice **inicial** del camino y  $v_n$  vértice **final**. La **longitud** de un camino  $v_1 \dots v_n$  es la cantidad de aristas que lo compone (es decir,  $n-1$ ). Toda sucesión de un solo vértice se considera un camino de longitud 0.

Decimos que  $G$  es **conexo** si para todo par de vértices en  $G$  existe un camino que los conecta; de lo contrario, decimos que  $G$  es **disconexo** (o que  $G$  no es conexo). Asumimos conexo a todo grafo de orden 0 y 1. Una **componente conexa** (o componente) de  $G$  es un subgrafo conexo maximal de  $G$ , es decir, un subgrafo conexo que no está propiamente contenido en ningún otro subgrafo conexo de  $G$ . En su representación visual,  $G$  se ve partido en al menos dos “piezas” disjuntas cuando es desconexo. La **distancia** entre  $u, v \in V(G)$  en  $G$ , denotada por  $dist_G(u, v)$  es la longitud del camino más corto, en  $G$ , entre  $u$  y  $v$ . Si  $u$  y  $v$  están en componentes distintas de  $G$ , entonces definimos  $dist_G(u, v) = \infty$ . Podemos omitir el subíndice “ $G$ ” si el

grafo al cual nos referimos es claro desde el contexto. Todo grafo equipado con  $dist(*, *)$  se convierte en un espacio métrico, ya que  $dist(*, *)$  cumple todos los requerimientos usuales de una función distancia. El **diámetro** de  $G$ , denotado por  $diam(G)$  es la máxima distancia entre dos vértices de  $G$ . Obviamente, todo grafo de orden 1 tiene diámetro 0, mientras que todo grafo desconexo tiene diámetro  $\infty$ .

En la Figura 1.2 se muestra el camino 745219, de longitud 5, en un grafo conexo de orden 10. En la Figura 1.3, en cambio, podemos ver el camino 21, de longitud 1, en un grafo desconexo de 3 componentes.

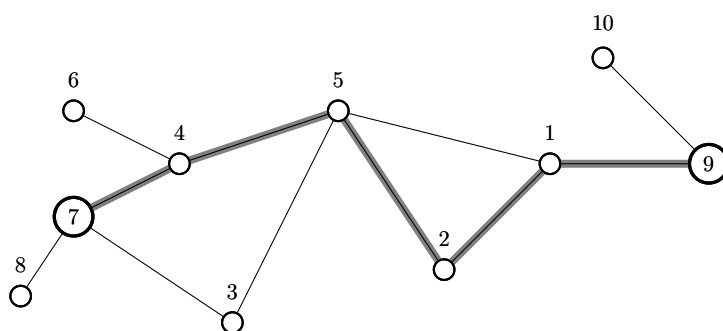


Figura 1.2: Un camino de longitud 5 en un grafo conexo.

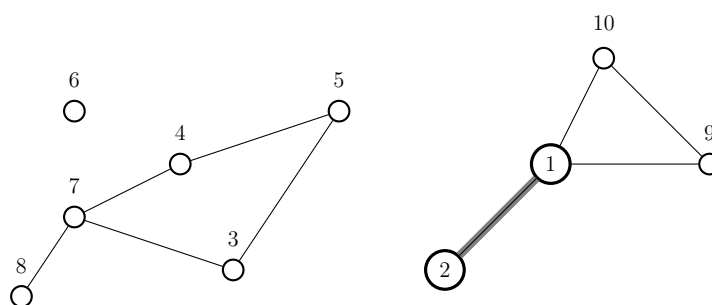


Figura 1.3: Un camino de longitud 1 en un grafo desconexo.

Sean  $G = (V, E)$  y  $G' = (V', E')$  dos grafos. Si  $V \cap V' = \emptyset = E \cap E'$ , decimos que  $G$  y  $G'$  son **disjuntos** e indicamos esta relación con  $G \cap G' = \emptyset$ . En tal caso, podemos “unir”  $G$  con  $G'$  para formar el grafo

$$G \cup G' = (V \cup V', E \cup E').$$

Por otra parte, si  $G$  tiene  $k$  componentes  $G_i$ , entonces podemos escribir

$$G = \dot{\bigcup}_{i=1}^k G_i,$$

pues las componentes son disjuntas de a pares. Cuando  $G$  es no-etiquetado y todas sus componentes son iguales al grafo no-etiquetado  $H$ , es usual la notación  $G = kH$ . Por ejemplo, si  $K_2$  es la versión no-etiquetada del grafo  $(\{a, b\}, \{ab\})$ , entonces  $2K_2$  es la versión no-etiquetada del grafo  $([4], \{12, 34\})$ . Si  $V \cap V' = \emptyset$ , se dice que  $G$  y  $G'$  son disjuntos **por vértices**; si  $E \cap E' = \emptyset$ , decimos que  $G$  y  $G'$  son disjuntos **por aristas**. Notemos que si  $G$  y  $G'$  son disjuntos por vértices, entonces también son disjuntos por aristas.

Un **ciclo** en un grafo  $G$  es una sucesión  $v_1 \dots v_n v_{n+1}$  de vértices de  $G$  tales que  $n \geq 3$ ,  $v_1 \dots v_n$  es un camino en  $G$ ,  $v_{n+1} = v_1$  y  $v_1 v_n \in E(G)$ . En otras palabras, un ciclo es esencialmente un camino en  $G$  al cual se le agrega una arista entre el vértice inicial y el vértice final para cerrarlo. Así, cualquier vértice del ciclo es al mismo tiempo un vértice inicial y final. La **longitud** de un ciclo  $v_1 \dots v_n v_{n+1}$  es la cantidad de aristas (o de vértices distintos) que lo compone (es decir,  $n$ ). Es claro que un ciclo (camino) en  $G$  es un subgrafo de  $G$ . Por ende, dos ciclos (caminos) en  $G$  son iguales si y solo si son iguales como grafos. Los grafos que contienen un solo ciclo son llamados **unicíclicos**.

En la Figura 1.4 tenemos el ciclo 123451, de longitud 5, en un grafo conexo  $G$  de orden 11. Obsérvese que  $G$  contiene también ciclos de longitud 3, 4 y 6. La sucesión de vértices  $w = 547345$  no es un ciclo pues  $54734$  no es un camino (el vértice 4 se repite). En otras palabras,  $w$  es una “trayectoria cerrada” sobre el grafo, pero se autointerseca. La sucesión 787 tampoco es un ciclo, ya que solo usa 2 vértices distintos.

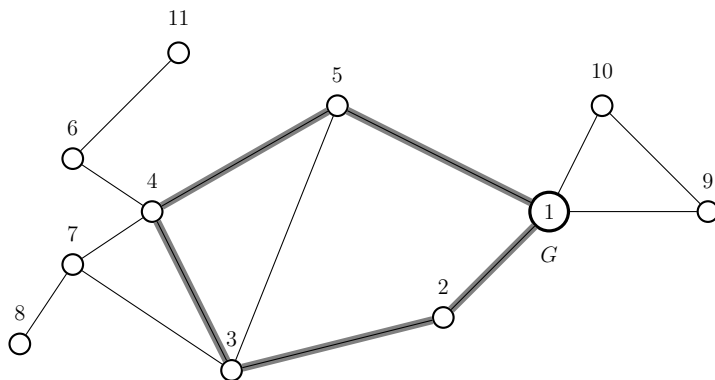


Figura 1.4: El ciclo 123451, de longitud 5, en el grafo  $G$ .

Los términos camino y ciclo también se usan frecuentemente para referirse a grafos que tienen esa misma estructura. Más precisamente, decimos que  $G$  es un camino (ciclo) si existe un camino (ciclo) en  $G$  que use todas sus aristas. Claramente, los caminos (ciclos) son grafos conexos y todos los caminos (ciclos) en un grafo pueden verse como subgrafos conexos del mismo. Denotamos con  $P_n$  a los caminos no-etiquetados de orden  $n \geq 2$  (y tamaño  $n - 1$ ) y con  $C_n$  a los ciclos no-etiquetados de orden (y tamaño)  $n \geq 3$ . Obviamente,  $C_n$  es unicíclico.

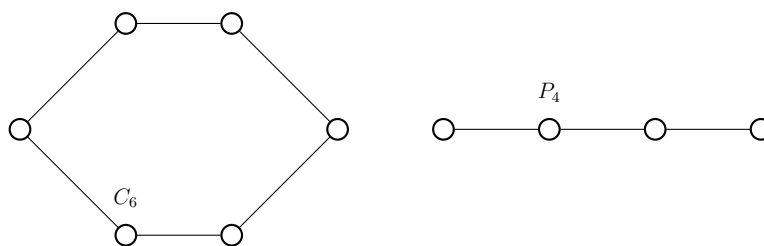


Figura 1.5: Un  $C_6$  (a la izquierda) y un  $P_4$  (a la derecha).

Observemos que la misma definición que dimos de grafo prohíbe la existencia de ciclos de longitud 1 y 2 en  $G$ . Estos se denominan, respectivamente, **loops** (o **bucles**) y aristas **paralelas**. A lo largo de la literatura matemática, definiciones más generales de grafo pueden permitir este tipo de situaciones y por lo tanto se suele distinguir con el atributo de **simple** a un grafo que no tenga loops ni aristas paralelas; por ende, remarcamos que “grafo” será sinónimo de “grafo simple” a lo largo de este trabajo, a menos que no se especifique lo contrario. Con el símbolo  $\mathcal{G}_n$  denotamos el conjunto de todos los grafos simples de orden  $n$ . Los miembros de  $\mathcal{G}_n$  podrán considerarse etiquetados o no, dependiendo del contexto. En la Figura 1.6 se muestran 3 ejemplos de grafos que no son simples.

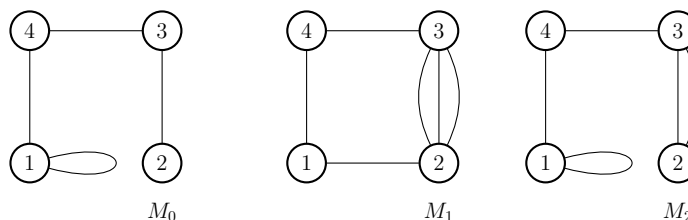


Figura 1.6:  $M_0$ ,  $M_1$  y  $M_2$  no son grafos simples.

En un contexto más general donde se permiten grafos con loops y aristas

paralelas, entra en juego el concepto de multigrafo. Formalmente, un **multigrafo**  $M$  es un par  $(V, E)$  donde  $V = V(M)$  es un conjunto de vértices y  $E = E(M)$  es un **multiconjunto** de aristas, es decir, un conjunto de aristas donde se admiten repeticiones de las mismas, así como también pares ordenados de la forma  $(v, v)$ , los cuales representan los bucles de  $v$  en si mismo. La cantidad de repeticiones de  $e \in E(M)$  se denomina **multiplicidad** y se denota con  $\sigma_e(M)$ , o con  $\sigma_e$  si el multigrafo al cual nos referimos es claro desde el contexto. Claramente,  $e \notin E(M)$  si y solo si  $\sigma_e(M) = 0$ . En estos términos, un multigrafo  $M$  sin loops es un grafo simple si  $\sigma_e(M) = 1$  para todo  $e \in E(M)$ . Alternativamente: un multigrafo  $M$  sin loops es simple si

$$\sigma_{uv}(M) \in \{0, 1\},$$

para todo  $\{u, v\} \subseteq V(M)$ . Dos multigrafos  $M = (V, E)$  y  $M' = (V', E')$  son iguales si  $V = V'$  y

$$\sigma_{uv}(M) = \sigma_{uv}(M'),$$

para todo  $\{u, v\} \subseteq V$ . Usamos la notación  $me$  para indicar que hay  $m \geq 2$  copias del elemento  $e \in E(M)$ . Obviamente,  $m = \sigma_e(M)$ . Por ejemplo, en la Figura 1.6 tenemos que

$$E(M_2) = \{(1, 1), \{1, 4\}, \{3, 4\}, 2\{2, 3\}\}.$$

Un **digrafo** (o **grafo dirigido**) es un par  $D = (V, E)$  donde  $V$  es un conjunto de vértices y

$$E \subseteq \{(x, y) : x, y \in V, x \neq y\}.$$

Los elementos de  $E$  se denominan **arcos** o **aristas dirigidas**. Un arco  $(x, y)$  es esencialmente una arista entre  $x$  e  $y$  orientada desde  $x$  hacia  $y$ ; se representa como una flecha saliente de  $x$  y entrante en  $y$ . En pocas palabras, un digrafo es un grafo con aristas dirigidas y sin loops. Cuando  $(a, b), (b, a) \in E$ , podemos dibujar una arista no-dirigida  $\{a, b\}$  entre  $a$  y  $b$ , y decimos que  $D$  “contiene la arista  $\{a, b\}$ ”. Mientras no haya ambigüedades, ni se genere confusión con las aristas no-dirigidas, podemos escribir  $xy$  en lugar de  $(x, y)$  e  $yx$  en lugar de  $(y, x)$ . Dos digrafos  $D = (V, E)$  y  $D' = (V', E')$  son iguales si y solo si  $V = V'$  y  $E = E'$ .

Atención! A menos que no se especifique lo contrario, a lo largo de este trabajo cualquier concepto/procedimiento definido sobre grafos simples se considerará definido/aplicable a multigrafos/digrafos ignorando las multiplicidades/direcciones de sus aristas.

Un **bosque** es un grafo acíclico, es decir, que no contiene ciclos. Un **árbol** es un bosque conexo. Claramente,  $P_n$  es un árbol y  $C_n$  no es un bosque. Las siguientes afirmaciones son equivalentes a que  $T$  sea un árbol:

- (1).  $T$  es conexo y  $\|T\| = |T| - 1$ ;
- (2). dos vértices cualesquiera en  $T$  están conectados por un único camino;
- (3). para cada  $e \in E(T)$ , el grafo  $(V(T), E(T) - e)$  es desconexo;
- (4). para cada  $e \notin E(T)$ , el grafo  $(V(T), E(T) \cup e)$  es unicyclico.

Otra familia importante de árboles son las **estrellas**  $S_n$  de orden  $n \geq 3$ . Estas son árboles cuya cantidad de hojas es exactamente  $n - 1$ . En la Figura 1.7, podemos ver un bosque de orden 12 y de 4 componentes. Cada componente es un árbol y la que contiene el vértice 10 es una estrella.

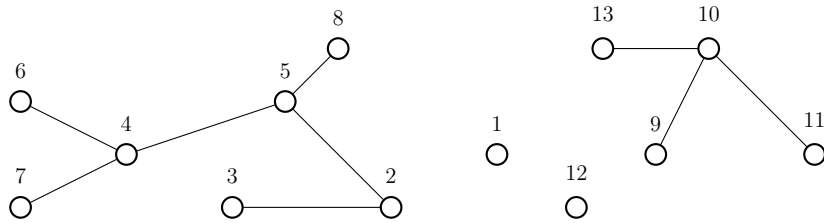


Figura 1.7: Un bosque de orden 12 y 4 componentes.

Dos grafos  $G = (V, E)$  y  $G' = (V', E')$  son **isomorfos** si existe una función biyectiva  $\varphi : V \rightarrow V'$  tal que  $uv \in E$  si y solo si  $\varphi(a)\varphi(b) \in E'$ . De lo contrario, decimos que  $G$  y  $G'$  no son isomorfos. Al cumplir estas condiciones, decimos que  $\varphi$  es un **isomorfismo** entre  $G$  y  $G'$ .

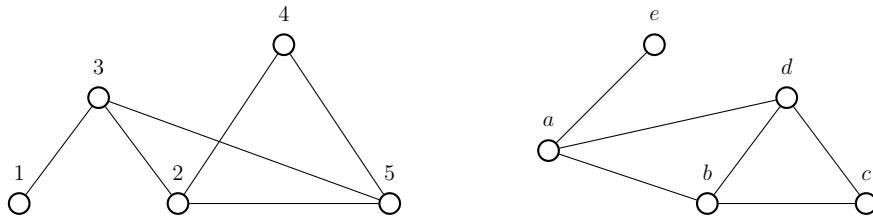


Figura 1.8: Dos grafos isomorfos.

Los dos grafos en la Figura 1.8 son isomorfos. Siendo  $V = [5]$  y  $V' = \{a, b, c, d, e\}$  definimos  $\varphi : V \rightarrow V'$  como:  $\varphi(1) = e, \varphi(2) = b, \varphi(3) = a, \varphi(4) = c$  y  $\varphi(5) = d$ . Es fácil verificar ahora que  $\varphi$  es biyectiva y preserva las relaciones de vecindad.

La relación de isomorfismo entre  $G$  y  $G'$  se denota con  $G \approx G'$  y no es difícil verificar que es una relación de equivalencia. Consecuentemente,

la relación  $\approx$  particiona el conjunto de todos los grafos etiquetados de  $n$  vértices en clases disjuntas llamadas **clases de isomorfismo** (o sea, todos los posibles grafos no-etiquetados de orden  $n$ ). Intuitivamente, dos grafos isomorfos son esencialmente iguales en todas esas características estructurales que no dependen de las etiquetas que se le dan a los vértices. Es claro de la definición que hay condiciones necesarias básicas para que dos grafos sean isomorfos. Algunas de estas son: mismo orden y tamaño, misma cantidad de vértices de un cierto grado, misma cantidad de ciclos y de componentes conexas. Sin embargo, como muestra el ejemplo a continuación, ni siquiera el cumplimiento de todas ellas juntas es en general suficiente. De hecho, para grafos de orden alto, es muy difícil en general decidir si son o no isomorfos. Cuando  $G$  y  $G'$  no son isomorfos, utilizamos la notación  $G \not\approx G'$ .

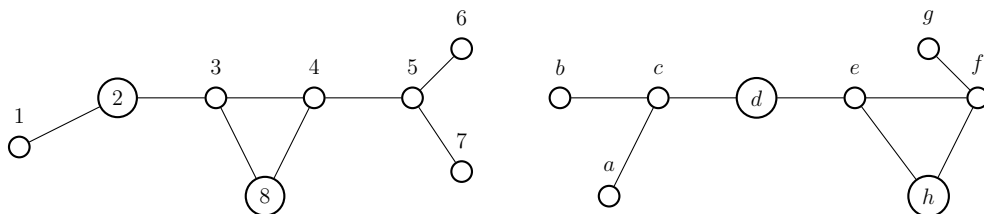


Figura 1.9: Dos grafos no isomorfos.

Los dos unicíclicos en la Figura 1.9 no son isomorfos. Para convencerse de esto, alcanza con mirar las vecindades de los vértices de grado 2. El vértice 2 en el grafo izquierdo es vecino de una hoja, pero en el grafo derecho ni  $d$  ni  $h$  tiene esta característica.

Un concepto más general que el de isomorfismo es el de **homomorfismo**. Decimos que dos grafos  $G = (V, E)$  y  $G' = (V', E')$  son **homomorfos** si existe una función  $\varphi : V \rightarrow V'$  que cumpla lo siguiente: si  $uv \in E$ , entonces  $\varphi(u)\varphi(v) \in E'$ . Observemos que todo isomorfismo  $\varphi$  es un homomorfismo biyectivo tal que  $\varphi^{-1}$  también es un homomorfismo. Si  $\varphi$  es un isomorfismo entre  $G$  y  $G'$ , entonces  $H \preceq G$  si y solo si  $\varphi(H) \preceq G'$ , pues los isomorfismos preservan adyacencias y no-adyacencias. Sin embargo, esto no es cierto en general cuando  $\varphi$  es un homomorfismo. En tal caso, lo que vale es que  $H \preceq G$  implica  $\varphi(H) \subseteq G'$ .

Decimos que  $G = (V, E)$  es **completo** si  $V \neq \emptyset$  y

$$E = \binom{V}{2},$$

es decir, todo par de vértices en  $G$  está conectado por un arista (equivalentemente, todo  $v \in V$  es universal). Si  $E = \emptyset$  y  $V \neq \emptyset$  decimos que  $G$  es **vacío**, es decir,  $G$  está formado solamente por vértices aislados, pues no posee aristas. Notemos que  $G$  es completo si y solo si  $\overline{G}$  es vacío. Finalmente, se dice que  $G$  es **nulo** cuando  $V = \emptyset = E$ . Es claro que, salvo isomorfismo, hay un único grafo completo/vacío/nulo. Para  $n \geq 1$ , denotamos con  $K_n$  al grafo completo (no-etiquetado) de orden  $n$ . Por ende,  $\overline{K_n}$  es el grafo vacío de orden  $n$ . Un **triángulo** en un grafo  $G$  es un subgrafo de  $G$  isomorfo a  $K_3$ . Un triángulo en un multigrafo  $M$  (digrafo  $D$ ) es un subgrafo de  $M$  (de  $D$ ) que es isomorfo a  $K_3$  si se ignoran las multiplicidades de sus aristas (si se ignora la dirección de sus arcos). El grafo **trivial** es el grafo completo (o vacío) de orden 1, es decir,  $K_1$ . Por último, denotamos el grafo nulo con  $K_0$ .

Un conjunto **independiente** (dependiendo del contexto, la palabra “conjunto” puede omitirse) en un grafo  $G$  es un subconjunto de vértices de  $G$  tales que dos cualesquiera de ellos no son vecinos en  $G$ . En otras palabras,  $I$  es un conjunto independiente en  $G$  si  $\langle I \rangle_G$  es vacío. Un conjunto **independiente máximo** en  $G$  es un (conjunto) independiente en  $G$  cuyo tamaño es el máximo posible para  $G$ . El **número de independencia** de  $G$ , denotado por  $\alpha(G)$ , es el tamaño de un independiente máximo en  $G$ .

Una **clique** en  $G$  es subconjunto de vértices de  $G$  tales que dos cualesquiera de ellos son vecinos en  $G$ . En otras palabras,  $K$  es una clique en  $G$  si  $\langle K \rangle_G$  es completo. Una **clique máxima** en  $G$  es una clique en  $G$  cuyo tamaño es el máximo posible para  $G$ . El **número de clique** de  $G$ , denotado por  $\omega(G)$ , es el tamaño de una clique máxima en  $G$ . Es claro de las definiciones que todo conjunto independiente en  $G$  es una clique en  $\overline{G}$ , y viceversa. Luego,  $\alpha(G) = \omega(\overline{G})$  y  $\omega(G) = \alpha(\overline{G})$ .

## 1.2. Preliminares

En la literatura matemática se suele definir un **2-switch** sobre  $G$  de la siguiente manera (ver [3], pag. 23). Sea  $G$  un grafo que contiene cuatro vértices distintos  $a, b, c, d$  tales que  $ab, cd \in G$  y  $ac, bd \notin G$ . Un 2-switch en  $G$  es un proceso que elimina las aristas  $ab$  y  $cd$  desde  $G$  y agrega las aristas  $ac$  y  $bd$ . Sin embargo, en este trabajo, usaremos otra definición (ver [5], pag. 5, o [4], pag. 3). Un 2-switch es una función  $\tau = \begin{pmatrix} a & b \\ c & d \end{pmatrix} : \mathcal{G}_n \rightarrow \mathcal{G}_n$  tal que:

(1).

$$\tau(G) = \begin{pmatrix} a & b \\ c & d \end{pmatrix} G = (G - \{ab, cd\}) + \{ac, bd\}, \quad (1.1)$$

si  $\{ab, cd\} \subseteq G$ ,  $ab \cap cd = \emptyset$  y  $\{ac, bd\} \subseteq \overline{G}$ ;

(2).

$$\tau(G) = G,$$

en otro caso.

Al definir el 2-switch como función, queda automáticamente bien definida como composición de funciones la aplicación sobre  $G$  de una secuencia  $\theta = (\tau_i)_{i=1}^k$  de 2-switches:  $\theta(G) = \tau_k \dots \tau_1(G)$ .

Cuando  $\tau(G) \neq G$  (es decir, (1.1)), decimos que  $\tau$  es **activo** en  $G$ , o, equivalentemente, que  $\tau$  **actúa** en/sobre  $G$ . De lo contrario (es decir, si  $\tau(G) = G$ ), decimos que  $\tau$  es **inactivo** en  $G$  (o, que no es activo, o, que no actúa sobre  $G$ ). Observemos que el 2-switch es idempotente, es decir,  $\tau^2 = \tau$ . La matriz  $A = \begin{pmatrix} a & b \\ c & d \end{pmatrix}$ , de tamaño  $2 \times 2$ , se denomina **matriz de acción** de  $\tau$ . Obviamente, si  $\tau$  es activo en  $G$ , entonces las entradas de  $A$  son vértices de  $G$ . En este caso, notemos que las filas de  $A$  representan las aristas que se eliminan, mientras que las columnas de  $A$  las aristas que se agregan. Decimos que  $\tau$  **activa** al vértice  $v$  en  $G$ , si  $\tau$  es activo en  $G$  y  $v$  es una entrada de la matriz de acción de  $\tau$ . Dos matrices de acción se consideran iguales si son iguales como funciones, es decir, si representan el mismo 2-switch. Si  $P$  es una matriz de permutación, es claro que  $PA = A = AP$ . Sin embargo, si  $\tau$  no es la identidad en  $\mathcal{G}_n$ , entonces  $A^t \neq A$ . La función  $\begin{pmatrix} a & c \\ b & d \end{pmatrix}$  se denomina 2-switch **inverso** de  $\tau$  y se denota como  $\tau^{-1}$ . El termino “inverso” proviene del hecho, fácilmente verificable, que

$$\tau^{-1}\tau(G) = G,$$

para todo  $G \in \mathcal{G}_n$ .

Se deduce de la definición que el 2-switch preserva la secuencia de grados, es decir:

$$s(\tau(G)) = s(G), \quad (1.2)$$

para todo 2-switch  $\tau$ . En efecto, cuando  $\tau$  es activo en  $G$ , vemos desde (1.1) que los grados de los 4 vértices  $a, b, c, d$  disminuyen momentáneamente en 1 cuando  $\tau$  elimina las aristas  $ab$  y  $cd$ . Pero al agregar  $ac$  y  $bd$  esta disminución se compensa. Sin duda, (1.2) es la propiedad más importante del 2-switch. A partir de la misma, puede probarse el teorema fundamental del 2-switch, el cual enunciamos a continuación.

**Teorema 1.2.1** ([3], pag. 24). *Si  $G$  y  $H$  dos grafos distintos con la misma secuencia de grados, entonces existe una secuencia de 2-switches  $(\tau_i)_{i=1}^k$  tal que  $H = \tau_k \dots \tau_1(G)$ .*

Sea  $Q = \{a, b, c, d\}$  un subconjunto de 4 vértices de un grafo  $G$  y sea  $\tau = \begin{pmatrix} a & b \\ c & d \end{pmatrix}$  un 2-switch. Una observación clave es que si  $\tau$  es activo en  $G$ ,

entonces  $\langle Q \rangle_G$  es isomorfo a  $P_4$ ,  $C_4$  o a  $2K_2$ . Esto puede probarse rápidamente analizando las 11 clases de isomorfismo posibles para un grafo de orden 4 (ver la Figura 1.10) y corroborando que solo esas tres cumplen con todas las condiciones exigidas por (1.1).

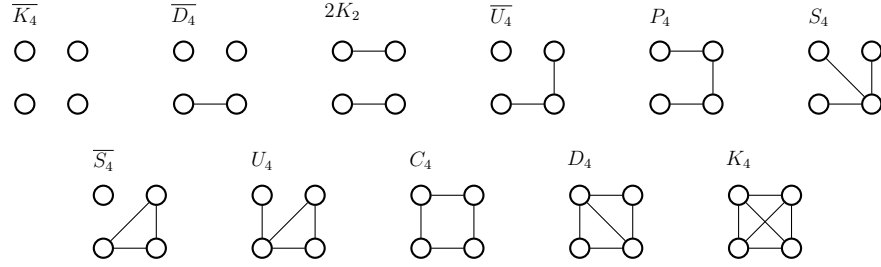


Figura 1.10: Los 11 grafos no-etiquetados de orden 4.

Sea  $\mathcal{X}$  una familia arbitraria de grafos y sean  $G, H \in \mathcal{X}, G \neq H$ . Decimos que  $H$  está relacionado con  $G$  vía 2-switch, si existe un 2-switch  $\tau$  tal que  $H = \tau(G)$ . Denotamos esta relación con  $H \sim G$  o con  $H \sim_\tau G$ . Si  $H \sim G$ , es claro que también  $G \sim H$ , pues  $G = \tau^{-1}(H)$ . Luego,  $\sim$  puede verse como una relación de adyacencia en  $\mathcal{X}$ , si tratamos este último como un conjunto de vértices. Siendo

$$E(\mathcal{X}) = \{\{G, H\} : G \sim H\} \subseteq \binom{\mathcal{X}}{2},$$

tenemos entonces que el par

$$\mathbf{T}(\mathcal{X}) = (\mathcal{X}, E(\mathcal{X}))$$

es un grafo cuyos vértices son los miembros de  $\mathcal{X}$ , y donde dos vértices (grafos)  $G$  y  $H$  son vecinos si y solo si  $G$  y  $H$  pueden transformarse uno en el otro por medio de un 2-switch. El grafo  $\mathbf{T}(\mathcal{X})$  se denomina **espacio de transición** asociado a  $\mathcal{X}$ . En la Figura 1.2 podemos ver un ejemplo concreto de esto.

Se sigue de la definición que un espacio de transición está completamente determinado por su conjunto de vértices, es decir,  $\mathbf{T}(\mathcal{X}_1) = \mathbf{T}(\mathcal{X}_2)$  si y solo si  $\mathcal{X}_1 = \mathcal{X}_2$ . Por lo tanto, cuando no hay ambigüedades en el contexto, podemos simplemente escribir  $\mathcal{X}$ , en lugar de  $\mathbf{T}(\mathcal{X})$ . Más aún, podemos decir simplemente “espacio”, en lugar de “espacio de transición”. Si  $\mathcal{Y} \subseteq \mathcal{X}$ , decimos que  $\mathbf{T}(\mathcal{Y})$  es un **subespacio** (de transición) de  $\mathbf{T}(\mathcal{X})$ . Observemos que  $\mathbf{T}(\mathcal{Y}) \preceq \mathbf{T}(\mathcal{X})$ . Por otro lado, si  $\mathbf{S} \preceq \mathbf{T}(\mathcal{X})$ , entonces  $\mathbf{S} = \mathbf{T}(V(\mathbf{S}))$ . Por lo tanto, los subespacios de un espacio de transición son precisamente sus

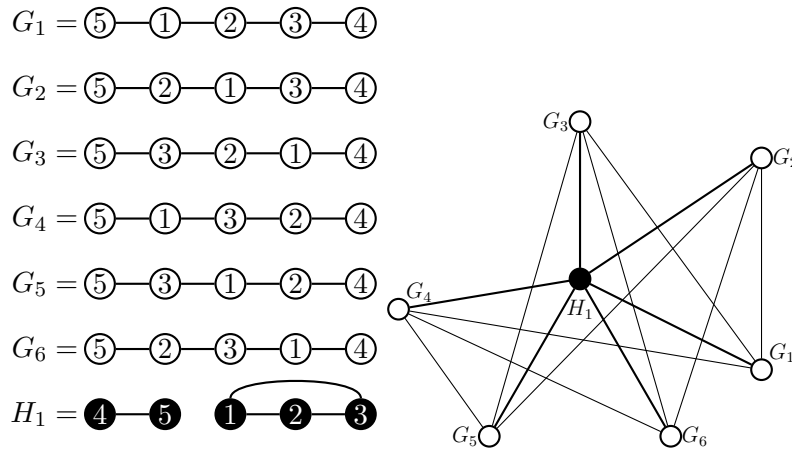


Figura 1.11: Espacio de transición asociado a  $\mathcal{G}(2^31^2)$ .

subgrafos inducidos. Dado que el 2-switch preserva la secuencia de grados, cada componente conexa  $\mathcal{X}_i$  de  $\mathcal{X}$  es un subespacio de  $\mathcal{G}(s_i)$ , para alguna secuencia gráfica  $s_i$ .

Si  $s$  es una secuencia gráfica, el espacio  $\mathbf{T}(\mathcal{G}(s))$  se suele llamar **grafo de realización** asociado a  $s$  ([1], pag. 213). Una consecuencia directa del Teorema 1.2.1 es que  $\mathcal{G}(s)$  es conexo, para toda secuencia gráfica  $s$ . En los últimos años ha sido muy estudiado el problema de determinar si un espacio de transición dado es conexo o no. En esta dirección, se han hecho ya muchos avances. Por ejemplo, se sabe que el espacio  $\mathcal{F}(s)$ , de todos los bosques con secuencia de grados  $s$ , es conexo. Un resultado análogo vale también para unicíclicos, grafos conexos y pseudobosques (estos últimos son grafos cuyas componentes son árboles o unicíclicos). Para profundizar sobre estos temas, pueden consultarse los siguientes artículos: [5], [4]. La característica más importante de un espacio conexo  $\mathcal{X}$  es que asegura la posibilidad de transformar mediante 2-switches un grafo  $G \in \mathcal{X}$  en otro grafo  $H \in \mathcal{X}$  de tal manera que cada grafo intermedio de la transición también pertenece a  $\mathcal{X}$ . Formalizamos este concepto en el próximo teorema.

**Teorema 1.2.2.** *Sea  $\mathcal{X}$  un espacio de transición conexo y sean  $G, H \in \mathcal{X}$ . Entonces existe una secuencia  $\theta = (\tau_i)_{i=1}^k$  de 2-switches tal que:*

1.  $H = \theta(G)$ ;
2.  $\tau_i \dots \tau_1(G) \in \mathcal{X}$ , para todo  $i \in [k]$ .

*Demostración.* Dado que  $\mathcal{X}$  es conexo, existe un camino en  $\mathcal{X}$  que conecta el vértice  $G$  con el vértice  $H$ . □

Veamos un ejemplo de como determinar un grafo de realización. Para cada  $n \in \mathbb{N}$ , consideremos el grafo de orden  $n+3$  que se obtiene identificando un vértice de  $K_2$  con una de las hojas de  $S_{n+2}$ . El árbol resultante, el cual denotamos con  $Y_{n+3}$ , tiene secuencia de grados  $s_n = (n+1)^1 2^1 1^{n+1}$ . Gracias a la elevada simetría de  $Y_{n+3}$ , es fácil en este caso ver que:

- (1). hay exactamente  $n$  2-switches activos sobre  $Y_{n+3}$ ;
- (2).  $\tau(Y_{n+3}) \approx Y_{n+3}$ , para todo 2-switch  $\tau$ ;
- (3).  $|\mathcal{G}(s_n)| = n+1$ .

Por lo tanto,  $\mathcal{G}(s_n) \approx K_{n+1}$ , para todo  $n \in \mathbb{N}$ .

Sea  $s = (d_v)_{v=1}^n$  una secuencia gráfica. La secuencia

$$\bar{s} = (n-1-d_v)_{v=1}^n$$

se denomina **secuencia dual** de  $s$ . Esta secuencia es gráfica también, ya que, siendo  $s = s(G)$  para algún  $G$ , tenemos que  $\bar{s} = s(\bar{G})$ . Más aún,  $\bar{\bar{s}} = s$ . Si  $\mathcal{X}$  es una familia arbitraria de grafos, entonces el conjunto

$$\bar{\mathcal{X}} = \{\bar{G} : G \in \mathcal{X}\}$$

se denomina **conjunto dual** de  $\mathcal{X}$ , y  $\mathbf{T}(\bar{\mathcal{X}})$  se denomina **espacio dual** de  $\mathbf{T}(\mathcal{X})$ . Claramente,  $\bar{\bar{\mathcal{X}}} = \mathcal{X}$ . A continuación, citamos y demostramos un hecho notable sobre los espacios duales.

**Teorema 1.2.3** ([1], pag. 218). *Todo espacio de transición es isomorfo a su dual:*

$$\mathcal{X} \approx \bar{\mathcal{X}}.$$

*Demostración.* Necesitamos exhibir un isomorfismo de grafos entre  $\mathcal{X}$  y  $\bar{\mathcal{X}}$ . Sea  $\varphi : \mathcal{X} \rightarrow \bar{\mathcal{X}}$  la función definida por  $\varphi(X) = \bar{X}$  y sean  $G, H \in \mathcal{X}$ ,  $G \neq H$ . Si  $H \sim_\tau G$ , entonces es fácil ver que

$$\bar{H} = \tau^{-1}(\bar{G}).$$

Por lo tanto,  $\varphi(H) \sim_{\tau^{-1}} \varphi(G)$ , lo cual muestra que  $\varphi$  es un homomorfismo. Claramente,  $\varphi$  es biyectiva, y su inversa  $\phi : \bar{\mathcal{X}} \rightarrow \mathcal{X}$  es la función definida por  $\phi(Y) = \bar{Y}$ . Sean  $A, B \in \bar{\mathcal{X}}$ , con  $A \neq B$ . Si  $B \sim_\theta A$ , sabemos que  $\bar{B} = \theta^{-1}(\bar{A})$ , es decir,  $\phi(B) \sim_{\theta^{-1}} \phi(A)$ . Luego,  $\phi$  es también un homomorfismo, y por ende concluimos que  $\varphi$  es un isomorfismo.  $\square$

En particular, el Teorema 1.2.3 nos dice que

$$\mathcal{G}(s) \approx \mathcal{G}(\bar{s}), \quad (1.3)$$

para toda secuencia  $s$ . Gracias a (1.3), podemos entonces despreocuparnos de investigar la estructura de los grafos de realización asociados a las secuencias duales de un conjunto de secuencias dado. Además, como veremos más adelante, (1.3) permite deducir de inmediato resultados sobre el complemento de un grafo  $G$ .

Un grafo **threshold** es un grafo que puede ser construido a partir de  $K_1$  aplicando repetidamente cualquiera de las siguientes dos operaciones:

- (1). adición de un vértice aislado;
- (2). adición de un vértice universal.

Así, cada grafo threshold (no-etiquetado) de orden  $n$  puede identificarse de manera unívoca con una secuencia binaria  $0b_2b_3 \dots b_n$ , con  $b_i \in \{0, 1\}$ , donde 0 = “agregue un vértice aislado” y 1 = “agregue un vértice universal”. Por ejemplo:  $K_1 = 0, K_2 = 01, \overline{K_2} = 00 = 0^2, K_3 = 011 = 01^2, \overline{K_3} = 000 = 0^3, S_3 = 001 = 0^21, S_4 = 0001 = 0^31$ . Es fácil deducir que, en general,  $K_n = 01^{n-1}, \overline{K_n} = 0^n$  y  $S_n = 0^{n-1}1$ . Recíprocamente, toda secuencia binaria que empiece (a la izquierda) por “0”, define un único grafo threshold (no-etiquetado). En otras palabras, existe una correspondencia biunívoca entre los grafos threshold no-etiquetados y las secuencias binarias cuyo primer término es 0. Los threshold se caracterizan por ser aquellos grafos  $G$  que no contienen subgrafos inducidos isomorfos a  $P_4, C_4$  o  $2K_2$  ([2], pag. 2). De esto se deduce que:

- (1).  $G$  es threshold si y solo si su complemento lo es;
- (2). todo 2-switch es inactivo en  $G$ ;
- (3). la propiedad de ser threshold es **hereditaria**.

La afirmación (1) es cierta porque, en general,  $H' \preceq H$  si y solo si  $\overline{H'} \preceq \overline{H}$ , y, además, porque  $\overline{P_4} = P_4$  y  $\overline{C_4} = 2K_2$ . La afirmación (2) es equivalente a que  $\mathcal{G}(s) = K_1$ , si  $s$  es la secuencia de grados de  $G$ . Por último, la (3) significa que todo subgrafo inducido de un grafo threshold es también threshold.

Un grafo  $G \neq K_0$  se dice que es **split** si existe una clique  $K$  en  $G$  y un conjunto independiente  $I$  en  $G$  tales que

$$V(G) = K \dot{\cup} I.$$

En tal caso, decimos que el par  $(K, I)$  es una **bipartición** para  $G$ . Directamente de la definición se deduce que la propiedad de ser split es hereditaria. Llamamos **vértices clique** a los elementos de  $K$ , y **vértices independientes** a los elementos de  $I$ . Dos biparticiones  $(K, I)$  y  $(K', I')$  para  $S$  son iguales si  $K = K'$  e  $I = I'$ . En la Figura 1.2 podemos ver un ejemplo de grafo split.

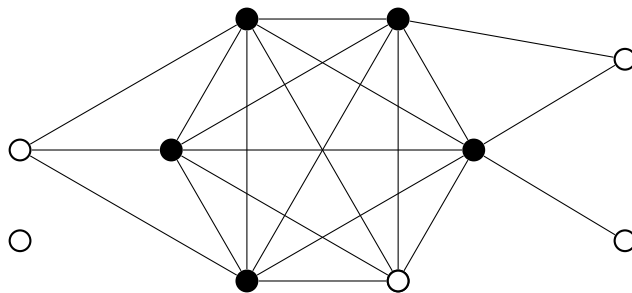


Figura 1.12: Grafo split (vértices clique en negro, independientes en blanco).

Un grafo split **bipartito** es una terna  $(S, K, I)$ , donde  $S$  es un grafo split y donde  $(K, I)$  es una bipartición para  $S$ . Dos grafos split bipartitos  $(S, K, I)$  y  $(S', K', I')$  son iguales si y solo si  $S = S'$ ,  $K = K'$  e  $I = I'$ . Esta distinción entre grafo split y split bipartito, la cual se debe a R. Tyshkevich ([7], pag.6), es necesaria porque hay operaciones/conceptos específicas/os sobre grafos split que dependen de la bipartición. Sin embargo, cuando el contexto lo permita, nos referiremos a la terna  $(S, K, I)$  simplemente como “grafo split”, para no sobrecargar el lenguaje. Un grafo es split si y solo si no contiene subgrafos inducidos isomorfos a  $2K_2$ ,  $C_4$  o  $C_5$  ([2], pag. 14). En particular, los grafos threshold son grafos split. Más aún, un grafo es split si y solo si su complemento lo es. Claramente,  $(K, I)$  es una bipartición para  $S$  si y solo si  $(I, K)$  es una bipartición para  $\overline{S}$ . El complemento de un grafo split bipartito se define como:

$$\overline{(S, K, I)} = (\overline{S}, I, K).$$

Si  $S \in \mathcal{G}(s)$  y  $S$  es split, entonces todos los miembros de  $\mathcal{G}(s)$  también son split ([7], pag. 205).

Un grafo split  $(S, K, I)$  se dice que es **balanceado** si  $|K| = \omega(S)$  y  $|I| = \alpha(S)$ . De lo contrario, decimos que  $G$  es **desbalanceado** (o no-balanceado). Puesto que  $\omega(S) = \alpha(\overline{S})$  y  $\alpha(S) = \omega(\overline{S})$ , se sigue que  $S$  es balanceado si y solo si su complemento lo es.

**Proposición 1.2.4.** *Un grafo split es balanceado si y solo si posee una única bipartición.*

*Demostración.* ( $\Rightarrow$ ). Supongamos que  $S$  sea balanceado, pero posea otra bipartición  $(K', I') \neq (K, I)$ . Luego,  $|K'| = \omega(S) = |K|$ ,  $|I| = |I'| = \alpha(S)$ , pero  $K' \neq K$  o  $I' \neq I$ .

Si  $I' \neq I$ , entonces  $I - I' \neq \emptyset$ . Si  $x \in I - I'$ , se sigue que  $x \in K'$ , con lo cual  $N_x \supseteq K' - x$ . Por otro lado, como  $x \in I$ , tenemos que  $d_x \leq \omega(S) - 1$ . Luego,  $N_x = K' - x$ . Pero entonces  $I' \cup x$  es un independiente en  $S$  de tamaño  $\alpha(S) + 1$ , lo cual es absurdo.

Si  $K' \neq K$ , podemos reciclar el mismo razonamiento en  $(\bar{S}, I, K)$ .

( $\Leftarrow$ ). Supongamos que  $S$  posea una única bipartición, pero que sea desbalanceado. Siendo  $(K, I)$  la bipartición de  $S$ , tenemos entonces que  $|K| < \omega(S) = \omega$  o  $|I| < \alpha(S) = \alpha$ .

Si  $|K| < \omega$ , entonces existe una clique  $K'$  en  $S$  tal que  $|K'| = \omega$ . Como  $|K| < |K'|$ , es claro que  $K' - K \neq \emptyset$ . Si  $x \in K' - K$ , entonces necesariamente  $x \in I$ . Luego,  $N_x \subset K$  (si fuera  $N_x = K$ , entonces  $(K \cup x, I - x)$  sería otra bipartición para  $S$ !), con lo cual  $d_x < \omega - 1$ . Por otro lado, dado que  $x \in K'$ , tenemos que  $N_x \supseteq K' - x$ , y por ende  $d_x \geq \omega - 1$ .

Si  $|I| < \alpha$ , podemos reciclar el mismo razonamiento en  $(\bar{S}, I, K)$ .  $\square$

Un vértice  $w$  de un grafo split  $(S, K, I)$  se dice que es **intercambiable** si

$$N_S(w) = K - w.$$

Si  $w \in I$ , entonces  $w$  es intercambiable si y solo si  $\deg_S(w) = |K|$ . Al convertir  $w$  en un vértice de clique, obtenemos el grafo split  $(S, K \dot{\cup} w, I - w)$ . Si  $w \in K$ , entonces  $w$  es intercambiable si y solo si  $\deg_S(w) = |K| - 1$ . Al convertir  $w$  en un vértice independiente, obtenemos el grafo split  $(S, K - w, I \dot{\cup} w)$ . Luego, gracias a la Proposición 1.2.4, se sigue que un grafo split es balanceado si y solo si no contiene vértices intercambiables. Todo grafo threshold es desbalanceado. En efecto, si  $b_1 \dots b_n$  es la secuencia binaria asociada a un grafo threshold  $G$ , entonces el vértice  $v_1$ , correspondiente al término  $b_1$ , es intercambiable en  $G$ , pues es vecino de todos los vértices que no son aislados.

**Proposición 1.2.5.** *Si  $S$  es un grafo split balanceado, entonces  $\tau(S)$  también es balanceado, para todo 2-switch  $\tau$ .*

*Demostración.* Ya sabemos que  $\tau(S)$  es split. Supongamos que  $\tau(S) \neq S$  posea un vértice intercambiable  $w$ . Si  $(K, I)$  es una bipartición para  $\tau(S)$ , podemos suponer sin pérdida de generalidad que  $w \in I$ , con lo cual  $\deg_{\tau(S)}(w) = |K|$ . Dado que el 2-switch preserva vértices clique y vértices independientes, se sigue que  $(K, I)$  es la bipartición de  $S$ , pues  $S = \tau^{-1}\tau(S)$ . En particular, notamos que  $w$  es independiente en  $S$ . Como el 2-switch preserva la secuencia de grados, tenemos que  $\deg_S(w) = |K|$ . Pero entonces  $w$  es intercambiable en  $S$ , contradiciendo que  $S$  es balanceado.  $\square$

Gracias a la Proposición 1.2.5, tenemos que, si  $S \in \mathcal{G}(s)$  y  $S$  es un grafo split balanceado (desbalanceado), entonces todos los miembros de  $\mathcal{G}(s)$  también son balanceados (desbalanceado). La propiedad de ser balanceado, así como la de ser desbalanceado, no es hereditaria.

A lo largo de este trabajo, vamos a usar el siguiente standard para representar visualmente un grafo split. Los vértices clique serán coloreados de negro, y se dispondrán formando polígono regular. Por otro lado, los vértices independientes serán blancos, y se van a posicionar por fuera de ese polígono. Además, se omitirán las aristas entre vértices clique. En su lugar, se pintará de gris el interior del polígono. De esta manera, se evitan muchos cruces entre aristas, favoreciendo la claridad del dibujo. En la Figura 1.13 podemos ver a la derecha un ejemplo de grafo split  $S$  no-etiquetado, el cual es representado a la izquierda en la forma que acabamos de describir, y con etiquetas. Notemos que  $S$  es desbalanceado, pues el vértice 6 es intercambiable en  $(S, [6], \{a, b, c, d\})$ . El grafo split  $S + 6x$ , en cambio, es balanceado para todo  $x \in \{a, b, c, d\}$ .

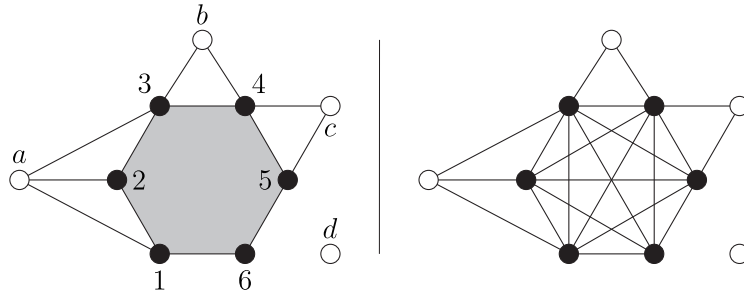


Figura 1.13: Representación standard de un grafo split

Si  $(S, K, I)$  es un grafo split y  $G$  es un grafo disjunto de  $S$ , la **composición de Tyshkevich**  $S \circ G$  de  $S$  y  $G$  se define como el grafo cuyo conjunto de vértices es

$$V(S \circ G) = V(S) \cup V(G),$$

y cuyo conjunto de aristas es

$$E(S \circ G) = E(S) \cup E(G) \cup \{xy : x \in K, y \in G\}.$$

En la Figura 1.2 vemos un ejemplo de dicha composición.

Esta operación depende de la bipartición de  $S$ : diferentes biparticiones siempre llevan a diferentes composiciones cuando  $S$  es desbalanceado. En la Figura 1.15 puede apreciarse un ejemplo concreto de esto. Los vértices grises son los de  $G$ , el cual no es split y es isomorfo a  $2K_2$ ; los vértices blancos son los de  $S$ , que es un grafo split desbalanceado isomorfo a  $P_3$ . Las aristas

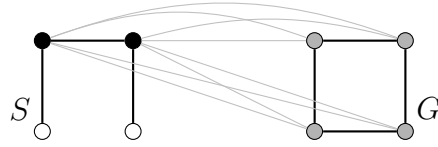


Figura 1.14: Composición de Tyshkevich entre  $S \approx P_4$  y  $G \approx C_4$ .

grises son las aristas que agrega la composición, conectando  $G$  con la clique de  $S$ . En el lado izquierdo de la Figura 1.15 la composición  $S \circ G$  se efectúa mediante la bipartición  $(67, 5)$ , mientras que en el lado derecho la misma operación se lleva al cabo con la bipartición  $(6, 57)$ .

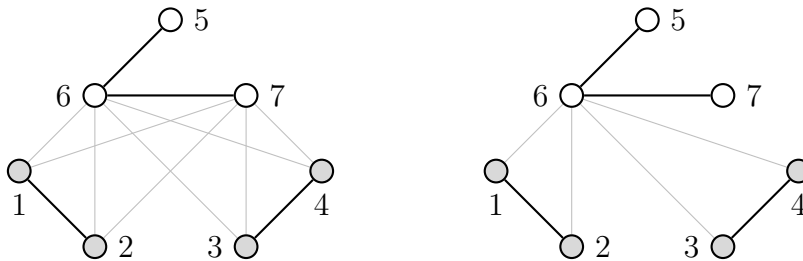


Figura 1.15: La composición de Tyshkevich depende de la bipartición.

En general,  $S \circ G$  es un grafo split si y solo si  $G$  lo es. Esto implica que para cada grafo split  $(S', K', I')$ ,  $S' \circ S \circ G$  está bien definido y  $(S' \circ S) \circ G = S' \circ (S \circ G)$ . Cuando  $S$  es un grafo split balanceado y no-etiquetado, podemos usar la notación  $S^n$  para referirnos al grafo no-etiquetado que resulta de la composición de Tyshkevich de  $n$  copias de  $S$ . También, puede usarse la palabra “producto” en lugar de “composición”. Así, dependiendo del contexto, el símbolo  $\prod_{i=1}^n G_i$  podría remplazar  $G_1 \circ G_2 \circ \dots \circ G_n$ .

Un grafo  $G$  es **reducible** (o **compuesto**) si existen grafos no nulos  $S$  y  $H$  tales que  $G = S \circ H$ . De lo contrario,  $G$  se dice que es **irreducible**. Con estos conceptos en mente, podemos finalmente citar el Teorema de Descomposición de Tyshkevich, el cual, como ya fue anunciado al principio, es clave para el desarrollo de todo este trabajo.

**Teorema 1.2.6** (Tyshkevich, [7]). *Todo grafo  $G$  se puede escribir como una composición (de Tyshkevich) de factores irreducibles:*

$$G = G_n \circ \dots \circ G_2 \circ G_1,$$

donde cada  $G_r$ , para  $r \geq 2$ , tiene una bipartición fija  $(K_r, I_r)$ . Además, cuando cada  $G_r$  es no nulo, esta descomposición es única salvo isomorfismo,

donde ni el orden de los componentes ni la elección de las biparticiones pueden variar.

Por último, pero no menos importante, queremos citar otro resultado previo que es determinante para esta investigación: el Teorema de Barrus-West, el cual caracteriza los grafos irreducibles. Para la comprensión de su enunciado, alcanza con definir el grafo  $A_4(G)$  asociado a un grafo  $G$ . El conjunto de vértices de  $A_4(G)$  coincide con el de  $G$ , es decir,  $V(A_4(G)) = V(G)$ . Además, dos vértices  $u, v$  son adyacentes en  $A_4(G)$  si y solo si algún  $P_4, C_4$  o  $2K_2$  inducido en  $G$  contiene tanto a  $u$  como a  $v$ . En otras palabras,  $uv \in E(A_4(G))$  si y solo si existe un 2-switch que activa tanto a  $u$  como a  $v$  en  $G$ . La notación “ $A_4$ ” deriva de la expresión “alternating 4-cycle” (ciclo alternante de tamaño 4), mediante la cual Barrus y West se refieren a la configuración de las 4 aristas involucradas en un 2-switch. En efecto, si en  $G$  reemplazamos  $\{ab, cd\}$  con  $\{ac, bd\}$  por medio de un 2-switch, entonces el ciclo  $abdca$  alterna aristas de  $G$  con aristas de  $\overline{G}$ . Como veremos en la Sección 4.1, el Teorema de Barrus y West será de fuerte inspiración para definir el grafo factor  $\Phi(S)$  asociado a un grafo split  $S$ .

**Teorema 1.2.7** (Barrus y West, [2]). *Un grafo  $G$  es irreducible si y solo si  $A_4(G)$  es conexo. Más en general, los conjuntos de vértices de los factores de la descomposición de Tyshkevich son los conjuntos de vértices de las componentes de  $A_4(G)$ .*

## Capítulo 2

# El grado de un grafo

En este capítulo, nos adentramos en el estudio del 2-switch-degree (o simplemente, grado) de un grafo  $X$ , el cual no es más que el grado de  $X$  como vértice del grafo de realización  $\mathcal{G}(X)$ . Por ende, este resulta ser un concepto fundamental que cuantifica la capacidad de un grafo para transformarse en otros por medio de 2-switches. El grado de  $X$  no solo proporciona información sobre su flexibilidad en términos de 2-switch, sino que también está íntimamente relacionado con otras propiedades estructurales y combinatorias de  $X$ . A lo largo del capítulo, dividido en 5 secciones, exploraremos las características de los vértices activos e inactivos, las propiedades básicas del grado, fórmulas explícitas para su cálculo, y su comportamiento en familias específicas de grafos, como árboles y unicíclicos.

En las Sección 2.1, introducimos el concepto de vértice activo, es decir, los vértices de un grafo  $G$  que participan en algún 2-switch sobre  $G$ . En contraposición a esto, definimos los vértice inactivos. Establecemos que el conjunto de vértices activos es invariante bajo 2-switch. Esto significa que  $G$  puede pensarse dividido en una parte “activa” y una “threshold” y esta partición de  $V(G)$  es la misma para todos los miembros de  $\mathcal{G}(s)$ , donde  $s = s(G)$ . Este hecho notable es una consecuencia del Teorema 1.2.7 de Barrus y West, ya que los vértices inactivos de  $G$  no son más que los vértices aislados de  $A_4(G)$ , y los activos el resto. Sin embargo, damos nuestra demostración en el Apéndice A. Además, en esta sección analizamos la relación que subsiste entre los vértices activos/inactivos y propiedades métricas como excentricidad, diámetro y conexidad. Por último, caracterizamos los vértices activos en grafos split y exploramos como este concepto se entrelaza con la propiedad de ser balanceado, los vértices universales y los intercambiables. Queremos remarcar que la introducción del concepto de grado, vértice activo y de sus derivados, conforman un lenguaje muy natural para este contexto y terminan siendo determinantes para todos los resultados importantes a lo largo de esta

investigación.

En la Sección 2.2, nos focalizamos en el subgrafo  $G^*$  de  $G$  inducido por sus vértices activos, al cual nos referimos como parte activa de  $G$ . En esencia, lo que mostramos es que, para determinar completamente la estructura de  $\mathcal{G}(s)$  ( $s = s(G)$ ), podemos remover todos los vértices inactivos de  $G$  y determinar  $\mathcal{G}(G^*)$ , ya que ambos grafos de realización resultan ser isomorfos. El grafo  $\mathcal{G}(G^*)$  es justamente el que llamamos espacio activo asociado a  $s$ . En otras palabras, los vértices inactivos son redundantes en este contexto, es decir, no aportan información útil para construir  $\mathcal{G}(s)$ . Por lo tanto, la clasificación de los espacios de transición se reduce a la clasificación de los espacios activos conexos.

En la Sección 2.3, presentamos algunas propiedades fundamentales del 2-switch-degree. En primer lugar, mostramos que calcular el grado de un grafo  $G$  es esencialmente equivalente a encontrar la cantidad de subgrafos inducidos de  $G$  isomorfos a  $P_4, C_4$  o a  $2K_2$ . Por esto,  $G$  y  $\overline{G}$  tienen el mismo grado. Sucesivamente, vemos, entre otras cosas, que el 2-switch-degree “respeta” la inclusión inducida y que calcular el grado de un grafo desconexo se reduce prácticamente al cálculo del grado de cada componente conexa. Finalmente, se obtienen los dos resultados importantes de esta sección: 1) el grado del “producto” (composición de Tyshkevich) es la suma de los grados; 2) un producto es activo si y solo si cada factor lo es.

En la Sección 2.4, derivamos fórmulas explícitas para calcular el grado de un grafo en términos de su secuencia de grados y otras invariantes combinatorias o estructurales. Sorpresivamente, se establece una conexión entre el 2-switch-degree y dos invariantes muy estudiadas en Teoría de Grafos Químicos: los índices de Zagreb 1 y 2. Más aún, se deduce que la dificultad computacional de calcular el grado de  $G$  reside en contar la cantidad de cliques de tamaño 4 en  $G$ . Por otro lado, se observa que el grado de  $G$  es “fácil” de obtener cuando  $G$  no tiene ciclos de orden 3 o 4, y solo termina dependiendo del segundo índice de Zagreb.

Por último, en la Sección 2.5 nos enfocamos en árboles y unicíclicos, proporcionando fórmulas explícitas para calcular su grado tanto en  $\mathcal{G}(s)$  como en  $\mathcal{F}(s)$  y  $\mathcal{U}(s)$ . Estos últimos dos son los espacios de transición asociados, respectivamente, a los bosques y a los unicíclicos con secuencia de grados  $s$ . Es en este contexto que se introducen los conceptos de f-grado y u-grado. Como ya se dijo en la Sección 1.2,  $\mathcal{F}(s)$  y  $\mathcal{U}(s)$  son subespacios conexos de  $\mathcal{G}(s)$ . Un resultado notable de esta sección es que  $\mathcal{F}(s)$  es regular. Sin embargo,  $\mathcal{U}(s)$  no lo es en general, y se exhibe un contraejemplo.

## 2.1. Vértices activos

Sea  $G$  un grafo con secuencia de grados  $s$ . El **grado** de  $G$  (o, **2-switch-degree** de  $G$ ), denotado por  $\deg(G)$ , es el grado de  $G$  visto como vértice de  $\mathbf{T}(\mathcal{G}(s))$ , es decir, la cantidad de vecinos del vértice  $G$  en el grafo de realización asociado a  $s$ . Por lo tanto,  $\deg(G)$  es la cantidad de 2-switches activos en  $G$ .

Sea  $G$  un grafo y sean

$$Q_G = \{H \preceq G : |H| = 4\}, \quad Q_G^* = \{H \in Q_G : \deg(H) \neq 0\}.$$

Decimos que un vértice  $v \in G$  es **activo** en  $G$  si existe un  $H \in Q_G^*$  que contiene a  $v$ . Es fácil deducir a partir de la Figura 1.10 que

$$Q_G^* = \{H \preceq G : H \approx X \in \{P_4, C_4, 2K_2\}\}.$$

Decimos que  $v$  es **inactivo** en  $G$  cuando no es activo en  $G$ , es decir, si  $\deg(H) = 0$  para todo  $H \in Q_G$  que contiene a  $v$ . Denotamos por  $act(G)$  al conjunto de todos los vértices activos de  $G$ . En otras palabras, un vértice  $v$  es activo en  $G$  si existe algún 2-switch que lo activa en  $G$ . Claramente,  $V(G) - act(G)$  es el conjunto de todos los vértices inactivos de  $G$ .

Es importante observar que un vértice  $v$  es activo en  $G$  si y solo si  $v$  es activo en  $\overline{G}$ . En efecto, si  $\tau$  es un 2-switch que activa a  $v$  en  $G$ , entonces  $\tau^{-1}$  activa a  $v$  en  $\overline{G}$ . Luego,

$$act(G) = act(\overline{G}).$$

De esto se deduce inmediatamente que los vértices universales son inactivos, ya que los mismos son aislados en el complemento.

**Lema 2.1.1.** *Si  $a$  es un vértice inactivo de un grafo  $G$ , entonces  $a$  también es inactivo en  $\tau(G)$ , para todo 2-switch  $\tau$ .*

*Demostración.* Es el contenido del Apéndice A. □

**Teorema 2.1.2.** *Si  $G, H \in \mathcal{G}(s)$ , entonces  $act(G) = act(H)$ . En otras palabras, el 2-switch preserva los vértices activos e inactivos.*

*Demostración.* El Teorema 1.2.1 y el Lema 2.1.1 hacen que el resultado requerido sea evidente. □

Siendo  $s = s(G)$ , el Teorema 2.1.2 le da sentido a la notación  $act(s)$ , como alternativa a  $act(G)$ .

**Teorema 2.1.3.** *Si  $a$  es un vértice activo (inactivo) de una secuencia de grados  $s$ , entonces todos los vértices de  $s$  con el mismo grado que  $a$  son activos (inactivos) en  $s$ .*

*Demostración.* Supongamos que exista un grafo  $G \in \mathcal{G}(s)$  tal que:  $a, x \in V(G)$ ,  $d_a = d_x$ ,  $a \in \text{act}(G)$ , pero  $x \notin \text{act}(G)$ . Ahora consideremos el grafo  $H$  que se obtiene a partir de  $G$  intercambiando las vecindades de  $a$  y  $x$ : en  $G$ , cada arista de la forma  $av$  ( $v \neq x$ ) se reemplaza por  $xv$ , y cada arista de la forma  $xw$  ( $w \neq a$ ) se reemplaza por  $aw$ . Observemos que  $H \in \mathcal{G}(s)$ , y por lo tanto, gracias al Teorema 1.2.1, podemos transformar  $G$  en  $H$  mediante una secuencia de 2-switches. Por el Teorema 2.1.2, tenemos que  $\text{act}(H) = \text{act}(G)$ , con lo cual  $a \in \text{act}(H)$  y  $x \notin \text{act}(H)$ . Por otro lado,  $H \approx_\varphi G$  por medio de la transposición  $\varphi = (ax)$ . Dado que los isomorfismos de grafos preservan los vértices activos e inactivos, obtenemos que  $x = \varphi(a) \in \text{act}(H)$  y  $a = \varphi(x) \notin \text{act}(H)$ , una contradicción.  $\square$

Decimos que un grafo  $G$  es **activo** si

$$\text{act}(G) = V(G).$$

De lo contrario, decimos simplemente que  $G$  no es activo (o que  $G$  es **no-activo**). En particular, si  $\text{act}(G) = \emptyset \neq V(G)$ , decimos que el grafo  $G$  es **inactivo**. Es evidente que  $|G| \geq 4$ , cuando  $G$  es activo. Algunos ejemplos de grafos activos son  $K_0$ ,  $C_n$  y  $P_n$ , para  $n \geq 4$ . También, son claramente activos todos aquellos grafos desconexos que no posean vértices aislados. Los grafos inactivos, en cambio, son precisamente los grafos de grado 0, es decir, los grafos threshold. Luego, la propiedad de ser inactivo es hereditaria. Por otro lado, la propiedad de ser activo es claramente no-hereditaria, ya que  $K_1 \preceq G$  para cualquier grafo activo  $G$ , pero  $\text{act}(K_1) \neq V(K_1)$ .

**Corolario 2.1.4.** *Sea  $s$  una secuencia positiva (es decir, todos sus términos son  $> 0$ ). Si  $\mathcal{G}(s)$  contiene un grafo que no es activo, entonces todos los miembros de  $\mathcal{G}(s)$  son conexos.*

*Demostración.* Supongamos que  $\mathcal{G}(s)$  contiene un grafo desconexo  $G$ . Dado que  $s$  es positiva, cada componente de  $G$  es no-trivial y, por lo tanto,  $G$  es claramente activo. Luego, por el Teorema 2.1.2, concluimos que cada miembro de  $\mathcal{G}(s)$  es activo.  $\square$

La **excentricidad**  $\text{ecc}_G(x)$  de un vértice  $x$  en un grafo  $G$  es una medida que describe la mayor distancia entre  $x$  y cualquier otro vértice del grafo  $G$ . Formalmente hablando,

$$\text{ecc}_G(x) = \text{máx}\{\text{dist}_G(v, x) : v \in V(G)\}.$$

En el siguiente corolario mostramos que, en un grafo sin vértices aislados, los vértices inactivos tienen excentricidad 1 o 2.

**Proposición 2.1.5.** *Sea  $G$  un grafo sin vértices aislados. Si  $x \notin \text{act}(G)$ , entonces  $\text{dist}_G(x, v) \leq 2$ , para todo  $v \in V(G)$ . En otras palabras:*

$$\text{ecc}_G(x) \in \{1, 2\}.$$

*Demostración.* Si  $v$  es un vértice a distancia  $d$  de  $x$  (en  $G$ ), podemos encontrar un camino inducido de longitud  $d$  que conecta  $x$  con  $v$  en  $G$ . Si  $d \geq 3$ , entonces hay vértices  $y$  y  $z$  tales que el 2-switch  $\begin{pmatrix} x & y \\ & z \\ & & v \end{pmatrix}$  es activo en  $G$ . Esto significa que  $x \in \text{act}(G)$ .  $\square$

**Corolario 2.1.6.** *Sea  $G$  un grafo sin vértices aislados. Si  $G$  no es activo, entonces  $\text{diam}(G) \leq 3$ . Además, esta desigualdad es ajustada.*

*Demostración.* Por el Corolario 2.1.4, sabemos que  $G$  es conexo. Consideremos un vértice  $x \notin \text{act}(G)$ . Por la desigualdad triangular y el Corolario 2.1.5, para cualquier par de vértices  $v, w \in G$  tenemos (en  $G$ ) que

$$\text{dist}(v, w) \leq \text{dist}(v, x) + \text{dist}(x, w) \leq 2 + 2 = 4.$$

Por la Proposición 2.1.5, la igualdad se alcanza si y solo si  $d(v_0, x) = d(x, w_0) = 2$  para algún  $v_0, w_0 \in V(G)$ . Pero en ese caso,  $G$  contendría un camino inducido de la forma  $v_0 y x z w_0 \approx P_5$ , para ciertos  $y, z \in V(G)$ , lo cual forzaría a  $x$  a ser activo. Por lo tanto,  $\text{dist}(v, w) < 4$  para cada par  $v, w \in V(G)$  y, por lo tanto,  $\text{diam}(G) \leq 3$ . Finalmente, para ver que la desigualdad requerida es ajustada, simplemente consideremos la secuencia gráfica  $3^2 2^1 1^2$ .  $\square$

Las recíprocas de los Corolarios 2.1.4 y 2.1.6 no son ciertas:  $P_4$  es un grafo conexo con diámetro 3 en el que todos sus vértices son activos. Incluso si el diámetro de un grafo  $G$  fuera 2, no podemos garantizar en general que  $G$  tenga algún vértice inactivo; por ejemplo,  $C_4$  es un grafo activo con diámetro 2. Es útil reformular el Corolario 2.1.6 de la siguiente manera equivalente.

**Corolario 2.1.7.** *Sea  $s$  una secuencia positiva. Si  $\mathcal{G}(s)$  contiene un grafo de diámetro  $\geq 4$ , entonces todos los miembros de  $\mathcal{G}(s)$  son activos.*

Dado que los grafos split se convertirán muy pronto en los protagonistas de este trabajo, es importante establecer desde ahora las propiedades de sus vértices activos e inactivos. Ante de proceder con esto, observemos que un vértice  $v$  es activo en un grafo split  $(S, K, I)$  si y solo si existe un  $H \preceq S$  tal que  $v \in H$  y  $H \approx P_4$ . Esto se debe a que los grafos split no contienen subgrafos inducidos isomorfos a  $C_4$  o a  $2K_2$ . Si  $v \in I$ , un tal  $H$  será de la forma  $vabc$ , donde  $a, b \in K$  y  $c \in I$ . Si en cambio  $v \in K$ ,  $H$  podrá escribirse como  $avbc$ , donde  $a, c \in I$  y  $b \in K$ .

**Proposición 2.1.8.** *Si  $(S, K, I)$  es un grafo split, entonces tenemos lo siguiente:*

1.  $U = \bigcap_{v \in I} N_S(v)$  es el conjunto de los vértices universales de  $S$ ;
2.  $u \in I$  es activo en  $S$  si y solo si existe un  $x \in I$  tal que  $N_S(x) - N_S(u) \neq \emptyset$  y  $N_S(u) - N_S(x) \neq \emptyset$ ;
3.  $u \in I$  es inactivo en  $S$  si y solo si, para cada  $v \in I$ , se cumple que  $N_S(v) \subseteq N_S(u)$  o  $N_S(u) \subseteq N_S(v)$ ;
4.  $u \in K$  es inactivo en  $S$  si y solo si, para cada  $v \in K$ , se cumple que  $N_S(v) \cap I \subseteq N_S(u) \cap I$  o  $N_S(u) \cap I \subseteq N_S(v) \cap I$ ;
5. un vértice de  $S$  es inactivo en  $S$  si y solo si su vecindario es comparable por inclusión con todos los demás vecindarios de su partición;
6. Si  $w$  es un vértice intercambiable en el grafo split  $(S, K, I)$ , entonces  $w \notin \text{act}(S)$ .
7. Si  $S$  es activo, entonces  $S$  es balanceado.

*Demostración.* (1). Un vértice  $u$  es universal en  $S$  si y solo si se encuentra en el vecindario de cada vértice  $v$  de  $I$ .

(2). Si existen  $a \in N_x - N_u$  y  $b \in N_u - N_x$ , entonces  $ubax \preceq S$ , lo cual muestra que  $u \in \text{act}(S)$ . Recíprocamente, si  $u \in \text{act}(S)$ , entonces existen  $a, b \in K$  y  $x \in I$  tales que  $ubax \preceq S$ , con lo cual  $a \notin N_u$  y  $b \notin N_x$ . Luego, tanto  $N_u - N_x$  como  $N_x - N_u$  son no-vacíos.

(3). No es más que el contrarrecíproco de (2).

(4). Si  $u$  es un vértice clique inactivo en  $S$ , entonces en  $\overline{S}$  el mismo vértice es también inactivo, pero independiente. Luego, gracias a (3), tenemos que  $N_{\overline{S}}(v) \subseteq N_{\overline{S}}(u)$  o  $N_{\overline{S}}(u) \subseteq N_{\overline{S}}(v)$ , para cada  $v \in K$ . Equivalentemente:  $N_v^c - v \subseteq N_u^c - u$  o  $N_u^c - u \subseteq N_v^c - v$ , es decir,  $N_v \cup v \supseteq N_u \cup u$  o  $N_u \cup u \supseteq N_v \cup v$ . Dado que  $N_x = (N_x \cap I) \cup (K - x)$  para todo  $x \in K$ , se sigue que  $(N_v \cap I) \cup K \supseteq (N_u \cap I) \cup K$  o  $(N_u \cap I) \cup K \supseteq (N_v \cap I) \cup K$ . Por lo tanto, concluimos que  $N_v \cap I \supseteq N_u \cap I$  o  $N_u \cap I \supseteq N_v \cap I$ .

(5). Se obtiene juntando (3) y (4).

(6). Si  $w \in I$ , entonces  $N_w = K \supseteq N_x$ , para todo  $x \in I$ . Si  $w \in K$ , entonces  $N_w = K - w$ , con lo cual  $N_w \cap I = \emptyset \subseteq N_x \cap I$ , para todo  $x \in K$ . En ambos casos, vemos que se cumple (5). Por lo tanto,  $w \notin \text{act}(S)$ .

(7). Si  $S$  no es balanceado, entonces  $S$  posee un vértice intercambiable, el cual es inactivo, por (6). Luego,  $act(S) \neq V(S)$ .  $\square$

Es importante notar que la recíproca de la afirmación (7) del Teorema 2.1.8 no es cierta en general, ya que existen grafos balanceados no-activos. En efecto, sea  $S$  el grafo split con bipartición  $(K, I) = ([3], \{a, b, c\})$ , donde  $N_a = \{1, 3\}$ ,  $N_b = \{2, 3\}$  y  $N_c = \{3\}$ . Es fácil ver que  $\omega(S) = |K|$  y  $\alpha(S) = |I|$ , lo cual muestra que  $S$  es balanceado. Sin embargo, los vértices  $c$  y  $3$  son inactivos en  $S$ .

**Proposición 2.1.9.** *Sea  $(S, K, I)$  un grafo split balanceado. Entonces, tenemos lo siguiente:*

1.  $\deg(S) \geq 1$ , y  $|K|, |I| \geq 2$ ;
2.  $K = \bigcup_{v \in I} N_S(v)$ ;
3.  $|U| \leq |K| - 2$ .

*Demostración.* (1). Si fuera  $\deg(S) = 0$ , entonces  $S$  sería threshold, y por ende desbalanceado. Luego, tiene que ser  $\deg(S) \geq 1$ , lo cual implica que  $S$  contiene un  $P_4$  como subgrafo inducido. En consecuencia,  $|I|, |K| \geq 2$ .

(2). Obviamente,  $\bigcup_{v \in I} N_v \subseteq K$ . Si la contención fuera propia, habría un vértice  $w \in K$  sin vecinos en  $I$ . Pero entonces  $w$  sería intercambiable, y, por ende,  $S$  no sería balanceado.

(3). Dado que  $S$  es balanceado, sabemos que  $d_v < |K|$ , para todo  $v \in I$ . Luego,  $|U| < |K|$ , por (2). Dicho esto, alcanza con probar que  $|U| \neq |K| - 1$ . Supongamos que  $|U| = |K| - 1$ . Sea  $x$  el único vértice clique no-universal de  $S$ . Gracias a (1), existe un  $w \in N_x \cap I$ . Entonces,  $\bar{S}$  posee  $|K| - 1$  vértices aislados y un solo vértice independiente no-aislado,  $x$ . Como  $wx \notin \bar{S}$ , concluimos que  $w$  es intercambiable en  $\bar{S}$ . Pero entonces  $S$  es desbalanceado, lo cual es una contradicción.  $\square$

El siguiente teorema es interesante porque establece que todos los grafos regulares conexos son activos, excepto los grafos completos, que son inactivos.

**Teorema 2.1.10.** *Sea  $G$  un grafo regular conexo. Si  $G$  no es completo, entonces  $G$  es activo.*

*Demostración.* Sea  $G$  un grafo  $k$ -regular. Si  $k \leq 2$ , entonces es fácil comprobar que la afirmación es verdadera. Si  $k \geq 3$ , supongamos que  $G$  no es completo ni activo. Entonces,  $3 \leq k \leq n - 2$  y  $G$  es inactivo, según el Teorema 2.1.3. Además, tenemos que  $\text{diam}(G) = 2$  ya que  $G$  no es completo y no contiene  $P_4$  inducidos. Ahora, consideremos en  $G$  un camino inducido  $abc$  de longitud 2. Dado que  $d_a = k \geq 3$ , hay  $k - 1$  vértices  $v_i$  en el vecindario de  $a$ . Observemos que  $v_i \neq c$  para todo  $i \in [k - 1]$ , porque  $\text{dist}(a, c) = 2$ . Puesto que  $\deg(G) = 0$ , para cada  $i$  la arista  $v_i b$  debe estar en  $G$ . Por lo tanto,  $d_b \geq k + 1$ , lo cual es una contradicción.  $\square$

## 2.2. Espacio activo

La **parte activa** de  $G$ , denotada por  $G^*$ , es el subgrafo de  $G$  inducido por  $\text{act}(G)$ . El grafo  $G^*$  es entonces, por definición, un grafo activo. Claramente,  $G$  es activo si y solo si  $G^* = G$ . Si  $s = s(G)$ , nos referimos a la secuencia de grados de  $G^*$  con el símbolo  $s^*$ .

**Lema 2.2.1.** *Sea  $G = (V, E)$  un grafo y sea  $V_\theta$  el conjunto de todos los vértices activados por algún 2-switch de la secuencia  $\theta = (\tau_i)_{i=1}^k$ . Si  $W \subseteq V$  y  $W \cap V_\theta = \emptyset$ , entonces*

$$\theta(G - W) = \theta(G) - W.$$

*Demostración.* Sea  $k = 1$ , es decir,  $\theta = \begin{pmatrix} a & b \\ c & d \end{pmatrix}$ . Dado que  $W \cap V_\theta = \emptyset$ , es claro que  $\theta$  es activo en  $G$  si y solo si es activo en  $G - W$ . Si  $\theta$  es activo en  $G - W$ , entonces tenemos que

$$\theta(G - W) = ((G - W) - \{ab, cd\}) + \{ac, bd\}.$$

Como  $V_\theta = \{a, b, c, d\}$  y  $W \cap V_\theta = \emptyset$ , se sigue que

$$(G - W) - \{ab, cd\} = (G - \{ab, cd\}) - W.$$

Por la misma razón, es fácil ver que

$$((G - \{ab, cd\}) - W) + \{ac, bd\} =$$

$$((G - \{ab, cd\}) + \{ac, bd\}) - W = \theta(G) - W.$$

El resto de la prueba se lleva al cabo fácilmente por inducción sobre  $k$ , ya que alcanza con reciclar el caso  $k = 1$  reemplazando  $G$  por  $\tau_1 \dots \tau_{k-1}(G)$  y  $\theta$  por  $\tau_k$ .  $\square$

Sea  $X = (V, E)$  un grafo. Para cualquier conjunto de vértices  $V'$  disjunto de  $V$  y cualquier

$$E' \subseteq \binom{V \cup V'}{2} - \binom{V}{2} = \binom{V'}{2} \dot{\cup} \{xy : x \in V, y \in V'\},$$

definimos la  $(V', E')$ -**extensión** de  $X$  como el grafo

$$\text{ext}(X, V', E') = (V \cup V', E \cup E').$$

Claramente,  $X \preceq \text{ext}(X, V', E')$ .

**Lema 2.2.2.** *Sea  $G = (V, E)$  un grafo y sea  $\theta$  una secuencia de 2-switches. Si  $W = V - \text{act}(G)$  y  $E' = \{xy \in E : x \in W\}$ , entonces*

$$\text{ext}(\theta(G^*), W, E') = \theta(\text{ext}(G^*, W, E')).$$

*Demostración.* Lo primero que notamos es que  $G^* = G - W$ . Por ende, es claro que  $\text{ext}(G^*, W, E') = G$ . En segundo lugar, como cada 2-switch de  $\theta$  elimina y agrega solamente aristas de la forma  $xy$ , con  $x, y \in \text{act}(G)$ , se sigue que

$$E' = \{xy \in E(\theta(G)) : x \in W\}$$

(recordemos que  $\text{act}(G)$  es una invariante asociada a  $s(G)$ , por el Teorema 2.1.2). Con esto en mente, y aplicando el Lema 2.2.1, obtenemos que

$$\begin{aligned} \text{ext}(\theta(G^*), W, E') &= \text{ext}(\theta(G) - W, W, E') = \\ &= (V, E(\theta(G) - W) \dot{\cup} E'). \end{aligned}$$

Dado que

$$E(\theta(G) - W) = E(\theta(G)) - \{xy \in E(\theta(G)) : x \in W\},$$

concluimos que  $\text{ext}(\theta(G^*), W, E') = \theta(G)$ . □

Si  $\mathcal{X}$  es un subconjunto de  $\mathcal{G}(s)$ , definimos

$$\mathcal{X}^* = \{G^* : G \in \mathcal{X}\}.$$

Sea  $\psi : \mathcal{X} \rightarrow \mathcal{X}^*$  la función definida por  $\psi(X) = X^*$ . Elegimos ahora arbitrariamente un grafo  $X_0 \in \mathcal{G}(s)$  y definimos

$$E_0 = \{xy \in E(X_0) : x \in W\},$$

donde  $W = V(X_0) - \text{act}(s)$ . Gracias al Teorema 2.1.2, es fácil convencerse de que  $E_0$  es una invariante asociada a  $s$ . En otras palabras, reemplazando  $X_0$

con cualquier otro miembro de  $\mathcal{G}(s)$ , el conjunto  $E_0$  no cambia. Supongamos ahora que  $G^* = H^*$ . Luego,

$$G = \text{ext}(G^*, W, E_0) = \text{ext}(H^*, W, E_0) = H,$$

lo cual muestra que  $\psi$  es inyectiva. Dado que  $\mathcal{X}^* = \psi(\mathcal{X})$ ,  $\psi$  es obviamente sobreyectiva. Por lo tanto,  $\psi$  es una biyección.

Sean  $G^*, H^* \in \mathcal{X}^*$ ,  $G^* \neq H^*$ . Según el Teorema 1.2.1, existe una secuencia  $\theta$  de 2-switches tal que  $H = \theta(G)$ , pues  $G, H \in \mathcal{G}(s)$  y  $G \neq H$ . Luego, aplicando el Teorema 2.1.2 y el Lema 2.2.1 para  $W = V(G) - \text{act}(s)$ , deducimos que

$$\theta(G^*) = \theta(G - W) = \theta(G) - W = H - W = H^*,$$

lo cual significa que  $G^*, H^* \in \mathcal{G}(s^*)$ . En otras palabras,  $\mathcal{X}^*$  es un subconjunto de  $\mathcal{G}(s^*)$ .

El espacio de transición  $\mathbf{T}(\mathcal{X}^*)$  se denomina **espacio activo** asociado a  $\mathcal{X}$  (o a  $\mathbf{T}(\mathcal{X})$ ). Gracias al Lema 2.2.1 y al Teorema 2.1.2, queda claro que  $\psi$  es un homomorfismo entre los espacios de transición  $\mathcal{X}$  y  $\mathcal{X}^*$ . Por otro lado, observemos que la función  $\zeta : \mathcal{X}^* \rightarrow \mathcal{X}$ , definida por  $\zeta(Y) = \text{ext}(Y, W, E_0)$ , es la inversa de  $\psi$ , y también es un homomorfismo por el Lema 2.2.2. Luego,  $\psi$  es un isomorfismo.

**Teorema 2.2.3.** *Todo subespacio de transición  $\mathcal{X}$  de  $\mathcal{G}(s)$  es isomorfo a su espacio activo asociado:*

$$\mathcal{X} \approx \mathcal{X}^*.$$

*Demostración.* Se sigue de la discusión anterior. □

### 2.3. Propiedades básicas del grado

Llegados a este punto, no debería sorprender que la cantidad de 2-switches que actúan en un cierto grafo  $G$  se puede obtener sumando el grado de todos los subgrafos inducidos de orden 4 en  $G$ . En otras palabras,

$$\text{deg}(G) = \sum_{H \in Q_G} \text{deg}(H),$$

donde  $\text{deg}(H) = 2$  si  $H \approx 2K_2$  o a  $C_4$ ,  $\text{deg}(H) = 1$  si  $H \approx P_4$ , y  $\text{deg}(H) = 0$  en el resto de los casos (ver la Figura 1.10). Si  $X$  es uno de los 11 grafos de la Figura 1.10, definimos

$$Q_G(X) = \{H \in Q_G : H \approx X\}.$$

Entonces, tenemos el siguiente resultado.

**Teorema 2.3.1.** *Para todo grafo  $G$ ,*

$$\deg(G) = 2|Q_G(2K_2)| + 2|Q_G(C_4)| + |Q_G(P_4)|. \quad (2.1)$$

*En particular, si  $G$  es un grafo split, entonces  $\deg(G) = |Q_G(P_4)|$ .*

*Demostración.* La igualdad (2.1) se sigue de la discusión anterior. Cuando  $G$  es split, sabemos que no contiene subgrafos inducidos isomorfos a  $C_4$  o  $2K_2$ . Por lo tanto,  $|Q_G(2K_2)| = |Q_G(C_4)| = 0$ .  $\square$

Desde (2.1) notamos que

$$\deg(G) \equiv |Q_G(P_4)| \pmod{2},$$

es decir, el grado de  $G$  tiene la misma paridad que la cantidad de  $P_4$ 's inducidos en  $G$ . En particular, todo grafo de grado impar contiene al menos un  $P_4$  inducido.

**Corolario 2.3.2.** *Para cualquier grafo  $G$ ,*

$$\deg(G) = \deg(\overline{G}).$$

*Demostración.* Sea  $G \in \mathcal{G}(s)$ . Entonces,  $\overline{G} \in \mathcal{G}(\overline{s})$ . Por el Teorema 1.2.3, tenemos que  $\mathcal{G}(s) \approx \mathcal{G}(\overline{s})$  a través del isomorfismo  $G \mapsto \overline{G}$ , y por lo tanto  $\deg(G) = \deg(\overline{G})$ .  $\square$

Cabe mencionar que el Corolario 2.3.2 puede demostrarse también usando que  $H \preceq G$  si y solo si  $\overline{H} \preceq \overline{G}$ . Esto, junto con el hecho de que  $\overline{P_4} = P_4$  y  $\overline{C_4} = 2K_2$ , implica que  $|Q_G(P_4)| = |Q_{\overline{G}}(P_4)|$ ,  $|Q_G(C_4)| = |Q_{\overline{G}}(2K_2)|$  y  $|Q_G(2K_2)| = |Q_{\overline{G}}(C_4)|$ .

**Proposición 2.3.3.** *Si  $H \preceq G$ , entonces*

$$\deg(H) \leq \deg(G).$$

*Demostración.* Esto es cierto porque  $Q_H^* \subseteq Q_G^*$ .  $\square$

La Proposición 2.3.3 no es cierta en general si el subgrafo no es inducido. Por ejemplo,  $P_4 \subseteq K_4$  pero  $\deg(P_4) = 1$  y  $\deg(K_4) = 0$ . La Proposición 2.3.3 se puede generalizar fácilmente de la siguiente manera.

**Proposición 2.3.4.** *Sea  $\{H_i : i \in [k]\}$  una colección de subgrafos inducidos de  $G$  tal que  $|E(H_i) \cap E(H_j)| \leq 1$  para  $i \neq j$ . Entonces,*

$$\sum_{i=1}^k \deg(H_i) \leq \deg(G).$$

*Demostración.* Si  $\tau$  fuera un 2-switch activo sobre  $H_i$  y  $H_j$  para ciertos  $i, j$  distintos, entonces tendríamos  $|E(H_i) \cap E(H_j)| \geq 2$ , lo cual contradice la hipótesis. Por lo tanto, cada 2-switch activo en  $H_i$  es inactivo sobre  $H_j$ , para cada  $j \neq i$ .  $\square$

**Proposición 2.3.5.** *Si  $G' \preceq G^*$  y  $\deg(G') = \deg(G) > 0$ , entonces  $G' = G^*$ . En otras palabras,  $G^*$  es el subgrafo inducido de  $G$  más pequeño (en términos de orden) con el mismo grado que  $G$ .*

*Demostración.* Supongamos que  $G' \preceq G^*$  y  $\deg(G') = \deg(G) \geq 1$ , pero  $G' \neq G^*$ . Si  $v \in V(G^*) - V(G')$ , entonces hay al menos un 2-switch  $\tau$  que actúa en  $G$  activando a  $v$ . Sin embargo,  $\tau$  es claramente inactivo en  $G'$  y, por lo tanto,  $\deg(G') \leq \deg(G) - 1$ , lo cual es una contradicción.  $\square$

El próximo resultado dice que calcular el grado de un grafo se reduce esencialmente a calcular el grado de sus componentes.

**Teorema 2.3.6.** *Sea  $G$  un grafo tal que  $\kappa(G) = k \geq 2$ . Si  $G_i$  es una componente de  $G$ , entonces*

$$\deg(G) = \sum_{i=1}^k \deg(G_i) + \sum_{1 \leq i < j \leq k} 2\|G_i\| \|G_j\|. \quad (2.2)$$

*Demostración.* Supongamos que  $k = 2$ . Dado que  $G_1$  y  $G_2$  son subgrafos inducidos disjuntos de  $G$ , el grado de  $G$  es al menos  $\deg(G_1) + \deg(G_2)$ , por la Proposición 2.3.4. El resto de los 2-switches que transforman  $G$  son aquellos que reemplazan aristas de diferentes componentes. Más específicamente: si  $ab \in G_1$  y  $cd \in G_2$ , entonces  $\begin{pmatrix} a & b \\ c & d \end{pmatrix}$  y  $\begin{pmatrix} a & b \\ d & c \end{pmatrix}$  son no triviales en  $G$ . Por lo tanto,  $\deg(G) = \deg(G_1) + \deg(G_2) + 2\|G_1\| \|G_2\|$ . El resto de la prueba se obtiene fácilmente por inducción sobre  $k$ .  $\square$

Si  $G_1 = (V_1, E_1)$  y  $G_2 = (V_2, E_2)$  disjuntos, entonces denotamos por  $G_1 + G_2$  al grafo cuyo conjunto de vértices es  $V_1 \cup V_2$  y cuyo conjunto de aristas es

$$E_1 \cup E_2 \cup \{xy : x \in G_1, y \in G_2\}.$$

Esta operación binaria es bien conocida y se llama **join** entre  $G_1$  y  $G_2$ . Si  $V_2 = \{v\}$  (es decir,  $G_2 \approx K_1$ ), podemos escribir  $G_1 + G_2$  como  $G_1 + v$ . La operación de join es claramente conmutativa y asociativa. Además,  $G_1, G_2 \preceq G_1 + G_2$ .

**Lema 2.3.7.** *Para cualquier grafo  $G$  y cualquier  $n \geq 1$ ,*

$$\deg(G + K_n) = \deg(G). \quad (2.3)$$

*Demostración.* Puesto que  $G$  y  $K_n$  son subgrafos inducidos disjuntos de  $G + K_n$ , tenemos que  $\deg(G) + \deg(K_n) = \deg(G) \leq \deg(G + K_n)$ , por la Proposición 2.3.4. Si  $\tau$  es un 2-switch entre  $ab \in G$  y  $cd \in K_n$ , entonces  $\tau$  es inactivo en  $G + K_n$  porque  $a, b, c$ , y  $d$  forman un clique allí. Si  $a, b \in V(G)$  y  $c, d \in V(K_n)$ , entonces cada 2-switch que involucra estos 4 vértices es inactivo en  $G + K_n$ , porque  $a, b, c$ , y  $d$  inducen un  $K_4$  o un  $D_4$  (ver la Figura 1.10) en  $G + K_n$ .  $\square$

Haciendo  $G + K_n$ , podemos por lo tanto obtener un grafo con un cierto grado fijo (el de  $G$ ), pero con orden y tamaño arbitrariamente grandes.

**Teorema 2.3.8.** *Si  $(S, I, K)$  es un grafo split y  $G$  es un grafo, entonces*

$$\deg(S \circ G) = \deg(S) + \deg(G). \quad (2.4)$$

*Demostración.* Dado que  $S$  y  $G$  son subgrafos inducidos disjuntos de  $S \circ G$ , tenemos que  $\deg(S \circ G) \geq \deg(S) + \deg(G)$ , por la Proposición 2.3.4. Gracias al Lema 2.3.7, para obtener la igualdad (2.4) solo tenemos que enfocarnos en un par arbitrario de aristas disjuntas de la forma  $\{ik, ab\}$ , donde  $\{ik, ab\} \subseteq E(S \circ G)$ ,  $i \in I, k \in K$  y  $ab \notin E(S)$ . Dado que  $H = \langle a, b, i, k \rangle_{S \circ G}$  contiene el triángulo  $kabk$ , tenemos que  $\deg(H) = 0$ . Así, la igualdad (2.4) queda finalmente demostrada.  $\square$

**Teorema 2.3.9.**  *$S \circ G$  es activo si y solo si  $S$  y  $G$  son activos.*

*Demostración.* Por simplicidad, sea  $H = S \circ G$ .

( $\Leftarrow$ ). Como  $S, G \preceq H$ , es claro que todo vértice activo en  $S$  o en  $G$  sigue siendo activo en  $H$ . Dado que  $V(H) = V(S) \cup V(G)$  por definición de  $\circ$ , concluimos que  $H$  es activo.

( $\Rightarrow$ ). Si  $x \in V(S)$  es activo en  $H$ , entonces aplicando el Teorema 2.3.8 obtenemos que

$$\deg(S) + \deg(G) = \deg(H) > \deg(H - x) = \deg(S - x) + \deg(G).$$

Luego,  $\deg(S) > \deg(S - x)$ , lo cual muestra que  $x$  es activo en  $S$ . Si  $x \in V(G)$  es activo en  $H$ , repetimos el argumento y finalizamos la prueba.  $\square$

## 2.4. Fórmulas explícitas

Si  $G$  es un grafo, definimos

$$dpe(G) = |\{\{e, f\} : e, f \in E(G), e \cap f = \emptyset\}|.$$

En otras palabras,  $dpe(G)$  es la cantidad de pares no ordenados de aristas disjuntas en  $G$ . La sigla “ $dpe$ ” proviene de “disjoint pairs of edges”.

**Proposición 2.4.1.** Si  $G$  es un grafo con secuencia de grados  $s = (d_v)_{v=1}^n$ , entonces:

$$dpe(G) = \binom{\|G\|}{2} - \sum_{v=1}^n \binom{d_v}{2} = \binom{\|G\| + 1}{2} - \frac{1}{2}|s|^2,$$

donde  $|s|^2 = d_1^2 + \dots + d_n^2$  y  $\binom{i}{j} = 0$  si  $i < j$ . En particular,  $dpe(G)$  es constante en  $\mathcal{G}(s)$ , es decir, es un invariante asociada a  $s$ .

*Demostración.* Podemos obtener  $dpe(G)$  calculando la cantidad de pares de aristas no disjuntas en  $G$  y luego restando este número de  $\binom{\|G\|}{2}$ , es decir, el total de pares de aristas en  $G$ . Dado que hay  $d_v$  aristas incidentes en  $v \in V(G)$ , tenemos  $\binom{d_v}{2}$  pares de aristas que comparten  $v$ , y por lo tanto  $\sum_{v=1}^n \binom{d_v}{2}$  pares de aristas con un vértice en común.

La segunda igualdad se obtiene expandiendo los coeficientes binomiales de la primera y haciendo simples manipulaciones.  $\square$

Motivados por la Proposición 2.4.1, podemos usar la notación  $dpe(s)$  en lugar de  $dpe(G)$ , mientras sea  $s = s(G)$ . Más aún, notemos que  $dpe(G) = |\{H \subseteq G : H \approx 2K_2\}|$ . La siguiente proposición brinda una fórmula que expresa el  $dpe$  de un grafo en función del  $dpe$  de sus componentes conexas.

**Proposición 2.4.2.** Si  $G$  es un grafo con  $k$  componentes  $G_i$ , entonces

$$dpe(G) = \sum_{i=1}^k dpe(G_i) + \sum_{1 \leq i < j \leq k} \|G_i\| \|G_j\|.$$

*Demostración.* Sea  $k = 2$ , es decir,  $G = G_1 \dot{\cup} G_2$ . Si  $e_1 \in E(G_1)$  y  $e_2 \in E(G_2)$ , es claro que  $e_1 \cap e_2 = \emptyset$  y que hay  $\|G_2\|$  pares de la forma  $\{e, e_2\}$  para cada  $e \in E(G_1)$ . Luego,

$$dpe(G) = dpe(G_1) + dpe(G_2) + \|G_1\| \|G_2\|.$$

El resto de la prueba se sigue fácilmente por inducción sobre  $k$ .  $\square$

**Proposición 2.4.3.** Para cualquier grafo  $G$  de orden  $n$  y tamaño  $m \geq 0$ ,

$$\deg(G) \leq 2dpe(G) \leq m(m-1),$$

y la igualdad se cumple si y solo si  $G \approx (mK_2) \dot{\cup} \overline{K}_{n-2m}$ .

*Demostración.* Para cada par de aristas disjuntas en  $G$ , tenemos a lo sumo dos 2-switches que las reemplazan. Entonces,

$$\deg(G) \leq 2dpe(G) = m(m-1) - \sum_{v=1}^n (d_v^2 - d_v) \leq m(m-1).$$

Claramente, la igualdad se alcanza precisamente cuando  $d_v \in \{0, 1\}$  para cada vértice  $v \in G$ . Bajo esta condición debemos tener  $d_u = d_v = 1$  para cada  $uv \in E(G)$ , y los  $n - 2m$  vértices restantes de  $G$  están aislados.  $\square$

**Proposición 2.4.4.** *Sea  $G$  un grafo. Si  $p_4(G) = |\{H \subseteq G : H \approx P_4\}|$  y  $k_3(G) = |\{H \subseteq G : H \approx K_3\}|$ , entonces*

$$p_4(G) + 3k_3(G) = \sum_{uv \in E(G)} (d_u - 1)(d_v - 1). \quad (2.5)$$

*Demostración.* Para cada arista  $uv \in G$ , tenemos  $d_u - 1$  opciones para pegar una arista  $ux \neq uv$  a  $u$ , y  $d_v - 1$  opciones para pegar una arista  $vy \neq uv$  a  $v$ . Si  $G$  no contiene triángulos, hay exactamente  $(d_u - 1)(d_v - 1)$   $P_4$ 's diferentes para cada arista  $uv$  en  $G$ . Si hay triángulos en  $G$ , entonces

$$(d_u - 1)(d_v - 1) = |P_4^*(uv)| + |K_3(uv)|, \quad (2.6)$$

donde  $P_4^*(uv)$  es el conjunto de todos los  $P_4$ 's en  $G$  que tienen a  $uv$  como arista central, y  $K_3(uv)$  es el conjunto de todos los triángulos en  $G$  que contienen  $uv$ . Dado que

$$\{H \subseteq G : H \approx P_4\} = \bigcup_{e \in E(G)} P_4^*(e),$$

es claro que  $\sum_{e \in E(G)} |P_4^*(e)| = p_4(G)$ . Por otro lado, sea  $M$  el multiconjunto definido por la unión, sobre  $e \in E(G)$ , de todos los  $K_3(e)$ . Como cada triángulo  $T \in \{H \subseteq G : H \approx K_3\}$  aparece en  $M$  con multiplicidad 3, se sigue que  $\sum_{e \in E(G)} |K_3(e)| = 3k_3(G)$ . Finalmente, (2.5) se obtiene de (2.6) sumando sobre todos los  $uv \in E(G)$ .  $\square$

Denotamos por  $c_4(G)$  y  $k_4(G)$  la cantidad de ciclos y cliques de orden 4 en  $G$ , respectivamente. Más precisamente:

$$c_4(G) = |\{H \subseteq G : H \approx C_4\}|,$$

$$k_4(G) = |\{H \subseteq G : H \approx K_4\}| = |Q_G(K_4)|.$$

**Teorema 2.4.5.** *Si  $G \in \mathcal{G}(s)$ , entonces*

$$\deg(G) = 2dpe(s) + 2c_4(G) - p_4(G) - 4k_4(G). \quad (2.7)$$

Siendo  $\|G\| = m$ , (2.7) puede reescribirse como  $\deg(G) =$

$$m(m+1) - |s|^2 + 2c_4(G) + 3k_3(G) - 4k_4(G) - \sum_{uv \in E(G)} (d_u - 1)(d_v - 1).$$

*Demostración.* Antes de empezar, tengamos en mente que  $dpe(G) = |\{H \subseteq G : H \approx 2K_2\}|$ . Si  $Y \preceq G$  e  $|Y| = 4$ , observemos que

$$|\{H \subseteq G : H \approx Y\}| = \sum_{i=1}^{11} |Q_G(X_i)| |\{H \subseteq X_i : H \approx Y\}|, \quad (2.8)$$

donde la suma en (2.8) tiene 11 sumandos porque hace referencia a los 11 grafos  $X_i$  de la Figura 1.10. Para simplificar la notación, vamos a usar el símbolo  $|X|$  en lugar de  $|Q_G(X)|$  y vamos a escribir  $p_4$ ,  $c_4$ ,  $k_4$  y  $dpe$  en lugar de  $p_4(G)$ ,  $c_4(G)$ ,  $k_4(G)$  y  $dpe(s)$ . Aplicando la fórmula (2.8) a  $Y \in \{C_4, P_4, 2K_2\}$ , obtenemos que

$$\begin{aligned} c_4 &= |D_4| + |C_4| + 3k_4, \\ p_4 &= 4|C_4| + |P_4| + 2|U_4| + 6|D_4| + 8k_4, \\ dpe &= 2|C_4| + |P_4| + |2K_2| + |U_4| + 2|D_4| + 3k_4. \end{aligned}$$

Vamos a despejar  $|C_4|$ ,  $|2K_2|$  y  $|P_4|$  respectivamente de la primera, tercera y segunda igualdad anterior. Luego, por el Teorema 2.3.1, tenemos que

$$\begin{aligned} \deg(G) &= 2(c_4 - |D_4| - 3k_4) + \\ & 2(dpe - 2|C_4| - |U_4| - |P_4|) + \\ p_4 - 4|C_4| - 2|U_4| - 6|D_4| - 8k_4 &= \\ 2dpe + 2c_4 + p_4 - 12|D_4| - 20k_4 - 4|U_4| - 2(4|C_4| + |P_4|) &= \\ 2dpe + 2c_4 + p_4 - 12|D_4| - 20k_4 - 4|U_4| + \\ - 2(p_4 - 2|U_4| - 6|D_4| - 8k_4) &= \\ 2dpe + 2c_4 - p_4 - 4k_4. \end{aligned}$$

□

El Teorema 2.4.5 expresa en cierto sentido que la dificultad computacional de calcular el 2-switch-degree de  $G$  radica esencialmente en encontrar la cantidad de cliques de tamaño 4 en  $G$ , es decir,  $k_4(G)$ . Esto se debe a que es

relativamente “fácil” calcular los números  $c_4(G)$  y  $k_3(G)$  (del cual depende  $p_4(G)$ ). En efecto, es bien conocido que estos pueden obtenerse desde la **matriz de adyacencia**  $A$  de  $G$ , una matriz  $n \times n$ , donde  $n = |G|$ , cuya entrada  $[A]_{ij} = 1$  si  $ij \in E(G)$ , y  $[A]_{ij} = 0$  en caso contrario. En efecto,

$$k_3(G) = \frac{1}{6} \text{tr}(A^3),$$

donde  $\text{tr}()$  es la traza, y

$$c_4(G) = \frac{1}{2} \sum_{1 \leq i < j \leq n} \binom{[A^2]_{ij}}{2}.$$

También tenemos que

$$\text{tr}(A^4) = 8c_4(G) + 2\|G\| + 4 \sum_{v=1}^n \binom{d_v}{2} = 8c_4(G) - 2\|G\| + 2|s|^2,$$

$$c_4(G) = \frac{1}{8} \text{tr}(A^4) + \frac{1}{4} \|G\| - \frac{1}{4} |s|^2 = \frac{1}{8} \text{tr}(A^4) + \frac{1}{2} \text{dpe}(s) - \frac{1}{4} \|G\|^2.$$

Para el número  $k_4$  no se han encontrado hasta ahora fórmulas cerradas como las que acabamos de ver para  $k_3$  y  $c_4$ . De hecho, el problema de encontrar la cantidad de cliques de un cierto tamaño en un grafo dado es en general un problema de extrema dificultad computacional, ya que es NP-completo. Sin embargo, en ciertas familias de grafos podría ser “fácil” encontrar el grado de sus miembros (o el grado, inclusive, podría ser constante en tales familias!), lo cual permitiría calcular  $k_4$  fácilmente también, mediante la fórmula (2.7).

Como corolarios inmediatos del Teorema 2.4.5, podemos obtener fórmulas simplificadas para clases específicas de grafos. Por ejemplo, si  $G$  es libre de triángulos (es decir,  $G$  no contiene ciclos de tamaño 3), entonces  $k_3(G) = 0 = k_4(G)$ . Si en cambio  $G$  es libre de  $C_4$  (es decir,  $G$  no contiene ciclos de tamaño 4) entonces  $c_4(G) = 0 = k_4(G)$ . La **cintura** (o **girth**) de un grafo  $G$ , denotada por  $g(G)$ , es la longitud del ciclo más corto contenido en  $G$ . Si  $G$  es acíclico, se define  $g(G) = \infty$ . Notemos que  $g(G) \geq 5$  si y solo si  $k_3(G) = 0 = c_4(G)$ .

**Corolario 2.4.6.** *Sea  $G \in \mathcal{G}(s)$ . Si  $g(G) \geq 5$ , entonces*

$$\text{deg}(G) = 2\text{dpe}(s) - p_4(G). \quad (2.9)$$

Siendo  $\|G\| = m$ , (2.9) puede reescribirse como

$$\text{deg}(G) = m(m+1) - |s|^2 - \sum_{uv \in E(G)} (d_u - 1)(d_v - 1).$$

*Demostración.* Se sigue de la discusión anterior.  $\square$

Como aplicación del Corolario 2.4.6, podemos calcular el grado de caminos y ciclos, ya que  $g(P_n) = \infty$  y  $g(C_n) = n$ .

Los caminos de orden 1 o 2 tienen obviamente grado 0. Para  $n \geq 3$ ,  $s = s(P_n) = 2^{n-2}1^2$ . Dado que  $dpe(s) = \binom{n-2}{2}$  y  $p_4(P_n) = n - 3$ , tenemos

$$\deg(P_n) = (n - 3)^2. \quad (2.10)$$

Para cada  $n \geq 3$ ,  $s(C_n) = 2^n = s$  y  $dpe(s) = \binom{n}{2} - n$ . Claramente,  $\deg(C_3) = 0$  y  $\deg(C_4) = 2$ . Si  $n \geq 5$ , entonces  $p_4(C_n) = n$  y, por lo tanto,

$$\deg(C_n) = n(n - 4). \quad (2.11)$$

Notemos que  $\deg(C_n) \geq \deg(P_n)$ , para todo  $n \geq 3$ . Podemos aplicar las fórmulas (2.10) y (2.11) al fin de obtener una cota inferior para el grado de un grafo  $G$  que contiene un cierto camino  $P$  o ciclo  $C$  como subgrafo inducido. En efecto, se sigue de la Proposición 2.3.3 que  $\deg(G) \geq \deg(P), \deg(C)$ .

Sea  $G$  un grafo con secuencia de grados  $s = (d_v)_{v=1}^n$ . Los números

$$\zeta_1(G) = \sum_{v=1}^n d_v^2 = |s|^2,$$

$$\zeta_2(G) = \sum_{uv \in E(G)} d_u d_v$$

se llaman respectivamente **primer** y **segundo índice de Zagreb** de  $G$ . Son parámetros bien conocidos en Teoría de Grafos Químicos, muy estudiados en la literatura. Estos invariantes topológicos (así es como se los suele llamar en ámbito químico) son muy buenos para cuantificar características estructurales de los compuestos químicos. Tanto  $\zeta_1$  como  $\zeta_2$  fueron introducidos por primera vez en 1972 por Gutman y Trinajstić y se han utilizado para relacionar propiedades moleculares, como la estabilidad química y la energía de los electrones  $\pi$ . Estos últimos son los electrones que participan en los enlaces  $\pi$ , un tipo de enlace covalente que se forma cuando dos orbitales atómicos  $\pi$  se solapan lateralmente. Existe una relación entre la energía total de los electrones  $\pi$  y los índices de Zagreb, ya que estos últimos capturan aspectos de la conectividad y ramificación de la estructura molecular que influyen en la deslocalización electrónica. Por ejemplo, en ciertos estudios, se ha encontrado que una mayor ramificación (reflejada en valores más altos de los índices de Zagreb) puede conducir a una menor estabilidad y, por ende, a una mayor energía total de los electrones  $\pi$ . Por lo tanto, los índices de

Zagreb pueden servir como herramientas útiles para estimar y comprender cómo la estructura molecular afecta la energía de los electrones  $\pi$ .

Es un hecho curioso que estos índices químicos surjan naturalmente en nuestro contexto. En efecto, como  $\sum_{uv \in E(G)} (d_u + d_v) = \zeta_1(G)$ , tenemos que

$$\sum_{uv \in E(G)} (d_u - 1)(d_v - 1) = \zeta_2(G) - \zeta_1(G) + \|G\|. \quad (2.12)$$

Sabemos que la suma en el lado izquierdo de (2.12) (la cual equivale a  $p_4(G) + 3k_3(G)$ ), por la Proposición 2.4.4 es parte de la fórmula del Teorema 2.4.5 y del Corolario 2.4.6 para calcular  $\deg(G)$ . Luego, vemos que hay una relación entre el 2-switch y los índices de Zagreb. Más específicamente, el próximo teorema nos dice de que manera el 2-switch-degree está ligado a  $\zeta_2$ .

**Teorema 2.4.7.** *Si  $G$  es un grafo, entonces*

$$\deg(G) + \zeta_2(G) = \|G\|^2 + 2c_4(G) + 3k_3(G) - 4k_4(G).$$

*Demostración.* Se sigue de la discusión anterior.  $\square$

Cuando  $g(G) \geq 5$ , obtenemos un corolario notable del Teorema 2.4.7: la suma del 2-switch-degree con el segundo índice de Zagreb iguala el cuadrado del tamaño.

**Corolario 2.4.8.** *Si  $g(G) \geq 5$ , entonces*

$$\deg(G) + \zeta_2(G) = \|G\|^2. \quad (2.13)$$

*Demostración.* Se sigue inmediatamente del Teorema 2.4.7, ya que  $0 = c_4(G) = k_3(G) = k_4(G)$  cuando  $g(G) \geq 5$ .  $\square$

Supongamos ahora de estar estudiando los valores extremales del segundo índice de Zagreb (y también “quien” los realiza) en una familia de grafos con tamaño fijo. La igualdad (2.13) puede ser muy útil en este caso porque nos dice que minimizar (maximizar)  $\zeta_2$  equivale a maximizar (minimizar) el grado.

## 2.5. Grado de árboles y unicíclicos

Recordemos que con  $\mathcal{F}(s)$  denotamos la familia de todos los bosques con secuencia de grados  $s$ . Dado que todos los miembros de esta familia tienen la misma cantidad de componentes conexas, se sigue que si uno de ellos es un árbol, entonces todos los demás lo son también. Un 2-switch  $\tau$  sobre un

bosque  $F \in \mathcal{F}(s)$  se dice que es un **f-switch** sobre  $F$  si  $\tau(F) \in \mathcal{F}(s)$ . Cuando  $F$  es un árbol, podemos usar el termino **t-switch** en lugar de f-switch. El **f-grado** de un bosque  $F$ , denotado por  $\deg_f(F)$ , es el grado del vértice  $F$  en el grafo  $\mathbf{T}(\mathcal{F}(s))$ . Equivalentemente,  $\deg_f(F)$  es la cantidad de f-switches que actúan en  $F$ . Claramente,  $\deg_f(F) \leq \deg(F)$ , pues  $\mathcal{F}(s) \preceq \mathcal{G}(s)$ .

El siguiente resultado proporciona una fórmula para calcular el f-grado de un árbol.

**Teorema 2.5.1.** *Sea  $T$  un árbol en  $\mathcal{F}(s)$ , donde  $s = (d_v)_{v=1}^n$ . Entonces,*

$$\deg_f(T) = dpe(s) = \binom{n-1}{2} - \sum_{v=1}^n \binom{d_v}{2} = \binom{n}{2} - \frac{1}{2}|s|^2,$$

donde  $\binom{i}{j} = 0$  si  $i < j$ .

*Demostración.* Consideremos los 2-switches  $\tau = \begin{pmatrix} a & b \\ c & d \end{pmatrix}$  y  $\tau' = \begin{pmatrix} a & b \\ d & c \end{pmatrix}$ . Suponiendo que  $ab\dots cd$  es el camino que conecta  $a$  con  $d$  en  $T$ , podemos observar que:

1.  $\tau$  es un t-switch en  $T$ ;
2. si  $bc \notin E(T)$ , entonces  $\tau'$  desconecta a  $T$ , y por ende no es un t-switch en  $T$ ;
3. si  $bc \in E(T)$ , entonces  $\tau'$  es inactivo en  $T$ .

Con esto en mente, es fácil ver ahora que podemos realizar exactamente un t-switch en  $T$  por cada par no ordenado de aristas disjuntas de  $T$ . Luego,  $\deg_f(T) = dpe(s)$ , y por ende aplicamos la Proposición 2.4.1.  $\square$

Es un hecho bastante sorprendente que el f-grado de un árbol  $T \in \mathcal{F}(s)$  sea un invariante asociada a  $s$ . El Teorema 2.5.1 tiene un gran impacto sobre la estructura global de  $\mathbf{T}(\mathcal{F}(s))$ . En efecto, vemos que todo vértice de este espacio de transición tiene el mismo grado, es decir,  $dpe(s)$ . Además, ya sabemos desde la Sección 1.2 que  $\mathcal{F}(s)$  es conexo ([5], pag. 9). Por ende, obtenemos el siguiente corolario.

**Corolario 2.5.2.** *Si  $s$  es la secuencia de grados de un árbol, entonces  $\mathcal{F}(s)$  es un grafo conexo y  $k$ -regular, donde  $k = dpe(s)$ .*

*Demostración.* Se sigue de la discusión anterior.  $\square$

Recién, dijimos que el grado de un árbol no es en general una invariante asociada a su secuencia de grados. El próximo corolario justifica esta afirmación.

**Corolario 2.5.3.** *Si  $T$  es un árbol de orden  $n$ , entonces*

$$\deg(T) = 2 \deg_f(T) - \sum_{uv \in E(T)} (d_u - 1)(d_v - 1) = (n - 1)^2 - \zeta_2(T). \quad (2.14)$$

*Demostración.* La primera igualdad es una consecuencia inmediata de los Teoremas 2.4.5 y 2.5.1, donde  $0 = k_3(T) = c_4(T) = k_4(T) = 0$  y  $dpe(T) = \deg_f(T)$ . La segunda igualdad se sigue del Corolario 2.4.6.  $\square$

Si  $T$  es un árbol en  $\mathcal{G}(s)$ , observemos que  $\deg(T) - \deg_f(T)$  es la cantidad de vecinos disconexos de  $T$  en  $\mathcal{G}(s)$ .

Con  $\mathcal{U}(s)$  denotamos la familia de todos los unicíclicos con secuencia de grados  $s$ . Cabe remarcar que  $\mathcal{U}(s)$  es conexo ([4], pag. 8), algo que ya se dijo entre líneas en la Sección 1.2. Un 2-switch  $\tau$  sobre un unicíclico  $U \in \mathcal{U}(s)$  se dice que es un **u-switch** sobre  $U$  si  $\tau(U) \in \mathcal{U}(s)$ . El **u-grado** de un unicíclico  $U$ , denotado por  $\deg_u(U)$ , es el grado del vértice  $U$  en el grafo  $\mathbf{T}(\mathcal{U}(s))$ . Equivalentemente,  $\deg_u(U)$  es la cantidad de u-switches que actúan en  $U$ . Claramente,  $\deg_u(U) \leq \deg(U)$ , pues  $\mathcal{U}(s) \preceq \mathcal{G}(s)$ .

En un grafo unicíclico  $U$  siempre podemos localizar los siguientes dos subgrafos: el único ciclo  $C$  que posee  $U$  y el bosque

$$F = U - E(C) - \{v \in V(C) : \deg_U(v) = 2\}.$$

Luego,  $E(U) = E(C) \dot{\cup} E(F)$  y  $|V(F) \cap V(C)|$  es la cantidad de componentes de  $F$ . Si  $s(U) = 2^n$ , entonces  $U \approx C_n$  y  $F = K_0$ . Pero si  $d_v \neq 2$  para algún  $v \in V(U)$ , entonces  $E(F) \neq \emptyset$ . Cabe aclarar que  $C$  es un subgrafo inducido de  $U$ , pero  $F$ , en general, no lo es.

**Corolario 2.5.4.** *Si  $U \in \mathcal{U}(s)$  es un grafo unicíclico de orden  $n$  con un ciclo de tamaño  $c$ , entonces*

$$\deg(U) = \begin{cases} n^2 - \zeta_2(U) + 3, & \text{si } c = 3 \\ n^2 - \zeta_2(U) + 2, & \text{si } c = 4 \\ n^2 - \zeta_2(U), & \text{si } c \geq 5 \end{cases}$$

*Demostración.* Se sigue inmediatamente del Teorema 2.4.7.  $\square$

**Teorema 2.5.5** ([4], pag. 5). *Sea  $\tau$  un 2-switch que actuó sobre las aristas  $e_1$  y  $e_2$  de un unicíclico  $U$ . Si  $C$  y  $F$  son, respectivamente, el ciclo y el bosque de  $U$ , entonces tenemos lo siguiente:*

1. *si  $e_1, e_2 \in F$  y  $e \in E(C)$ , entonces  $\tau$  es un u-switch en  $U$  si y solo si es un t-switch en  $U - e$ ;*

2. si  $e_1 \in C$  y  $e_2 \in F$ , entonces  $\tau$  es un  $u$ -switch sobre  $U$ ;
3. si  $e_1, e_2 \in C$ , entonces  $\tau$  es un  $u$ -switch en  $U$  si y solo si  $\tau(C) \approx C$ .

**Teorema 2.5.6.** Si  $U$  es un grafo unicíclico con ciclo  $C$  y bosque  $F$ , entonces

$$\begin{aligned} \deg_u(U) &= \deg(U) - \deg(C) + dpe(C) - dpe(F) + p_4(F) \\ &= \deg(U) - \deg(C) - \deg(F) + dpe(C) + dpe(F). \end{aligned}$$

*Demostración.* Podemos obtener las fórmulas requeridas calculando la cantidad  $\bar{u}(U)$  de  $u$ -switches que no preservan la estructura unicíclica de  $U$ , porque  $\deg_u(U) = \deg(U) - \bar{u}(U)$ . Por medio del Teorema 2.5.5, se deduce que estos 2-switches pueden agruparse en dos clases disjuntas:

- (1). aquellos entre aristas de  $F$  que no son  $t$ -switches sobre  $U - e$ , para cada  $e \in E(C)$ ;
- (2). aquellos entre aristas de  $C$  que dividen a  $C$  en dos ciclos disjuntos.

Si  $F$  tiene  $k$  componentes  $T_i$ , entonces hay  $\deg(T_i) - \deg_f(T_i)$  2-switches de tipo (1) actuando en cada  $T_i$ . Además, hay exactamente un 2-switch de tipo (1) por cada par (no ordenado) de aristas que yacen en diferentes componentes de  $F$ . Usando el Teorema 2.4.6, se deduce que

$$\deg(T_i) - \deg_f(T_i) = dpe(T_i) - p_4(T_i).$$

Más aún, es claro que

$$\sum_{i=1}^k p_4(T_i) = p_4(F).$$

Finalmente, como

$$dpe(F) = \sum_{i=1}^k dpe(T_i) + \sum_{1 \leq i < j \leq k} \|T_i\| \|T_j\|$$

por la Proposición 2.4.2, encontramos que hay

$$dpe(F) - p_4(F) \tag{2.15}$$

2-switches de tipo (1) activos en  $U$ . Usando el Teorema 2.4.6, vemos que (2.15) es igual a  $\deg(F) - dpe(F)$ .

Para determinar la cantidad de 2-switches de tipo (2), notemos primero que  $\deg_u(C) = dpe(C)$ . Entonces, hay

$$\deg(C) - dpe(C)$$

u-switches de tipo (2) activos en  $U$ , y por lo tanto,

$$\bar{u}(U) = \deg(C) - dpe(C) + dpe(F) - p_4(F).$$

□

**Corolario 2.5.7.** *Sea  $U \in \mathcal{U}(s)$  un grafo unicíclico de orden  $n$  con ciclo  $C$  y bosque  $F$ . Si  $c = |C|$ , entonces tenemos que*

$$\deg_u(U) = \begin{cases} 2dpe(s) + dpe(F) - \deg(F) - p_4(U), & \text{si } c = 3 \\ 2dpe(s) + dpe(F) - \deg(F) - p_4(U) + 2, & \text{si } c = 4 \\ 2dpe(s) + dpe(F) - \deg(F) - p_4(U) - \frac{c}{2}(c - 5), & \text{si } c \geq 5 \end{cases}$$

donde

$$p_4(U) = \begin{cases} \zeta_2(U) - |s|^2 + n - 3, & \text{si } c = 3 \\ \zeta_2(U) - |s|^2 + n. & \text{si } c \geq 4 \end{cases}$$

Contrariamente a los espacios de árboles con la misma secuencia de grados,  $\mathcal{U}(s)$  no es regular en general. Para ver esto, consideremos el unicíclico  $U$  que se obtiene identificando un vértice de un triángulo con una hoja de un  $P_4$ , y el unicíclico  $U'$  obtenido identificando un vértice de un  $C_4$  con una hoja de un  $P_3$ . Vemos que  $s(U) = 3^1 2^4 1^1 = s(U')$ . Sin embargo,  $\deg_u(U) = 11$  y  $\deg_u(U') = 10$ .

# Capítulo 3

## Cociente por gemelos

Sean  $u$  y  $v$  vértices de un grafo  $G$ . Decimos que  $u$  es **gemelo** de  $v$  en  $G$  si

$$N_G(u) - v = N_G(v) - u.$$

En otras palabras, dos vértices gemelos en  $G$  se ven como “copias” uno del otro en  $G$ , ya que sus vecindarios son esencialmente idénticos. En este capítulo, desarrollamos una herramienta de simplificación estructural para grafos: el cociente por gemelos. Informalmente, este operador identifica vértices gemelos en  $G$ , es decir, para cada  $v \in V(G)$ , elimina todos sus gemelos. Así, se reduce en  $G$  la información redundante que proviene de tener copias de un cierto vértice. Al grafo que se obtiene de  $G$  al cabo de este proceso lo denotamos con  $[G]$ . Al pasar de  $G$  a  $[G]$  es claro que, en general, algo de información se pierde. Uno de los objetivos principales de este capítulo es cuantificar esta pérdida, estudiando cuales son las propiedades esenciales de  $G$  que se mantienen en  $[G]$ . Otro objetivo fundamental es entender como se comporta el cociente por gemelos en relación a la composición de Tyshkevich. Por último, hay que mencionar que este capítulo cumple también una función preparatoria para el Capítulo 4, en el cual veremos que los vértices gemelos surgen naturalmente en el contexto de grafos split, jugando un papel muy importante. Dividimos todo este análisis en 5 secciones.

En la Sección 3.1 mostramos una serie de resultados básicos sobre el cocientes por gemelos. Vemos que “ser gemelos en  $G$ ” es una relación de equivalencia sobre  $V(G)$ , la cual indicamos con  $\cong_G$ , y a partir de esto definimos rigurosamente  $[G]$  como un grafo cuyos vértices son las clases de equivalencia. Sucesivamente, estudiamos como se relaciona  $\cong_G$  con  $\cong_H$  cuando  $H \preceq G$ ; entre otras cosas, probamos que  $[H]$  es esencialmente un subgrafo inducido de  $[G]$ . Luego, demostramos que  $[G]$  es isomorfo al subgrafo inducido de  $G$  que se obtiene al remover todos sus vértices gemelos hasta dejar un solo

representante de cada clase. Sucesivamente, se muestra que  $[*]$  preserva cliques y conjuntos independientes de manera “natural”. Finalizamos la sección probando que los vértices inactivos del mismo grado son gemelos.

En la Sección 3.2, nos enfocamos sobre el cociente por gemelos en grafos split. Aquí el resultado a destacar es que  $[S]$  es balanceado si y solo si  $S$  es balanceado.

En la Sección 3.3 el objetivo primario es estudiar bajo que condiciones  $[*]$  preserva la propiedad de ser un grafo activo. De hecho, vemos que en general este no es el caso, es decir,  $G$  activo no implica siempre que  $[G]$  sea activo. Por el contrario, un cociente activo fuerza a que el grafo original sea activo. En la Sección 2.1 vimos que existe una relación entre  $\text{diam}(G)$  y el hecho de que  $G$  sea activo o no. Esto vuelve a ser importante aquí. En efecto, mostramos que, si  $\text{diam}(G) \geq 4$ , entonces  $[G]$  es activo si y solo si  $G$  lo es. Un resultado idéntico se obtiene también para grafos split activos, cuyo diámetro siempre es 3. Todo estos resultados se deben al hecho de que el cociente preserva distancias  $\geq 3$ .

En la Sección 3.4, buscamos comprender como se comporta el cociente respecto de la composición de Tyshkevich. Primero, probamos que si  $H = S \circ G$ , entonces un vértice  $s \in S$  no puede ser gemelo en  $H$  de un vértice  $g \in G$ . Luego, a través de este y de otros resultados auxiliares, logramos demostrar que  $[*]$  distribuye respecto de  $\circ$ . En otras palabras, el cociente del producto es el producto de los cocientes:  $[H] = [S] \circ [G]$ .

Por último, en la Sección 3.5, introducimos y estudiamos una nueva invariante: el índice cociente. Observamos primero que  $[G]$  puede seguir teniendo gemelos. Sin embargo, si se itera el cociente la suficiente cantidad de veces, siempre se llega eventualmente a un grafo que ya no posee ninguna pareja de vértices gemelos. Un tal grafo se dice que es libre de gemelos. La mínima cantidad de iteraciones del cociente necesarias para que  $G$  llegue a ser libre de gemelos es lo que definimos como índice cociente de  $G$ ,  $i(G)$  en símbolos. Este es un parámetro que, en cierto sentido, mide que “tan lejos” está un grafo de ser libre de gemelos. Luego de haber encontrado una cota superior ajustada para  $i(*)$ , lo determinamos con precisión en ciertas clases específicas, como árboles, unicíclicos y grafos split balanceados. Finalmente, mostramos que  $i(S \circ G)$  depende esencialmente del valor de  $i(G)$ .

### 3.1. Propiedades básicas

Si  $u$  y  $v$  son dos vértices gemelos en un grafo  $G$ , indicaremos esta relación con el símbolo  $u \cong_G v$  (o simplemente  $u \cong v$ , si el grafo en cuestión es claro por el contexto). Es inmediato verificar que “ $\cong_G$ ” es una relación de

equivalencia sobre el conjunto  $V(G)$ . Respecto de esto, queremos enfatizar el siguiente hecho: si  $u \in N_G(v)$ ,  $u \cong_G v$  y  $v \cong_G w$ , entonces  $u \in N_G(w)$ . Por ende, podemos cocientar  $V(G)$  por la relación  $\cong_G$  y así obtener una partición de  $V(G)$  en clases de equivalencia

$$[v]_G = \{x \in V(G) : x \cong_G v\}$$

(o simplemente  $[v]$ , si el grafo en cuestión es claro por el contexto). Si  $W \subseteq V(G)$ , entonces  $[W]_G = \{[v]_G : v \in W\}$ . Vamos a definir ahora el grafo **cociente por gemelos**  $[G]$ , donde

$$V[G] = V([G]) = \{[v]_G : v \in V(G)\},$$

y donde  $[u]$  y  $[v]$  son vecinos en  $[G]$  si y solo si se verifican las siguientes dos condiciones:

1. algún  $u' \in [u]$  es adyacente (en  $G$ ) a algún  $v' \in [v]$ ;
2.  $[u] \neq [v]$ .

Queremos advertir que la condición (2) sirve para evitar que aparezcan bucles en  $[G]$ . En efecto, esto pasaría precisamente cuando una cierta clase  $[v]_G$  es una clique de tamaño  $\geq 2$  en  $G$ .

**Proposición 3.1.1.** *Sea  $G$  un grafo y sean  $u, v \in V(G)$ . Entonces:*

(1). *Si  $[u][v] \in E[G]$ , entonces  $uv \in E(G)$ .*

(2). *Si  $uv \in E(G)$  y  $u$  no es gemelo de  $v$ , entonces  $[u][v] \in E[G]$ .*

*Demostración.* (1). Si  $[u][v] \in E[G]$ , entonces existen vértices  $u', v' \in G$  tales que  $u' \in [u]$ ,  $v' \in [v]$  y  $u'v' \in G$ . Dado que  $u' \in N_{v'}$  y  $v' \cong v$ , se sigue que  $u' \in N_v$  y por ende, que  $v \in N_{u'}$ . Como  $u' \cong u$ , concluimos que  $v \in N_u$ . Por lo tanto,  $uv \in G$ .

(2). Si  $uv \in E(G)$  y  $[u] \neq [v]$ , entonces es obvio que  $[u][v] \in E[G]$  por definición de grafo cociente, ya que  $u \in [u]$  y  $v \in [v]$ .  $\square$

El lema siguiente nos dice que dos vértices gemelos en un grafo  $G$  siguen siendo gemelos en todo subgrafo inducido  $H$  de  $G$  que los contiene. En efecto, si  $u, v \in V(H)$  y  $u \cong_G v$ , entonces

$$N_H(u) - v = (N_u - v) \cap V(H) = (N_v - u) \cap V(H) = N_H(v) - u.$$

**Proposición 3.1.2.** *Si  $G$  un grafo y sea  $H \preceq G$ . Si  $u, v \in V(H)$  y  $u \cong_G v$ , entonces  $u \cong_H v$ . En otras palabras:  $[v]_G \subseteq [v]_H$ , para todo  $v \in V(H)$ .*

*Demostración.* Se sigue de la discusión anterior.  $\square$

Se puede verificar con facilidad que la recíproca de la Proposición 3.1.2 no es cierta, es decir: si dos vértices son gemelos en  $H \preceq G$ , entonces no necesariamente son gemelos también en  $G$ . De hecho, tomando  $G = abcd \approx P_4$  y  $H = abc \approx P_3$ , tenemos que  $a$  y  $c$  son gemelos en  $H$  pero no en  $G$ . Puesto que  $[a]_G = \{a\}$  y  $[a]_H = \{a, c\}$ , este ejemplo nos muestra también que la clase de un vértice puede cambiar si se la mira en un subgrafo inducido.

Si  $H \preceq G$ , es necesario a veces considerar en  $[G]$  el subgrafo inducido por el conjunto  $[V(H)]_G = \{[v]_G : v \in V(H)\}$ . Este subgrafo debería indicarse con el símbolo  $\langle [V(H)]_G \rangle_{[G]}$ , lo cual puede resultar un poco tedioso o incómodo. Por eso, lo reemplazamos por uno más conciso:  $[H]_G$ . Cuando  $H = G$ , recuperamos el cociente usual, ya que  $[G]_G$  es lo que ya indicábamos con el símbolo  $[G]$ . Atención! Si  $H$  es un subgrafo inducido de un grafo  $G$ , entonces en general no es cierto que  $[H] \approx [H]_G$ . En efecto, tomando

$$G = abcd \approx P_4, H = ab \approx K_2, \quad (3.1)$$

tenemos que  $[H] = [a]_H \approx K_1$  y  $[H]_G = [a]_G[b]_G \approx K_2$ . Notamos que en este ejemplo particular  $[H]$  es esencialmente un subgrafo inducido de  $[H]_G$ . Esto será cierto en general?

**Proposición 3.1.3.** *Sea  $G$  un grafo. Si  $H \preceq G$ , entonces la función  $\phi : V[H] \rightarrow [V(H)]_G$ , definida por  $\phi([x]_H) = [x]_G$ , es un homomorfismo entre  $[H]$  y  $[H]_G$ . Además,  $\phi[H] \preceq [H]_G$  (es decir,  $[H]$  es esencialmente un subgrafo inducido de  $[H]_G$ ).*

*Demostración.* Si  $[u]_H[v]_H \in E[H]$ , entonces  $uv \in H$ , por la Proposición 3.1.1. Luego,  $uv \in G$ , pues  $H \subseteq G$ . Observemos que  $[u]_G \neq [v]_G$ , ya que, en caso contrario, tendríamos por la Proposición 3.1.2 que  $u \cong_H v$ , contradiciendo que  $[u]_H \neq [v]_H$ . En consecuencia,  $[u]_G[v]_G \in E[G]$ , por la Proposición 3.1.1. Dado que  $[u]_G = \phi([u]_H)$  y  $[v]_G = \phi([v]_H)$ , concluimos finalmente que  $\phi$  es un homomorfismo.

Al ser  $\phi$  un homomorfismo, tenemos que  $\phi[H] \subseteq [H]_G$ . Para ver que  $\phi[H] \preceq [H]_G$ , probaremos que  $[u]_G[v]_G \in [H]_G$  implica  $[u]_H[v]_H \in [H]$ . Por como está definido  $[H]_G$ , es evidente que  $u, v \in H$ . Aplicando la Proposición 3.1.1, vemos que  $[u]_G[v]_G \in [H]_G$  implica  $uv \in G$ . Luego,  $uv \in H$ , pues  $H \preceq G$ . Puesto que  $\phi([u]_H) = [u]_G \neq [v]_G = \phi([v]_H)$ , es obvio que  $[u]_H \neq [v]_H$ . Por ende,  $[u]_H[v]_H \in [H]$ , de nuevo por la Proposición 3.1.1.  $\square$

Antes de seguir, es importante notar que el homomorfismo  $\phi$  de la Proposición 3.1.3 no es un isomorfismo porque, si bien preserva adyacencias y no-adyacencias, no es biyectivo. Más específicamente,  $\phi$  es inyectivo gracias

a la Proposición 3.1.2, pero en general no es sobreyectivo, como puede verse mediante el ejemplo (3.1).

Es fácil intuir que  $[G]$  es isomorfo al subgrafo inducido de  $G$  que se obtiene al remover todos sus vértices gemelos hasta dejar un solo representante de cada clase.

**Proposición 3.1.4.** *Sea  $G$  un grafo y sea  $V(G) = \{[v_i] : 1 \leq i \leq k\}$ . Entonces  $[G]$  es isomorfo al grafo  $Q = \langle \{v_i : 1 \leq i \leq k\} \rangle_G$ .*

*Demostración.* Sea  $\varphi : V[G] \rightarrow V(Q)$  la función definida por  $\varphi[x] = x$ . Si  $[x] \neq [y]$ , es claro que  $\varphi[x] = x \in [x]$ ,  $\varphi[y] = y \in [y]$  y  $[x] \cap [y] = \emptyset$ . Luego,  $x \neq y$ , con lo cual  $\varphi$  es inyectiva. Por otro lado, vemos que  $V(Q) = \varphi(V[G])$ , por definición de  $Q$ . Por ende,  $\varphi$  es sobre.

Si  $[u][v] \in E[G]$ , entonces  $uv \in G$ , por la Proposición 3.1.1. Por definición de  $Q$ , tenemos que  $u, v \in Q$ . Luego,  $\varphi[u]\varphi[v] \in E(Q)$ , pues  $Q \preceq G$  por definición de  $Q$ .

Recíprocamente, supongamos que  $\varphi[u]\varphi[v] = uv \in Q$ . Obviamente,  $\varphi[u] \neq \varphi[v]$ . De esto se sigue que  $[u] \neq [v]$ , pues  $\varphi$  es biyectiva. Como  $uv \in G$ , concluimos por la Proposición 3.1.1 que  $[u][v] \in E[G]$ . Finalmente, queda demostrado que  $\varphi$  es un isomorfismo.  $\square$

**Proposición 3.1.5.** *Dos vértices  $u$  y  $v$  son gemelos en  $G$  si y solo si son gemelos en  $\overline{G}$ .*

*Demostración.* Ante todo, notemos que  $N_x^c = N_{\overline{G}}(x) \dot{\cup} x$ , para todo  $x \in V(G)$ . Luego, las siguientes igualdades equivalentes prueban el resultado requerido:

$$\begin{aligned} N_u - v &= N_v - u \\ N_u^c \cup v &= N_v^c \cup u \\ (N_{\overline{G}}(u) \cup v) \dot{\cup} u &= (N_{\overline{G}}(v) \cup u) \dot{\cup} v \\ (N_{\overline{G}}(u) - v) \dot{\cup} \{u, v\} &= (N_{\overline{G}}(v) - u) \dot{\cup} \{u, v\} \\ N_{\overline{G}}(u) - v &= N_{\overline{G}}(v) - u. \end{aligned}$$

$\square$

Gracias a la Proposición 3.1.5, queda claro que  $V[\overline{G}] = V(\overline{[\overline{G}]})$ . Veamos que  $E[\overline{G}] = E(\overline{[\overline{G}]})$  también. En efecto, si  $[a][b] \in \overline{G}$ , entonces  $ab \in \overline{G}$  por la Proposición 3.1.1, es decir,  $ab \notin G$ . Luego,  $[a][b] \notin [G]$ , de nuevo por la Proposición 3.1.1, lo cual equivale a que  $[a][b] \in \overline{[G]}$ . Recíprocamente, sea  $[a][b] \in \overline{[G]}$ , es decir,  $[a][b] \notin [G]$ . Como  $[a] \neq [b]$ , se sigue por la Proposición 3.1.1 que  $ab \notin G$ , lo cual equivale a que  $ab \in \overline{G}$ . Por ende,  $[a][b] \in \overline{G}$ ,

de nuevo por la Proposición 3.1.1. Acabamos de probar que cocientar por gemelos conmuta con la complementación.

**Proposición 3.1.6.** *Si  $G$  es un grafo, entonces  $[G] = \overline{[G]}$ .*

*Demostración.* Se sigue de la discusión anterior.  $\square$

**Proposición 3.1.7.** *Sea  $G$  un grafo.*

1. *Si  $v \in V(G)$ , entonces  $[v]$  es una clique o un conjunto independiente en  $G$ ;*
2. *si  $I$  es un conjunto independiente en  $G$ , entonces  $[I]$  es un conjunto independiente en  $[G]$ ;*
3. *si  $K$  es una clique en  $G$ , entonces  $[K]$  es una clique en  $[G]$ .*

*Demostración.* (1). Sea  $H$  el subgrafo de  $G$  inducido por  $[v]$ . Si  $E(H) = \emptyset$ , entonces terminamos porque  $[v]$  es un conjunto independiente. Por ende, supongamos de acá en adelante que  $E(H) \neq \emptyset$ . Si  $|[v]| \leq 2$  el resultado es obvio. Si  $|[v]| \geq 3$ , entonces podemos afirmar, gracias a la independencia del representante para las clases de equivalencia, que existe un vértice  $u \in [v]$  tal que  $uv \in H$ . Sea  $x$  un miembro cualquiera de  $[v] - \{u, v\}$ . Como  $x \cong v$ , tenemos que  $ux \in H$ . Como  $x \cong u$ , entonces  $vx \in H$ . Luego,  $N_H(v) = [v] - v$ . Si  $w \cong v$ , entonces  $N_H(w) - w = N_H(v) - v$ , por la Proposición 3.1.2. En otras palabras:  $N_H(w) = V(H) - w$  para todo  $w \in H$ , lo cual significa que  $H$  es completo.

(2). Si  $[u]$  y  $[v]$  son dos vértices distintos en  $[I] = \{[x] : x \in I\}$ , entonces existen  $u', v' \in I$  tales que  $[u] = [u']$  y  $[v] = [v']$ . Ya que  $u'v' \notin E$ , se sigue por la Proposición 3.1.1 que  $[u'][v'] = [u][v] \notin E[G]$ . Luego,  $[I]$  es un conjunto independiente en  $[G]$ .

(3). Dado que  $K$  es un independiente en  $\overline{G}$ , se sigue que  $[K]$  es un independiente en  $[\overline{G}]$ , por (1). Como  $[\overline{G}] = \overline{[G]}$  por la Proposición 3.1.6, concluimos que  $[K]$  es una clique en  $[G]$ .  $\square$

**Proposición 3.1.8.** *Sean  $u$  y  $v$  vértices inactivos de un grafo  $G$ . Si  $\deg_G(u) = \deg_G(v)$ , entonces  $u \cong_G v$ .*

*Demostración.* Supongamos que  $u$  y  $v$  son dos vértices inactivos de  $G$  con el mismo grado en  $G$ , pero  $N_u - v \neq N_v - u$ . Como  $|N_u - v| = |N_v - u|$ , podemos encontrar vértices  $a, b$  tales que  $a \in N_u - N_v$  y  $b \in N_v - N_u$ . Pero entonces  $\langle a, b, u, v \rangle_G \in Q_G^*$ , lo cual contradice que  $u$  y  $v$  son inactivos. Luego,  $N_u - v = N_v - u$ .  $\square$

La proposición anterior deja de ser cierta si remplazamos la palabra “inactivos” por “activos”. De hecho, basta considerar las hojas  $u$  y  $v$  de un grafo  $G \approx P_4$ .

### 3.2. Cociente en grafos split

En esta sección se establece que el cociente por gemelos es una herramienta eficiente para simplificar los grafos split y estudiar sus propiedades fundamentales. De hecho, recordemos que la idea básica del cociente por gemelos es eliminar esa “redundancia” creada por aquellos vértices que tienen el mismo vecindario. El resultado importante al cual llegamos aquí es que  $[S]$  es balanceado si y solo si  $S$  también lo es. Este se logra por medios de varios pasos intermedios. A continuación, empezamos reflexionando sobre algunos ejemplos concretos.

Dado que el cociente por gemelos es esencialmente un subgrafo inducido del grafo de partida (Proposición 3.1.4), podemos afirmar inmediatamente que  $[S]$  es un grafo split si  $S$  lo es, pues ya sabemos que esta propiedad es hereditaria. Por otro lado,  $[G]$  puede ser un grafo split sin que  $G$  lo sea. En la Figura 3.1 exhibimos el debido contraejemplo. Observando el contraejemplo

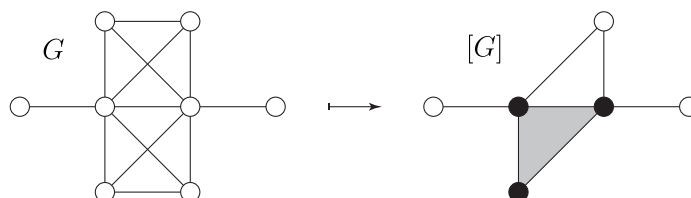


Figura 3.1:  $[G]$  es split (desbalanceado) pero  $G$  no ( $2K_2 \not\preceq G$ ).

en la Figura 3.1 se podría conjeturar que agregando la hipótesis de que  $[G]$  sea balanceado o activo podríamos por fin inferir que  $G$  sea split. Sin embargo, el contraejemplo en la Figura 3.2 hace caer todo tipo de esperanzas en esta dirección (recordemos que activo implica balanceado). Por lo tanto,  $[G]$  puede ser un grafo split activo (o balanceado) sin que  $G$  sea split. Recordemos que un grafo split es balanceado si y solo si no tiene vértices intercambiables. Queremos ver que  $S$  balanceado implica  $[S]$  balanceado. Como un primer paso, veamos que en split balanceados los vértices del conjunto independiente no pueden ser gemelos de los vértices de la clique y viceversa.

**Lema 3.2.1.** *Si  $(S, K, I)$  es balanceado, entonces  $([K], [I])$  es una bipartición para  $[S]$ . En particular:  $[v] \in [I]$  ( $[v] \in [K]$ ) si y solo si  $v \in I$  ( $v \in K$ ).*

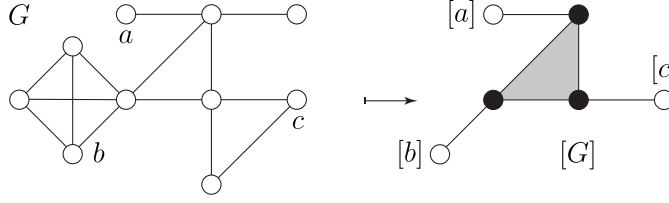


Figura 3.2:  $[G]$  es split y activo pero  $G$  no es split.

*Demostración.* Ya sabemos que  $[S]$  es split, con lo cual solo debemos probar que  $[I] \dot{\cup} [K]$  es una partición de  $V[S]$  tal que  $[I]$  es un conjunto independiente en  $[S]$  y  $[K]$  es una clique en  $[S]$ . Aplicando la Proposición 3.1.7, se sigue que  $[I]$  y  $[K]$  son respectivamente un independiente y una clique en  $[S]$ . Dado que  $V(S) = I \cup K$ , es obvio que  $V[S] = [V(S)] = [I] \cup [K]$ .

Supongamos que  $[x] \in [I] \cap [K]$ . Como  $[x] \in [I]$ , entonces existe un vértice  $u \in I$  tal que  $[x] = [u]$ . Como  $[x] \in [K]$ , entonces existe un vértice  $v \in K$  tal que  $[x] = [v]$ . Dado que  $[u] = [v]$  e  $I \cap K = \emptyset$ , se sigue que  $u \cong v$  y  $u \neq v$ . Por lo tanto,

$$(K - v) \dot{\cup} (N_v \cap (I - u)) = N_v - u = N_u - v \subseteq K - v.$$

Esto implica que  $N_v = K - v$  y  $N_u = K$ . Pero entonces  $u$  y  $v$  son intercambiables. Esto es imposible, porque  $S$  es balanceado. Luego,  $[I]$  y  $[K]$  son disjuntos.

Si  $v \in I$ , es obvio que  $[v] \in [I]$ , por definición de  $[I]$ . Si  $[v] \in [I]$  pero  $v \notin I$ , entonces  $v \in K$ . Luego,  $[v] \in [K]$ , y por ende  $[v] \in [I] \cap [K]$ , contradiciendo que  $[I] \cap [K] = \emptyset$ .  $\square$

El Lema 3.2.1 no es cierto en general si  $(S, K, I)$  no es balanceado. En efecto, sea  $S = abc \approx P_3$ , con  $I = \{a\}$  y  $K = \{b, c\}$ . Entonces,  $a \cong c$ ,  $[I] = \{[c]\}$  y  $[K] = \{[b], [c]\}$ , con lo cual

$$[I] \cap [K] \neq \emptyset. \quad (3.2)$$

Esto significa que: 1) hay un vértice independiente que es gemelo de un vértice clique ( $a \in I, a \cong c \in K$ ); 2)  $[I] \cup [K]$  no es una partición para  $[S] = [a][b] \approx K_2$ .

A través de este mismo ejemplo, observamos también otro fenómeno bastante contraintuitivo: un vértice intercambiable puede tener un gemelo que no es intercambiable. De hecho,  $c$  es intercambiable en  $S$ , pues  $N_c = b = K - c$ , y es gemelo de  $a$  en  $S$ . Sin embargo,  $a$  no es intercambiable en  $S$ , ya que  $N_a = b \neq \{b, c\} = K - a$ . Esto se debe a que la intercambiabilidad de un

vértice en  $S$  está ligada a la bipartición de  $S$ , la cual no es única cuando  $S$  es desbalanceado.

A continuación, hacemos el primer avance importante hacia el objetivo de esta sección.

**Lema 3.2.2.** *Si  $S$  es balanceado, entonces  $[S]$  es balanceado.*

*Demostración.* Gracias al Lema 3.2.1, sabemos que  $([K], [I])$  es una bipartición para  $[S]$ . Supongamos que  $[S]$  tenga un vértice intercambiable  $[w]$ . Sin pérdida de generalidad, podemos asumir que  $[w] \in [I]$ , con lo cual  $N_{[S]}[w] = [K]$ . Por el Lema 3.2.1, tenemos que  $w \in I$ . Si hubiese un vértice  $k \in K$  tal que  $wk \notin S$ , entonces por la Proposición 3.1.1 tendríamos que  $[w][k] \notin E[K]$ . Esto contradice que  $N_{[S]}[w] = [K]$ , pues  $[k] \in [K]$ , por el Lema 3.2.1. Por lo tanto,  $N_w = K$ , lo cual significa que  $w$  es intercambiable en  $S$ , una contradicción.  $\square$

El lema técnico que sigue nos dice en definitiva que el cociente “preserva” el vecindario de un vértice independiente intercambiable, mientras que la clase de este último no forme parte del conjunto de clases de los vértices clique.

**Lema 3.2.3.** *Sea  $(S, K, I)$  un grafo split. Si  $S$  posee un vértice intercambiable  $w \in I$  tal que  $[w] \notin [K]$ , entonces  $N_{[w]} = [K]$ .*

*Demostración.* Si  $[x] \in N_{[w]}$ , es decir, si  $[w][x] \in E[S]$ , entonces  $wx \in S$ , por la Proposición 3.1.1. Como  $w \in I$ , se sigue que  $x \in K$ , con lo cual  $[x] \in [K]$ .

Recíprocamente, supongamos  $[x] \in [K]$ . Entonces existe un vértice  $t \in K$  tal que  $[t] = [x]$ . Dado que  $N_w = K$ , tenemos que  $wt \in S$ . Por ende,  $wx \in S$  también, pues  $x \cong t$ . Como por hipótesis  $[w] \notin [K]$ , es obvio que  $[w] \neq [x]$ . Por lo tanto,  $[x] \in N_{[w]}$ , por la Proposición 3.1.1.  $\square$

El Lema 3.2.3 nos sirve ahora para caracterizar cuando  $S$  es balanceado, presuponiendo que  $[S]$  lo sea también.

**Lema 3.2.4.** *Sea  $(S, K, I)$  un grafo split tal que  $[S]$  es balanceado. Entonces,  $S$  es balanceado si y solo si  $[I] \cap [K] = \emptyset$ .*

*Demostración.* Supongamos que  $[I] \cap [K] = \emptyset$  pero  $S$  posee un vértice intercambiable  $w \in I$ . Entonces,  $([K], [I])$  es una bipartición para  $[S]$  y  $[w] \in [I] - [K]$ . Luego, por el Lema 3.2.3 tenemos que  $N_{[w]} = [K]$ , lo cual contradice la hipótesis de que  $[S]$  es balanceado.

La afirmación recíproca ya se ha probado en el Lema 3.2.1.  $\square$

El próximo es el último lema antes de probar que  $S$  es balanceado si y solo si  $[S]$  lo es también. Este reafirma algo ya visto en el ejemplo (3.2): cuando  $S$  es desbalanceado, la clase de un vértice intercambiable puede impedir que  $[I] \cup [K]$  sea una partición en el cociente.

**Lema 3.2.5.** *Sea  $(S, K, I)$  un grafo split. Si  $S$  posee un vértice intercambiable  $w$ , entonces  $[I] \cap [K] \subseteq \{[w]\}$ .*

*Demostración.* Suponiendo, sin pérdida de generalidad, que  $w \in I$ , alcanza con probar que  $[I - w] \cap [K] = \emptyset$ , ya que

$$([I - w] \cup w) \cap [K] = ([I - w] \cap [K]) \cup (\{[w]\} \cap [K]).$$

Si  $[x] \in [I - w] \cap [K]$ , entonces existen vértices  $u \in I - w$  y  $v \in K$  tales que  $[u] = [x] = [v]$ . Como  $N_w = K$  y  $w \notin \{u, v\}$ , se sigue que  $w \in N_v - u = N_u - v$ . Pero entonces  $uw \in S$ , lo cual es absurdo.  $\square$

**Teorema 3.2.6.** *Si  $S$  es un grafo split, entonces  $[S]$  es balanceado si y solo si  $S$  es balanceado.*

*Demostración.* Ya sabemos que  $[S]$  es balanceado si  $S$  lo es, por el Lema 3.2.2. Supongamos ahora que  $[S]$  es balanceado y que  $(S, K, I)$  tiene un vértice intercambiable  $w \in I$ . Entonces, combinando los Lemas 3.2.4 y 3.2.5, deducimos que  $[I] \cap [K] = \{[w]\}$ . En consecuencia,  $V[S] = [I] \dot{\cup} ([K] - [w]) = ([I] - [w]) \dot{\cup} [K]$ . Como  $[S]$  es balanceado, tenemos  $|[I]| = |[I] - [w]| = |[I]| - 1$ , lo cual es absurdo.  $\square$

### 3.3. Cociente, diámetro y grafos activos

Sea  $P$  un camino inducido en un grafo  $G$  que conecta el vértice  $u$  con el vértice  $v$ . Observemos que, si  $u \cong v$  y  $uv \notin G$ , entonces debe ser  $\|P\| = 2$ . En efecto, si fuera  $\|P\| \geq 3$ , tendríamos (sin pérdida de generalidad) un vértice  $w$  adyacente a  $u$  pero no a  $v$ , contradiciendo que  $u \cong v$ . Con esto en mente, se obtiene fácilmente el siguiente lema.

**Lema 3.3.1.** *Sea  $P$  un camino inducido en un grafo  $G$ . Si  $P$  contiene dos vértices gemelos  $u$  y  $v$ , entonces  $u$  y  $v$  son los extremos de  $P$  y  $\|P\| \in \{1, 2\}$ .*

*Demostración.* Supongamos primero que  $uv \in G$ , pero  $\|P\| \geq 2$ . Si  $w \neq v$  es adyacente a  $u$  en  $P$ , entonces  $vw \notin G$ , contradiciendo que  $u \cong v$ . Luego,  $P = uv$ .

Si en cambio  $uv \notin G$ , gracias a la observación anterior podemos escribir  $P = a \dots u w v \dots b$ , para ciertos  $a, w, b \in V(G)$ . Si  $x \neq w$  es un vecino de  $u$  en  $P$ , entonces  $vx \notin G$ , contradiciendo que  $u \cong v$ . Por lo tanto,  $P = u w v$ .  $\square$

**Lema 3.3.2.** *Sea  $n \geq 4$ . Si  $P = v_1v_2 \dots v_n$  es un camino inducido en  $G$ , entonces  $[v_1][v_2] \dots [v_n]$  es un camino inducido en  $[G]$ .*

*Demostración.* Si  $n = 4$ , se sigue del Lema 3.3.1 que  $P$  no contiene vértices que son gemelos en  $G$ . Luego,  $[V(P)] = \{[v_i] : i \in [4]\}$  y  $|[V(P)]| = 4$ . Más aún, combinando los Lemas 3.3.1 y 3.1.1, tenemos que  $[v_1][v_3]$ ,  $[v_1][v_4]$  y  $[v_2][v_4]$  no son aristas de  $[G]$ . Vemos que también  $[v_i][v_{i+1}] \in E[G]$  para todo  $i \in [3]$ , de nuevo por la Proposición 3.1.1. Podemos concluir entonces que  $[v_1] \dots [v_4]$  es un camino inducido en  $[G]$ .

Si  $n \geq 5$ , simplemente aplicamos el caso  $n = 4$  a los caminos inducidos  $v_iv_{i+1}v_{i+2}v_{i+3}$ , para  $i = 2, 3, \dots, n - 3$ .  $\square$

Una **geodésica** entre dos vértices  $u$  y  $v$  en un grafo  $G$  es un camino en  $G$  de longitud  $dist_G(u, v)$ . En otras palabras, una geodésica de  $u$  a  $v$  en  $G$  es un camino de longitud mínima entre  $u$  y  $v$  en  $G$ . Toda geodésica entre  $u$  y  $v$  en  $G$  es un camino inducido en  $G$  que conecta  $u$  con  $v$ . Sin embargo, no todo camino inducido de  $u$  a  $v$  en  $G$  es una geodésica entre  $u$  y  $v$ .

El Lema 3.3.2 nos dice en definitiva que el cociente por gemelos preserva la longitud de todo camino inducido en  $G$  de longitud 3 o más. Claramente, esto aplica también a las geodésicas. Consideremos entonces dos vértices  $u, v \in G$  tales que  $dist(u, v) = r \geq 3$ . Si  $u \dots v$  es una geodésica en  $G$ , entonces  $P = [u] \dots [v]$  es un camino inducido de longitud  $r$  en  $[G]$ . Luego,  $dist([u], [v]) \leq r$ . Supongamos ahora que  $P$  no sea una geodésica entre  $[u]$  y  $[v]$  en  $[G]$ . Entonces, existe un camino  $R \preceq [G]$  que une  $[u]$  con  $[v]$  de longitud  $r' < r$ . Dado que el isomorfismo preserva subgrafos inducidos, se sigue que  $\varphi(R)$  (ver la Proposición 3.1.4) es un camino inducido en  $\varphi[G]$  de longitud  $r'$  que conecta  $u$  con  $v$ . Como  $\varphi[G] \preceq G$ , tenemos por definición de  $dist()$  que  $r \leq r'$ , lo cual es absurdo. Por lo tanto,  $dist([u], [v]) = r$ . A continuación, formalizamos este resultado.

**Teorema 3.3.3.** *Sea  $G$  un grafo y sean  $[u]$  y  $[v]$  dos vértices distintos en  $[G]$ . Si  $dist(u, v) \geq 3$ , entonces*

$$dist([u], [v]) = dist(u, v).$$

*Demostración.* Se sigue de la discusión anterior.  $\square$

Con argumentos similares a los que acabamos de usar, obtenemos con facilidad el próximo corolario. Pero antes, es útil observar es que si un grafo  $G$  contiene a lo sumo un vértice aislado, entonces el cociente “distribuye” sobre cada componente conexa de  $G$ . Es decir, si  $G$  tiene  $k$  componentes  $G_i$ , entonces

$$[G] = \bigcup_{i=1}^k [G_i]. \quad (3.3)$$

**Corolario 3.3.4.** *Sea  $G$  un grafo distinto de  $\overline{K_n}$ , para  $n \geq 2$ . Si  $\text{diam}(G) \geq 3$ , entonces*

$$\text{diam}[G] = \text{diam}(G).$$

*Demostración.* Siendo  $G \not\cong \overline{K_n}$ , es claro gracias a (3.3) que  $[G]$  es desconexo si  $G$  lo es.

Si  $G$  es conexo y si  $u \dots v$  es una geodésica de máxima longitud en  $G$ , entonces  $d = \text{dist}([u], [v]) = \text{dist}(u, v) = \text{diam}(G)$ , por el Teorema 3.3.3. Luego,  $d' = \text{diam}[G] \geq d$ . Supongamos ahora que  $d' > d$ . Entonces, existe una geodésica  $P$  en  $[G]$  de longitud  $d'$ . Dado que el isomorfismo preserva subgrafos inducidos, se sigue que  $\varphi(P)$  (ver la Proposición 3.1.4) es un camino inducido en  $\varphi[G]$  de longitud  $d'$ . Como  $\varphi[G] \preceq G$ , tenemos por definición de  $\text{diam}(\ast)$  que  $d' \leq d$ , lo cual es absurdo. Por lo tanto,  $d' = d$ .  $\square$

Si  $G$  es un grafo activo, es fácil ver que  $[G]$  no necesariamente es activo. En efecto,  $[C_4] = K_2$  y  $[2K_2] = 2K_1$ , por ejemplo. ¿Qué podemos decir de la afirmación recíproca? A continuación, vemos que es cierta.

**Proposición 3.3.5.** *Sea  $G$  un grafo. Si  $[G]$  es activo, entonces  $G$  es activo.*

*Demostración.* Dado  $v \in V(G)$ , mostraremos que  $v \in \text{act}(G)$ . Como  $[G]$  es activo, todos sus vértices son activos. En particular,  $[v]$ . Luego, existen vértices  $[a], [b]$  y  $[c]$  en  $[G]$  tales que el 2-switch  $\begin{pmatrix} [a] & [v] \\ [b] & [c] \end{pmatrix}$  es activo en  $[G]$ . Luego:

1.  $[a][v], [b][c] \in E[G]$ ;
2.  $[a][b], [v][c] \notin E[G]$ ;
3.  $\{[a], [v]\} \cap \{[b], [c]\} = \emptyset$ .

Gracias a (1) y (2), se sigue por medio de la Proposición 3.1.1 que  $av, bc \in E(G)$  y que  $ab, vc \notin E(G)$ . Desde (3) es inmediato deducir que  $[a], [v] \notin \{[b], [c]\}$ . Por ende,  $a, v \notin \{b, c\}$ , es decir,  $\{a, v\} \cap \{b, c\} = \emptyset$ . En consecuencia,  $\begin{pmatrix} a & v \\ b & c \end{pmatrix}$  es un 2-switch activo en  $G$ , lo cual muestra que  $v \in \text{act}(G)$ .  $\square$

**Teorema 3.3.6.** *Sea  $G$  un grafo con diámetro  $\geq 4$ . Si ninguna componente conexa de  $G$  es completa, entonces  $[G]$  es activo si y solo si  $G$  es activo.*

*Demostración.* Ya sabemos por la Proposición 3.3.5 que  $[G]$  activo implica  $G$  activo.

Para la recíproca, supongamos que  $G$  es un grafo activo con diámetro  $d \geq 4$  y sin componentes completas. Por el Teorema 3.3.4, tenemos que  $\text{diam}[G] = d$ . Dado que  $d \geq 4$ , se sigue por el Corolario 2.1.7 que  $[G]$  es

activo, ya que  $[G]$  no tiene vértices aislados. En efecto, si  $[x]$  es aislado en  $[G]$ , entonces necesariamente  $H = \langle [x] \rangle_G$  es disjunto de  $G$  y es vacío o completo. Claramente,  $H$  no puede ser vacío porque  $G$  es activo. Pero entonces  $H$  es completo, contradiciendo la hipótesis.  $\square$

Si  $G$  es un grafo activo con diámetro 3, entonces  $[G]$  puede no ser activo. En la Figura 3.3 se muestra un contraejemplo.

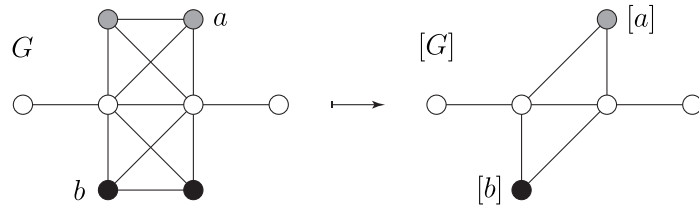


Figura 3.3:  $G$  es activo y  $\text{diam}(G) = 3$ , pero  $[G]$  no es activo.

El contraejemplo de la Figura 3.3 no es un caso aislado lamentablemente. En efecto, podemos generar una cantidad infinita de contraejemplos similares simplemente reemplazando, en  $G$ , los dos  $K_4$ 's pegados al  $P_4$  central con cualquier cantidad  $m$  de  $K_n$ 's. Es fácil verificar que, para todo  $m \geq 2$  y  $n \geq 4$ ,  $G$  seguirá siendo activo y con diámetro 3, y  $[G]$  seguirá teniendo vértices inactivos (en la Figura 3.3 los vértices  $[a]$  y  $[b]$  son inactivos en  $[G]$ ).

Todo grafo split conexo tiene diámetro a lo más 3. Especialmente, todo grafo split activo tiene diámetro 3. El siguiente resultado extiende el Teorema 3.3.4 a los grafos split.

**Teorema 3.3.7.** *Si  $S$  es un grafo split, entonces  $S$  es activo si y solo si  $[S]$  es activo.*

*Demostración.* Gracias a la Proposición 3.3.5, ya sabemos que  $S$  es activo si  $[S]$  lo es.

Para probar la recíproca, supongamos que  $S$  es activo pero  $[S]$  no lo es. En otras palabras,  $[S]$  posee un vértice inactivo  $[x]$ . Como  $[S]$  es split, esto significa que no existen  $P_4$ 's inducidos en  $[S]$  que contengan a  $[x]$ . Dado que  $x \in \text{act}(S)$ ,  $x$  se encuentra contenido en un camino  $P \in Q_S(P_4)$ , pues  $S$  es split. Pero entonces, gracias a la Proposición 3.3.2, tenemos que  $[P]_S$  es un  $P_4$  inducido en  $[S]$  que contiene a  $[x]$ , una contradicción.  $\square$

### 3.4. Cociente y composición

Como ya fue anunciado en la introducción de este capítulo, en esta sección estudiamos como se relaciona el cociente por gemelos con la composición de

Tyshkevich. El resultado importante al cual llegamos es que  $[S \circ G] = [S] \circ [G]$ . Para probar esto, necesitamos primero establecer algunos lemas previos.

**Lema 3.4.1.** *Sea  $(S, K, I)$  un grafo split balanceado y sea  $G$  un grafo. Si  $s \in V(S)$  y  $g \in V(G)$ , entonces  $s$  y  $g$  no pueden ser gemelos en  $S \circ G$ .*

*Demostración.* Por simplicidad, usaremos  $N_x$  en lugar de  $N_{S \circ G}(x)$ . Supongamos que  $N_s - g = N_g - s$ . Puesto que  $K - s \subseteq N_g - s$ , por definición de  $\circ$ , se sigue que  $K - s \subseteq N_s$ , y por ende  $s \in K$ . Además,  $N_g \cap I = \emptyset$ , por definición de  $\circ$ . Luego,  $N_s = K - s$ , lo cual significa que  $s$  es intercambiable en  $S$ , una contradicción.  $\square$

**Lema 3.4.2.** *Sea  $S$  un grafo split balanceado y sea  $G$  un grafo. Si  $H = S \circ G$ , entonces  $[S] = [S]_H$  y  $[G] = [G]_H$ .*

*Demostración.* Dado que  $S \preceq H$ , sabemos gracias a la Proposición 3.1.3 que  $\phi[S] \preceq [S]_H$ , donde  $\phi : [S] \rightarrow [S]_H$  es el homomorfismo definido por  $\phi([x]_S) = [x]_H$ . Por la Proposición 3.1.2, tenemos que  $[x]_H \subseteq [x]_S$ , para todo  $x \in V(S)$ . Supongamos ahora que existan vértices  $u, v \in S$  tales que  $u \in [v]_S - [v]_H$ . Entonces,

$$N_S(u) - v = N_S(v) - u, \quad N_H(u) - v \neq N_H(v) - u.$$

Sea  $(K, I)$  la bipartición de  $S$ . Se sigue del Lema 3.2.1 que  $u, v \in K$  o  $u, v \in I$ . Si  $u, v \in I$ , entonces

$$N_H(u) = N_S(u) = N_S(v) = N_H(v),$$

una contradicción. Si  $u, v \in K$ , entonces

$$N_H(u) - v = (N_S(u) - v) \dot{\cup} V(G) = (N_S(v) - u) \dot{\cup} V(G) = N_H(v) - u,$$

otra contradicción. Por lo tanto, concluimos que  $[x]_S = [x]_H$  para todo  $x \in V(S)$ , con lo cual  $V[S] \subseteq V([S]_H) = [V(S)]_H$ . Si existiera un  $a \in V(S)$  tal que  $[a]_H \in [V(S)]_H - V[S]$ , es obvio que  $[a]_H \neq [a]_S$  para todo  $x \in V(S)$ . Entonces, en particular, tendríamos que  $[a]_H \neq [a]_S$ , lo cual contradice lo que probamos recién. En consecuencia,  $[S] = [S]_H$ .

Obtenemos que  $[G] = [G]_H$  con el mismo razonamiento usado para  $S$ : el único detalle que diferencia los dos casos es que  $N_H(g) = N_G(g) \dot{\cup} K$ , para todo  $g \in V(G)$ .  $\square$

**Lema 3.4.3.** *Si  $G$  es un grafo y  $S$  es un grafo split balanceado, entonces  $V[S \circ G] = V[S] \dot{\cup} V[G]$ .*

*Demostración.* Sea  $H = S \circ G$ . Si  $[x]_H \in [V(S)]_H \cap [V(G)]_H$ , entonces existen vértices  $s \in S$  y  $g \in G$  tales que  $[s]_H = [x]_H = [g]_H$ . Esto contradice el Lema 3.4.1. Luego,

$$V[S \circ G] = [V(S)]_H \dot{\cup} [V(G)]_H.$$

Finalmente, del Lema 3.4.2 se deduce que

$$[V(S)]_H = [V(S)]_S = V[S], \quad [V(G)]_H = [V(G)]_G = V[G].$$

□

Finalmente, usamos ahora los lemas recién probados para establecer el resultado principal de esta sección.

**Teorema 3.4.4.** *Si  $G$  es un grafo y  $(S, K, I)$  es un grafo split balanceado, entonces*

$$[S \circ G] = [S] \circ [G].$$

*Demostración.* Sea  $H = S \circ G$  y  $X = [S] \circ [G]$ . Es claro que  $V(X) = V[S] \dot{\cup} V[G]$ , por definición de  $\circ$ . Luego, derivamos inmediatamente del Lema 3.4.3 que  $V[H] = V(X)$ .

Ahora, necesitamos probar que  $E[H] = E(X)$ . Obviamente, toda arista de  $[S]_H$  o de  $[G]_H$  pertenece a  $[H]$ , ya que  $[S]_H, [G]_H \preceq [H]$ . Luego, toda arista de  $[S]$  o de  $[G]$  es una arista de  $[H]$  también, gracias al Lema 3.4.2. Si  $e$  es una arista de  $X$  que conecta  $[S]$  con  $[G]$ , entonces  $e = [s]_S [g]_G$ , donde  $[s]_S \in [K]_S$  y  $[g]_G \in [G]$  (el hecho de que  $[K]_S$  es la clique de  $[S]$  se debe al Lema 3.2.1). Obviamente,  $s \in S$  y  $g \in G$ . Más específicamente, tenemos por el Lema 3.2.1 que  $s \in K$ . Luego,  $sg \in H$ , por definición de  $\circ$ , y por ende  $[s]_H [g]_H \in [H]$ , por la Proposición 3.1.1. Dado que  $[s]_S = [s]_H$  y  $[g]_G = [g]_H$  por el Lema 3.4.2, concluimos que  $e \in [H]$ . Por lo tanto,  $E(X) \subseteq E[H]$ .

Probemos ahora la inclusión opuesta. Si  $e = xy \in [H]$ , entonces gracias al Lema 3.4.3 podemos distinguir 3 casos: 1)  $x, y \in V[S]$ ; 2)  $x, y \in V[G]$ ; 3)  $x \in V[S], y \in V[G]$ . Respecto del primer caso, podemos escribir  $x = [a]_S$  e  $y = [b]_S$ , para ciertos  $a, b \in V(S)$ . Por el Lema 3.4.2, tenemos que  $[a]_S = [a]_H$  y  $[b]_S = [b]_H$ , con lo cual  $x, y \in [S]_H$ . Dado que  $[S]_H \preceq [H]$ , se sigue que  $e \in [S]_H$ . Como  $[S]_H = [S]$  por el Lema 3.4.2, concluimos que  $e \in X$ , ya que  $[S] \preceq X$ . El mismo argumento aplica también al caso (2).

En el caso (3), podemos escribir  $x = [a]_S$  e  $y = [b]_G$ , para ciertos  $a, b \in V(H)$ , donde  $a \in S$  y  $b \in G$ . Por el Lema 3.4.2, tenemos que  $[a]_S = [a]_H$  y  $[b]_G = [b]_H$ . Como  $e \in [H]$ , se sigue que  $ab \in H$ , por la Proposición 3.1.1. Luego,  $a \in K$ , por definición de  $\circ$ , con lo cual  $[a]_S \in [K]_S$ , por el Lema 3.2.1. Finalmente,  $e = [a]_S [b]_G \in X$ , de nuevo por definición de  $\circ$ .

Al cabo de los 3 casos analizados, queda demostrado que  $E[H] \subseteq E(X)$ . Podemos por lo tanto concluir que  $[H] = X$ . □

**Corolario 3.4.5.** *Sea  $G$  un grafo y sea  $(S, K, I)$  un grafo split. Si  $[S]$  y  $[G]$  son activos, entonces:*

1.  $S$  es balanceado y  $[S \circ G] = [S] \circ [G]$ .
2.  $S, G, S \circ G$  y  $[S \circ G]$  son activos.

*Demostración.* (1). Si  $[S]$  es activo, entonces  $[S]$  es balanceado. Por ende, podemos aplicar el Teorema 3.4.4.

- (2). El grafo  $[S \circ G]$  es activo gracias a los Teoremas 2.3.9 y 3.4.4. Luego,  $S \circ G$  es activo por la Proposición 3.3.5. Finalmente,  $S$  y  $G$  son activos gracias al Teorema 2.3.9.

□

### 3.5. Índice cociente

Una vez que cocientamos por gemelos un grafo  $G$ , nada impide de volver a cocientarlo de nuevo  $[G]$ , obteniendo el grafo  $[[G]]$ , y así sucesivamente. Para esto, será más sencillo usar la notación  $[G]^2$  en lugar de  $[[G]]$  y, general,  $[G]^k$  para indicar que se ha iterado el cociente  $k$  veces sobre  $G$ . Naturalmente,  $[G]^1 = [G]$  y  $[G]^0 = G$ .

Decimos que un grafo  $G$  es **libre de gemelos** si  $G \approx [G]$  (es decir:  $N_G(u) - v \neq N_G(v) - u$ , para todo par de vértices distintos  $u, v \in V(G)$ ). Es fácil encontrar ejemplos de grafos  $G$  en los cuales siguen habiendo pares de vértices gemelos en  $[G]$ , o incluso en  $[G]^2$  o  $[G]^3$ . Esto motiva la creación de un parámetro que mida “que tan lejos” es  $G$  de ser libre de gemelos: el **índice cociente** de  $G$ ,  $i(G)$ . Para  $k \geq 0$ , decimos entonces que  $i(G) = k$  si  $k$  es el menor entero tal que  $[G]^k \approx [G]^{k+1}$ . Por ende,  $G$  es libre de gemelos si y solo si  $i(G) = 0$ . Este parámetro es obviamente finito, ya que, cada vez que cocientamos un grafo donde hay gemelos, removemos al menos un vértice en el proceso. De la Proposición 3.1.6 y de la definición de  $i(*)$  se deduce rápidamente que  $i(G) = i(\overline{G})$ .

**Proposición 3.5.1.** *Para cada número natural  $n$ , existe un grafo  $G_n$  de orden  $n$  tal que  $i(G_n) = n - 1$ . En particular, la desigualdad*

$$i(G) \leq |G| - 1 \tag{3.4}$$

*vale para todo grafo  $G \neq K_0$ , y es ajustada.*

*Demostración.* Si  $V(G_n) = \{v_i : i \in [n]\}$ , consideremos el grafo threshold  $G_n$  definido por la siguiente secuencia binaria

$$\beta_n = \begin{cases} 00101010101 \dots, & \text{si } n \text{ es impar,} \\ 010101010101 \dots, & \text{si } n \text{ es par,} \end{cases}$$

donde el dígito  $b_i$  corresponde al vértice  $v_i$  ( $b_1$  es el primer dígito izquierdo de  $\beta_n$ ). Sean  $V_n^0 = \{v_i : i \text{ es par}\}$  y  $V_n^1 = \{v_i : i \text{ es impar}\}$ . Dado que  $G_n$  es split, no es difícil ver que, cuando  $n$  es impar,  $(V_n^1, V_n^0)$  es una bipartición para  $G_n$ . Por otro lado, cuando  $n$  es par,  $(V_n^0, V_n^1)$  es una bipartición para  $G_n$ . Otras observaciones claves tienen que ver con la secuencia de grados de  $G_n$ . Estas son:

- (1).  $d_{i+2} - d_i = 1$ , si  $v_i$  y  $v_{i+2}$  son vértices clique;
- (2).  $d_i - d_{i+2} = 1$ , si  $v_i$  y  $v_{i+2}$  son vértices independientes;
- (3).  $v_n$  es universal y  $v_{n-1}$  es una hoja;
- (4).  $d_1 = \lfloor n/2 \rfloor = d_2$ ;
- (5).  $v_1$  y  $v_2$  son los únicos vértices con el mismo grado.

Gracias a (5) y a la Proposición 3.1.8, deducimos que  $\{v_1, v_2\}$  es el único par de gemelos en  $G_n$ . Por ende,  $[G_n] \approx G_n - v_1$ , para  $n \geq 2$ . Pero la operación  $G_n - v_1$  corresponde en  $\beta_n$  a reemplazar  $b_1 b_2$  por un 0, de modo que la secuencia binaria de  $G_n - v_1$  queda exactamente igual a  $\beta_{n-1}$ . Luego,  $G_n - v_1 \approx G_{n-1}$ , con lo cual  $[G_n] \approx G_{n-1}$ , si  $n \geq 2$ . Esto significa que  $[G_n]^k \approx G_{n-k}$ , para  $k \geq 0$ , y en consecuencia  $i(G_n) = n - 1$ .  $\square$

Sea  $\{G_n : n \in \mathbb{N}\}$  la familia de grafos construida en la Proposición 3.5.1. Como  $\deg(G_n) = 0$  y  $\text{diam}(G_n) \leq 2$  para todo  $n$ , surge espontáneo preguntarse si la desigualdad (3.4) puede mejorarse si  $\deg(G) \geq 1$  o si  $\text{diam}(G) \geq 3$ . Obviamente,  $|G| \geq 4$ , si  $G$  es activo. Con esto en mente, y si se supone además que  $G$  sea un grafo conexo con diámetro  $\geq 3$ , lo que se puede decir rápidamente usando el Corolario 3.3.4 es que  $i(G) \leq |G| - 4$ , ya que todo grafo de orden  $\leq 3$  tiene diámetro  $\leq 2$  o  $\infty$ .

Por medio de los dos resultados que siguen describimos con precisión el índice cociente de un árbol.

**Lema 3.5.2.** *Sea  $T$  un árbol. Si  $u \cong_T v \neq u$ , entonces  $u$  y  $v$  son hojas.*

*Demostración.* Ya que el resultado es trivialmente cierto para  $|T| \leq 2$ , podemos asumir  $|T| \geq 3$ . Supongamos que  $d_u = \deg_T(u) \geq 2$ . Luego,  $u$  tiene un vecino  $x$  que no está contenido en el camino  $u \dots v$ . Como  $N_u - v = N_v - u$ , se sigue que  $vx \in T$ . Pero entonces  $xu \dots vx$  es un ciclo en  $T$ , absurdo.  $\square$

**Teorema 3.5.3.** *Sea  $T$  un árbol y sea  $d = \text{diam}(T)$ .*

1. *Si  $d \leq 2$ , entonces  $i(T) \leq 3$ .*
2. *Si  $d \geq 3$ , entonces  $i(T) \leq 1$ .*
3. *Un árbol no isomorfo a  $K_2$  es libre de gemelos si y solo si cada uno de sus vértices contiene a lo sumo una hoja en su vecindario.*

*Demostración.* (1). Si  $|T| \leq 3$ , es fácilmente verificable por inspección que  $i(T) \leq 2$ . Si  $|T| \geq 4$ , entonces  $d \leq 2$  implica que  $T$  es una estrella, la cual tiene índice 3.

(2). Supongamos que  $[T]$  contenga dos vértices gemelos distintos  $[u]$  y  $[v]$ . Dado que  $\text{diam}[T] = d$  por el Corolario 3.3.4, tenemos por la Proposición 3.1.4 que  $[T]$  es un árbol. Luego,  $[u]$  y  $[v]$  son hojas, por el Lema 3.5.2.

Si  $\text{dist}(u, v) \geq 3$ , entonces por el Teorema 3.3.3 obtenemos que  $\text{dist}(u, v) = \text{dist}([u], [v]) = 2$ , un absurdo. Por ende, deberá ser  $\text{dist}(u, v) = 2$ , ya que, por la Proposición 3.1.1,  $uv \notin T$ . Sea  $N_{[u]} = \{[x]\} = N_{[v]}$ . Como  $N_u - v \neq N_v - u$ , existe un vértice  $a \notin uv$  tal que  $au \in T$  y  $av \notin T$ . Como  $auxv \subseteq T$  y  $T$  es acíclico, tenemos que  $auxv \preceq T$ . Se sigue entonces del Lema 3.3.2 que  $[a][u][x][v] \preceq [T]$ . Pero entonces  $[u]$  no es una hoja en  $[T]$ , y llegamos a una contradicción.

(3). Es una consecuencia directa del Lema 3.5.2. □

Así como hicimos para árboles, queremos ahora caracterizar el índice cociente de los unicíclicos. La intuición sugiere que este parámetro debería comportarse en unicíclicos “casi” de la misma manera que en árboles. Esto resulta ser cierto, pero requiere más trabajo probarlo.

**Proposición 3.5.4.** *Sea  $G$  un grafo y sea  $[v] \in V[G]$  tal que  $|[v]| \geq 2$ . Entonces*

$$[G - \{xy : x, y \in [v]\}] = [G] = [G + \{xy : x, y \in [v]\}].$$

*En particular,*

$$i(G - \{xy : x, y \in [v]\}) = i(G) = i(G + \{xy : x, y \in [v]\}).$$

*Demostración.* Sabemos que toda clase de equivalencia (por gemelos) en  $G$  es una clique o un independiente en  $G$ .

Supongamos primero que  $[v] = [v]_G$  es una clique. Sea  $H = G - \{xy : x, y \in [v]\}$  y sea  $u \in V(G)$ . Dado que  $N_H(u) = N_u - [v]$  para todo  $u \in V(G) = V(H)$ , es fácil ver que todo par de vértices que eran gemelos (no-gemelos) en  $G$  siguen siendo gemelos (no-gemelos) en  $H$ . En otras palabras,  $[u]_H = [u]$  para todo  $u$ . Por lo tanto,  $V[H] = V[G]$ .

Si  $e = [a][b]$  fuera un arista en  $E[G] - E[H]$ , entonces  $ab \in G$  y  $a \notin [v]$ . Pero entonces  $ab \in H$  y  $e \in [H]$ , por la Proposición 3.1.1, lo que es una contradicción. Luego,  $E[G] \subseteq E[H]$ . Si  $e = [a][b] \in E[H]$ , entonces  $ab \in H \subset G$  y  $e \in [G]$  por la Proposición 3.1.1, con lo cual  $E[H] \subseteq E[G]$ .

Si  $[v]$  es una clique, queda entonces demostrado que  $[G] = [H]$ . Para el caso en que  $[v]$  sea un independiente, simplemente consideramos  $\overline{G}$  y repetimos el proceso.  $\square$

**Lema 3.5.5.** *Sea  $U$  un grafo unicíclico con un ciclo de orden  $\geq 5$ . Si  $a \cong_U b \neq a$ , entonces  $a$  y  $b$  son hojas.*

*Demostración.* Sea  $C$  el ciclo de  $U$ . Observemos que, al ser  $|C| \geq 5$ , existe un arista  $e \in C$  tal que  $N_U(a) = N_T(a)$  y  $N_U(b) = N_T(b)$ , donde  $T = U - e$ . Esto significa que  $a \cong_T b$ . Dado que  $T$  es un árbol,  $a$  y  $b$  tienen que ser hojas en  $T$ , por el Lema 3.5.2. Como la eliminación de  $e$  no afecta las vecindades de  $a$  y  $b$ , concluimos que ambos vértices son hojas también en  $U$ .  $\square$

**Lema 3.5.6.** *Sea  $U$  un grafo unicíclico con un ciclo  $C$  de orden  $\leq 4$  y sea  $a \cong_U b \neq a$ . Entonces solo una de las siguientes situaciones puede verificarse:*

1.  $a, b \in C$  y  $d_a = 2 = d_b$ ;
2.  $a, b \notin C$  y  $d_a = 1 = d_b$ .

*Demostración.* Sea  $C$  el ciclo de  $U$ . Si  $a \notin C$  o  $b \notin C$ , entonces podemos repetir el argumento usado en el Lema 3.5.2 para inferir que  $d_a = 1 = d_b$ . Lo mismo vale si  $ab \in C \approx C_4$ . Quedan entonces solo dos casos para analizar: 1)  $ab \in C \approx K_3$ ; 2)  $a, b \in C \approx C_4, ab \notin C$ . Pero en ambos casos es claro que debe ser  $d_a = 2 = d_b$  ya que, si  $a$  o  $b$  tuvieran vecinos fuera de  $C$ , tendríamos dos o más ciclos en  $U$ .  $\square$

**Lema 3.5.7.** *Sea  $U$  un grafo unicíclico con un ciclo  $C$  de orden  $\leq 4$ . Si  $C$  no contiene gemelos, entonces  $i(U) \leq 1$ .*

*Demostración.* Si  $C$  no contiene gemelos y si  $U$  no es libre de gemelos, se sigue por el Lema 3.5.6 que cada par de gemelos en  $U$  es una par de hojas fuera de  $C$ . Más aún, el hecho de que  $C$  no contiene gemelos implica que existen vértices  $a, b \in C$  tales que  $ab \in U$  y  $\deg_U(a), \deg_U(b) \geq 3$ . Por lo tanto, se sigue que  $\text{diam}(U) \geq 3$ .

Supongamos que  $[x]$  e  $[y]$  sean gemelos (distintos) en  $[U]$ . Si bien  $a$  y  $b$  pueden perder vecinos durante el cociente, es claro que ambos van a conservar al menos un vecino fuera de  $C$  después de ese proceso. En otras palabras, el grado tanto de  $[a]$  como de  $[b]$  sigue siendo  $\geq 3$  en  $[U]$ . Por lo tanto, como  $[U]$  es un unicíclico con un ciclo del mismo orden que  $U$ , se deduce del Lema

**3.5.6** que  $[x]$  e  $[y]$  son hojas de  $[U]$ . Observemos ahora que  $[a][b]$  es un arista del ciclo de  $[U]$  y que  $[U - ab] = [U] - [a][b]$ . Dado que  $U - ab$  es un árbol con diámetro  $\geq 3$ , el Teorema 3.5.3 nos dice que  $[U - ab]$  es libre de gemelos. Sin embargo, llegamos a una contradicción, porque  $[x]$  e  $[y]$  son gemelos en  $[U] - [a][b]$ .  $\square$

**Teorema 3.5.8.** *Sea  $U$  un grafo unicíclico de diámetro  $d$  y sea  $C$  el ciclo de  $U$ .*

1. Si  $|C| \neq 4$  y  $d \geq 3$ , entonces  $i(U) \leq 1$ .
2. Si  $|C| = 4$  y  $U \not\cong C_4$ , entonces  $i(U) \leq 1$ .
3. Si  $U \cong C_4$ , entonces  $i(U) = 2$ .
4. Si  $|C| = 3$  y  $d = 2$ , entonces  $i(U) = 3$ .
5. Si  $U \cong K_3$ , entonces  $i(U) = 1$ .

*Demostración.* Recordemos que, por el Lema 3.5.6, cada par de gemelos en  $U$  se encuentra o bien en  $C$ , o bien en  $U - V(C)$ .

(1). Gracias al Lema 3.5.5, solo tenemos que preocuparnos del caso  $|C| = 3$ . Si  $C = abca$  contiene gemelos, podemos afirmar que  $[a] = [b] \neq [c]$ , sin pérdida de generalidad, gracias a la hipótesis de que  $d \geq 3$  (la cual implica  $U \not\cong K_3$ ). Por la Proposición 3.5.4, tenemos entonces que  $i(U) = i(U - ab) \leq 1$ , por el Teorema 3.5.3, pues  $U - ab$  es un árbol con diámetro  $d$ . Si en cambio  $C$  no contiene gemelos, usamos el Lema 3.5.7.

(2). Si  $U \not\cong C_4$ , es claro que  $d \geq 3$ . Luego, hay a lo sumo una pareja de gemelos en  $V(C)$ . Si  $C = xyztx$  contiene gemelos, entonces podemos afirmar, sin pérdida de generalidad, que  $[x] = [z]$ . Observemos ahora que  $[U] = [U - x]$ . Como  $U - x$  es un árbol, se sigue que  $i[U - x] = 0$ , por el Teorema 3.5.3, con lo cual  $i(U) \leq 1$ . Si en cambio  $C$  no contiene gemelos, usamos el Lema 3.5.7.

(3), (5). Inmediatos de verificar.

(4). En este caso, es fácil ver que  $U$  debe ser isomorfo a un  $K_3$  con  $k \geq 1$  hojas pegadas a unos de sus vértices.  $\square$

Finalmente, establecemos los dos teoremas principales de esta sección, los cuales describen el índice cociente de un grafo split balanceado y el de una composición.

**Teorema 3.5.9.** *Si  $S$  es balanceado, entonces  $i(S) \leq 1$ .*

*Demostración.* Si  $S$  es libre de gemelos, entonces terminamos. Si  $(S, K, I)$  contiene gemelos, supongamos que  $[S]$  tenga un par de vértices distintos  $[u]$  y  $[v]$  tales que  $[u] \cong_{[S]} [v]$ . Gracias al Lema 3.2.1, sabemos que o bien  $\{[u], [v]\} \subseteq [I]$ , o bien  $\{[u], [v]\} \subseteq [K]$ , pues  $[S]$  es balanceado, por el Teorema 3.2.2.

Si  $[u], [v] \in [I]$ , entonces  $u, v \in I$ , por el Lema 3.2.1. Como  $N_u \neq N_v$ , existe, sin pérdida de generalidad, un vértice  $x \in K$  tal que  $ux \in S$  pero  $vx \notin S$ , con lo cual  $[u][x] \in [S]$  y  $[v][x] \notin [S]$ , por la Proposición 3.1.1. Por lo tanto  $N_{[u]} \neq N_{[v]}$ , lo cual contradice el hecho de que  $[u]$  y  $[v]$  son gemelos en  $[S]$ .

Luego,  $[u]$  y  $[v]$  tienen que estar en  $[K]$ . Pero  $[K]$  es el independiente máximo en  $[S]$ , donde  $[u]$  y  $[v]$  siguen siendo gemelos, por la Proposición 3.1.5. Por ende, podemos reciclar los argumentos previos, llegando a otro absurdo. Por lo tanto, podemos concluir que  $[S]$  es libre de gemelos, es decir,  $i(S) = 1$ .  $\square$

**Teorema 3.5.10.** *Si  $S$  es un grafo split balanceado y  $G$  es un grafo, entonces  $i(S \circ G) = \max\{i(S), i(G)\}$ . En particular:  $i(S \circ G) = 0$  si y solo si  $i(S) = 0 = i(G)$ .*

*Demostración.* Sean  $H = S \circ G$ ,  $i(S) = s$ ,  $i(G) = g$  e  $i(H) = h$ . Gracias al Teorema 3.4.4, tenemos que  $[H]^h = [S]^h \circ [G]^h$ . Como  $i([H]^h) = 0$ , se sigue que  $i([S]^h) = 0 = i([G]^h)$ . Luego,  $s, g \leq h$ , y por ende  $\max\{s, g\} \leq h$ .

Para obtener la desigualdad opuesta, vamos a considerar dos casos: 1)  $g \geq 1$ ; 2)  $g = 0$ . Sea  $g \geq 1$ . Por el Teorema 3.5.9, tenemos entonces que  $s \leq g$ . Aplicando el Teorema 3.4.4, obtenemos que  $[H]^{g+1} = [S]^{g+1} \circ [G]^{g+1} \approx [S]^g \circ [G]^g = [H]^g$ . Luego,  $h \leq g = \max\{s, g\}$ . Sea  $g = 0$ . Aplicando de nuevo el Teorema 3.4.4, obtenemos que  $[H]^{s+1} = [S]^{s+1} \circ [G]^{s+1} \approx [S]^s \circ [G]^s = [H]^s$ . Luego,  $h \leq s = \max\{s, g\}$ .  $\square$

# Capítulo 4

## Grafos asociados a los grafos split

En este capítulo introducimos y estudiamos dos objetos asociados a un grafo split  $S$ : el grafo factor de  $S$  y la configuración de flujo de  $S$ . El primero, denotado por  $\Phi(S)$ , es un multigrafo sin loops, mientras que el segundo, denotado por  $\vec{\Phi}(S)$ , es un digrafo. Ambos son isomorfos entre si como grafos simples (ignorando multiplicidades y direcciones de los arcos), pero codifican distinta información combinatoria y estructural de  $S$ .

Este capítulo está dividido en 5 secciones. En la primera definimos  $\Phi(S)$  y relacionamos su conexidad con la de  $A_4(S)$ , obteniendo un análogo del Teorema 1.2.7 para  $\Phi$ , y un análogo del Teorema 1.2.6 para grafos libres de gemelos.

En la segunda se estudia el multigrafo  $\Phi$  bajo la hipótesis que sea un grafo simple y conexo. Vemos que esta condición limita muchísimo la estructura de  $\Phi(S)$  y de  $S$ . Este fenómeno se acentúa aún más si  $\Phi(S)$  es simple y completo. En tales casos, mediante los resultados de el Apéndice B, se logran describir muy bien las posibles realizaciones de  $S$ , sobre todo cuando el mismo es activo.

En la Sección 4.3, nos enfocamos en investigar la longitud y las multiplicidades de los caminos y los ciclos inducidos de  $\Phi$ . Se destacan estos dos resultados: 1) los ciclos inducidos solo pueden tener longitud 3 o 4; 2) solamente las aristas terminales de un camino inducido pueden ser simples. Gracias a (2) obtenemos una cota superior para  $diam(\Phi(S))$  en función del grado de  $S$ .

En la Sección 4.4, definimos el digrafo  $\vec{\Phi}$  y determinamos cuales son las configuraciones dirigidas admisibles para sus ciclos inducidos. En este contexto, introducimos también el concepto de grafo split libre de cuadrados.

En la última sección definimos y estudiamos una clase muy especial de

grafos split: los grafos split lineales. Estos comparten una gran cantidad de propiedades muy peculiares en sus configuraciones de flujo, gracias a las cuales terminamos probando que  $[\Phi(S)]$  es un camino, cuando  $S$  es lineal.

## 4.1. Relación entre $\Phi$ y $A_4$

Sea  $(S, K, I)$  un grafo split. El **grafo factor** de  $S$  es el multigrafo sin bucles  $\Phi(S)$  con  $V(\Phi(S)) = I$ , tal que hay una arista entre  $u$  y  $v \neq u$  para cada  $H \in Q_S(P_4)$  que contiene a  $u$  y  $v$ .

Queremos investigar cómo está relacionada la conexidad de  $\Phi = \Phi(S)$  con la conexidad de  $A_4 = A_4(S)$  (ver el Teorema 1.2.7) y viceversa. La conexidad de  $\Phi$  es equivalente a que entre cualquier par de vértices  $u, v \in I$  haya un camino en  $A_4$  que conste únicamente de vértices de  $I$ . Esta es la idea general detrás de los Lemas 4.1.1, 4.1.2 y 4.1.3, los cuales sirven para demostrar que  $\Phi$  es conexo si  $A_4$  lo es. Sin embargo, notamos sucesivamente que la afirmación recíproca no es cierta en general, a menos que  $S$  sea activo. Finalmente, obtenemos uno de los resultados más importantes de este trabajo: si  $S$  es activo y  $\Phi(S)$  es conexo, entonces  $S$  es irreducible.

**Lema 4.1.1.** *Sea  $(H, K, I)$  un grafo split de orden 7 con  $I = \{a, b, u, v\}$  y  $K = \{x, y, z\}$ . Si  $H_1 = \langle a, x, y, u \rangle_H \approx P_4$  y  $H_2 = \langle b, x, z, v \rangle_H \approx P_4$ , entonces:*

1.  $u$  y  $z$  están conectados por un camino  $P$  en  $A_4(H)$  tal que  $V(P) - z \subseteq I$ ;
2.  $\Phi(H)$  es conexo.

*Demostración.* Por simplicidad, usaremos  $N_*$ ,  $d_*$ ,  $A_4$  y  $\Phi$  en lugar, respectivamente, de  $N_H(*)$ ,  $\deg_H(*)$ ,  $A_4(H)$  y  $\Phi(H)$ . En primer lugar, observemos que  $V(H_1)$  y  $V(H_2)$  son cliques en  $A_4$  que comparten solo el vértice  $x$ . Para mostrar que  $\Phi$  es conexo, alcanza con encontrar una arista en  $\Phi$  entre un vértice de  $\{a, u\}$  y un vértice de  $\{b, v\}$ , ya que  $au, bv \in \Phi$  por hipótesis. Dado que  $\{H_1, H_2\} \subseteq Q_H(P_4)$ ,  $H_1 \cap H_2 = x$  y  $H$  es activo, tenemos que  $|N_x \cap \{a, u\}| = |N_x \cap \{b, v\}| = 1$ , por lo que necesariamente  $d_x = 4$ . Más específicamente,

$$N_x \cap K = \{y, z\}, \quad N_x \cap I \in \{\{u, b\}, \{u, v\}, \{a, v\}, \{a, b\}\}.$$

Además, el grado en  $H$  de cada vértice de  $I$  debe ser 1 o 2.

Sin pérdida de generalidad, podemos suponer que  $ux, bx \in H$ . Si  $d_b = 1$ , entonces  $ayxb \preceq H$ , porque  $ax \notin H$ . Por ende,  $uabv \subseteq \Phi$  y  $uabz \subseteq A_4$ . Si  $d_u = 1$ , entonces  $uxzv \preceq H$  porque  $vx \notin H$ . Luego,  $uv \in \Phi$  y  $uz \in A_4$ . Si  $d_b = 2 = d_u$ , entonces  $uz, by \in H$  y, en consecuencia,  $uzyb \preceq H$ . Por lo tanto,  $ubv \subseteq \Phi$  y  $uz \in A_4$ .  $\square$

**Lema 4.1.2.** *Sea  $(S, K, I)$  un grafo split. Supongamos que  $u, v \in I$  están conectados en  $A_4 = A_4(S)$  por el camino  $uxv$ , para algún  $x \in K$ . Entonces, existe otro camino  $P \subseteq A_4$  entre  $u$  y  $v$  tal que  $V(P) \subseteq I$  y  $|P| \leq 4$ .*

*Demostración.* Dado que  $ux, xv \in A_4$ , existen  $H_1, H_2 \in Q_S(P_4)$  tales que  $u, x \in H_1$  y  $x, v \in H_2$ . Sea  $H_1 = \langle a, u, x, y \rangle_S$  y  $H_2 = \langle b, v, x, z \rangle_S$ , donde  $a, b \in I$  e  $y, z \in K$ . Observemos que  $V(H_1)$  y  $V(H_2)$  son cliques en  $A_4$ , y  $H = \langle V(H_1) \cup V(H_2) \rangle_S$  es activo. Más aún, siendo  $K' = \{x, y, z\}$  e  $I' = \{a, b, u, v\}$ , tenemos que  $(K', I')$  es la bipartición de  $H$ .

Claramente,  $ub, av \in A_4$ . Luego,  $uav \subseteq A_4$ , si  $a = b$ . Por otro lado, si  $a \neq b$ , podemos distinguir dos casos: 1)  $y \neq z$ ; 2)  $y = z$ . En ambos casos vamos a probar que  $\Phi(H)$  es conexo, lo cual garantiza la existencia del camino  $P$  deseado. Si  $y \neq z$ , aplicamos el Lema 4.1.1. Si  $y = z$ , entonces

$$|N_H(x) \cap I'| = 2 = |N_H(y) \cap I'|, \quad N_H(x) \cap N_H(y) \cap I' = \emptyset.$$

Por lo tanto,  $\Phi(H) \approx C_4$ . □

**Lema 4.1.3.** *Sea  $(S, K, I)$  un grafo split. Supongamos que  $u \in I$  y  $z \in K$  están unidos en  $A_4 = A_4(S)$  por el camino  $uxz$ , para algún  $x \in K$ . Entonces,  $u$  y  $z$  están conectados en  $A_4$  por un camino  $P$  tal que  $V(P) - z \subseteq I$  y  $|P| \leq 4$ .*

*Demostración.* Si  $uz$  es una arista en  $A_4$ , entonces no hay nada que hacer. Por lo tanto, asumimos que  $uz \notin A_4$ . Puesto que  $ux, xz \in A_4$ , existen  $H_1, H_2 \in Q_S(P_4)$  tales que  $u, x \in H_1$  y  $x, z \in H_2$ . Sea  $H_1 = \langle a, x, y, u \rangle_S$  y  $H_2 = \langle b, x, z, v \rangle_S$ , donde  $a, b, v \in I$  e  $y \in K$ . Observemos que  $V(H_1)$  y  $V(H_2)$  son cliques en  $A_4$ . En particular, como  $\{bz, vz, uy\} \subseteq E(A_4)$ , se sigue que  $u \notin \{b, v\}$  e  $y \neq z$ , pues  $uz \notin A_4$  por hipótesis.

Sea  $H = \langle V(H_1) \cup V(H_2) \rangle_S$  el grafo split activo con bipartición  $(\{x, y, z\}, \{a, b, u, v\})$ . Las observaciones hechas hasta el momento nos permiten reducir la prueba al análisis de dos casos: 1)  $a \in \{b, v\}$ ; 2)  $a \notin \{b, v\}$ . Respecto del primero, vemos que  $uaz$  es el camino buscado. En el caso (2) en cambio, podemos aplicar directamente el Lema 4.1.1. □

**Teorema 4.1.4.** *Sea  $(S, K, I)$  un grafo split. Si  $A_4(S)$  es conexo, entonces  $\Phi(S)$  es conexo.*

*Demostración.* Supongamos que  $A_4$  es conexo y elijamos dos vértices arbitrarios  $u$  y  $v \in I$ . Para mostrar que  $\Phi$  es conexo, debemos encontrar un camino en  $A_4$  desde  $u$  hasta  $v$  que contenga solo vértices independientes.

Dado que  $A_4$  es conexo, existe un camino  $P \subseteq A_4$  entre  $u$  y  $v$ . Si  $V(P) \subseteq I$ , hemos terminado. De lo contrario,  $P$  alterna secuencias de miembros de  $I$  con secuencias de miembros de  $K$ . Observemos que basta considerar el caso

$P = ux_1 \dots x_nv$ , donde  $x_i \in K$  par todo  $i \in [n]$ , y luego encontrar el camino alternativo requerido  $P' = u \dots v \subseteq A_4$  formado por vértices independientes. Haremos esto usando inducción sobre  $n$ .

El paso base  $n = 1$  es el contenido del Lema 4.1.2. Para cada  $m$  tal que  $1 \leq m < n$  asumamos lo siguiente: para cualquier par de vértices  $u', v' \in I$  conectados en  $A_4$  por un camino de la forma  $u'x_1 \dots x_mv'$  ( $x_i \in K$  para todo  $i \in [m]$ ), existe un camino alternativo  $u' \dots v' \subseteq A_4$  tal que  $V(u' \dots v') \subseteq I$ . Aplicando el Lema 4.1.3 a  $vx_nx_{n-1}$ , podemos encontrar en  $A_4$  un camino de la forma  $v \dots wx_{n-1}$  tal que  $V(v \dots wx_{n-1}) - x_{n-1} \subseteq I$  (podría ser  $w = v$  o no). Por lo tanto, la hipótesis inductiva aplica a  $ux_1 \dots x_{n-1}w$  y finalmente obtenemos el camino  $P'$  requerido.  $\square$

**Corolario 4.1.5.** *Si  $S$  es un grafo split y  $\Phi(S)$  es desconexo, entonces  $S$  es reducible.*

*Demostración.* Si  $\Phi$  es desconexo, entonces el Teorema 4.1.4 establece que  $A_4$  es desconexo. Luego,  $S$  es reducible, por el Teorema 1.2.7.  $\square$

El recíproco del Teorema 4.1.4 no se cumple en general: la conexidad de  $\Phi$  no necesariamente implica la de  $A_4$ . Al respecto, mostramos un contraejemplo en la Figura 4.1.

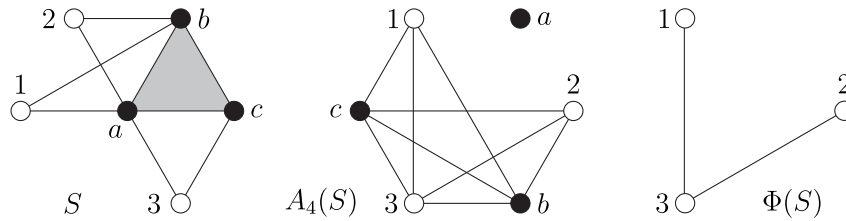


Figura 4.1:  $\Phi$  es conexo pero  $A_4$  no.

Una mirada cuidadosa al grafo split  $S$  de la Figura 4.1 revela que es balanceado pero no activo (el vértice  $a$  es universal). Entonces, surge una pregunta natural: ¿el recíproco del Corolario 4.1.5 se cumple si agregamos la hipótesis de que  $S$  es activo? La respuesta es afirmativa.

**Teorema 4.1.6.** *Si  $S$  es un grafo split activo y  $\Phi(S)$  es conexo, entonces  $S$  es irreducible.*

*Demostración.* Al ignorar las aristas paralelas de  $\Phi$ , tenemos claramente que  $\Phi \subseteq A_4$ . Además, cada vértice de clique debe estar conectado en  $A_4$  a algún vértice independiente, ya que  $S$  es activo. Por lo tanto,  $A_4$  es conexo. Aplicando el Teorema 1.2.7, concluimos finalmente que  $S$  es irreducible.  $\square$

Decimos que un grafo  $G$  es **primo** si  $G$  es activo e irreducible. Ejemplos básicos de grafos primos son  $C_4$  y  $P_4$ . También son primos los árboles con diámetro  $\geq 3$ , los unicíclicos cuya cintura sea  $\geq 4$  y los grafos disconexos sin vértices aislados.

**Corolario 4.1.7.** *Sea  $S$  un grafo split activo.*

1.  $S$  es primo si y solo si  $\Phi(S)$  es conexo.
2. Si  $S = \prod_{k=1}^n S_k$ , donde cada  $S_k$  es primo, entonces  $\Phi(S) = \dot{\bigcup}_{k=1}^n \Phi(S_k)$ .
3. Si  $G$  es un grafo activo, entonces cada factor en la descomposición de Tyshkevich de  $G$  es primo.

*Demostración.* (1). Si  $\Phi(S)$  es conexo, entonces  $S$  es primo, por el Teorema 4.1.6. Si  $S$  es primo, entonces  $A_4(S)$  es conexo, por el Teorema 1.2.7. Luego,  $\Phi(S)$  es conexo, por el Teorema 4.1.4.

(2). Alcanza con considerar  $n = 2$ , ya que el caso general se sigue de inmediato por inducción sobre  $n$ . Sea  $(S, K, I)$  la bipartición de  $S$  y sea  $\Phi = \Phi(S)$ . Si  $(S_1, K_1, I_1)$  y  $(S_2, K_2, I_2)$  son primos, entonces  $\Phi(S_1)$  y  $\Phi(S_2)$  son conexos, por (1). Si  $u, v \in I_1 \subset I_1 \dot{\cup} I_2 = I$ , es claro que  $\sigma_{uv}(S_1) = \sigma_{uv}(S)$ , pues  $N_{S_1}(x) = N_S(x)$  para todo  $x \in I_1$ . De la misma manera,  $\sigma_{uv}(S_2) = \sigma_{uv}(S)$ , para todo par  $u, v \in I_2$ . Luego,  $\Phi(S_1) = \langle I_1 \rangle_\Phi$  y  $\Phi(S_2) = \langle I_2 \rangle_\Phi$ . Si  $u \in I_1$  y  $v \in I_2$ , entonces  $\sigma_{uv}(S) = 0$ , por (1) (de lo contrario,  $\Phi$  sería conexo). Por lo tanto,  $\Phi(S_1) \dot{\cup} \Phi(S_2) = \langle I_1 \rangle_\Phi \dot{\cup} \langle I_2 \rangle_\Phi = \langle I_1 \cup I_2 \rangle_\Phi = \Phi(S)$ .

(3). Se sigue inmediatamente de los Teoremas 1.2.6 y 2.3.9. □

Si  $(S, K, I)$  es un grafo split con  $K \neq \emptyset$  y  $G$  es un grafo no trivial, entonces  $\text{diam}(S \circ G) \leq 3$ . Luego, todo grafo con diámetro  $\geq 4$  y sin vértices aislados es primo.

Decimos que un grafo  $G$  es **elemental** si  $G$  es primo y es libre de gemelos.

**Teorema 4.1.8.** *Todo grafo activo y libre de gemelos puede escribirse de manera única como composición de grafos elementales.*

*Demostración.* Este resultado se obtiene fácilmente combinando el Corolario 4.1.7 con los Teoremas 3.4.4 y 3.5.10. □

## 4.2. Caracterización de los $\Phi$ simples

Dado un grafo split  $(S, K, I)$ , nos proponemos estudiar los vecindarios en  $S$  de los vértices de  $I$  en el caso que  $\Phi(S)$  sea simple y conexo, con el objetivo de extrapolar propiedades estructurales tanto de  $\Phi$  como de  $S$ . Dados dos vértices  $u, v \in I$ , obtenemos primero una fórmula para calcular la multiplicidad  $\sigma_{uv}(S)$  de la arista  $uv \in \Phi(S)$ , para un  $S$  arbitrario.

A partir de esto, describimos luego las propiedades básicas de  $\sigma_{uv}$ . Aquí es donde surgen algunas conexiones importantes. Una es con la Teoría de Números, y sera explotada en el próximo capítulo. La otra es con las vecindades en  $S$  y en  $\Phi$  de  $u$  y  $v$ . Sucesivamente, introducimos el concepto de grafo split homogéneo y analizamos sus propiedades generales. Cuando  $\Phi(S)$  es simple y conexo, vemos que  $S$  es homogéneo.

Es en este contexto que resulta natural ver los conjuntos  $N_S(v)$  como familias intersecantes. Esta abstracción resulta determinante cuando  $\Phi(S)$  es simple y completo, y es justamente allí donde aplicamos toda la maquinaria que se desarrolla en el Apéndice B. En tal caso tenemos básicamente dos comportamientos posibles: o bien cada vértice de  $I$  tiene un vecino específico en  $K$  que lo caracteriza, o bien cada vértice de  $I$  tiene un no-vecino específico en  $K$  que lo caracteriza. Gracias a las herramientas de familias intersecantes de conjuntos, obtenemos finalmente los resultados que permiten entender de manera exhaustiva la estructura de un grafo split  $S$  balanceado o activo, cuando  $\Phi(S)$  es simple y conexo.

Como ya anticipamos en la introducción de esta sección, definimos  $\sigma_{uv}(S)$  como la multiplicidad de la arista  $uv$  en el multigrafo  $\Phi(S)$ . Recordemos que, por como definimos  $\Phi$ ,  $\sigma_{uv}(S)$  equivale también a: 1) la cantidad de 2-switches que actúan no-trivialmente sobre  $S$  entre  $u$  y  $v$ ; 2) la cantidad de  $P_4$ 's inducidos en  $S$  que contienen  $u$  y  $v$ . Luego,

$$\deg(S) = |Q_S(P_4)| = |E(\Phi(S))| = \sum_{\{u,v\} \subseteq I} \sigma_{uv}(S).$$

Como es usual, omitiremos el símbolo " $(S)$ " si es claro desde el contexto el grafo split  $S$  sobre el cual estamos haciendo nuestros cálculos. Esto significa que, por ejemplo, podremos escribir  $\sigma_{uv}$  y  $\Phi$  en lugar de  $\sigma_{uv}(S)$  y  $\Phi(S)$ . También recordemos las siguientes simplificaciones de notación:  $N_v, N_i, d_v, d_i$  en lugar, respectivamente, de  $N_G(v), N_G(v_i), \deg_G(v), \deg_G(v_i)$ , mientras sea claro desde el contexto a que grafo  $G$  nos estamos refiriendo.

En la Figura 4.2 vemos un ejemplo de un grafo split activo  $S$  donde  $\deg(S)$  se encuentra calculando la cantidad  $|Q_S(P_4)|$  de  $P_4$ 's inducidos en  $S$ . Por inspección sobre  $S$  vemos que hay cuatro  $P_4$ 's inducidos que conectan  $a$  con

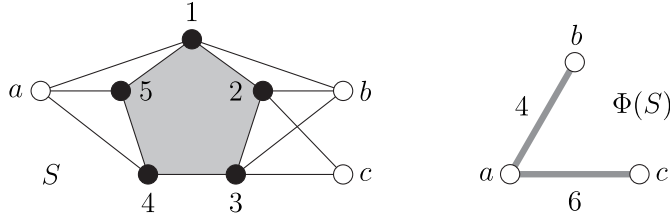


Figura 4.2:  $\deg(S) = \sigma_{ab} + \sigma_{ac} + \sigma_{bc} = 4 + 6 + 0 = 10$ .

$b$  ( $a52b, a53b, a42b, a43b$ ), seis entre  $a$  y  $c$  ( $a12c, a13c, a52c, a53c, a42c, a43c$ ), y ninguno entre  $b$  y  $c$ . En otras palabras,  $\deg(S) = \sum_{\{u,v\} \subseteq I} \sigma_{uv} = \sigma_{ab} + \sigma_{ac} + \sigma_{bc} = 4 + 6 + 0 = 10$ . Observando más detenidamente este ejemplo no es difícil darse cuenta que los vértices en  $N_u \cap N_v$  no participan en ningún  $P_4$  inducido de  $u$  a  $v$ . Es decir, los únicos vértices clique que aparecen en estos caminos son los de  $N_u - N_v$  y  $N_v - N_u$ . En efecto, cada  $P_4$  inducido entre  $u$  y  $v$  debe usar un vecino de  $u$  que no sea vecino de  $v$ , digamos  $x$ , y un vecino de  $v$  que no sea vecino de  $u$ , digamos  $z$ . Como tanto  $x$  como  $z$  están en la clique de  $S$ , son vecinos entre sí. Por lo tanto, cualquier  $x$  en  $N_u - N_v$  y cualquier  $z$  en  $N_v - N_u$  genera un  $P_4$  inducido entre  $u$  y  $v$ . Es por esto que tenemos  $|N_u - N_v||N_v - N_u|$  formás de armar un  $P_4$  inducido entre  $u$  y  $v$ . Siendo  $\eta_{uv}(S) = |N_S(u) \cap N_S(v)|$ , obtenemos entonces la siguiente fórmula:

$$\sigma_{uv}(S) = (\deg_S(u) - \eta_{uv}(S))(\deg_S(v) - \eta_{uv}(S)), \quad (4.1)$$

Como siempre, si no hay ambigüedades en el contexto, podemos usar  $\eta_{uv}$  en lugar de  $\eta_{uv}(S)$ . Luego, será muy común de acá en adelante simplificar la escritura de (4.1), usando en su lugar  $\sigma_{uv} = (d_u - \eta_{uv})(d_v - \eta_{uv})$ . Anticipamos ahora una observación muy sencilla que sin embargo resultará clave en el próximo capítulo:  $d_u - \eta_{uv}$  y  $d_v - \eta_{uv}$  son divisores complementarios de  $\sigma_{uv}$ .

La siguiente proposición contiene una lista de las propiedades más importantes de un grafo split que involucran  $\sigma_{uv}$ .

**Proposición 4.2.1.** *Todo grafo split  $S$  posee las siguientes propiedades:*

1.  $\sigma_{uv} = 0$  (es decir,  $uv \notin \Phi$ ) y  $d_v \leq d_u$  si y solo si  $N_v \subseteq N_u$ ;
2.  $\sigma_{uv} = 0$  y  $d_u = d_v$  si y solo si  $N_u = N_v$ ;
3. si  $N_u = N_v$ , entonces  $N_\Phi(u) = N_\Phi(v)$ ; en otras palabras: si  $u$  y  $v$  son gemelos en  $S$ , entonces también son gemelos en  $\Phi(S)$ ;
4. si  $\sigma_{uv} = 1$ , entonces  $d_u = d_v$  y  $|N_u - N_v| = |N_v - N_u| = 1$ ;

5. si  $d_u \geq d_v$  y  $\sigma_{uv} = p$  es primo, entonces  $|N_u - N_v| = p$ ,  $|N_v - N_u| = 1$  y  $d_u - d_v = p - 1$ ;
6.  $d_u = d_v$  si y solo si  $|N_u - N_v| = |N_v - N_u|$ ;
7. si  $d_u = d_v$ , entonces  $\sigma_{uv}$  es un cuadrado perfecto;
8. si  $S$  no tiene vértices aislados, entonces  $\sigma_{uv} = d_u d_v$  si y solo si  $N_u \cap N_v = \emptyset$ .

*Demostración.* (1). Si  $\sigma_{uv} = |N_u - N_v||N_v - N_u| = 0$ , entonces  $|N_u - N_v| = 0$  o  $|N_v - N_u| = 0$ . Luego,  $N_u \subseteq N_v$  o  $N_v \subseteq N_u$ .

(2). Se sigue de (1).

(3). Sea  $x$  un vértice independiente de  $S$ . Si  $N_u = N_v$ , entonces  $d_u = d_v$  y  $N_u \cap N_x = N_v \cap N_x$ . Por ende,  $\sigma_{ux} = \sigma_{vx}$ .

(4). Si  $\sigma_{uv} = |N_u - N_v||N_v - N_u| = 1$ , es claro que  $|N_u - N_v| = |N_v - N_u| = 1$ , pues  $\sigma_{uv} \in \mathbb{Z}$ . Por otro lado,  $d_u - \eta_{uv} = |N_u - N_v| = |N_v - N_u| = d_v - \eta_{uv}$  implica inmediatamente  $d_u = d_v$ .

(5). Se obtiene de forma análoga a como se obtuvo (3).

(6). Lo mismo que (5).

(7). Lo mismo que (6).

(8). Si  $N_u \cap N_v = \emptyset$ , entonces  $\eta_{uv} = 0$  y por ende  $\sigma_{uv} = (d_v - 0)(d_u - 0)$ . Para el recíproco, tenemos que  $d_u d_v = \sigma_{uv} = d_u d_v - \eta_{uv}(d_u + d_v - \eta_{uv})$ . Luego,  $\eta_{uv}(d_u + d_v - \eta_{uv}) = 0$ . Si fuera  $d_u = \eta_{uv} - d_v$ , entonces tendríamos  $d_u = 0$ , pues  $\eta_{uv} - d_v$  es obviamente  $\leq 0$ . Esto contradice la hipótesis de que  $S$  no tiene vértices aislados. Por lo tanto, debe ser  $\eta_{uv} = 0$ , es decir,  $N_u \cap N_v = \emptyset$ .

□

En la Figura 4.3 mostramos que  $N_{\Phi}(u) = N_{\Phi}(v)$  no necesariamente implica que  $N_u = N_v$ . En otras palabras, no vale la recíproca de la afirmación (3) en la Proposición 4.2.1. Además, tampoco vale la recíproca de (7) en la Proposición 4.2.1. Para verificar esto, alcanza con tomar el grafo split  $G = (G, \{a, b\}, [5])$  donde  $N_a = [4]$  y  $N_b = \{5\}$ : vemos que  $\sigma_{ab} = 2^2$ , pero  $d_a = 4 \neq 1 = d_b$ .

También es importante observar que  $N_u \subset N_v$  no implica en general que  $N_{\Phi}(u) \subseteq N_{\Phi}(v)$ , como se muestra en la Figura 4.4.

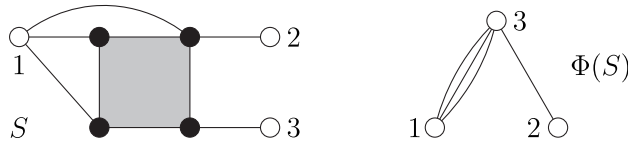


Figura 4.3:  $N_\Phi(1) = N_\Phi(2)$  pero  $N_1 \neq N_2$ .

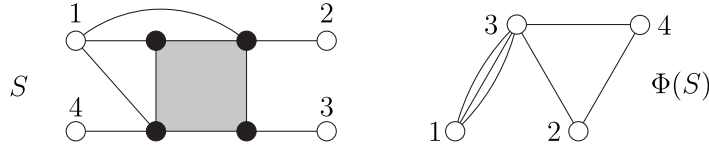


Figura 4.4:  $N_2 \subset N_1$  pero  $N_\Phi(2) \not\subseteq N_\Phi(1)$ .

Sea  $(S, K, I)$  un grafo split. Decimos que  $S$  es **homogéneo** si  $S$  es balanceado (recordemos que esto significa que  $S$  no tiene vértices intercambiables, es decir, vértices  $w$  tales que  $N_w = K - w$ ) y  $\deg_S(v) = \deg_S(u)$ , para todo  $u, v \in I$ . Vamos a aplicar ahora la Proposición 4.2.1 a esta clase de grafos split, consiguiendo entender bastante sobre la estructura tanto de  $S$  como de  $\Phi(S)$ .

**Teorema 4.2.2.** *Si  $(S, K, I)$  es un grafo split homogéneo, entonces:*

1.  $\sigma_{uv} = 0$  si y solo si  $u$  y  $v$  son gemelos en  $S$ ;
2.  $\sigma_{uv}$  es un cuadrado perfecto para todo  $\{u, v\} \subseteq I$ ;
3.  $\deg(S) \geq 1$ ; en particular, si  $d$  es el grado en  $S$  de los vértices independientes, entonces  $d \notin \{0, |K|\}$ ;
4.  $\Phi = \Phi(S)$  no puede contener subgrafos inducidos isomorfos a  $K_2 \dot{\cup} K_1$ ;
5.  $\text{diam}(\Phi) \leq 2$ ;
6.  $\Phi$  no contiene ciclos inducidos de longitud 5 o más.

*Demostración.* (1). Se sigue inmediatamente de la Proposición 4.2.1.

(2). Lo mismo que (1).

(3). Supongamos que  $\deg(S) = 0$ . Entonces, tenemos que  $N_u = N = N_v$  para todo par  $u, v \in I$ , por (1) (para cierto  $N \subseteq K$ ). Como  $S$  es balanceado, se sigue que  $N \neq K \neq \emptyset$  (de lo contrario, habría un vértice intercambiable). Por ende, tiene que haber un  $w \in K - N$ . Pero entonces  $w$  sería intercambiable, lo cual es imposible pues  $S$  es balanceado. Luego,  $\deg(S) \geq 1$ . Si fuera  $d \in \{0, |K|\}$ ,  $S$  sería obviamente inactivo.

- (4). Supongamos que  $H = (\{a, b, c\}, \{\sigma_{ab}\{a, b\}\}) \preceq \Phi$ , donde  $\sigma_{ab} \neq 0$ . Como  $d_a = d_c$  y  $\sigma_{ac} = 0$ , se sigue de la Proposición 4.2.1 que  $N_a = N_c$ . Como  $d_c = d_b$  y  $\sigma_{bc} = 0$ , tenemos que  $N_c = N_b$ . Luego,  $N_a = N_b$  y por ende  $\sigma_{ab} = 0$ , lo cual es absurdo.
- (5). Si  $\text{diam}(\Phi) \in [3, \infty)$ , entonces podemos encontrar un  $P_4$  inducido en  $\Phi$ . Como  $K_2 \dot{\cup} K_1 \preceq P_4$ , tenemos una contradicción con (4). Si  $\text{diam}(\Phi) = \infty$ , entonces podemos encontrar un  $K_2 \dot{\cup} K_1$  inducido en  $\Phi$ , pues  $\|\Phi\| = \deg(S) \geq 1$ , por (3). Pero esto contradice de nuevo (4). Luego,  $\text{diam}(\Phi) \leq 2$ .
- (6). Es una consecuencia inmediata de (4). □

**Teorema 4.2.3.** *Sea  $(S, K, I)$  un grafo split tal que  $K = \bigcup_{v \in I} N_v$ . Si  $\Phi = \Phi(S)$  es simple y conexo e  $|I| \geq 2$ , entonces  $S$  es homogéneo.*

*Demostración.* El hecho de que  $\Phi$  sea simple significa que  $uv \in E(\Phi)$  si y solo si  $\sigma_{uv} = 1$ , y  $\sigma_{uv} = 0$  en caso contrario. Si  $xyz \subseteq \Phi$ , entonces  $\sigma_{xy} = 1$  implica  $d_x = d_y$  y  $\sigma_{yz} = 1$  implica  $d_y = d_z$ , por la Proposición 4.2.1. Por lo tanto, existe un  $d \geq 0$  tal que  $d_v = d$  para todo  $v \in I$ , porque  $\Phi$  es conexo. Además,  $d \notin \{0, |K|\}$ , ya que de lo contrario  $\Phi$  no tendría aristas. Luego,  $S$  no tiene vértices intercambiables en  $I$ . Si hubiera uno de estos vértices en  $K$ , digamos  $w$ , entonces la hipótesis de que  $K = \bigcup_{v \in I} N_v$  forzaría  $w$  a ser vecino de algún  $u \in I$ , contradiciendo que  $N_w = K - w$ . Por lo tanto,  $S$  no tiene vértices intercambiables, es decir, es balanceado. □

**Lema 4.2.4.** *Sea  $(S, K, I)$  un grafo split balanceado tal que  $|I| \geq 2$  y  $\Phi(S)$  es completo. Si  $x$  es un vértice inactivo de  $S$ , entonces  $x$  es universal.*

*Demostración.* Las hipótesis sobre  $S$  garantizan que  $I \subseteq \text{act}(S)$ . Por ende, si  $x \notin \text{act}(S)$ , entonces  $x \in K$ . Supongamos que  $x$  no sea universal. Como  $S$  no tiene vértices intercambiables, se sigue que  $N_x \cap I \neq \emptyset$ . Luego, existen  $a, b \in I$  tales que  $a \in N_x$  y  $b \notin N_x$ . Por otro lado, como  $\sigma_{ab} > 0$ , existen  $y, z \in K$  tales que  $ayzb \preceq S$ . Pero entonces  $axzb \preceq S$ , lo cual contradice que  $x$  es inactivo. □

Para demostrar el próximo teorema (el Teorema 4.2.5) se necesitan resultados auxiliares sobre ciertas familias intersecantes de conjuntos, las cuales son independientes de la estructura del grafo en sí. Como ya fue anunciado en la introducción de esta sección, esas herramientas se desarrollan exhaustivamente en el Apéndice B. Cuando  $\Phi(S)$  es simple y completo, sabemos que todos los vértices de  $\Phi$  tienen grado fijo  $d$  en  $(S, K, I)$ . Traduciendo esto en

lenguaje conjuntista:  $|N_S(v)| = d$  para todo  $v \in I$ . Además, por ser  $\Phi$  simple, tenemos también que  $|N_u \cap N_v| = d - 1$ , para todo  $\{u, v\} \subseteq I$ . Como puede verse en el Apéndice B,  $\{N_v : v \in I\}$  resulta ser una familia intersecante con propiedades muy interesantes, las cuales terminan encajando perfectamente en este contexto. A continuación, citamos los tres resultados del Apéndice B que se usaran para demostrar el Teorema 4.2.5. Las respectivas pruebas se encuentran en el Apéndice B.

**Proposición B.0.3.** Sea  $\mathcal{N} = \{N_v : v \in I\}$  una familia finita de conjuntos finitos de tamaño  $d$  tal que  $|N_u \cap N_v| = d - 1$  para todo  $\{u, v\} \subseteq I$ . Si  $W$  es un subconjunto no vacío de  $I$ , entonces

$$\left| \bigcap_{v \in W} N_v \right| \in \{d + 1 - |W|, d - 1\}.$$

**Teorema B.0.8.** Sea  $\{N_v : v \in [\alpha], \alpha \geq 3\}$  una familia de conjuntos finitos de tamaño  $d \geq 1$  tal que  $|N_x \cap N_y| = d - 1$  para todo  $\{x, y\} \subseteq [\alpha]$ . Sea, además,  $\omega = |\bigcup_{v=1}^{\alpha} N_v|$ . Las siguientes afirmaciones son equivalentes:

1. existe una terna  $T \subseteq [\alpha]$  tal que  $|\bigcap_{v \in T} N_v| = d - 1$ ;
- 2.

$$\left| \bigcap_{v \in A} N_v \right| = d - 1,$$

para todo  $A \subseteq [\alpha]$  con  $|A| \geq 2$ ;

- 3.

$$\omega = \alpha + d - 1.$$

**Teorema B.0.9.** Sea  $\{N_v : v \in [\alpha], \alpha \geq 3\}$  una familia de conjuntos finitos de tamaño  $d \geq 1$  tal que  $|N_x \cap N_y| = d - 1$  para todo  $\{x, y\} \subseteq [\alpha]$ . Sea, además,  $\omega = |\bigcup_{v=1}^{\alpha} N_v|$ . Las siguientes afirmaciones son equivalentes:

1. existe una terna  $T \subseteq [\alpha]$  tal que  $|\bigcap_{v \in T} N_v| = d - 2$ ;
- 2.

$$\left| \bigcap_{v \in A} N_v \right| = d + 1 - |A|,$$

para todo  $A \subseteq [\alpha]$  con  $A \neq \emptyset$ ;

- 3.

$$\omega = d + 1.$$

**Teorema 4.2.5.** *Sea  $(S, K, I)$  un grafo split tal que  $\Phi(S)$  es simple y completo, y sea  $U$  el conjunto de vértices universales de  $S$ . Si  $\bigcup_{v \in I} N_v = K$ ,  $\omega = |K|$  y  $\alpha = |I| \geq 2$ , entonces:*

1.  $S$  es homogéneo;
2. si  $d$  es el grado en  $S$  de los vértices en  $I$ , entonces  $1 \leq d \leq \omega - 1$ ;
3.  $|U| \in \{d - 1, d + 1 - \alpha\}$ ;
4.  $|U| = d - 1$  si y solo si  $\omega = \alpha + d - 1$ ;
5.  $|U| = d + 1 - \alpha$  si y solo si  $\omega = d + 1$ ;
6.  $\omega = \alpha + |U|$  (en particular,  $\omega \geq \alpha$ );
7.  $S$  es activo si y solo si  $U = \emptyset$ ;
8. Si  $S$  es activo, entonces  $\omega = \alpha$  y  $d \in \{1, \omega - 1\}$ ;
9. si  $\omega = \alpha$  o  $d = 1$ , entonces  $S$  es activo;

*Demostración.* (1). Es un caso particular del Teorema 4.2.3.

(2). Es una consecuencia inmediata de (1) y del Teorema 4.2.2.

(3). Es un caso particular de la Proposición B.0.3, ya que  $U = \bigcap_I N_v$ , según la Proposición 2.1.9.

(4). Es un caso particular de los Teoremas B.0.8 y B.0.9, pero traducidos al lenguaje de la Teoría de Grafos.

(5). Lo mismo que (4).

(6). Sabemos que  $|U| \in \{d - 1, d + 1 - \alpha\}$ , por (3). La afirmación es evidente si  $|U| = d - 1$ , gracias a (4). Si en cambio  $|U| = d + 1 - \alpha$ , entonces  $\omega = (d + 1 - \alpha) + \alpha$ , por (5).

(7). Si  $S$  es activo, es claro que  $U = \emptyset$ , ya que  $U \subseteq \text{act}(S)^c = \emptyset$ . Recíprocamente, si  $U = \emptyset$ , entonces  $S$  es activo gracias al Lema 4.2.4.

(8). Si  $S$  es activo, entonces  $U = \emptyset$ , por (7). Luego,  $\omega = \alpha$ , por (6), y  $0 \in \{d - 1, d + 1 - \omega\}$ , por (3). Por ende,  $d \in \{1, \omega - 1\}$ .

- (9). Si  $\omega = \alpha$ , entonces  $U = \emptyset$ , por (6). Luego,  $S$  es activo, por (7). Si  $d = 1$ , entonces  $|U| \in \{0, 2 - \alpha\}$ , por (3). Si  $|U| = 2 - \alpha$ , entonces  $\omega = 2 = \alpha$ , por (6) y porque  $\alpha \geq 2$ . Por ende,  $S \approx P_4$ , donde obviamente no hay vértices universales. En consecuencia,  $d = 1$  implica  $U = \emptyset$ . Finalmente,  $S$  es activo gracias a (7). □

En referencia al ítem (9) del Teorema 4.2.5, es importante observar que  $d = \omega - 1$  no implica, en general, que  $S$  sea activo. Por ejemplo, consideremos el grafo split  $(S, [4], \{a, b\})$  donde  $N_a = \{1, 2, 3\}$  y  $N_b = \{2, 3, 4\}$ . Aquí, vemos que  $d_a = 3 = \omega - 1 = d_b$  y  $\sigma_{ab} = 1$ , con lo cual  $\Phi(S)$  es simple y completo. Sin embargo,  $S$  no es activo, pues los vértices 2 y 3 son universales.

Dado un grafo split  $(S, K, I)$ , la **inversión** (o, el **inverso**)  $(S, K, I)^\iota$  de  $S$  se define como el grafo split  $(S^\iota, I, K)$ , donde

$$E(S^\iota) = (E(S) - \{ab : a, b \in K\}) \cup \{ab : a, b \in I\}.$$

Al invertir  $S$ ,  $K$  se vuelve un conjunto independiente,  $I$  se vuelve una clique, pero todas las aristas que había entre  $K$  e  $I$  se mantienen. Este concepto no es nuevo y ha sido utilizado ampliamente por R. Tyshkevich en [7] (pag. 14). Cabe remarcar que la inversión, así como la composición, depende totalmente de la bipartición de  $S$ . En efecto, no tiene sentido en general hablar de “el inverso” de  $S$ , ya que este no tendrá una única bipartición en caso sea desbalanceado. Obviamente, la inversión es una operación involutiva, es decir,  $((S, K, I)^\iota)^\iota = (S, K, I)$ . Otra propiedad importante es que la inversión y la complementación conmutan entre si.

**Lema 4.2.6.** *Si  $(S, K, I)$  es un grafo split, entonces*

$$\overline{(S, K, I)^\iota} = \left( \overline{(S, K, I)} \right)^\iota. \quad (4.2)$$

Además,  $N_{\overline{S^\iota}}(v) = K - N_S(v)$ , para todo  $v \in I$ .

*Demostración.* Dado que tanto la inversión como la complementación intercambian los roles de  $K$  e  $I$  como conjuntos clique/independiente, se sigue que  $G = \overline{S^\iota}$  y  $H = (\overline{S})^\iota$  tienen ambos la misma bipartición que  $S$ . Por lo tanto, para obtener (4.2), alcanza con probar que  $N_G(v) = N_H(v)$  para todo  $v \in I$ . Ante todo, notemos que:

- (1).  $v$  es un vértice clique en  $S^\iota$  y en  $\overline{S}$ ;
- (2).  $N_{S^\iota}(v) = (I - v) \cup N_S(v)$ ;

$$(3). N_{\overline{S}}(v) = (I - v) \cup (K - N_S(v)).$$

Por medio de (2), vemos que

$$\begin{aligned} N_G(v) \cup v &= \\ N_{S^t}(v)^c &= (I - v)^c \cap N_S(v)^c = (K \cup v) \cap (I \cup (K - N_S(v))) = \\ &= ((K \cup v) \cap I) \cup ((K \cup v) \cap (K - N_S(v))) = \\ &= v \cup (K - N_S(v)), \end{aligned}$$

es decir,  $N_G(v) = K - N_S(v)$ . Por otro lado, por (1) y por la definición de inversión, es claro que  $N_H(v) = N_{\overline{S}}(v) - I$ . Finalmente, usando (3), obtenemos que  $N_H(v) = K - N_S(v)$ .  $\square$

Usamos ahora el Lema 4.2.6 para hacer una observación importante. Dado un par  $\{u, v\} \subseteq I$ , tenemos que

$$\begin{aligned} \eta_{uv}(\overline{S^t}) &= |(K - N_u) \cap (K - N_v)| = |N_u^c \cap N_v^c| = \\ &= |K - (N_u \cup N_v)| = |K| - |N_u \cup N_v| = \\ &= |K| - d_u - d_v + \eta_{uv}. \end{aligned}$$

Combinando esto con el hecho de que  $\deg_{\overline{S^t}}(x) = |K| - d_x$ , se sigue rápidamente, aplicando (4.1), que

$$\sigma_{uv}(\overline{S^t}) = \sigma_{uv}(S), \quad (4.3)$$

para todo  $\{u, v\} \subseteq I$ . La igualdad (4.3) implica el siguiente resultado.

**Proposición 4.2.7.** *Para todo grafo split  $S$ ,*

$$\Phi(S) = \Phi(\overline{S^t}).$$

*Demostración.* Se sigue de la discusión anterior.  $\square$

**Proposición 4.2.8.** *Sea  $(S, K, I)$  un grafo split.*

1. *Si  $w$  es un vértice intercambiable en  $S$  y  $w \in I$ , entonces  $w$  es aislado en  $S^t$ .*
2. *Si  $w$  es un vértice intercambiable en  $S$  y  $w \in K$ , entonces  $w$  es universal en  $S^t$ .*
3. *Si  $S$  es no-vacío y  $w$  es un vértice universal o aislado en  $S$ , entonces  $w$  es intercambiable en  $S^t$ .*

$$4. \text{ act}(S) = \text{act}(S^t) = \text{act}(\overline{S^t}).$$

*Demostración.* (1). Si  $w \in I$ , entonces  $N_w = K$ . Luego, se sigue por definición de inverso que  $N_{S^t}(w) = (I - w) \cup N_w = V(S) - w$ , lo cual muestra que  $w$  es universal en  $S^t$ .

(2). Si  $w \in K$ , entonces  $N_w = K - w$ . Luego, se sigue por definición de inverso que  $N_{S^t}(w) = N_w - K = \emptyset$ , lo cual muestra que  $w$  es aislado en  $S^t$ .

(3). Hay que probar que  $N_{S^t}(w) = I - w$ . Si  $w$  es universal en  $S$ , entonces  $w \in K$ , pues  $S$  es no-vacío. Luego,  $N_{S^t}(w) = N_w - K = (V(S) - w) - K = I - w$ . Si  $N_w = \emptyset$ , entonces  $w \in I$ , pues  $S$  es no-vacío. Por lo tanto,  $N_{S^t}(w) = (I - w) \cup N_w = I - w$ .

(4). Sabemos que un vértice es activo en un grafo si y solo si es activo en su complemento. Por ende,  $\text{act}(S^t) = \text{act}(\overline{S^t})$ .

Si  $a \in \text{act}(S)$ , entonces existe un  $H \in Q_S(P_4)$  tal que  $a \in V(H)$ . Si  $a \in I$ , entonces  $H = axyz$ , donde  $z \in I$  y  $x, y \in K$ . Dado que  $\{ax, az, yz\} \subseteq E(S^t)$  y  $xy \notin E(S^t)$ , se sigue que  $xazy \subseteq S^t$ . Más aún, como  $ay, xz \notin S$ , tenemos que tanto  $ay$  como  $xz$  tampoco pertenecen a  $S^t$ . Por lo tanto,  $xazy \preceq S^t$ , lo cual muestra que  $a \in \text{act}(S^t)$ . Si en cambio  $a \in K$ , entonces  $a$  es activo e independiente en  $\overline{S}$ . Luego,  $a$  es activo en  $(\overline{S})^t = \overline{S^t}$ , donde la última igualdad es válida gracias al Lema 4.2.6. Como  $\text{act}(\overline{S^t}) = \text{act}(S^t)$ , obtenemos que  $\text{act}(S) \subseteq \text{act}(S^t)$ . En otras palabras, si un vértice es activo en un grafo split, entonces también lo es en su inverso. Esto significa que si  $a$  es activo en  $S^t$ , entonces  $a$  es activo en  $(S^t)^t = S$ ; es decir,  $\text{act}(S^t) \subseteq \text{act}(S)$ . □

La Proposición 4.2.8 nos dice implícitamente que en general la inversión no preserva la propiedad de ser balanceado. De hecho, es fácil encontrar un grafo split balanceado y no-vacío  $S$  que contenga vértices aislados o universales. En tal caso, por el ítem (3) de la Proposición 4.2.8,  $S^t$  será desbalanceado. Como ejemplo concreto, consideremos el grafo  $(S, [3], \{a, b\})$  tal que  $N_a = \{1, 2\}$  y  $N_b = \{2, 3\}$ , el cual es balanceado, y en el cual el vértice 2 es universal. Al invertir  $S$ , obtenemos que  $E(S^t) = \{1a, 2a, 2b, 3b, ab\}$ . Como  $N_{S^t}(2) = \{a, b\}$ , vemos que, efectivamente, el vértice 2 es intercambiable en  $(S^t, \{a, b\}, [3])$ . Puede construirse un ejemplo análogo tomando  $\overline{S}$ , el cual también es balanceado. Aquí, el vértice 2 es aislado en  $\overline{S}$ , pero intercambiable en  $((\overline{S})^t, [3], \{a, b\})$ .

**Corolario 4.2.9.** *Consideremos el grafo split  $(G, K, I)$  con  $|K| = |I|$ ,  $K = \{x_v : v \in I\}$ , y  $N_G(v) = \{x_v\}$  para todo  $v \in I$ . Sea  $S$  un grafo split tal que  $|\Phi(S)| = |I|$ . Entonces  $S$  es activo y  $\Phi(S)$  es simple y completo si y solo si  $S$  es isomorfo a  $G$  o a  $\overline{G}^t$ .*

*Demostración.* ( $\Leftarrow$ ). Por como está definido  $G$ , es muy fácil verificar que el mismo es activo y  $\Phi(G)$  es simple y completo. Verificar las mismas propiedades para  $\overline{G}^t$  es inmediato gracias a la Proposición 4.2.7.

( $\Rightarrow$ ). Por el Teorema 4.2.5 sabemos que los vértices independientes de  $(S, K', I')$  tienen todos el mismo grado  $d$  en  $S$ ,  $d \in \{1, \omega - 1\}$  y  $\omega = |K'| = |I'|$ . Si  $d = 1$ , el hecho de que  $S$  es activo y que  $|K'| = |I'| = |I|$  fuerza que  $S$  sea isomorfo a  $G$ . Si  $d = \omega - 1 \geq 2$ , observemos que todos los vértices de  $I$  son hojas en  $\overline{S}^t$ . Luego, como  $\overline{S}^t$  es activo por la Proposición 4.2.8, y  $|K'| = |I'| = |I|$ , es claro que  $\overline{S}^t \approx G$ . Luego,  $S \approx (\overline{G})^t = \overline{G}^t$ , por el Lema 4.2.6.  $\square$

El que sigue es un resultado técnico que relaciona los subgrafos inducidos en  $\Phi(S)$  por un conjunto  $A$  de sus vértices, con los grafos factor de los correspondientes subgrafos inducidos en  $S$  que tienen a  $A$  como partición independiente. Se muestra también que en cierta manera  $\Phi$  no depende de los vértices universales, es decir, que remover los vértices universales en el grafo split subyacente no altera la estructura del grafo factor.

**Proposición 4.2.10.** *Sea  $(S, K, I)$  un grafo split donde  $K = \bigcup_{u \in I} N_u$ . Para  $A \subseteq I$ , definimos*

$$S_A = \left\langle \bigcup_{v \in A} (v \dot{\cup} N_v) \right\rangle_S, \quad S'_A = S_A - \bigcap_{v \in A} N_v.$$

Entonces

$$\left( \bigcup_{v \in A} N_v, A \right), \quad \left( \bigcup_{v \in A} N_v - \bigcap_{v \in A} N_v, A \right)$$

son biparticiones para  $S_A$  y  $S'_A$ , respectivamente, y

$$\Phi(S_A) = \langle A \rangle_\Phi = \Phi(S'_A).$$

*Demostración.* Por definición,  $\Phi(S_A)$ ,  $\langle A \rangle_\Phi$  y  $\Phi(S'_A)$  tienen el mismo conjunto de vértices, o sea,  $A$ . Para obtener las igualdades requeridas, alcanza entonces con mostrar que

$$\sigma_{ab}(S_A) = \sigma_{ab} = \sigma_{ab}(S'_A),$$

para todo par de vértices  $a, b \in A$ . Por un lado, sabemos que  $\sigma_{ab} = (d_a - \eta_{ab})(d_b - \eta_{ab})$  (ver (4.1)). Por otro lado:  $N_{S_A}(v) = N_v$ , para todo  $v \in A$ ,

por definición de  $S_A$ . Con esto en mente, se sigue entonces de inmediato que  $\sigma_{ab}(S_A) = \sigma_{ab}$ .

Para probar que  $\sigma_{ab}(S'_A) = \sigma_{ab}$ , observemos que

$$N_{S'_A}(u) = N_u - \bigcap_{v \in A} N_v,$$

para todo  $u \in A$ , y que

$$N_{S'_A}(a) \cap N_{S'_A}(b) = N_a \cap N_b - \bigcap_{v \in A} N_v.$$

Siendo  $\eta_A = |\bigcap_{v \in A} N_v|$ ,  $d'_u = \deg_{S'_A}(u)$  y  $\eta_{ab}(S'_A) = \eta'_{ab}$ , obtenemos entonces que  $d'_u = d_u - \eta_A$  y  $\eta'_{ab} = \eta_{ab} - \eta_A$ . Usando esto en la igualdad

$$\sigma_{ab}(S'_A) = (d'_a - \eta'_{ab})(d'_b - \eta'_{ab}),$$

queda finalmente demostrado que  $\sigma_{ab}(S'_A) = \sigma_{ab}$ .  $\square$

El siguiente resultado es muy importante porque brinda información estructural tanto de  $S$  como  $\Phi(S)$  cuando este último es simple y conexo, y dependiendo de si es completo o no. En pocas palabras, mostramos que  $S$  y  $\Phi(S)$  tienen el mismo número de clique.

**Teorema 4.2.11.** *Sea  $(S, K, I)$  un grafo split activo tal que  $\Phi = \Phi(S)$  es simple y conexo. Entonces una y solo una de las siguientes dos posibilidades ocurre:*

1.  $\Phi$  es completo y  $|K| = |I|$ .
2.  $|K| = \omega(\Phi) < |I|$  (es decir,  $\Phi$  no es completo) y cada vértice de  $\Phi$  pertenece a alguna clique máxima de  $\Phi$ ; en particular:

$$|K| \leq 1 + \min\{\deg_{\Phi}(v) : v \in I\}.$$

*Demostración.* (1). Consideremos una clique máxima  $Q \subseteq I$  en  $\Phi$ . Si  $Q = I$ , hemos terminado porque  $\Phi$  es completo y, por lo tanto,  $|I| = |K|$ , según el Teorema 4.2.5.

(2). Entonces, asumimos que  $Q \neq I$ , es decir,  $|Q| = \omega(\Phi) < |I|$ . Luego, para cada  $x \in I - Q$  debe haber un vértice  $q \in Q$  tal que  $\sigma_{qx} = 0$ , es decir,  $N_x = N_q$  (de lo contrario,  $Q$  no sería una clique máxima). Este hecho tiene dos consecuencias importantes. Primero, que  $N_{\Phi}(x) = N_{\Phi}(q)$ ; esto significa, en particular, que  $x$  forma otra clique máxima en  $\Phi$  junto con los vértices de  $Q - q$ . Segundo, que  $\bigcup_Q N_v = \bigcup_I N_v = K$  y  $\bigcap_Q N_v = \bigcap_I N_v = \emptyset$ .

Si  $S_Q = (\langle \bigcup_Q (v \dot{\cup} N_v) \rangle_S, Q, K)$ , entonces  $\Phi(S_Q) = \langle Q \rangle_\Phi$ , por la Proposición 4.2.10. Claramente, tenemos que  $|Q| \geq 2$ , porque al ser  $S$  activo,  $\Phi$  tiene al menos una arista. Dado que  $\Phi(S_Q)$  es simple y completo, se sigue del Teorema 4.2.5 que  $S_Q$  es balanceado. Pero entonces, por el Lema 4.2.4,  $S_Q$  es activo, pues  $\bigcap_Q N_v = \emptyset$ . Finalmente, podemos aplicar de nuevo el Teorema 4.2.5 para inferir que  $|K| = |Q|$ .

Sea  $v$  un vértice cualquiera de  $\Phi$ . Como  $v$  forma parte de una clique de tamaño  $|K|$  en  $\Phi$ , se sigue que  $\deg_\Phi(v) \geq |K| - 1$ .  $\square$

**Corolario 4.2.12.** *Sea  $(S, K, I)$  un grafo split activo y sean  $\alpha = |I|$  y  $\omega = |K|$ . Si  $\Phi(S)$  es simple y conexo, entonces:*

1.  $\omega \leq \alpha$ ;
2.  $S$  y  $\Phi(S)$  tienen el mismo número de clique;
3. si  $\Phi(S)$  es completo, entonces

$$\deg(S) = \binom{\alpha}{2};$$

4. si  $\Phi(S)$  no es completo, entonces

$$\left\lceil \frac{\alpha}{2}(\omega - 1) \right\rceil \leq \deg(S) < \binom{\alpha}{2}.$$

*Demostración.* (1). Forma parte del contenido del Teorema 4.2.11.

(2). Lo mismo que (1).

(3).  $\deg(S) = \sum_{\{u,v\} \subseteq I} \sigma_{uv}(S) = \sum_{\{u,v\} \subseteq I} 1 = \binom{\alpha}{2}$ , pues  $\Phi(S)$  es simple y completo.

(4). La cota superior es una consecuencia trivial de asumir que  $\Phi$  no sea completo. Por otro lado, la cota inferior se deduce del Teorema 4.2.11 mediante el Lema de Apretón de Manos. En efecto,

$$|\Phi| \min\{\deg_\Phi(v) : v \in I\} = \alpha(\omega - 1) \leq$$

$$\sum_{v \in I} \deg_\Phi(v) = 2\|\Phi\| = 2 \deg(S).$$

$\square$

**Corolario 4.2.13.** *Sea  $S$  un grafo split activo. Si  $\Phi(S)$  es simple, conexo, pero no completo, entonces  $\Phi(\overline{S})$  es completo pero no simple.*

*Demostración.* Siendo  $(S, K, I)$ , sabemos que  $|K| = \omega(\Phi(S)) < |I|$ , por el Teorema 4.2.11. Esto significa que  $\|\Phi(S)\| > \binom{|K|}{2}$ . Luego,  $\Phi(\bar{S})$  no puede ser simple, pues  $\deg(\bar{S}) = \deg(S)$ , por el Corolario 2.3.2.

Probaremos ahora que  $\Phi(\bar{S})$  es completo. A tal propósito, observemos lo siguiente: si para cada  $v \in I$  removemos todos los  $u \in I - v$  que son gemelos de  $v$  en  $S$ , es claro que obtenemos un grafo split activo  $(H, J, K) \preceq S$  tal que  $\Phi(H)$  es simple y completo. Consecuentemente, también  $\Phi(\bar{H})$  es simple y completo, por el Corolario 4.2.9. Esto significa que  $\sigma_{xy}(\bar{H}) \neq 0$  para todo  $\{x, y\} \subseteq K$ . Como  $\bar{H} \preceq \bar{S}$ , entonces  $\sigma_{xy}(\bar{S}) \neq 0$  para todo  $\{x, y\} \subseteq K$  también, lo cual muestra que  $\Phi(\bar{S})$  es completo.  $\square$

Finalmente, mediante el próximo Teorema, quedan completamente caracterizados todos los grafos split  $(S, K, I)$  activos con  $|K| \leq |I|$  tales que  $\Phi(S)$  es simple y conexo.

**Teorema 4.2.14.** *Dado un grafo split  $(S, K, I)$  con  $|K| \leq |I|$ , consideremos el grafo split asociado  $(R, K, I)$  tal que  $\deg_R(v) = 1$  para todo  $v \in I$ , donde  $u \cong_R v$  si y solo si  $\sigma_{uv}(S) = 0$ , para todo  $\{u, v\} \subseteq I$ . Entonces  $S$  es activo y  $\Phi(S)$  es simple y conexo, si y solo si  $S$  es isomorfo a  $R$  o  $\bar{R}^t$ .*

*Demostración.*  $(\Leftarrow)$ . Gracias a la Proposición 4.2.7, es suficiente considerar el caso  $S \approx R$ . Dado que  $\deg_S(v) = 1$  para todo  $v \in I$ , es obvio que  $\sigma_{uv}(S) \leq 1$  para todo  $\{u, v\} \subseteq I$ . Por ende,  $\Phi(S)$  es simple. Más aún, puesto que  $|K| \leq |I|$  por hipótesis, es evidente que  $S$  es activo, y esto implica que  $S$  es homogéneo. Luego,  $\Phi(S)$  es conexo, por el Teorema 4.2.2.

$(\Rightarrow)$ . Antes que todo, recordemos que  $\sigma_{uv}(S) = 0$  si y solo si  $u \cong_S v$ , por los Teoremas 4.2.3 y 4.2.2. Si para cada  $v \in I$  removemos todos los  $u \in I - v$  que son gemelos de  $v$  en  $S$ , es claro que obtenemos un grafo split activo  $(H, J, K) \preceq S$  tal que  $\Phi(H)$  es simple y completo. Sea  $(G, J, K)$  el grafo split tal que  $K = \{x_j : j \in J\}$  y  $N_G(j) = \{x_j\}$ , para todo  $j \in J$ . Entonces,  $H$  es isomorfo a  $G$  o  $\bar{G}^t$ , por el Corolario 4.2.9. Es importante observar que, obviamente,  $N_H(v) = N_S(v)$ , para todo  $v \in I$ . Si  $H \approx G$ , sea  $i \in I - J$  un gemelo de  $j$  en  $S$ . Ya que  $N_S(i) = N_S(j) = N_H(j) = \{x_j\}$ , concluimos que  $\deg_S(v) = 1$ , para todo  $v \in I$ . En otras palabras,  $S \approx R$ . Si  $H \approx \bar{G}^t$ , sea  $i \in I - J$  un gemelo de  $j$  en  $S$ . Ya que  $N_S(i) = N_S(j) = N_H(j) = K - x_j$ , concluimos que  $\deg_S(v) = |K| - 1$ , para todo  $v \in I$ . Esto muestra que  $S \approx \bar{R}^t$ .  $\square$

### 4.3. Caminos y ciclos inducidos en $\Phi$

En esta sección seguimos estudiando las implicaciones de la Proposición 4.2.1 sobre la estructura del grafo factor  $\Phi(S)$  de un grafo split  $S$ .

Empezamos estudiando los caminos inducidos de  $\Phi$ . Notamos que la presencia de tal camino  $P \preceq \Phi$  induce ciertas cadenas de inclusión en las vecindades en  $S$  de los vértices de  $P$ . Gracias a esto, vemos también como el grado en  $S$  de los vértices de  $P$  tiene la tendencia a crecer a lo largo de  $P$ , moviéndose de un extremo al otro del mismo. Estos resultados se aplican después para estudiar la longitud de los ciclos inducidos de  $\Phi$  (dado que estos contienen caminos inducidos), descubriendo que esta es a lo sumo 4.

Sucesivamente, volvemos a los caminos inducidos, analizando ahora la multiplicidad de sus aristas. Encontramos que solo la primera o la última arista puede ser simple (es decir, de multiplicidad 1). Este resultado nos permite luego finalizar la sección con una interesante cota superior para el diámetro de  $\Phi(S)$ , en función del grado de  $S$ .

**Lema 4.3.1.** *Sea  $(S, K, I)$  un grafo split y  $P = v_1 \dots v_n$  un camino inducido en  $\Phi(S)$ , con  $n \geq 2$ . Si  $d_i = \deg_S(v_i)$ ,  $N_i = N_S(v_i)$  y  $d_1 = \max\{d_i : i \in [n]\}$ , entonces para cada  $i \in [n]$  tenemos*

$$d_i \geq d_j \text{ y } N_i \supseteq N_j \text{ para todo } j \geq i + 2.$$

*Demostración.* Procedemos por inducción sobre  $i$ . Dado que  $\sigma_{1j} = 0$  y  $d_1 \geq d_j$  para todo  $j \geq 3$ , tenemos  $N_1 \supseteq N_j$ , para todo  $j \geq 3$ . Para  $i \geq 2$ , asumimos que  $d_{i-1} \geq d_j$  y  $N_{i-1} \supseteq N_j$ , para todo  $j \geq i + 1$ . Si para algún  $k \geq i + 2$  ocurriera que  $d_i < d_k$ , entonces tendríamos  $N_i \subset N_k \subseteq N_{i-1}$ , donde la última contención se sigue de la hipótesis inductiva. Esto implicaría que  $\sigma_{i-1,i} = 0$ , lo cual contradice que  $P$  es un camino.  $\square$

**Lema 4.3.2.** *No existe ningún grafo split  $S$  tal que  $\Phi(S)$  contenga un camino inducido  $v_5v_4v_1v_2v_3$  donde  $\max\{d_i = \deg_S(v_i) : i \in [5]\} = d_1$ .*

*Demostración.* Supongamos que tal grafo  $S$  exista. Luego:  $N_5, N_3 \subseteq N_1$ , pues  $\sigma_{13} = 0 = \sigma_{15}$  y  $d_3, d_5 \leq d_1$ . Como  $\sigma_{24} = 0$ , podemos suponer, sin pérdida de generalidad, que  $N_4 \subseteq N_2$ . Entonces, debe ser  $N_4 \subseteq N_3$ , ya que de lo contrario  $N_3 \subseteq N_4$  implicaría  $\sigma_{23} = 0$ . Pero luego  $N_4 \subseteq N_1$ , y por lo tanto  $\sigma_{14} = 0$ , lo cual es una contradicción.  $\square$

**Teorema 4.3.3.** *Sea  $S$  un grafo split y  $P = v_1 \dots v_n$  un camino inducido en  $\Phi(S)$ , con  $n \geq 2$ . Si  $d_i = \deg_S(v_i)$ , entonces*

$$\max\{d_i : i \in [n]\} \in \{d_1, d_2, d_{n-1}, d_n\}. \quad (4.4)$$

*Además, si  $\max\{d_i : i \in [n]\} = d_1$ , entonces:*

1. *para cada  $i \geq 1$ :  $d_i \geq d_j$  y  $N_i = N_S(v_i) \supseteq N_j$  para todo  $j \geq i + 2$ ;*

2. para cada  $i \geq 1$ :  $N_i \supseteq \bigcup_{j=i+2}^n N_j$ ; en particular,  $\bigcup_{i=1}^n N_i = N_1 \cup N_2$ ;
3.  $d_{2k} \geq d_{2k+2}$  y  $d_{2k-1} \geq d_{2k+1}$  para todo  $k \geq 1$ ;
4.  $\min\{d_i : i \in [n]\} \in \{d_{n-1}, d_n\}$ .

*Demostración.* Comenzamos demostrando (4.4). Si  $n \leq 4$ , no hay nada que hacer. Si  $n \geq 5$ , supongamos que  $\max\{d_i : i \in [n]\} = d_j$ , donde  $j \notin \{1, 2, n-1, n\}$ . Entonces  $v_{j-2}v_{j-1}v_jv_{j+1}v_{j+2} \preceq \Phi(S)$ , pero por el Lema 4.3.2 sabemos que esto es imposible.

- (1). Es el contenido del Lema 4.3.1.
- (2). Es una consecuencia inmediata de (1).
- (3). De (1) se sigue inmediatamente que  $d_1 \geq d_3 \geq d_5 \geq d_7 \geq \dots$  y que  $d_2 \geq d_4 \geq d_6 \geq d_8 \geq \dots$ .
- (4). Si  $\min\{d_i : i \in [n]\} = d_j$  para algún  $j < n-1$ , entonces  $d_j \leq d_n$ , lo cual contradice (1).  $\square$

La que sigue es una aplicación directa del Teorema 4.3.3. Por medio de la misma, encontramos una interesante relación numérica de divisibilidad que involucra la multiplicidad de una de las aristas terminales de un camino inducido en  $\Phi$ .

**Corolario 4.3.4.** *Sea  $(S, K, I)$  un grafo split tal que  $K = \bigcup_{v \in I} N_v$ . Si  $P = v_1 \dots v_n$  es un camino inducido en  $\Phi(S)$  donde  $d_1 = \max\{d_i : i \in [n], n \geq 2\}$ , entonces  $|\bigcup_{i=1}^n N_i| - d_1$  es un divisor de  $\sigma_{12}$  menor o igual que  $\sqrt{\sigma_{12}}$ . En particular, si  $\Phi = P$ , entonces  $|K| - d_1$  es un divisor de  $\sigma_{12}$  menor o igual que  $\sqrt{\sigma_{12}}$ .*

*Demostración.* Dado que  $P$  es un camino inducido en  $\Phi$ , tenemos que  $\bigcup_{i=1}^n N_i = N_1 \cup N_2$ , por el Teorema 4.3.3. Aplicando la fórmula (B.1), se deduce entonces que  $|\bigcup_{i=1}^n N_i| - d_1 = d_2 - \eta_{12}$ . Completamos la prueba usando que  $\sigma_{12} = (d_1 - \eta_{12})(d_2 - \eta_{12})$  y que  $d_1 \geq d_2$ .  $\square$

Ya que todo ciclo inducido en un grafo (o multigrafo), contiene a su vez caminos inducidos, podemos aplicar el Teorema 4.3.3 a tales caminos en  $\Phi$ . De esta manera, se obtiene un resultado sumamente interesante:  $\Phi$  solo puede contener ciclos inducidos de longitud 3 o 4. Este es justamente el contenido del Teorema 4.3.7, cuya prueba queda básicamente dividida entre los dos lemas que siguen.

**Lema 4.3.5.** *Si  $S$  es un grafo split y  $C$  es un ciclo inducido en  $\Phi(S)$ , entonces  $|C| \leq 5$ .*

*Demostración.* Asumamos que  $|C| \geq 6$ . Si  $C = v_1 \dots v_n v_1$ , podemos suponer sin pérdida de generalidad que  $d_1 = \max\{d_i : i \in [n]\}$  ( $d_i = \deg_S(v_i)$ ). Luego,  $P = v_1 \dots v_{n-1}$  y  $P' = v_1 v_n v_{n-1} \dots v_3$  son caminos inducidos de  $\Phi$ . Dado que  $n \geq 6$ , obtenemos que  $N_3 \supseteq N_{n-1}$  y  $N_{n-1} \supseteq N_3$ , aplicando el Teorema 4.3.3 a  $P$  y  $P'$  respectivamente. En consecuencia,  $N_3 = N_{n-1}$  y, por lo tanto, también  $N_\Phi(v_3) = N_\Phi(v_{n-1})$ . Esto significa que  $v_2 v_{n-1} \in \Phi$ , lo cual es una contradicción.  $\square$

**Lema 4.3.6.** *Si  $S$  es un grafo split y  $C$  es un ciclo inducido en  $\Phi(S)$ , entonces  $|C| \neq 5$ .*

*Demostración.* Supongamos que  $\Phi(S)$  tenga un ciclo inducido  $C$  de longitud 5. Si  $C = v_1 \dots v_5 v_1$ , podemos asumir sin pérdida de generalidad que  $\max\{d_i \in [5]\} = d_1$ . Dado que  $v_1 v_2 v_3 v_4$  y  $v_1 v_5 v_4 v_3$  son caminos inducidos en  $S$ , podemos usar el Teorema 4.3.3 para inferir que  $N_4 \subseteq N_2$  y que  $N_3 \subseteq N_5$ . Puesto que  $\sigma_{25} = 0$ , tenemos  $N_2 \subseteq N_5$  o  $N_5 \subseteq N_2$ . Si  $N_2 \subseteq N_5$ , entonces  $N_4 \subseteq N_2$ , y por ende  $\sigma_{45} = 0$ . Si  $N_5 \subseteq N_2$ , entonces  $N_3 \subseteq N_5$ , con lo cual  $\sigma_{23} = 0$ . Ambas son contradicciones.  $\square$

**Teorema 4.3.7.** *Si  $S$  es un grafo split y  $C$  es un ciclo inducido en  $\Phi(S)$ , entonces  $|C| \leq 4$ .*

*Demostración.* Se sigue directamente de los Lemas 4.3.5 y 4.3.6.  $\square$

Como anunciado en la introducción de esta sección, vamos a ver ahora un resultado muy interesante sobre las aristas simples de un  $P_4 \preceq \Phi$ .

**Teorema 4.3.8.** *Si  $S$  es un grafo split, entonces  $\Phi(S)$  no puede contener un camino inducido  $v_1 v_2 v_3 v_4$  donde  $\sigma_{23} = 1$ .*

La demostración del Teorema 4.3.8 requiere de varios pasos. Por lo tanto, la postergamos momentáneamente, dado que se obtendrá de manera mucho más sencilla probando primero algunos lemas previos.

**Lema 4.3.9.** *Si  $S$  es un grafo split, entonces  $\Phi(S)$  no puede contener un camino inducido  $v_1 v_2 v_3 v_4$  donde  $\sigma_{23} = 1$  y  $d_1 \leq d_2 \geq d_4$  ( $d_i = \deg_S(v_i)$ ).*

*Demostración.* Supongamos que exista un grafo split  $S$  tal que  $v_1 v_2 v_3 v_4 \preceq \Phi = \Phi(S)$ ,  $\sigma_{23} = 1$  y  $d_1 \leq d_2 \geq d_4$ . Como  $\sigma_{23} = 1$ , por la Proposición 4.2.1 tenemos que  $d_2 = d_3$ , lo que implica que  $d_3 \geq d_4$  y  $N_1 \subseteq N_3$ . Como  $\sigma_{14} = 0$ , podemos asumir sin pérdida de generalidad que  $d_4 \leq d_1$  y que  $N_4 \subseteq N_1 \subseteq N_3$ . Pero esto contradice que  $\sigma_{34} \neq 0$ .  $\square$

**Lema 4.3.10.** *Si  $S$  es un grafo split, entonces  $\Phi(S)$  no puede contener un camino inducido  $v_1 v_2 v_3 v_4$  donde  $\sigma_{23} = 1$  y  $d_1 \geq d_2 \leq d_4$ .*

*Demostración.* La prueba es del todo análoga a la del Lema 4.3.9.  $\square$

La siguiente proposición permite, entre otras cosas, obtener una rápida demostración del Lema 4.3.12.

**Proposición 4.3.11.** *Sea  $S$  un grafo split. Si  $\Phi(S)$  contiene un camino inducido  $v_1v_2v_3$  tal que  $d_1 \leq d_2$  y  $\sigma_{23} = 1$ , entonces:*

1.  $N_1 - N_2 = \{x\} = N_3 - N_2$ , para algún  $x \in V(S)$ .
2.  $N_3 = x \dot{\cup} (N_2 \cap N_3) \subset N_1 \cup N_2$ .
3.  $\sigma_{12} = d_2 - d_1 + 1$ .

*Demostración.* Ante todo, recordemos que  $d_2 = d_3$  y  $|N_2 - N_3| = 1 = |N_3 - N_2|$ , pues  $\sigma_{23} = 1$ . Más aún,  $N_1 \subseteq N_3$ , pues  $\sigma_{13} = 0$  y  $d_1 \leq d_3$ . Si fuera  $|N_1 - N_2| > 1$ , es claro que tendríamos  $|N_3 - N_2| > 1$  también, ya que  $N_1 \subseteq N_3$ . Luego, tiene que ser  $N_1 - N_2 = \{x\} = N_3 - N_2$ , para algún  $x \in V(S)$ .

Como  $N_3 - N_2 = N_3 - N_2 \cap N_3$ , se sigue que  $N_3 = x \dot{\cup} (N_2 \cap N_3)$ . En particular,  $N_3 \subset N_1 \cup N_2$ , y la inclusión es estricta porque  $N_2 - N_3 \neq \emptyset$ .

Finalmente, dado que  $\sigma_{12} = (d_1 - \eta_{12})(d_2 - \eta_{12})$  y  $d_1 - \eta_{12} = |N_1 - N_2| = 1$ , obtenemos fácilmente que  $\sigma_{12} = d_2 - d_1 + 1$ .  $\square$

**Lema 4.3.12.** *Si  $S$  es un grafo split, entonces  $\Phi(S)$  no puede contener un camino inducido  $v_1v_2v_3v_4$  donde  $\sigma_{23} = 1$  y  $d_1 \leq d_2 \leq d_4$ .*

*Demostración.* Supongamos que exista un tal camino en  $\Phi(S)$ . Como  $d_1 \leq d_2 = d_3 \leq d_4$  y  $\sigma_{14} = \sigma_{24} = 0$ , se sigue que  $N_1 \cup N_2 \subseteq N_4$ . Pero gracias a la Proposición 4.3.11 sabemos que  $N_3 \subseteq N_1 \cup N_2$ . Luego,  $\sigma_{34} = 0$ , una contradicción.  $\square$

Ya estamos listos para demostrar el Teorema 4.3.8.

*Demostración del Teorema 4.3.8.* Supongamos que exista un grafo split  $S$  tal que  $v_1v_2v_3v_4 \preceq \Phi = \Phi(S)$  y  $\sigma_{23} = 1$ . Puesto que  $d_2 = d_3$  (por la Proposición 4.2.1), solo tenemos 3 posibilidades para los grados de  $v_1, v_2$  y  $v_4$  en  $S$ : 1)  $d_1 \leq d_2 \geq d_4$ ; 2)  $d_1 \geq d_2 \leq d_4$ ; 3)  $d_1 \leq d_2 \leq d_4$ . Sin embargo, estos casos entran en conflicto con los Lemas 4.3.9, 4.3.10 y 4.3.12.  $\square$

Una consecuencia inmediata muy importante del Teorema 4.3.8 es que, en cualquier camino inducido de  $\Phi$ , solamente la primera o la última arista pueden ser simples. Esta posibilidad, efectivamente, se realiza; es decir: existen grafos split  $S$  tales que  $\Phi(S)$  contiene un  $P_4$  inducido 1234 con  $\sigma_{12} = 1$ . Como ejemplo, podemos tomar el grafo split (activo)  $(G, \{x, y, z, t\}, [4])$  donde  $N_1 = x, N_2 = y, N_3 = \{x, z\}$  y  $N_4 = \{x, y, t\}$  (en este caso:  $\Phi \approx P_4$  y  $\sigma_{23} = 2 = \sigma_{34}$ ).

**Corolario 4.3.13.** *Sea  $S$  un grafo split y sea  $v_1 \dots v_n$  ( $n \geq 2$ ) un camino inducido en  $\Phi(S)$ . Si  $\sigma_{i,i+1} = 1$  para algún  $i \in [n-1]$ , entonces  $i \in \{1, n-1\}$ .*

*Demostración.* Se sigue inmediatamente del Teorema 4.3.8.  $\square$

Recordemos que en este trabajo las distancias entre vértices en un multigrafo se miden ignorando las multiplicidades de las aristas. En otras palabras, la métrica en  $\Phi$  es la métrica usual de un grafo simple. Por otro lado, el hecho de que los caminos maximizan el diámetro de los grafos conexos con tamaño fijo es un resultado clásico. Por lo tanto, el diámetro de un  $\Phi$  conexo no puede superar la longitud de un multigrafo-camino  $P$  con su mismo tamaño, es decir,  $\deg(S)$ . Claramente, la multiplicidad de cada una de las aristas de  $P$  deberá ser lo más chica que se pueda, si se quiere maximizar su longitud en términos del grado de  $S$ . Usando el Corolario 4.3.13, es fácil entonces concluir que las aristas internas de  $P$  deben tener todas multiplicidad 2, mientras que sus aristas terminales (es decir, la primera y la última) deben tener multiplicidad 1 o 2. Acabamos entonces de obtener la siguiente desigualdad.

**Teorema 4.3.14.** *Si  $S$  es un grafo split tal que  $\Phi = \Phi(S)$  es conexo, entonces*

$$\text{diam}(\Phi) \leq \lceil (\deg(S) + 1)/2 \rceil.$$

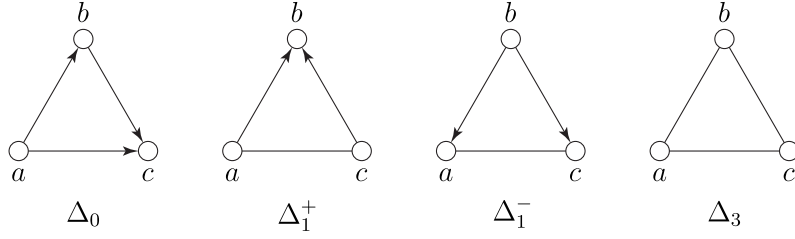
*Demostración.* Se sigue de la discusión anterior.  $\square$

## 4.4. Configuración de flujo

La **configuración de flujo** de un grafo split  $(S, K, I)$ , denotada por  $\vec{\Phi}(S)$ , se define como el digrafo con  $I$  como conjunto de vértices, donde hay un arco  $(u, v)$  desde  $u$  hacia  $v$  si y solo si  $\deg_S(u) \leq \deg_S(v)$  y  $\sigma_{uv}(S) > 0$ . Claramente,  $\vec{\Phi}(S) \approx \Phi(S)$  como grafos simples, si ignoramos las aristas paralelas y las direcciones de los arcos. Además:  $uv \in \vec{\Phi}(S)$  y  $vu \notin \vec{\Phi}(S)$  si y solo si  $\sigma_{uv}(S) > 0$  y  $\deg_S(u) < \deg_S(v)$ .

Sea  $(S, K, \{a, b, c\})$  un grafo split tal que  $\vec{\Phi} = \vec{\Phi}(S)$  es un triángulo, y consideremos los siguientes 4 digrafos (ver la Figura 4.5):

1.  $\Delta_0 = (\{a, b, c\}, \{ab, bc, ac\})$  (tipo 0);
2.  $\Delta_1^+ = (\{a, b, c\}, \{ab, cb, ac, ca\})$  (tipo  $1^+$ );
3.  $\Delta_1^- = (\{a, b, c\}, \{ba, bc, ac, ca\})$  (tipo  $1^-$ );
4.  $\Delta_3 = (\{a, b, c\}, \{ab, ba, bc, cb, ac, ca\})$  (tipo 3).

Figura 4.5: Triángulos permitidos en  $\vec{\Phi}$ .

Si  $\{ab, ba, bc, cb\} \subseteq \vec{\Phi}$  (es decir,  $\vec{\Phi}$  tiene al menos dos aristas), entonces  $d_a = d_b$  y  $d_b = d_c$ . Luego,  $d_a = d_c$  también, y por ende  $\vec{\Phi} = \Delta_3$ . Si  $\vec{\Phi}$  tiene exactamente una arista, asumamos sin pérdida de generalidad que  $ac, ca \in \vec{\Phi}$ . Si  $ab \in \vec{\Phi}$ , entonces  $cb$  también debe estar en  $\vec{\Phi}$ , ya que, si  $bc \in \vec{\Phi}$ , tendríamos  $d_a \leq d_b \leq d_c$ , lo cual nos obligaría a obtener nuevamente  $\Delta_3$ . Por lo tanto,  $\vec{\Phi} = \Delta_1^+$ . Por otro lado, si  $ba \in \vec{\Phi}$ , entonces por argumentos similares obtenemos  $\vec{\Phi} = \Delta_1^-$ . Finalmente, supongamos que  $\vec{\Phi}$  no tenga ninguna arista. Sin pérdida de generalidad, podemos asumir que  $ab, bc \in \vec{\Phi}$ . Si  $ca \in \vec{\Phi}$ , entonces  $d_a \leq d_b \leq d_c \leq d_a$ , y por lo tanto  $\vec{\Phi} = \Delta_3$ , lo cual es una contradicción. Luego,  $ac \in \vec{\Phi}$ , y así  $\vec{\Phi} = \Delta_0$ . Acabamos de probar el siguiente teorema.

**Teorema 4.4.1.** *Sea  $(S, K, \{a, b, c\})$  un grafo split tal que  $\vec{\Phi}(S)$  es un triángulo. Entonces  $\vec{\Phi}(S)$  es uno de los 4 digrafos de la Figura 4.5.*

*Demostración.* Se sigue de la discusión anterior.  $\square$

Decimos que  $S$  es **libre de cuadrados** si  $\sigma_{uv}(S)$  no es un cuadrado positivo para ningún par  $\{u, v\} \subseteq I$ . En este caso, también podemos decir que  $\Phi(S)$  es libre de cuadrados.

**Proposición 4.4.2.** *Sea  $S$  un grafo split. Si  $S$  es libre de cuadrados, entonces  $\deg_S(u) = \deg_S(v)$  implica  $\sigma_{uv}(S) = 0$ ,  $N_S(u) = N_S(v)$  y  $N_{\Phi(S)}(u) = N_{\Phi(S)}(v)$ .*

*Demostración.* Si  $d = \deg_S(u)$ , entonces  $\sigma_{uv}(S) = (d - \eta_{uv})^2$ . Como  $S$  es libre de cuadrados, debemos tener  $\sigma_{uv} = 0$ , lo que implica  $d = \eta_{uv}$ , es decir,  $|N_u| = |N_v| = |N_u \cap N_v|$ . Luego,  $N_u = N_v$ , y por lo tanto  $N_{\Phi}(u) = N_{\Phi}(v)$ , por la Proposición 4.2.1.  $\square$

En otras palabras, la Proposición 4.4.2 afirma que cuando  $S$  es libre de cuadrados, sus vértices independientes con el mismo grado no pueden ser vecinos en  $\Phi$ . Más aún, tales vértices son gemelos en  $S$  y en  $\Phi$ .

**Corolario 4.4.3.** *Sea  $S$  un grafo split libre de cuadrados. Si  $\vec{\Phi}(S)$  contiene un triángulo  $T$ , entonces  $T$  es de tipo 0.*

*Demostración.* Se sigue inmediatamente del Teorema 4.4.1 por medio de la Proposición 4.4.2.  $\square$

**Teorema 4.4.4.** *Sea  $S$  un grafo split tal que  $\vec{\Phi}(S) = \Delta_1^+$  (ver la Figura 4.5). Entonces  $\sigma_{ab} = \sigma_{bc}$  si y solo si  $\eta_{ab} = \eta_{bc}$ .*

*Demostración.* Notemos que  $\sigma_{ab} = \sigma_{bc}$  es equivalente a

$$(d_a - \eta_{ab})(d_b - \eta_{ab}) = (d_b - \eta_{bc})(d_c - \eta_{bc}).$$

Pero, como  $ac, ca \in \Delta_1^+$ , tenemos que  $d_c = d_a$  en  $S$ . Luego, la equivalencia se convierte en

$$(d_a - \eta_{ab})(d_b - \eta_{ab}) = (d_b - \eta_{bc})(d_a - \eta_{bc}).$$

Lo que es equivalente a

$$\begin{aligned} d_a d_b - (d_a + d_b)\eta_{ab} + \eta_{ab}^2 - d_a d_b + (d_a + d_b)\eta_{bc} - \eta_{bc}^2 &= 0 \\ (d_a + d_b)(\eta_{bc} - \eta_{ab}) + \eta_{ab}^2 - \eta_{bc}^2 &= 0 \\ (d_a + d_b)(\eta_{bc} - \eta_{ab}) + (\eta_{ab} + \eta_{bc})(\eta_{ab} - \eta_{bc}) &= 0 \\ (\eta_{bc} - \eta_{ab})(d_a + d_b - \eta_{ab} - \eta_{bc}) &= 0. \end{aligned}$$

Como  $\sigma_{ab}, \sigma_{bc} > 0$ , se sigue que  $d_a - \eta_{ab} > 0$  y  $d_b - \eta_{bc} > 0$ , con lo cual  $d_a - \eta_{ab} + d_b - \eta_{bc} > 0$ . Luego,  $\sigma_{ab} = \sigma_{bc}$  si y solo si  $\eta_{ab} = \eta_{bc}$ .  $\square$

**Lema 4.4.5.** *Sea  $S$  un grafo split y sea  $C$  un ciclo inducido de orden 4 en  $\vec{\Phi}(S)$ . Entonces  $C$  no puede ser ninguno de los 5 digrafos de la Figura 4.6.*

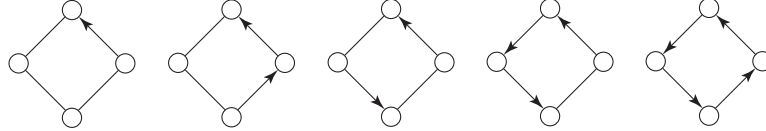
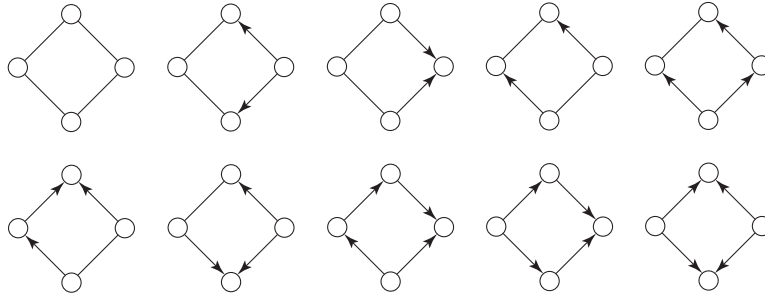


Figura 4.6: Los  $C_4$  prohibidos en  $\vec{\Phi}$ .

*Demostración.* Como todos los digrafos de la Figura 4.6 tienen al menos un arco, sea  $abcd$  el ciclo y sea  $ab$  el arco. Más aún, para  $v \in \{a, b, c, d\}$  sea  $d_v = \deg_S(v)$ . Notemos que para todos los digrafos que estamos considerando tenemos  $d_a < d_b \leq d_c \leq d_d \leq d_a$ . Lo que nos da  $d_a < d_a$ , una contradicción.  $\square$

**Teorema 4.4.6.** *Sea  $S$  un grafo split y sea  $C$  es un ciclo inducido de orden 4 en  $\vec{\Phi}(S)$ . Entonces  $C$  es uno de los 10 digrafos de la Figura 4.7.*

*Demostración.* Salvo etiquetamiento de los vértices, existen 15 digrafos isomorfos a  $C_4$ : los 10 que se muestran en la Figura 4.7 + los 5 de la Figura 4.6. El resultado requerido se sigue entonces del Lema 4.4.5.  $\square$

Figura 4.7: Los  $C_4$  posibles en  $\vec{\Phi}$ .

## 4.5. Grafos split lineales

Decimos que un grafo split  $(S, K, I)$  es  $\varepsilon$ -**lineal** si existe alguna constante  $\varepsilon > 0$  tal que  $|\deg_S(u) - \deg_S(v)| = \varepsilon$  para toda arista  $uv \in \Phi(S)$ . En otras palabras, se requiere que, para todo par de vértices adyacentes en  $\Phi$ , la diferencia (en módulo) de sus respectivos grados en  $S$  sea constante. Alternativamente, cuando especificar el valor de  $\varepsilon$  no sea importante, podemos decir que  $S$  (o  $\Phi$ , o  $\vec{\Phi}$ ) es **lineal**, a secas.

De la definición se sigue que, si  $S$  es  $\varepsilon$ -lineal, entonces  $\vec{\Phi}$  no contiene ninguna arista. De hecho, si  $uv$  es un arco en  $\vec{\Phi}$ , tenemos que  $d_v = d_u + \varepsilon > d_u$  (o sea, el grado crece estrictamente en la dirección del arco). El término “lineal” está inspirado en el hecho bien conocido de que una función lineal tiene un cociente incremental constante. También vamos a ver que si  $S$  es lineal, entonces  $\vec{\Phi}$  es “esencialmente” un camino, lo que redobla este concepto. En efecto, uno de los resultados centrales de esta sección es que el cociente por gemelos de  $\Phi(S)$  es un camino cuando  $S$  es un grafo split lineal. Algo a destacar es que los vértices de cada clase de equivalencia tienen todos el mismo grado en  $S$ . Como consecuencia, la métrica es sorprendentemente sencilla en  $\Phi$ . De hecho, encontramos que la distancia entre  $u$  y  $v$  en  $\Phi$  solo depende de  $\varepsilon$  y de la diferencia entre los respectivos grados en  $S$  de  $u$  y  $v$ .

También estudiamos los ciclos inducidos en  $\vec{\Phi}$ , mostrando que solo pueden ser de orden 4 y de dos tipos (recordemos que, en principio, hay 10 tipos posibles; ver la Figura 4.7). Por último, pero no menos importante, relacionamos de nuevo los grafos split con la Teoría de Números, mediante resultados sobre aquellos que son  $p$ -simples (definiremos luego este concepto), para  $p$  primo, y con un interesante teorema sobre  $\Phi(S)$ , cuando  $S$  es lineal.

El primer lema de esta sección nos dice que un ciclo  $C$  de orden 4 inducido en  $\vec{\Phi}(S)$  solo puede ser de dos tipos cuando  $S$  es  $\varepsilon$ -lineal. Si  $\{u, x, y, z\}$  es el conjunto de vértices de  $C$ , entonces estas son las únicas dos posibilida-

des para el conjunto de arcos de  $C$ : 1)  $\{ux, uz, xy, zy\}$ ; 2)  $\{ux, uz, yx, yz\}$ . Podemos ver estos dos digrafos en la Figura 4.8. Al digrafo del primer caso lo denominamos  $C_4(0121)$ , o decimos que  $C$  es de tipo 0121. Mientras que al del caso (2) lo denominamos  $C_4(0101)$ , o decimos que  $C$  es de tipo 0101. El porque de esta nomenclatura reside en los grados en  $S$  de los vértices de  $C$ . En efecto, en  $C_4(0121)$  tenemos que  $d_u = d_u + 0\varepsilon$ ,  $d_x = d_u + 1\varepsilon$ ,  $d_y = d_u + 2\varepsilon$  y  $d_z = d_u + 1\varepsilon$ . De manera similar se deriva 0101 en el otro caso.

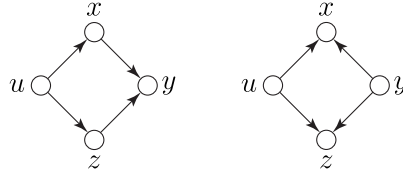


Figura 4.8:  $C_4(0121)$  (a la izquierda) y  $C_4(0101)$  (a la derecha).

**Lema 4.5.1.** *Sea  $S$  un grafo split  $\varepsilon$ -lineal y sea  $C$  un ciclo de orden 4 en  $\vec{\Phi}(S)$ . Entonces  $C$  es isomorfo a  $C_4(0121)$  o  $C_4(0101)$  (ver la Figura 4.8).*

*Demostración.* Por el Teorema 4.4.6, alcanza con descartar que  $C$  pueda tener a  $\{ux, xy, yz, uz\}$  como conjunto de arcos. En efecto, si así fuera, entonces tendríamos que  $d_u + \varepsilon = d_z = d_u + 3\varepsilon$ , lo cual es absurdo.  $\square$

Si  $S$  es lineal, podemos descartar con facilidad la posibilidad de que  $\vec{\Phi}(S)$  contenga triángulos. Luego, constatamos que los ciclos en  $\vec{\Phi}(S)$ , si los hay, solo pueden ser de longitud 4 y de tipo 0121 o 0101.

**Teorema 4.5.2.** *Sea  $S$  un grafo split  $\varepsilon$ -lineal y sea  $C$  un ciclo inducido en  $\vec{\Phi}(S)$ . Entonces,  $C$  es isomorfo a  $C_4(0121)$  o  $C_4(0101)$  (ver la Figura 4.8).*

*Demostración.* Aplicando los Teoremas 4.3.7 y 4.4.1, y el Lema 4.5.1, solo nos queda verificar que  $C$  no sea un triángulo de tipo 0 (ver la Figura 4.5). En efecto, si así fuera tendríamos que  $d_a + \varepsilon = d_b = d_a + 2\varepsilon$ , un claro absurdo.  $\square$

Movemos ahora nuestra atención hacia los caminos inducidos de  $\vec{\Phi}(S)$ , siempre en el caso que  $S$  sea lineal. Para esto, necesitamos primero un lema sobre los caminos inducidos de longitud 3.

**Lema 4.5.3.** *Sea  $S$  un grafo split  $\varepsilon$ -lineal y sea  $uxyz \preceq \Phi(S)$ . Si  $d_v = \deg_S(v)$  y  $d_u < d_x$ , entonces  $d_x < d_y < d_z$ .*

*Demostración.* Si no fuera cierto que  $d_x < d_y < d_z$ , entonces nos enfrentaríamos a tres escenarios posibles:

- (1).  $d_y = d_u < d_x = d_u + \varepsilon = d_z$ ;  
 (2).  $d_u < d_x = d_u + \varepsilon = d_z < d_y = d_u + 2\varepsilon$ ;  
 (3).  $d_u - \varepsilon = d_z < d_y = d_u < d_x = d_u + \varepsilon$ .

Vemos que  $d_x = d_z$ , en los casos (1) y (2), mientras que  $d_u = d_y$  en el tercero. Esto implica, gracias a la Proposición 4.2.1, que  $x \cong_{\Phi} z$  o que  $u \cong_{\Phi} y$ , respectivamente. Pero entonces  $uz \in \Phi$ , lo cual contradice que  $uxyz \preceq \Phi$ .  $\square$

Aplicando repetidamente el lema anterior encontramos que, en un camino inducido  $P \preceq \vec{\Phi}(S)$  de longitud 3 o más, los grados en  $S$  (lineal) de los vértices de  $P$  crecen de manera estricta y regular de un extremo al otro de  $P$ .

**Teorema 4.5.4.** *Sea  $S$  un grafo split  $\varepsilon$ -lineal y sea  $P = v_1v_2 \dots v_n$  un camino inducido en  $\Phi(S)$  de orden  $n \geq 4$ . Si  $d_i = \deg_S(v_i)$ , entonces  $d_1 < d_2 < \dots < d_n$ . Más aún,  $d_i = d_1 + (i - 1)\varepsilon$ , para todo  $i \in [n]$ .*

*Demostración.* Obtenemos que  $d_1 < d_2 < \dots < d_n$  aplicando el Lema 4.5.3 en cada camino  $v_kv_{k+1}v_{k+2}v_{k+3}$  de orden 4 contenido en  $P$ , para cada  $k \in [n-3]$ . El hecho de que  $d_i = d_1 + (i - 1)\varepsilon$ , para todo  $i \in [n]$ , es inmediato.  $\square$

El lema siguiente dice, en definitiva, que si el cociente por gemelos de un grafo  $G$  es un camino, entonces podemos reconstruir fácilmente gran parte de la estructura originaria de  $G$ . En efecto, tomamos cada par de clases de equivalencia consecutivas en  $[G]$  y hacemos un join (recordemos que denotamos esta operación por el símbolo  $+$ ) entre sus respectivos subgrafos inducidos en  $G$ , los cuales ya sabemos que solo pueden ser cliques o conjuntos independiente (en  $G$ ), por la Proposición 3.1.7. Luego, para determinar completamente a  $G$ , solo se deben especificar la cardinalidad de cada clase y si la misma es una clique o un independiente.

**Lema 4.5.5.** *Sea  $G$  un grafo. Entonces  $[G]$  es el camino  $[v_1] \dots [v_q]$  ( $q \geq 2$ ) si y solo si*

$$E(G) = \bigcup_{i=1}^{q-1} E(\langle [v_i] \rangle_G + \langle [v_{i+1}] \rangle_G).$$

*Demostración.* Si  $q = 2$ , el resultado es obvio. De acá en adelante, asumimos entonces que  $q \geq 3$ .

( $\Rightarrow$ ). Si  $a \in [v_i]$  y  $b \in [v_{i+1}]$ , entonces  $ab \in G$  por la Proposición 3.1.1, pues  $[v_i]$  y  $[v_{i+1}]$  son vecinos en  $[G]$  por hipótesis. Luego,

$$E(G) \supseteq \bigcup_{i=1}^{q-1} E(\langle [v_i] \rangle_G + \langle [v_{i+1}] \rangle_G).$$

Para probar que esta inclusión no puede ser propia, supongamos que

$$ab \in E(G) - \bigcup_{i=1}^{q-1} E(\langle [v_i] \rangle_G + \langle [v_{i+1}] \rangle_G).$$

Entonces,  $a \in [v_i]$ ,  $b \in [v_j]$  y  $|j - i| \geq 2$ . Como  $[G]$  es el camino  $[v_1] \dots [v_q]$ , se sigue que  $[a][b] = [v_i][v_j] \notin E[G]$ . Pero entonces  $ab \notin E(G)$ , por la Proposición 3.1.1, y llegamos a una contradicción.

( $\Leftarrow$ ). Inmediato.  $\square$

Queremos confeccionar un teorema que incluya las propiedades más relevantes de un grafo split lineal  $S$  y de sus grafos asociados. A tal propósito, demostramos primero dos resultados auxiliares que relacionan los vértices gemelos de  $S$ , sus grados en  $S$  y las multiplicidades en  $\Phi(S)$  de las aristas que los contienen.

**Lema 4.5.6.** *Sea  $(S, K, I)$  un grafo split lineal y sean  $a, b \in I$ . Si  $d_a = d_b$ , entonces  $\sigma_{ab} = 0$ . Más aún,  $a$  y  $b$  son gemelos en  $S$  y en  $\Phi(S)$ .*

*Demostración.* Si  $ab \in E(\Phi)$  (es decir,  $\sigma_{ab} \neq 0$ ), entonces  $|d_a - d_b| > 0$ , pues  $S$  es lineal. Luego,  $d_a \neq d_b$ . El hecho que  $a$  y  $b$  son gemelos en  $S$  y en  $\Phi$  se sigue inmediatamente de la Proposición 4.2.1.  $\square$

**Lema 4.5.7.** *Sea  $S$  un grafo split. Si  $x \cong_S y$  y  $y z \cong_S t$ , entonces  $\sigma_{xz} = \sigma_{yt}$ .*

*Demostración.* Como  $x \cong_S y$ , tenemos que  $N_S(x) = N_S(y)$ . Como  $z \cong_S t$ , tenemos que  $N_S(z) = N_S(t)$ . Luego,

$$\begin{aligned} \sigma_{xz} &= (\deg_S(x) - |N_S(x) \cap N_S(z)|)(\deg_S(z) - |N_S(x) \cap N_S(z)|) = \\ &= (\deg_S(y) - |N_S(y) \cap N_S(t)|)(\deg_S(t) - |N_S(y) \cap N_S(t)|) = \sigma_{yt}. \end{aligned}$$

$\square$

**Teorema 4.5.8.** *Sea  $(S, K, I)$  un grafo split balanceado y  $\varepsilon$ -lineal, tal que  $\Phi(S)$  es conexo. Entonces  $S$  tiene las siguientes propiedades:*

1. *si  $v_i$  es un vértice en  $I$  cuyo grado en  $S$  es  $\delta_i = \delta_1 + (i-1)\varepsilon$ , para ciertos  $i, \delta_1 \geq 1$ , entonces cada clase  $[v_i]_\Phi$  es un conjunto independiente en  $\Phi$ ;*
2.  $[v_i]_S = \{v \in I : \deg_S(v) = \delta_i\} = [v_i]_\Phi$ ;
3.  $[\Phi(S)]$  es el camino  $[v_1]_\Phi \dots [v_q]_\Phi$ , donde  $q = |[I]_S| = |[I]_\Phi|$ ;
4.  $E(\Phi) = \bigcup_{i=1}^{q-1} E(\langle [v_i]_\Phi \rangle_\Phi + \langle [v_{i+1}]_\Phi \rangle_\Phi)$ , ignorando multiplicidades;

5. si  $\sigma_{ab} \neq 0$ , entonces  $a \in [v_i]_\Phi, b \in [v_{i+1}]_\Phi$  y  $\sigma_{ab} = \sigma_{i,i+1}$ , para algún  $i \in [q-1]$ ;
6.  $\deg(S) = \sum_{i=1}^{q-1} \sigma_{i,i+1} |[v_i]_\Phi| |[v_{i+1}]_\Phi|$ .

*Demostración.* Para simplificar la notación, en toda la demostración el símbolo  $[v_i]_\Phi$  será remplazado por  $[v_i]$ .

- (1). Si  $E(\langle [v_i] \rangle_\Phi) = \emptyset$ , entonces terminamos porque  $[v_i]$  es un conjunto independiente en  $\Phi$ . De lo contrario, si existe un  $u \in [v_i]$  tal que  $uv_i \in \Phi$ , entonces tanto  $u$  como  $v_i$  tienen un vecino común  $w$  en otra clase de equivalencia, pues  $q \geq 2$  y  $\Phi$  es conexo. Por ende,  $\Phi$  contiene al triángulo  $uv_iwu$ , contradiciendo el Teorema 4.5.2.
- (2). Por el Lema 4.5.6, tenemos que  $[v_i], [v_i]_S \supseteq \{v \in I : \deg_S(v) = \delta_i\}$ . Si  $x \in [v_i]_S$ , entonces  $x \in I$ , por el Lema 3.2.1, y en consecuencia  $N_S(x) = N_S(v_i)$ . Por ende,  $x \in [v_i]$ , por la Proposición 4.2.1. Además, es claro que  $\deg_S(x) = \delta_i$ . Luego,  $[v_i]_S \subseteq [v_i], \{v \in I : \deg_S(v) = \delta_i\}$ .

Para probar que  $[v_i] = [v_i]_S$ , supongamos que exista un vértice  $x \in [v_i] - [v_i]_S$ , es decir,  $x$  es gemelo de  $v_i$  en  $\Phi$  pero no en  $S$ . Esto significa que  $N_x = N_S(x) \neq N_S(v_i) = N_i$ . Dado que  $[v_i]$  es un independiente en  $\Phi$ , por (1), se sigue que  $v_i x \notin \Phi$ , y por ende  $N_x \subset N_i$  o  $N_i \subset N_x$ , por la Proposición 4.2.1. Luego,  $d_x \neq \delta_i$ . Dado que  $\Phi$  es conexo, tiene que ser  $d_x = \delta_j$ , para algún  $j \neq i$ , con lo cual  $x \in [v_j]_S \subseteq [v_j]$ , por lo demostrado en la primer parte de (2). Pero entonces  $x \in [v_i] \cap [v_j] = \emptyset$ , absurdo.

- (3). Dado que  $\delta_{i+1} - \delta_i = \varepsilon$ , se sigue que  $v_i v_{i+1} \in E(\Phi)$  para todo  $i \in [q-1]$ , por la definición de grafo split lineal. Luego,  $[v_i][v_{i+1}] \in E[\Phi]$  para todo  $i \in [q-1]$ , por la Proposición 3.1.1. Supongamos ahora que  $[v_i][v_j] \in E[\Phi]$ , para ciertos  $i, j \in [q]$  tales que  $|j-i| \geq 2$ . Esto implica que  $v_i v_j \in E(\Phi)$ , por la Proposición 3.1.1. Por otro lado, tenemos que  $|\delta_j - \delta_i| \geq 2\varepsilon$ . Pero entonces  $v_i v_j \notin E(\Phi)$ , por definición de grafo split lineal. Esta contradicción muestra que  $[\Phi]$  es efectivamente el camino  $[v_1] \dots [v_q]$ .
- (4). Es una aplicación directa del Lema 4.5.5, gracias a (3).
- (5). Sabemos que  $\sigma_{ab} \neq 0$  significa que  $ab \in E(\Phi)$ . Luego,  $ab \in E(\langle [v_i] \rangle_\Phi + \langle [v_{i+1}] \rangle_\Phi)$  para algún  $i \in [q-1]$ , por (4). Más en específico, tenemos que  $a \in [v_i]$  y  $b \in [v_{i+1}]$ , por (1). Finalmente, combinando el Lema 4.5.7 con (2), obtenemos que  $\sigma_{ab} = \sigma_{i,i+1}$ .

- (6). Dado que  $G_i = \langle [v_i] \rangle_{\Phi} + \langle [v_{i+1}] \rangle_{\Phi}$  es un grafo bipartito completo, por (1), tenemos que  $\|G_i\| = |[v_i]||[v_{i+1}]|$ , para cada  $i \in [q-1]$ . Por otro lado, cada arista de  $G_i$  tiene multiplicidad  $\sigma_{i,i+1}$ , por (5). La fórmula requerida se sigue entonces inmediatamente de (4), ya que  $E(G_i) \cap E(G_j) = \emptyset$  para todo  $j \neq i$ , por (1).

□

Como corolario del teorema anterior, obtenemos que la métrica de  $\Phi(S)$ , cuando  $(S, K, I)$  es  $\varepsilon$ -lineal, queda completamente determinada por  $\varepsilon$  y por los grados en  $S$  de los vértices de  $I$ .

**Corolario 4.5.9.** *Sea  $S$  un grafo split  $\varepsilon$ -lineal tal que  $\Phi = \Phi(S)$  es conexo, y sean  $u$  y  $v$  dos vértices distintos en  $I$ . Si  $u \cong v$ , entonces  $\text{dist}_{\Phi}(u, v) = 2$ ; de lo contrario:*

$$\text{dist}_{\Phi}(u, v) = \frac{1}{\varepsilon} \left| \deg_S(u) - \deg_S(v) \right|.$$

En particular, si  $\text{diam}(\Phi) \geq 3$ , entonces

$$\text{diam}(\Phi) = \frac{1}{\varepsilon} (d_{\text{máx}} - d_{\text{mín}}) = \lceil \Phi \rceil - 1,$$

donde  $d_{\text{máx}} = \text{máx}\{\deg_S(v) : v \in I\}$  y  $d_{\text{mín}} = \text{mín}\{\deg_S(v) : v \in I\}$ .

*Demostración.* Es una consecuencia inmediata de los ítems (1), (3) y (4) del Teorema 4.5.8. □

Decimos que  $S$  es  $n$ -**simple** si  $\sigma_{uv}(S) \in \{0, n\}$  para algún  $n \geq 1$  y para todo  $\{u, v\} \subseteq I$ . En este caso, también podemos decir que  $\Phi(S)$  (o  $\vec{\Phi}$ ) es  $n$ -simple. Cuando  $n = 1$ , recuperamos para  $\Phi$  la propiedad de ser un grafo simple y usamos el término **simple** en lugar de 1-**simple**.

Cuando  $n$  es primo, es fácil ver que  $S$  es  $(n-1)$ -lineal. Este es precisamente el contenido del próximo teorema.

**Teorema 4.5.10.** *Sea  $p$  un número primo. Si  $S$  es un grafo split  $p$ -simple, entonces  $S$  es  $(p-1)$ -lineal.*

*Demostración.* Si  $S$  es  $p$ -simple, entonces  $\sigma_{uv} = (d_u - \eta_{uv})(d_v - \eta_{uv}) = p$ , y por lo tanto  $(d_u - \eta_{uv}, d_v - \eta_{uv}) \in \{(p, 1), (1, p)\}$ , pues  $p$  es primo. Luego:  $|(d_u - \eta_{uv}) - (d_v - \eta_{uv})| = |d_u - d_v| = p - 1$ , para toda arista  $uv \in \Phi(S)$ , lo cual muestra que  $S$  es  $(p-1)$ -lineal. □

Cuando  $p$  es un primo impar, los Teorema 4.5.10 y 4.5.4 implican que, en un grafo split  $S$   $p$ -simple, los grados en  $S$  de sus vértices independientes son todos pares o todos impares, pues  $p-1$  es par.

**Corolario 4.5.11.** *Sea  $(S, K, I)$  un grafo split  $p$ -simple. Si  $p$  es primo y  $p \neq 2$ , entonces  $d_u \equiv d_v \pmod{2}$ , para todo  $\{u, v\} \subseteq I$ .*

*Demostración.* Se sigue de la discusión anterior.  $\square$

**Teorema 4.5.12.** *Sea  $(S, K, I)$  un grafo split lineal tal que  $K = \bigcup_{v \in I} N_v$ , donde los vértices independientes tienen en  $S$  los siguientes grados:  $\delta_1 > \delta_2 > \dots > \delta_q$ , para algún entero  $q$ . Si  $a$  y  $b$  son dos vértices en  $I$  tales que  $d_a = \delta_1$  y  $d_b = \delta_2$ , entonces  $|K| - d_a$  es un divisor de  $\sigma_{ab}$  menor que  $\sqrt{\sigma_{ab}}$ .*

*Demostración.* Para esta demostración, es esencial repasar primero el enunciado del Teorema 4.5.8. Con tal resultado en mente, sea  $v_i$  un vértice independiente de  $S$  tal que  $\deg_S(v_i) = \delta_i$ . Claramente,  $N_u = N_i$  para todo  $u \in [v_i]$ . Luego,  $K = \bigcup_{i=1}^q N_i$ . Dado que, por el Teorema 4.5.8,  $v_1 \dots v_q$  es un camino inducido en  $\Phi$ , se sigue por el Corolario 4.3.4 que  $|K| - d_a$  es un divisor de  $\sigma_{ab}$  menor o igual que  $\sqrt{\sigma_{ab}}$ . Más específicamente, tenemos que  $|K| - d_a < \sqrt{\sigma_{ab}}$ , pues  $d_a > d_b$ .  $\square$

**Corolario 4.5.13.** *Sea  $(S, K, I)$  es un grafo split  $p$ -simple y sean  $d_{\min}$  y  $d_{\max}$ , respectivamente, el grado mínimo y máximo en  $S$  de los vértices en  $I$ , con  $|I| \geq 2$ . Si  $K = \bigcup_{v \in I} N_v$ ,  $p$  es primo y  $\Phi(S)$  es un camino, entonces*

$$d_{\max} = |K| - 1 = d_{\min} + (|I| - 1)(p - 1).$$

*En particular, si  $p = 2$  y  $d_{\min} = 1$ , entonces*

$$|I| = d_{\max} = |K| - 1.$$

*Demostración.* Gracias al Teorema 4.5.10, sabemos que  $S$  es lineal. Luego, el Teorema 4.5.12 nos dice que  $|K| - d_{\max}$  divide  $p$  y es  $\leq \sqrt{p}$ . Como  $p$  es primo, se sigue entonces que  $|K| - d_{\max} = 1$ . La igualdad  $d_{\max} = d_{\min} + (|I| - 1)(p - 1)$ , en cambio, es un caso particular del Corolario 4.5.9, pues  $S$  es  $(p - 1)$ -lineal.  $\square$

# Capítulo 5

## La propiedad $\Delta$

En este capítulo, abordaremos un problema que se encuentra en la intersección entre la Teoría de Grafos y la Teoría de Números: establecer condiciones sobre  $n \in \mathbb{N}$  para que exista un grafo split  $S$  tal que  $\vec{\Phi}(S)$  sea un triángulo  $n$ -simple de tipo 0 (ver la Figura 4.5). Este problema puede parecer al principio algo demasiado particular, pero en realidad, considerando que los ciclos de  $\Phi$  solo pueden ser de tamaño 3 o 4, constituye un avance muy importante en el entendimiento de la estructura de 2-switch de los grafos split. Además, el puente que se crea con la Teoría de Números abre muchas puertas a investigaciones futuras en esta área.

El núcleo de este capítulo radica en la definición y en el estudio de la propiedad  $\Delta$  y de aquellos números naturales que la satisfacen o no. Indicamos con  $\mathbb{N}(\Delta)$  al conjunto de números naturales con la propiedad  $\Delta$ . Esta es una propiedad que involucra los divisores complementarios de un número y ciertos conjuntos de diferencias y sumas de los mismos. En este contexto, demostramos dos teoremas fundamentales. El primero nos dice que si  $\vec{\Phi}$  es un triángulo  $n$ -simple de tipo 0, entonces  $n \in \mathbb{N}(\Delta)$ . Los corolarios de este resultado generan numerosas conexiones interesantes entre los conjuntos que definen la propiedad  $\Delta$  y los grafos split  $n$ -simples y lineales. El segundo es una suerte de recíproco del primero: si  $n \in \mathbb{N}(\Delta)$ , entonces podemos construir un grafo split  $S$  tal que  $\vec{\Phi}(S)$  sea un triángulo  $n$ -simple de tipo 0. Esto es en síntesis el contenido de la Sección 5.1, la primera de las 3 secciones de este capítulo.

En las 3 secciones que siguen nos alejamos momentáneamente de la Teoría de Grafos para concentrar nuestros esfuerzos en la propiedad  $\Delta$ . En la Sección 5.2 introducimos el concepto de número  $\Delta$ -primitivo, un análogo del concepto de número primo, pero para los miembros de  $\mathbb{N}(\Delta)$ . En efecto, estos números son en esencia los “átomos” que componen cada miembro de  $\mathbb{N}(\Delta)$ . Entre los resultados destacables, sin duda está aquel donde mostramos la infinitud

de los  $\Delta$ -primitivos. Notamos que los cuadrados perfectos y los números libres de cuadrados cobran una cierta importancia en este marco teórico. Al respecto, se prueba que los cuadrados con la propiedad  $\Delta$  forman un semigrupo abeliano con el producto usual, y se conjetura también la infinitud de los cuadrados  $\Delta$ -primitivos.

En la Sección 5.3 desarrollamos un método muy efectivo para generar números con la propiedad  $\Delta$ . A tal propósito, construimos una familia infinita de polinomios  $f(x)$ , de grado 3, tales que  $f(x) \in \mathbb{N}(\Delta)$  para todo  $x \in [n_0, \infty) \cap \mathbb{N}$ , para cierto  $n_0 \in \mathbb{N}$ .

Finalmente, en la última sección, encontramos una larga lista de familias de números que no cumplen la condición  $\Delta$ . Un descubrimiento clave en esta dirección es que  $pk \notin \mathbb{N}(\Delta)$  cuando  $p$  es un primo “grande” comparado con  $k$ . Otra tendencia que se observa es que aquellos números con muy pocos factores primos en su factorización, son más propensos a no cumplir la condición  $\Delta$  (por ejemplo, potencias de un primo o productos de ciertas potencias de dos primos). Conjeturamos que si  $n$  es un  $\Delta$ -primitivo de la forma  $p^x q^y$  ( $p, q$  primos), entonces  $n \in \{24, 40\}$ , y caracterizamos cuando un producto de 3 primos  $pqr \in \mathbb{N}(\Delta)$ . Al cabo de todo este análisis, volvemos a los grafos split, estableciendo un resultado sobre los ciclos inducidos  $n$ -simples de  $\Phi$ , cuando  $n$  no cumple la condición  $\Delta$  y no es un cuadrado.

## 5.1. De los grafos a la Teoría de Números

Si  $D_n$  es el conjunto de los divisores positivos de un número natural  $n$ , definimos:

$$D_n^* = \{|a - b| : a, b \in D_n, ab = n\}.$$

Es decir,  $D_n^*$  es el conjunto de las diferencias no negativas entre divisores complementarios de  $n$ . Por ejemplo, tenemos que  $D_1^* = \{0\}$ ,  $D_7^* = \{6\}$ ,  $D_9^* = \{8, 0\}$ ,  $D_{10}^* = \{9, 3\}$ ,  $D_{16}^* = \{15, 6, 0\}$  y  $D_{18}^* = \{17, 7, 3\}$ . Claramente,  $\max(D_n^*) = n - 1$ , para todo  $n \in \mathbb{N}$ . Observemos también que  $0 \in D_n^*$  si y solo si  $n$  es un cuadrado perfecto, y que  $D_p^* = \{p - 1\}$  si y solo  $p$  es primo o es 1. Una propiedad básica y conocida del conjunto  $D_n$  es que

$$|\{x \in D_n : x < \sqrt{n}\}| = |\{x \in D_n : x > \sqrt{n}\}|. \quad (5.1)$$

Esto puede probarse mostrando que, si  $x < \sqrt{n}$ , entonces la función que mapea  $x$  a su complemento  $n/x$  es una biyección entre los conjuntos de (5.1). Luego, siendo  $k = |\{x \in D_n : x < \sqrt{n}\}|$ , se sigue que  $|D_n - \sqrt{n}| = 2k$  y que  $|D_n^* - 0| = k$ . En particular, las siguientes tres afirmaciones son equivalentes: 1)  $\sqrt{n} \in \mathbb{N}$ ; 2)  $|D_n| = 2k + 1$ ; 3)  $|D_n^*| = k + 1$ .

A partir de  $D_n^*$ , definamos ahora este conjunto:

$$D_n^+ = \{x + y : x, y \in D_n^* - \{0\}\}.$$

Por ejemplo,  $D_1^+ = \emptyset$ ,  $D_7^+ = \{12\}$ ,  $D_9^+ = \{16\}$ ,  $D_{10}^+ = \{18, 12, 6\}$ ,  $D_{16}^+ = \{30, 21, 12\}$  y  $D_{18}^+ = \{34, 24, 20, 14, 10, 6\}$ . Claramente,  $\max(D_n^+) = 2(n-1)$ , para todo  $n \geq 2$ . Decimos que un número natural  $n$  tiene la **propiedad  $\Delta$**  (o, que  $n$  satisface la condición  $\Delta$ ) si

$$D_n^* \cap D_n^+ \neq \emptyset.$$

Denotamos por  $\mathbb{N}(\Delta)$  al conjunto de todos los números naturales que satisfacen la condición  $\Delta$ . En los ejemplos anteriores hechos para  $n \in \{1, 7, 9, 10, 16, 18\}$ , vemos que  $n \notin \mathbb{N}(\Delta)$ . Por inspección, podemos verificar rápidamente que recién el 24 es el primer número natural que satisface la condición  $\Delta$ . En efecto, como  $D_{24} = \{1, 2, 3, 4, 6, 8, 12, 24\}$ , tenemos que

$$D_{24}^* = \{23, 10, 5, 2\},$$

$$D_{24}^+ = \{46, 33, 28, 25, 20, 15, 12, 10, 7, 4\},$$

con lo cual

$$D_{24}^* \cap D_{24}^+ = \{10\}.$$

El segundo elemento de  $\mathbb{N}(\Delta)$  es el 40. Esto significa que ningún número en el intervalo  $[25, 39]$  satisface la condición  $\Delta$ . Los divisores de 40 son 1, 2, 4, 5, 8, 10, 20 y 40. Luego,

$$D_{40}^* = \{39, 18, 6, 3\},$$

$$D_{40}^+ = \{6, 9, 12, 21, 24, 36, 42, 45, 57, 78\},$$

y por ende

$$D_{40}^* \cap D_{40}^+ = \{6\}.$$

Como podemos ver,  $\mathbb{N}(\Delta) \neq \emptyset$ . Aquí surge una pregunta muy natural: ¿ $\mathbb{N}(\Delta)$  es finito o infinito? Responderemos a esto de una manera muy simple y elegante, pero recién en la próxima sección (spoiler:  $\mathbb{N}(\Delta)$  es infinito!).

**Proposición 5.1.1.** *Un número natural  $n$  satisface la condición  $\Delta$  si y solo si existe una terna  $\{x, y, z\} \subseteq D_n$  tal que  $1 < x < y \leq z < \sqrt{n}$  y*

$$\frac{n}{x} - x = \frac{n}{y} - y + \frac{n}{z} - z. \quad (5.2)$$

*Demostración.* Un número  $c$  pertenece a  $D_n^* \cap D_n^+$  si y solo si  $c \in D_n^*$  y  $c = a + b$ , para ciertos  $a, b \in D_n^* - \{0\}$ . Dado que  $a, b, c \in D_n^*$ , podemos escribirlos como

$$a = \frac{n}{z} - z, \quad b = \frac{n}{y} - y, \quad c = \frac{n}{x} - x,$$

donde  $x, y$  y  $z$  son divisores de  $n$ . Puesto que  $a, b > 0$ , también  $c > 0$ . Luego,  $x^2, y^2, z^2 < n$ , de lo cual se sigue que  $x, y, z < \sqrt{n}$ . Como  $c = a + b$  y  $a, b > 0$ , es claro que  $a, b < c$ , es decir,  $x < y, z$ . Por la simetría del miembro derecho de (5.2), podemos asumir sin pérdida de generalidad que  $y \leq z$ . Finalmente, supongamos  $x = 1$ . Ya que  $y, z \geq 2$ , tenemos que

$$n - 1 = c = a + b \leq 2\left(\frac{n}{2} - 2\right) = n - 4,$$

un absurdo. Por ende, tiene que ser  $x > 1$ .  $\square$

La condición (5.2) puede reescribirse como

$$(xy + xz - yz)n = xyz(z + y - x), \quad (5.3)$$

mediante manipulaciones algebraicas elementales. La terna de divisores  $\{x, y, z\}$  a la cual se hace referencia en la Proposición 5.1.1 es  $\{2, 3, 3\}$  para  $n = 24$  y  $\{4, 5, 5\}$  para  $n = 40$ . Así,

$$\frac{24}{2} - 2 = 10 = 2\left(\frac{24}{3} - 3\right), \quad \frac{40}{4} - 4 = 6 = 2\left(\frac{40}{5} - 5\right).$$

Los dos resultados que siguen asientan algunos argumentos usados en la demostración de la Proposición 5.1.1.

**Proposición 5.1.2.** *Sea  $n$  un número natural y sean  $x, y \in D_n$  tales que  $x \leq y \leq \sqrt{n}$ . Entonces*

$$\frac{n}{y} - y \leq \frac{n}{x} - x, \quad (5.4)$$

*y la igualdad se cumple si y solo si  $x = y$ . En particular, tenemos que*

$$\max(D_n^* - \{n - 1\}) \leq \frac{n}{2} - 2.$$

*Demostración.* La hipótesis de que  $x \leq y$  implica  $-y \leq -x$  y  $\frac{n}{y} \leq \frac{n}{x}$ , la cuales sumadas nos dan la desigualdad (5.4). Para obtener la otra desigualdad, primero recordamos que  $\max(D_n^*) = n - 1$ , y luego tomamos  $x = 2$  en (5.4).  $\square$

**Corolario 5.1.3.** *Para todo  $n \in \mathbb{N}(\Delta)$ :*

$$\max(D_n^* \cap D_n^+) \leq \frac{2n}{3} - 6.$$

*Demostración.* Como  $D_n^* \cap D_n^+ \neq \emptyset$ , existe una terna  $\{x, y, z\} \subseteq D_n$  que satisface (5.2), tal que  $1 < x < y \leq z < \sqrt{n}$  y

$$\frac{n}{x} - x = \max(D_n^* \cap D_n^+) = m.$$

Ya que  $y, z \geq 3$ , se sigue de la Proposición 5.1.2 que  $m \leq 2(\frac{n}{3} - 3)$ .  $\square$

Una curiosa consecuencia de la Proposición 5.1.2 es la exótica caracterización de los cuadrados perfectos que demostramos a continuación.

**Corolario 5.1.4.** *Sea  $D_n^* + D_n^* = \{x + y : x, y \in D_n^*\}$ . Un entero  $n > 1$  es un cuadrado perfecto si y solo si*

$$D_n^* \subset D_n^* + D_n^*.$$

*Demostración.* Si  $n$  es un cuadrado, entonces  $0 \in D_n^*$  y por lo tanto  $x + 0 \in D_n^* + D_n^*$ , para todo  $x \in D_n^*$ . Luego,  $D_n^* \subseteq D_n^* + D_n^*$ . Para ver que esta inclusión siempre es estricta, alcanza con notar que  $n - 1 \in D_n^*$  pero  $2n - 2 = (n - 1) + (n - 1) \in (D_n^* + D_n^*) - D_n^*$ , pues  $n > 1$ .

Para el recíproco, supongamos  $D_n^* \subset D_n^* + D_n^*$ . Esto significa que, en particular,  $n - 1 \in D_n^* \cap (D_n^* + D_n^*)$ . Luego, existen  $y, z \in D_n$  tales que  $y^2, z^2 \leq n$  y

$$\frac{n}{z} - z + \frac{n}{y} - y = n - 1. \quad (5.5)$$

Si fueran  $y, z \geq 2$ , entonces tendríamos, por la Proposición 5.1.2, que

$$\frac{n}{z} - z, \frac{n}{y} - y \leq \frac{n}{2} - 2,$$

con lo cual (5.5) no podría cumplirse. Por lo tanto, deberá ser  $y = 1$  o  $z = 1$ . Si  $y = 1$ , entonces  $n = z^2$ . Si  $z = 1$ , entonces  $n = y^2$ .  $\square$

Vamos a mostrar ahora la conexión que subsiste entre los grafos split y la propiedad  $\Delta$ . El teorema que sigue, cuya demostración es sorprendentemente sencilla, es muy importante porque constituye un puente de ida entre la Teoría de Grafos y la Teoría de Números.

**Teorema 5.1.5.** *Sea  $(S, K, I)$  un grafo split.*

1. Si  $\sigma_{uv} \neq 0$ , entonces  $|\deg_S(u) - \deg_S(v)| \in D_{\sigma_{uv}}^*$ .
2. Si  $S$  es  $n$ -simple y  $\vec{\Phi}(S) = \Delta_0$  (ver la Figura 4.5), entonces  $n \in \mathbb{N}(\Delta)$ .

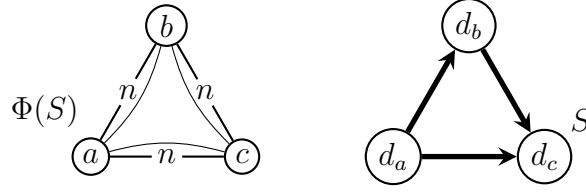


Figura 5.1: Hipótesis del Teorema 5.1.5.

*Demostración.* (1). Dado que  $0 \neq \sigma_{uv} = (d_u - \eta_{uv})(d_v - \eta_{uv})$ , tenemos que  $d_u - \eta_{uv}$  y  $d_v - \eta_{uv}$  son divisores complementarios de  $\sigma_{uv}$ . Por lo tanto,

$$|(d_u - \eta_{uv}) - (d_v - \eta_{uv})| = |d_u - d_v| \in D_{\sigma_{uv}}^*.$$

(2). Por (1), tenemos que  $|d_u - d_v| \in D_n^*$ , para toda arista  $uv \in \Phi$ . Puesto que  $\vec{\Phi} = \Delta_0$ , se sigue que  $d_c > d_a, d_b > d_a$  y  $d_c > d_b$ . Además, los arcos de  $\vec{\Phi}$  nos dicen que el incremento del grado (en  $S$ ) de  $a$  a  $c$  equivale al incremento de  $a$  a  $b$  más el incremento de  $b$  a  $c$ . Luego,

$$d_c - d_a = (d_b - d_a) + (d_c - d_b) \in D_n^* \cap D_n^+,$$

lo cual muestra que  $D_n^* \cap D_n^+ \neq \emptyset$ .  $\square$

El Teorema 5.1.1 tiene una gran cantidad de corolarios que relacionan el conjunto  $D_n^*$  con los grafos split, sobretodo con los que son  $n$ -simples y  $\varepsilon$ -lineales.

**Corolario 5.1.6.** *Sea  $S$  un grafo split tal que  $\Phi(S)$  es un triángulo  $n$ -simple. Si  $n$  no es un cuadrado perfecto, entonces  $n \in \mathbb{N}(\Delta)$ .*

*Demostración.* Por el Corolario 4.4.3,  $\vec{\Phi}$  está forzado a ser de tipo 0. Luego, por el ítem (2) del Teorema 5.1.5, concluimos que  $n \in \mathbb{N}(\Delta)$ .  $\square$

**Corolario 5.1.7.** *Si  $S$  es un grafo split, entonces para cada arista  $uv \in \Phi(S)$  tenemos que*

$$|\deg_S(u) - \deg_S(v)| \leq \sigma_{uv}(S) - 1.$$

*Demostración.* Recordando que  $\max(D_n^*) = n - 1$  para todo  $n \in \mathbb{N}$ , la afirmación se sigue inmediatamente del ítem (1) del Teorema 5.1.5.  $\square$

**Corolario 5.1.8.** *Si  $S$  es un grafo split  $n$ -simple, entonces*

$$\{|\deg_S(u) - \deg_S(v)| : \sigma_{uv}(S) \neq 0\} \subseteq D_n^*. \quad (5.6)$$

*En particular, si  $\Phi(S)$  tiene dos vértices adyacentes con el mismo grado en  $S$ , entonces  $n$  es un cuadrado perfecto.*

*Demostración.* La inclusión (5.6) es una consecuencia directa del ítem (1) del Teorema 5.1.5. Si  $\Phi$  tiene dos vértices adyacentes con el mismo grado en  $S$ , entonces, gracias a (5.6), tenemos que  $0 \in D_n^*$ , lo cual equivale a que  $n$  sea un cuadrado.  $\square$

**Corolario 5.1.9.** *Sea  $(S, K, I)$  un grafo split  $\varepsilon$ -lineal. Entonces, tenemos lo siguiente:*

1.  $\varepsilon \in \bigcap_{uv \in \Phi} D_{\sigma_{uv}}^*$ .
2.  $\varepsilon \leq \min\{\sigma_{uv} > 0 : u, v \in I\} - 1$ .
3. Si  $\sigma_{ab} = p$  y  $\sigma_{cd} = q$  para ciertos  $\{a, b\}, \{c, d\} \subseteq I$  y para ciertos primos  $p$  y  $q$ , entonces  $p = q$  y  $\varepsilon = p - 1$ .
4.  $\sigma_{uv} \neq 1$ , para todo  $\{u, v\} \subseteq I$ . En otras palabras,  $\Phi(S)$  no puede tener aristas simples.
5. Si  $n = \max\{\sigma_{uv} > 0 : u, v \in I\}$  y  $\varepsilon = n - 1$ , entonces  $S$  es  $n$ -simple.

*Demostración.* (1). Se sigue inmediatamente del Teorema 5.1.5, pues  $|d_u - d_v| = \varepsilon$  para toda arista  $uv \in \Phi$ .

(2). Se sigue inmediatamente del Corolario 5.1.7, pues  $|d_u - d_v| = \varepsilon$  para toda arista  $uv \in \Phi$ .

(3). Usando (1), obtenemos que  $\varepsilon \in \bigcap_{uv \in \Phi} D_{\sigma_{uv}}^* \subseteq D_p^* \cap D_q^* = \{p - 1\} \cap \{q - 1\}$ . Luego,  $p - 1 = \varepsilon = q - 1$ .

(4). Si fuera  $\sigma_{ab} = 1$  para algún  $\{a, b\} \subseteq I$ , entonces tendríamos, por el Corolario 5.1.7, que  $\varepsilon \leq \sigma_{ab} - 1 = 0$ , lo cual es absurdo.

(5). Por simplicidad, sea  $\{\sigma_{uv} > 0 : u, v \in I\} = A$ . Usando (2), obtenemos que  $n - 1 = \varepsilon \leq \min A - 1 \leq \max A - 1 = n - 1$ . Luego,  $\min A = \max A = n$ , lo cual significa que  $A = \{n\}$ .  $\square$

Antes de seguir, queremos compartir algunos comentarios sobre el Corolario 5.1.9. Los ítems (1) y (3) pueden interpretarse como fuertes restricciones para la estructura de un grafo split lineal  $S$  y de su grafo asociado  $\Phi(S)$ . El ítem (1) limita, en cierto sentido, el tamaño de  $\{\sigma_{uv} : uv \in \Phi\}$ , es decir, la cantidad de multiplicidades distintas de las aristas de  $\Phi$ . La intuición detrás de esto es que, con demasiadas multiplicidades, se vuelve más probable obtener  $\bigcap_{uv \in \Phi} D_{\sigma_{uv}}^* = \emptyset$ , lo cual prohibiría claramente la existencia de un  $S$  con las propiedades requeridas. El ítem (3) nos dice que las aristas de  $\Phi$  pueden tener a lo sumo una sola multiplicidad prima. Además, alcanza con que una sola arista tenga tal multiplicidad, digamos  $p$ , para que  $\varepsilon$  esté forzado a ser  $p - 1$ .

Si el Teorema 5.1.5 podemos imaginarlo como un puente para ir de los Grafos a los Números, por otro lado el resultado que sigue va en la dirección opuesta, es decir, de la Teoría de Números regresa a la Teoría de Grafos. Por eso, lo consideramos como otro teorema clave de esta sección.

**Teorema 5.1.10.** *Si  $n \in \mathbb{N}(\Delta)$ , sea  $(x, y, z)$  una terna de divisores de  $n$  que satisface (5.2). Entonces existe un grafo split balanceado y  $n$ -simple  $(S, K, I)$  tal que  $\vec{\Phi}(S) = \Delta_0$  (ver la Figura 4.5). Más aún, si  $y \leq z$ , tenemos que  $S$  posee las siguientes propiedades:*

1.  $d_b = d_a + \frac{n}{z} - z, d_c = d_a + \frac{n}{x} - x$ ;
2.  $\eta_{ab} = d_a - z, \eta_{bc} = d_a + \frac{n}{z} - z - y, \eta_{ac} = d_a - x$ ;
3.  $d_a \geq z$ ;
4.  $|K| = \frac{n}{x} + z + y + \eta_{abc}$ , donde  $\eta_{abc} = |N_a \cap N_b \cap N_c| \geq d_a - x - z$ ;
5. si  $S$  es activo, entonces  $d_a \leq x + z$ ;
6. si  $d_a = z$ , entonces  $S$  es activo.

*Demostración.* Vamos a construir un grafo split  $(S, K, I)$  con  $I = \{a, b, c\}$  y  $K = N_a \cup N_b \cup N_c$ . Para que  $S$  tenga las propiedades requeridas, observemos que alcanza con expresar  $d_a, d_b, d_c, \eta_{ab}, \eta_{bc}, \eta_{ac}$  en función de  $n, x, y, z$ . Si  $\{u, v\} \subseteq I$ , entonces  $n = \sigma_{uv} = (d_u - \eta_{uv})(d_v - \eta_{uv})$ . Luego,  $d_u - \eta_{uv}$  y  $d_v - \eta_{uv}$  son divisores complementarios de  $n$ . Ahora, tomamos:

$$d_a - \eta_{ab} = z, \quad d_b - \eta_{ab} = n/z,$$

$$d_b - \eta_{bc} = y, \quad d_c - \eta_{bc} = n/y,$$

$$d_c - \eta_{ac} = x, \quad d_c - \eta_{ac} = n/x.$$

De estas relaciones queda en evidencia que  $S$  es  $n$ -simple. Sucesivamente, elegimos despejar  $d_b, d_c, \eta_{ab}, \eta_{bc}, \eta_{ac}$  en función de  $d_a, n, x, y, z$ . Notamos que  $d_a$  juega el rol de “parámetro libre”. Así, obtenemos las igualdades (1) y (2) del enunciado. En particular, notamos que  $d_a < d_b < d_c$ , lo cual muestra que  $\vec{\Phi} = \Delta_0$ .

La desigualdad (3) es una consecuencia de tres hechos:  $\eta_{uv} \geq 0, z > x, z > z - (\frac{n}{z} - y)$ . Para aclarar la última de estas desigualdades, recordemos que  $y^2, z^2 < n$  (ver el Teorema 5.1.1), con lo cual  $y^2 z^2 < n^2$  y por ende  $y < n/z$ .

Para obtener (4), usamos (1) y (2) en la fórmula (B.1).

Mostremos ahora que  $S$  es balanceado, es decir, que  $S$  no tiene vértices intercambiables. Por construcción, es claro que  $d_w \geq |K|$  para todo  $w \in K$ .

Esto significa que  $N_w \neq K - w$  para todo  $w \in K$ , o sea, ningún vértice clique es intercambiable en  $S$ . Por otro lado, si fuera  $d_v = |K|$  para algún  $v \in I$ , entonces necesariamente  $v = c$  (recordemos que  $d_a < d_b < d_c$ ), y por ende,  $N_c = K = N_a \cup N_b$  y  $\eta_{abc} = \eta_{ab}$ . Consecuentemente, obtenemos que

$$d_a + \frac{n}{x} - x = d_c = |K| = \frac{n}{x} + z + y + \eta_{ab}. \quad (5.7)$$

Dado que  $\eta_{ab} = d_a - z$ , por (2), la igualdad (5.7) se convierte en  $-x = y$ , lo cual es absurdo. Luego,  $d_c < |K|$ , y por lo tanto  $S$  es balanceado.

(5). Si  $S$  es activo, es claro que no posee vértices universales (recordemos que estos últimos siempre son inactivos). Luego,  $\eta_{abc} = 0$ , por la Proposición 2.1.8. Combinando (2) con la fórmula (B.1) y algunas propiedades básicas de conjuntos, deducimos que:

$$\begin{aligned} |N_a \cap (N_b \cup N_c)| &= |(N_a \cap N_b) \cup (N_a \cap N_c)| = \eta_{ab} + \eta_{ac} - \eta_{abc} = \\ &2d_a - x - z - \eta_{abc} \leq |N_a| = d_a, \end{aligned}$$

con lo cual

$$\eta_{abc} \geq d_a - x - z.$$

Si  $d_a > x + z$ , entonces  $\eta_{abc} \geq 1$ , lo cual significa que hay vértices universales en  $K$ . En otras palabras,  $\eta_{abc} = 0$  implica  $d_a \leq x + z$ .

(6). Si  $d_a = z$ , entonces  $\eta_{ab} = 0$ , y por ende  $\eta_{abc} = 0$ . Luego,  $S$  es activo gracias al Lema 4.2.4.  $\square$

Vamos a ver ahora un ejemplo concreto de como aplicar el Teorema 5.1.10. Para esto, tomaremos  $n = 24$ , el cual, como ya sabemos, es el número más chico que satisface la condición  $\Delta$ . Como  $(\frac{24}{3} - 3) + (\frac{24}{3} - 3) = \frac{24}{2} - 2$ , tenemos que  $z = y = 3$  y  $x = 2$ . Por lo tanto, queremos construir un grafo split balanceado  $S$  que tenga las siguientes características:

1.  $d_b = d_a + 5, d_c = d_a + 10$ ;
2.  $\eta_{ab} = d_a - 3, \eta_{bc} = d_a + 2, \eta_{ac} = d_a - 2$ ;
3.  $d_a \geq 3$ ;
4.  $|K| = 18 + \eta_{abc}$ , donde  $\eta_{abc} \geq d_a - 5$ ;
5. si  $S$  es activo, entonces  $d_a \leq 5$ ;
6. si  $d_a = 3$ , entonces  $S$  es activo.

Vemos que todo depende del valor que le asignemos a  $d_a$ , mientras que este sea 3 o más. Por ejemplo, tomando  $d_a = 3$ , obtenemos un grafo split activo  $S$  con  $|K| = 18, d_b = 8, d_c = 13, \eta_{ab} = 0, \eta_{bc} = 5$  y  $\eta_{ac} = 1$ . Los siguientes vecindarios para  $a, b$  y  $c$  son compatibles con los parámetros recién calculados: si  $K = [18]$ , definimos  $N_a = [3], N_b = \{4, \dots, 11\}$  y  $N_c = \{3, \dots, 8, 12, \dots, 18\}$ . Por ende,  $N_a \cap N_b = \emptyset, N_b \cap N_c = \{4, \dots, 8\}$  y  $N_a \cap N_c = \{3\}$ . Dado que  $\Phi(S)$  es un triángulo 24-simple, deberíamos corroborar que  $\sigma_{uv} = (d_u - \eta_{uv})(d_v - \eta_{uv}) = 24$ , para todo  $uv \in \Phi$ . En efecto,  $\sigma_{ab} = (3-0)(8-0) = 24, \sigma_{bc} = (8-5)(13-5) = 24$  y  $\sigma_{ac} = (3-1)(13-1) = 24$ . En la Figura 5.2 mostramos una versión simplificada del grafo split  $S$  que acabamos de construir, ya que omitimos todas las aristas entre los vértices clique (los de color negro).

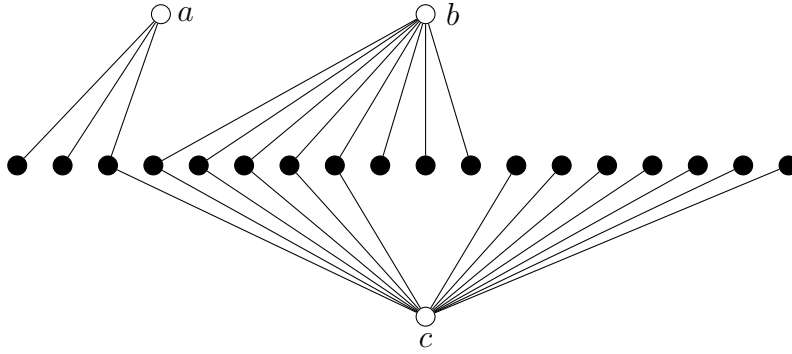


Figura 5.2: Aplicación del Teorema 5.1.10 al caso  $n = 24$ .

Como acabamos de ver, todos los parámetros en el Teorema 5.1.10 que definen a  $S$  dependen de  $d_a$ , el grado del vértice  $a$  en  $S$ . En efecto, según el ítem (3) de dicho teorema, alcanza con fijar arbitrariamente  $d_a$  en un cierto valor  $\geq z$ , obteniendo grafos split balanceados esencialmente diferentes para distintas elecciones de  $d_a$ . Para  $d_a = z$ , el ítem (6) nos asegura que  $S$  es activo. Sin embargo, el ítem (5) limita los grafos activos que podemos construir a una cantidad finita, ya que  $S$  tendrá vértices universales si  $d_a > x+z$ . Destacamos estas observaciones en el siguiente corolario.

**Corolario 5.1.11.** *Para cada  $n \in \mathbb{N}(\Delta)$  tenemos que:*

1. *existe una cantidad infinita de grafos split balanceados y  $n$ -simples  $S$  tales que  $\vec{\Phi}(S) = \Delta_0$ ;*
2. *existe una cantidad finita, pero no nula, de grafos split activos y  $n$ -simples  $S$  tales que  $\vec{\Phi}(S) = \Delta_0$ .*

*Demostración.* Se sigue de la discusión anterior. □

## 5.2. Números $\Delta$ -primitivos

En esta sección observamos que los números de la forma  $\alpha^2 n$ , con  $n \in \mathbb{N}(\Delta)$  y  $\alpha \in \mathbb{N}$ , poseen todos la propiedad  $\Delta$ . Este hecho motiva entonces la búsqueda de aquellos miembros de  $\mathbb{N}(\Delta)$  que no son múltiplos cuadrados no-triviales de ningún otro elemento de  $\mathbb{N}(\Delta)$ . Es así que nace el concepto de número  $\Delta$ -primitivo. Vemos que todo elemento de  $\mathbb{N}(\Delta)$  es un múltiplo cuadrado de algún primitivo y que el conjunto  $\mathbb{N}(\Delta^2)$ , de todos los cuadrados con la propiedad  $\Delta$ , es un semigrupo abeliano con el producto usual. Sucesivamente, exhibimos infinitos ejemplos de cuadrados con la propiedad  $\Delta$  que admiten más de una escritura como  $\alpha^2 m$ , donde  $m$  es  $\Delta$ -primitivo. Por último, construimos un polinomio generador de números con la propiedad  $\Delta$ , por medio del cual probamos que hay infinitos  $\Delta$ -primitivos.

**Proposición 5.2.1.** *Si  $n \in \mathbb{N}(\Delta)$ , entonces  $\alpha^2 n \in \mathbb{N}(\Delta)$ , para todo  $\alpha \in \mathbb{N}$ . En particular, toda potencia impar de  $n$  satisface la condición  $\Delta$ .*

*Demostración.* Basta observar que la condición (5.2) de la Proposición 5.1.1 se puede reescribir como

$$\frac{\alpha^2 n}{\alpha z} - \alpha z + \frac{\alpha^2 n}{\alpha y} - \alpha y = \frac{\alpha^2 n}{\alpha x} - \alpha x.$$

En efecto, como  $1 < x < y \leq z < \sqrt{n}$  implica

$$1 \leq \alpha < \alpha x < \alpha y \leq \alpha z < \alpha \sqrt{n} = \sqrt{\alpha^2 n}$$

y, además,  $\alpha\{x, y, z\} \subseteq D_{\alpha^2 n}$ , concluimos que  $\alpha^2 n \in \mathbb{N}(\Delta)$ . En particular, tomando  $\alpha = n^\beta$ , vemos que  $(n^\beta)^2 n = n^{2\beta+1} \in \mathbb{N}(\Delta)$ , para todo  $\beta \in \mathbb{N}$ .  $\square$

Gracias a la Proposición 5.2.1, vemos que  $|\mathbb{N}(\Delta)| = \infty$ . Otra consecuencia inmediata de esta proposición es que, si  $n \in \mathbb{N}(\Delta)$  y  $n^{2\beta} \in \mathbb{N}(\Delta)$  para algún  $\beta \in \mathbb{N}$ , entonces  $\{n^k : 2\beta \leq k \in \mathbb{N}\} \subset \mathbb{N}(\Delta)$ . Por ejemplo, 84 y  $84^2$  tienen la propiedad  $\Delta$ , de modo que todas las siguientes potencias de 84 también la tienen.

La Proposición 5.2.1 permite obtener trivialmente infinitos elementos de  $\mathbb{N}(\Delta)$  a partir de otros. Este hecho motiva entonces la búsqueda y el estudio de aquellos números con la propiedad  $\Delta$  que no pueden conseguirse de tal manera. Decimos que un número natural  $n$  es  $\Delta$ -**primitivo** si  $n \in \mathbb{N}(\Delta)$  y si no existe ningún par de números  $\alpha, m \geq 2$  tales que  $n = \alpha^2 m$  y  $m \in \mathbb{N}(\Delta)$ . Por ejemplo, 24 y 40 son números  $\Delta$ -primitivos. Por otra parte, 96 no lo es, pues podemos escribirlo como  $2^2 24$ .

Un número natural  $n$  se dice que es **libre de cuadrados** si no existe un número primo  $p$  tal que  $p^2|n$ . En otras palabras, todos los primos que participan en la factorización de  $n$  tienen exponente 1. Claramente, si  $n \in \mathbb{N}(\Delta)$  y  $n$  es libre de cuadrados, entonces  $n$  es  $\Delta$ -primitivo. Ejemplos de números que satisfacen la condición  $\Delta$  y que son libres de cuadrados son 105 y 385. Por ende, 105 y 385 son  $\Delta$ -primitivos. El 105 es también el impar más pequeño en tener la propiedad  $\Delta$ .

**Proposición 5.2.2.** *Todo  $n \in \mathbb{N}(\Delta)$  es, o bien  $\Delta$ -primitivo, o bien puede escribirse como  $\alpha^2 m$ , para cierto  $\alpha \geq 2$  y algún  $m$   $\Delta$ -primitivo.*

*Demostración.* Si  $n \in \mathbb{N}(\Delta)$  pero no es primitivo, entonces  $n = \alpha_1^2 m_1$ , para cierto  $\alpha_1 \geq 2$  y algún  $m_1 \in \mathbb{N}(\Delta)$ . Si  $m_1$  es primitivo, terminamos. De lo contrario,  $m_1 = \alpha_2^2 m_2$ , para cierto  $\alpha_2 \geq 2$  y algún  $m_2 \in \mathbb{N}(\Delta)$ . Si  $m_2$  es primitivo, terminamos. De lo contrario,  $m_2 = \alpha_3^2 m_3, \dots$  y así sucesivamente. Continuando de esta manera se genera la sucesión  $\{m_1, m_2, m_3, \dots\} \subseteq \mathbb{N}(\Delta)$ , la cual es estrictamente decreciente. Luego, este proceso no puede seguir indefinidamente y por ende deberá existir un  $k \in \mathbb{N}$  tal que  $m_k$  es  $\Delta$ -primitivo, de modo que  $n = (\alpha_1 \cdots \alpha_k)^2 m_k$ .  $\square$

Una interesante consecuencia de la Proposición 5.2.1 es que el conjunto  $\mathbb{N}(\Delta^2)$  de todos los cuadrados que satisfacen la condición  $\Delta$ , es cerrado bajo el producto.

**Corolario 5.2.3.** *Si  $m^2, n^2 \in \mathbb{N}(\Delta)$ , entonces  $m^2 n^2 \in \mathbb{N}(\Delta)$ . En otras palabras, el conjunto  $\mathbb{N}(\Delta^2)$ , junto con el producto usual, es un semigrupo abeliano.*

*Demostración.* Se sigue inmediatamente de la Proposición 5.2.1.  $\square$

Con la ayuda de la computadora, puede comprobarse que  $30^2$  es el primer elemento de  $\mathbb{N}(\Delta^2)$ . Luego,  $|\mathbb{N}(\Delta^2)| = \infty$ , por la Proposición 5.2.1. Sin embargo, quedan abiertas las siguientes cuestiones: ¿hay infinitos números  $\Delta$ -primitivos? ¿Hay infinitos cuadrados  $\Delta$ -primitivos? ¿La descomposición en la Proposición 5.2.2 es única?

Respecto de esta última pregunta, observamos que, dados dos cuadrados  $\Delta$ -primitivos distintos, es bastante fácil construir un  $n$  cuya descomposición de la Proposición 5.2.2 no es única. Veamos como hacerlo a través de un ejemplo.

Ya sabemos que  $30^2$  es  $\Delta$ -primitivo. Con la ayuda de la computadora, se puede determinar que  $84^2$  es el cuadrado  $\Delta$ -primitivo más chico después de  $30^2$ . Por la Proposición 5.2.1, sabemos también que  $30^2 a^2, 84^2 b^2 \in \mathbb{N}(\Delta)$ ,

para todo  $a, b \in \mathbb{N}$ . Por ende, si encontramos un par  $(a, b) \in \mathbb{N}^2$  que satisface la ecuación

$$30^2 a^2 = 84^2 b^2, \quad (5.8)$$

entonces  $n = 30^2 a^2$  es el número que estamos buscando. Obviamente, (5.8) tiene las mismas soluciones que

$$5a = 14b, \quad (5.9)$$

en  $\mathbb{N}^2$ . Como 5 y 14 son coprimos, se deduce de (5.9) que  $a = 14a_1$  y  $b = 5b_1$ , para ciertos  $a_1, b_1 \in \mathbb{N}$ . Reemplazando esto en (5.9) obtenemos que  $a_1 = b_1$ . Luego, las soluciones  $(a, b)$  de (5.8) son de la forma  $k(14, 5)$ , para  $k \in \mathbb{N}$ . Finalmente, encontramos que  $n = 420^2 k^2$ . Este procedimiento lo generalizamos en la siguiente proposición.

**Proposición 5.2.4.** *Si  $m$  y  $l$  son cuadrados perfectos, entonces existen  $a, b \in \mathbb{N}$  tales que  $a^2 m = b^2 l$ . En particular, si  $m$  y  $l$  son  $\Delta$ -primitivos, entonces  $n = a^2 m$  es un cuadrado con la propiedad  $\Delta$  que admite más de una escritura como producto de un cuadrado por un  $\Delta$ -primitivo.*

*Demostración.* Para probar lo requerido, es necesario encontrar las soluciones enteras de la ecuación  $a^2 m = b^2 l$  en las incógnitas  $a$  y  $b$ . Claramente, en  $\mathbb{N}^2$ , esto es equivalente a resolver

$$am_1 = bl_1, \quad (5.10)$$

donde  $m_1 = m / \gcd(\sqrt{m}, \sqrt{l})$  y  $l_1 = l / \gcd(\sqrt{m}, \sqrt{l})$ .

Como  $\gcd(m_1, l_1) = 1$ , se sigue que  $m_1 | b$  y  $l_1 | a$ . Luego,  $b = m_1 b_1$  y  $a = l_1 a_1$ , para ciertos  $a_1, b_1 \in \mathbb{N}$ . Sustituyendo esto en (5.10), obtenemos que  $a_1 = b_1$ . Por ende, el conjunto solución de (5.10) es

$$\{(a, b) \in \mathbb{N}^2 : a = l_1 k, b = m_1 k, k \in \mathbb{N}\}.$$

□

**Proposición 5.2.5.** *Si  $x$  es un número natural  $\geq 2$ , entonces*

$$n = x(2x - 1)(3x - 2) \in \mathbb{N}(\Delta).$$

*Demostración.* Para probar que  $n \in \mathbb{N}(\Delta)$ , consideremos el número  $y = 2x - 1$ . Observemos que  $x, y \in D_n$ ,  $1 = 2x - y$  y  $3x - 2 = 2y - x$ . Sustituyendo todo esto en la igualdad  $1 \cdot n = x(2x - 1)(3x - 2)$ , obtenemos que

$$(2x - y)n = xy(2y - x).$$

Pero esto es exactamente la condición (5.3) de la Proposición 5.1.1 para  $z = y$ . Vemos que se cumple que  $2 \leq x < y \leq z$ , en acorde con la Proposición 5.1.1. Según la Proposición 5.1.1, solo faltaría verificar que  $z < \sqrt{n}$ , es decir, que  $(2x - 1)^2 < n$ . Esto equivale a resolver la desigualdad  $3x^2 - 4x + 1 > 0$ , la cual es cierta si  $x \geq 2$ . Por lo tanto,  $n \in \mathbb{N}(\Delta)$ .  $\square$

**Proposición 5.2.6.** *Hay infinitos números  $\Delta$ -primitivos.*

*Demostración.* Vamos a demostrar que hay infinitos  $\Delta$ -primitivos de la forma  $f(x) = x(2x - 1)(3x - 2)$ , donde  $x$  es un entero  $\geq 2$  (ver la Proposición 5.2.5).

Supongamos que  $P = \{f(x_i) : i \in [k]\}$  es el conjunto de todos los  $\Delta$ -primitivos de esta forma, donde  $x_1 < x_2 < \dots < x_k$ . Luego,  $f(x_1) < f(x_2) < \dots < f(x_k)$ , pues  $f$  es creciente en  $[2, \infty)$ . Consideremos ahora un número primo (impar)  $p > f(x_k)$ . Como  $f(p) > f(x_k)$ , el número  $f(p)$  no puede ser  $\Delta$ -primitivo, es decir,

$$f(p) = \alpha^2 f(x_j), \quad (5.11)$$

para algún  $\alpha \geq 2$  y para algún  $j \in [k]$ . Por simplicidad, llamemos  $x_j = n$ . Luego, la igualdad (5.11) se convierte en

$$p(2p - 1)(3p - 2) = \alpha^2 n(2n - 1)(3n - 2). \quad (5.12)$$

Como podemos ver,  $p \mid \alpha^2 f(n)$ , pero  $p$  claramente no puede dividir ni  $n$ , ni  $2n - 1$ , ni  $3n - 2$ . Consecuentemente,  $p \mid \alpha$ , lo cual nos permite poder escribir  $\alpha = p\beta$ , para algún  $\beta \in \mathbb{N}$ . Pero remplazando esto en (5.12) y simplificando, obtenemos que

$$(2p - 1)(3p - 2) = p\beta^2 f(n), \quad (5.13)$$

lo cual es absurdo pues el lado derecho de (5.13) es divisible por  $p$ , mientras que el izquierdo no lo es.  $\square$

**Conjetura 5.2.7.** *Hay infinitos cuadrados  $\Delta$ -primitivos.*

### 5.3. Polinomios generadores

En esta sección vamos a retomar y ampliar una idea que surgió en las Proposición 5.2.5, desarrollando un método para crear polinomios generadores de números con la propiedad  $\Delta$ .

Si  $x$  es un números natural  $> 1$ , consideremos

$$n = n(x) = x(x + 2)(2x + 1). \quad (5.14)$$

Observemos ahora que

$$x(2x + 1) - (x + 2) = 2(x(x + 2) - (2x + 1)),$$

lo cual es equivalente a

$$\frac{n}{x + 2} - (x + 2) = 2\left(\frac{n}{2x + 1} - (2x + 1)\right). \quad (5.15)$$

Puesto que, para todo  $x > 1$ , tenemos que  $x + 2, 2x + 1 \in D_n$  y

$$1 < x + 2 < 2x + 1 < \sqrt{n},$$

deducimos de (5.15) que  $n \in \mathbb{N}(\Delta)$ , para todo  $x > 1$ , ya que se cumplen todos los requerimientos de la Proposición 5.1.1. Estos simples cálculos, junto a lo que hemos visto en la Proposición 5.2.5, sugieren la posibilidad de encontrar un método más general para construir polinomios generadores de números con la propiedad  $\Delta$ .

La idea es considerar polinomios de la forma

$$n(x) = \prod_{i=1}^k (a_i x + b_i),$$

con  $a_i, b_i \in \mathbb{Z}$ , de modo que cada factor lineal  $a_i x + b_i$  de  $n$  sea un elemento de  $D_n$ . Claramente, será  $k \geq 2$ , ya que necesitamos que  $n$  tenga siempre por lo menos dos factores no-triviales a partir de un cierto  $x$  en adelante. Si  $k = 2$ , entonces supongamos que  $n = (a_1 x + b_1)(a_2 x + b_2)$  cumpla la propiedad  $\Delta$  mediante sus divisores  $a_1 x + b_1$  y  $a_2 x + b_2$ . Sin pérdida de generalidad, vemos que esto solo puede suceder de la siguiente manera:

$$\frac{n}{a_1 x + b_1} - (a_2 x + b_2) = 2\left(\frac{n}{a_2 x + b_2} - (a_1 x + b_1)\right). \quad (5.16)$$

Simplificando la expresión (5.16) obtenemos que

$$(a_2 - a_1)x + (b_2 - b_1) = 0. \quad (5.17)$$

La clave del método que queremos mostrar es esta: si el miembro izquierdo de (5.17) es el polinomio idénticamente nulo, entonces (5.16) se cumple. Por ende, hacemos  $a_2 - a_1 = 0 = b_2 - b_1$ , es decir,  $a_2 = a_1$  y  $b_2 = b_1$ . Sin embargo, como ahora  $n = (a_1 x + b_1)^2$ , tenemos que  $a_1 x + b_1 = \sqrt{n}$ , lo cual no es aceptable, por la Proposición 5.1.1. Luego, tendrá que ser  $k \geq 3$ . Ahora, definimos el siguiente polinomio:

$$f(x) = \frac{n}{a_1 x + b_1} - (a_1 x + b_1) - 2\left(\frac{n}{a_2 x + b_2} - (a_2 x + b_2)\right). \quad (5.18)$$

Sea  $k = 3$ . Observemos que las condiciones  $0 < a_1 < a_2$  y  $a_3 > 0$  son suficientes para garantizar que existe un  $n_0 \in \mathbb{N}$  tal que las desigualdades

$$1 < a_1x + b_1 < a_2x + b_2 < \sqrt{n(x)}$$

se cumplen simultáneamente para  $x \in [n_0, \infty)$ . Más aún, al ser los  $a_i$  todos  $> 0$ , aseguramos también que  $\deg(n) = 3$  y que  $n$  sea una función eventualmente creciente. Mediante manipulaciones básicas, reescribimos (5.18) como  $f(x) = c_2x^2 + c_1x + c_0$ , donde

$$\begin{aligned} c_2 &= a_2a_3 - 2a_1a_3, \\ c_1 &= a_2b_3 + a_3b_2 - a_1 - 2a_1b_3 - 2a_3b_1 + 2a_2, \\ c_0 &= b_2b_3 - b_1 - 2b_1b_3 + 2b_2. \end{aligned}$$

Dado que  $f = 0$  implica  $n \in \mathbb{N}(\Delta)$ , para todo  $x \geq n_0$ , tenemos que encontrar las soluciones enteras del sistema  $c_2 = c_1 = c_0 = 0$ , en las 6 incógnitas  $a_i, b_i$ . De la ecuación  $c_2 = 0$  deducimos que

$$a_2 = 2a_1, \tag{5.19}$$

lo cual es compatible con haber supuesto  $a_1 < a_2$ . Sustituyendo (5.19) en  $c_1 = 0$  y  $c_0 = 0$ , obtenemos respectivamente que  $(2b_1 - b_2)a_3 = 3a_1$  y  $(2b_1 - b_2)b_3 = 2b_2 - b_1$ . Como  $a_1, a_3 \neq 0$ , se sigue que  $2b_1 - b_2 \neq 0$ , lo cual nos permite despejar sin imponer condiciones adicionales:

$$a_3 = \frac{3a_1}{2b_1 - b_2}, \quad b_3 = \frac{2b_2 - b_1}{2b_1 - b_2}.$$

Notamos que  $a_1, a_3 > 0$  implica  $2b_1 > b_2$ ; en particular,  $(b_1, b_2) \neq (0, 0)$  y  $b_3 \geq 0$  si y solo si  $2b_2 \geq b_1$ . Vemos que  $a_1, b_1$  y  $b_2$  terminan siendo parámetros libres. Finalmente, para que  $a_3, b_3 \in \mathbb{Z}$ , es suficiente que  $2b_1 - b_2$  divida al  $\gcd(3a_1, 2b_2 - b_1)$ . Resumimos todo este análisis en la siguiente proposición.

**Proposición 5.3.1.** Sean  $a, b, c \in \mathbb{Z}$  y sean

$$\alpha = \frac{3a}{2b - c}, \quad \beta = \frac{2c - b}{2b - c},$$

donde  $a, \alpha > 0$ . Consideremos el polinomio  $n(x) = (ax + b)(2ax + c)(\alpha x + \beta)$  y definamos  $n_0$  como el menor número natural tal que las desigualdades

$$1 < ax + b < 2ax + c < \sqrt{n(x)}$$

se cumplen simultáneamente para  $x \in [n_0, \infty)$ . Si  $x \in \mathbb{N}$  y

$$(2b - c) \mid \gcd(3a, 2c - b),$$

entonces  $n(x) \in \mathbb{N}(\Delta)$ , para todo  $x \geq n_0$ .

*Demostración.* Se sigue de la discusión anterior.  $\square$

Veamos algunos ejemplos de como usar la Proposición 5.3.1 para construir polinomios generadores de números con la propiedad  $\Delta$ .

Si  $\gcd(3a, 2c - b)$  es un primo  $p$ , entonces  $2b - c \in \{1, p\}$ . Si  $2b - c = 1$ , entonces  $c = 2b - 1$ ,  $\alpha = 3a$  y  $\beta = 3b - 2$ , con lo cual

$$n(x) = (ax + b)(2ax + 2b - 1)(3ax + 3b - 2),$$

para  $a \in \mathbb{N}$  y  $b \in \mathbb{Z}$ . Por ejemplo, si  $(a, b) = (3, 4)$ , entonces

$$(3x + 4)(6x + 7)(9x + 10) \in \mathbb{N}(\Delta),$$

para todo  $x \in \mathbb{N}$ . Si en cambio  $(a, b) = (1, 0)$ , recuperamos el polinomio  $x(2x - 1)(3x - 2)$  de la Proposición 5.2.5.

Si  $2b - c = p$ , entonces  $c = 2b - p$ ,  $\alpha = \frac{3a}{p}$  y  $\beta = \frac{3b}{p} - 2$ . Luego: o bien  $p = 3$ , o bien  $3 \neq p \mid \gcd(a, b)$ . Si  $p = 3$ , entonces  $c = 2b - 3$ ,  $\alpha = a$  y  $\beta = b - 2$ , con lo cual

$$n(x) = (ax + b)(2ax + 2b - 3)(ax + b - 2).$$

Por ejemplo, si  $(a, b) = (1, -1)$ , entonces

$$(x - 1)(2x - 5)(x - 3) \in \mathbb{N}(\Delta),$$

para todo  $x \geq 5$ ,  $x \in \mathbb{N}$ . Si en cambio  $(a, b) = (1, 2)$ , recuperamos el polinomio (5.14). Si  $p \neq 3$  y  $(a, b) = (2, -4)$ , entonces  $p = 2$ ,  $c = -10$ ,  $\alpha = 3$  y  $\beta = -8$ . Por ende,

$$4(x - 2)(2x - 5)(3x - 8) \in \mathbb{N}(\Delta),$$

para todo  $x \geq 4$ ,  $x \in \mathbb{N}$ .

## 5.4. Números sin la propiedad $\Delta$

En esta última sección del Capítulo 5, encontramos una larga lista de familias de números que no cumplen la condición  $\Delta$ . Esta clase de números es infinita, y esto lo vemos ya desde el primer resultado de la sección. De hecho, el mismo afirma que ningún entero par no divisible por 4 posee la propiedad  $\Delta$ . Un descubrimiento clave es que  $pk \notin \mathbb{N}(\Delta)$  cuando  $p$  es un primo “grande” comparado con  $k$ . En términos rigurosos:  $p \geq 2k - 1$ . Un fenómeno similar lo encontramos en los números  $n$  de la forma  $p^x q^y$  ( $p, q$  primos): si  $q > p^x$ , entonces  $n \notin \mathbb{N}(\Delta)$ .

Otra tendencia que se observa es que aquellos números con muy pocos factores primos en su factorización, son menos propensos a cumplir la condición

$\Delta$ . Por ejemplo, potencias de un primo o productos de ciertas potencias de dos primos, como  $pq, pq^2, p^2q^2$  y  $p^kq$ . Conjeturamos que si  $n$  es un  $\Delta$ -primitivo de la forma  $p^xq^y$  ( $p, q$  primos), entonces  $n \in \{24, 40\}$ , y caracterizamos cuando un producto de 3 primos  $pqr \in \mathbb{N}(\Delta)$ . En esta parte de la sección notamos que es determinante tener información sobre el ordenamiento de los elementos de  $D_n$ , para probar que  $n \notin \mathbb{N}(\Delta)$ .

Al cabo de todo este análisis, volvemos a los grafos split, estableciendo un resultado sobre los ciclos inducidos  $n$ -simples de  $\Phi$ , cuando  $n$  no cumple la condición  $\Delta$  y no es un cuadrado.

**Proposición 5.4.1.** *Si  $k$  es impar, entonces  $2k \notin \mathbb{N}(\Delta)$ .*

*Demostración.* Si  $2k = ab$ , entonces  $a$  y  $b$  no pueden tener la misma paridad, ya que de lo contrario  $2k$  sería impar o un múltiplo de 4. En consecuencia, cada elemento de  $D_{2k}^*$  es impar, lo que hace que cada miembro de  $D_{2k}^+$  sea par. Luego,  $D_{2k}^* \cap D_{2k}^+ = \emptyset$ .  $\square$

La Proposición 5.4.1 tiene dos consecuencias directas que queremos destacar. La primera es que  $|\mathbb{N} - \mathbb{N}(\Delta)| = \infty$ . La segunda es que  $\mathbb{N}(\Delta)$  no contiene ningún número par que sea libre de cuadrados. En otras palabras, todo número par perteneciente a  $\mathbb{N}(\Delta)$  es un múltiplo de 4.

El próximo resultado es de notable importancia porque nos dice que un número no puede satisfacer la condición  $\Delta$  si es divisible por un primo “suficientemente grande”.

**Proposición 5.4.2.** *Si  $k \in \mathbb{N}$  y  $p$  es un primo  $\geq 2k - 1$ , entonces  $pk \notin \mathbb{N}(\Delta)$ .*

*Demostración.* Supongamos que  $k \in \mathbb{N}$ ,  $p$  es un primo  $\geq 2k - 1$ , pero  $pk \in \mathbb{N}(\Delta)$ . Luego, por la Proposición 5.1.1, existe una terna  $T = \{x, y, z\} \subseteq D_{pk} = D_k \cup pD_k$  tal que  $2 \leq x < y \leq z < \sqrt{pk}$  y

$$\frac{pk}{x} - x = \frac{pk}{y} - y + \frac{pk}{z} - z. \quad (5.20)$$

Como  $k \leq 2k - 1 \leq p$ , tenemos que  $\sqrt{pk} \leq \sqrt{p^2} = p$ . Por ende,  $x, y, z < p$ , lo cual muestra que  $T \subseteq D_k$ . Reescribimos entonces (5.20) de la siguiente manera:

$$p\left(\frac{k}{z} + \frac{k}{y} - \frac{k}{x}\right) = z + y - x \quad (5.21)$$

Dado que el miembro izquierdo de (5.21) es un producto de dos enteros, se sigue que  $p|(z + y - x)$ . Por lo tanto,

$$2k - 1 \leq p \leq z + (y - x) \leq k + (k - 2) < 2k - 1,$$

que es absurdo. Luego,  $pk \notin \mathbb{N}(\Delta)$ .  $\square$

La Proposición 5.4.2 es, literalmente, una “máquina” generatriz de números sin la propiedad  $\Delta$ , ya que, para cada  $k \in \mathbb{N}$ , tenemos infinitas opciones para  $p$ . Es interesante notar lo que nos dice el contrarrecíproco de esta proposición: si  $pk \in \mathbb{N}(\Delta)$ , entonces  $p < 2(k - 1)$ . En otras palabras, solo hay una cantidad finita de múltiplos primos de un número, que satisfacen la propiedad  $\Delta$ . Otra observación importante es que la Proposición 5.4.2 da implícitamente una receta para construir, para cada primo  $k_1$ , una secuencia infinita  $\ell(k_1) = (k_i)_{i \in \mathbb{N}}$  de números libres de cuadrados que no tienen la propiedad  $\Delta$ . Veamos como hacer esto con un ejemplo. Queremos determinar los primeros términos de  $\ell(2)$ . Puesto que  $k_1 = 2$ , sea  $p_1 = 3 \geq 2k_1 - 1$ . Luego,  $k_2 = p_1 k_1 = 6$ . Si  $p_2 = 11 \geq 2k_2 - 1$ , entonces  $k_3 = p_2 k_2 = 66$ . Si  $p_3 = 131 \geq 2k_3 - 1$ , entonces  $k_4 = p_3 k_3 = 8646$ . Y así sucesivamente. En general,  $k_{i+1} = p_i k_i$ , donde  $p_i$  es un primo  $\geq 2k_i - 1$ .

El resultado que demostramos a continuación se asemeja mucho en estilo a la Proposición 5.4.2. Se establece que un número no puede tener la propiedad  $\Delta$ , si en su factorización aparecen exactamente dos primos y uno de los dos es “mucho más grande” que el otro.

**Proposición 5.4.3.** Sean  $x, y \in \mathbb{N}$ , con  $y \geq 2$ , y sean  $p, q$  primos distintos. Si  $n = p^x q^y$  y  $q > p^x$ , entonces  $n \notin \mathbb{N}(\Delta)$ .

*Demostración.* Procederemos por reducción al absurdo, suponiendo primero que  $n$  sea  $\Delta$ -primitivo. Luego, existen enteros no-negativos  $a, c, e \leq x$  y  $b, d, f \leq y$  tales que

$$\frac{n}{p^a q^b} - p^a q^b = \frac{n}{p^c q^d} - p^c q^d + \frac{n}{p^e q^f} - p^e q^f, \quad (5.22)$$

donde

$$1 < p^a q^b < p^c q^d \leq p^e q^f \leq \max\{\alpha \in D_n : \alpha < \sqrt{n}\} = p^z q^{\lfloor y/2 \rfloor},$$

para algún  $z \leq x$ . Observemos que  $f \leq \lfloor y/2 \rfloor$ . En efecto, si fuera  $f > \lfloor y/2 \rfloor$ , tendríamos que  $p^e q^{f - \lfloor y/2 \rfloor} \leq p^z < q$ , lo cual es absurdo. Usando el mismo argumento, podemos ver que también  $b \leq d \leq f$ . Más aún, como  $\lfloor y/2 \rfloor \leq y/2 < y$ , se sigue que  $y - b, y - d$  e  $y - f$  son todos positivos. Ahora, reescribamos la igualdad (5.22) como

$$p^{x-a} q^{y-b} - p^a q^b = p^{x-c} q^{y-d} - p^c q^d + p^{x-e} q^{y-f} - p^e q^f. \quad (5.23)$$

Si  $b, d, f > 0$ , entonces podemos dividir por  $q$  en ambos lados de (5.23), obteniendo que  $m = p^x q^{y-2} \in \mathbb{N}(\Delta)$  (recordemos que  $y-2 \geq 0$  por hipótesis). Como  $n = q^2 m$  es  $\Delta$ -primitivo, se sigue que  $q = 1$ , una contradicción. Por ende,  $0 \in \{b, d, f\}$ .

Si  $f = 0$ , entonces  $b = d = 0$  y (5.23) se convierte en

$$q^y(p^{x-a} - p^{x-c} - p^{x-e}) = p^a - p^c - p^e.$$

Luego,  $q^y$  divide  $|p^a - p^c - p^e|$ . Como  $p^a q^0 < p^c q^0$ , se sigue que  $|p^a - p^c - p^e| = (p^c - p^a) + p^e \leq p^c + p^e \leq 2q$ . Pero entonces  $q^y \leq 2q$ , lo cual es absurdo. En consecuencia, debe ser  $f > 0$ .

Si  $d = 0$ , entonces también  $b = 0$ . Como  $p^a q^0 < p^c q^0$ , se sigue que  $a < c$  y, por ende, que  $x - c < x - a$ , con lo cual  $p^{x-c} < p^{x-a}$ . Con estas observaciones en mente, reescribimos adecuadamente (5.23), obteniendo la siguiente contradicción:

$$0 < q^{y-f}[q^f(p^{x-a} - p^{x-c}) - p^{x-e}] = -p^e q^f - (p^c - p^a) < 0.$$

Por lo tanto,  $d > 0$ .

Como  $0 \in \{b, d, f\}$  pero  $d, f > 0$ , necesariamente  $b = 0$ . Pero entonces, tomando congruencias módulo  $q$  en (5.23), se llega a que  $p^a \equiv 0 \pmod{q}$ , lo cual es imposible, ya que  $p$  y  $q$  son primos distintos. Podemos concluir entonces que  $n$  no puede ser  $\Delta$ -primitivo.

Si  $n \in \mathbb{N}(\Delta)$  pero no es  $\Delta$ -primitivo, entonces podemos escribir  $n = \alpha^2 m$  para algún  $\alpha \geq 2$  y cierto  $m$   $\Delta$ -primitivo. Observemos que  $m = p^{x'} q^{y'}$ , donde  $x' \leq x, y' \leq y$  pero  $(x', y') \neq (x, y)$ . Dado que  $q > p^{x'}$  y  $m$  es  $\Delta$ -primitivo, se sigue por lo mostrado anteriormente que  $m \notin \mathbb{N}(\Delta)$ , lo cual es absurdo.  $\square$

**Corolario 5.4.4.** Sean  $x, y \in \mathbb{N}$ , con  $y \geq 2$ , y sean  $p, q$  primos distintos. Para cada par  $(p, x)$ , hay solamente una cantidad finita de primos  $q$  tales que  $p^x q^y \in \mathbb{N}(\Delta)$ .

*Demostración.* Si  $p^x q^y \in \mathbb{N}(\Delta)$ , entonces  $q < p^x$ , por la Proposición 5.4.3. Luego, al fijar  $p$  y  $x$ , nos quedan solo finitas opciones para  $q$ .  $\square$

Como ejemplo de aplicación del Corolario 5.4.4, consideremos un número  $n$  de la forma  $9q^y$ , con  $y \geq 2$ . Si  $n \in \mathbb{N}(\Delta)$ , entonces tiene que ser  $q < 9$ , es decir,  $q \in \{2, 5, 7\}$ .

Vamos a probar ahora que ninguna potencia de un primo tiene la propiedad  $\Delta$ . Un paso previo a esto es verificar que tal afirmación es cierta para las potencias de orden 1 y 2.

**Lema 5.4.5.** Si  $k \in \{1, 2\}$  y  $p$  es primo, entonces  $p^k \notin \mathbb{N}(\Delta)$ .

*Demostración.* Si  $k = 1$ , entonces  $D_p^* = \{p - 1\}$  y  $D_p^+ = \{2(p - 1)\}$  son claramente disjuntos. Para  $k = 2$ , sea  $n = p^2$ . Luego,  $D_n^* = \{n - 1, 0\}$  y  $D_n^+ = \{2(n - 1)\}$ . Por ende, es de nuevo evidente que  $D_n^* \cap D_n^+ = \emptyset$ .  $\square$

Como mera curiosidad, notemos que puede probarse que ningún primo satisface la condición  $\Delta$ , simplemente tomando  $k = 1$  en la Proposición 5.4.2.

**Proposición 5.4.6.** *Si  $p$  es primo y  $k \in \mathbb{N}$ , entonces  $p^k \notin \mathbb{N}(\Delta)$ .*

*Demostración.* Ante todo, observemos que, si  $n = p^k$ , entonces:

$$D_n^* - 0 = \{p^{k-i} - p^i : 0 \leq 2i < k\}.$$

Gracias al Lema 5.4.5, sabemos que la afirmación es cierta para  $k = 1, 2$ . Por ende, podemos asumir  $k \geq 3$ .

Procederemos por reducción al absurdo. Supongamos que  $n$  sea  $\Delta$ -primitivo. Por el Teorema 5.1.1 (condición 5.2), tenemos que

$$p^{k-z} - p^z + p^{k-y} - p^y = p^{k-x} - p^x, \quad (5.24)$$

para ciertos enteros no negativos  $x, y, z$  tales que  $2x, 2y, 2z < k$ . Notemos que entonces  $k - x, k - y, k - z > 0$ . Si  $0 \in \{x, y, z\}$ ,  $n - 1$  participaría de la igualdad (5.24), contradiciendo el Corolario 5.1.3. Luego,  $x, y, z > 0$  y podemos dividir ambos lados de (5.24) por  $p$ . Pero entonces  $n = p^2m$ , donde  $2 \leq m = p^{k-2} \in \mathbb{N}(\Delta)$  (recordemos que  $k \geq 3$ ), contradiciendo la primitividad de  $n$ . Por lo tanto, concluimos que  $n$  no puede ser  $\Delta$ -primitivo.

Si  $n \in \mathbb{N}(\Delta)$  pero no es  $\Delta$ -primitivo ( $k \geq 3$ ), entonces  $n = \alpha^2m$ , donde  $\alpha \geq 2$  y  $m$  es  $\Delta$ -primitivo. Pero  $m = p^h \in \mathbb{N}(\Delta)$ , para algún  $h \in [k - 2]$ , lo cual contradice lo probado en el caso anterior o en el Lema 5.4.5.  $\square$

A lo largo de los próximos 3 lemas logramos demostrar que, para todo par de primos  $p, q$ , ningún número de la forma  $p^2q^2, pq^2$  o  $pq$ , satisface la condición  $\Delta$ .

**Lema 5.4.7.** *Si  $p$  y  $q$  son primos, entonces  $p^2q^2 \notin \mathbb{N}(\Delta)$ .*

*Demostración.* Si  $p = q$ , usamos la Proposición 5.4.6. Si  $p \neq q$ , podemos suponer sin pérdida de generalidad que  $q < p$  (en particular entonces,  $p$  es impar). Si  $q > p^2$  o  $p > q^2$ , el resultado se sigue inmediatamente de la Proposición 5.4.3. Queda entonces para analizar el caso complementario, es decir, cuando  $q < p^2$  y  $p < q^2$ . Así,  $q < p < q^2 < p^2$ . Bajo estas restricciones, tenemos que

$$D_n = \{1, q, p, q^2, pq, p^2, pq^2, p^2q, n\},$$

$$D_n^* = \{n - 1, p^2q - q, pq^2 - p, p^2 - q^2, 0\},$$

donde los elementos de  $D_n$  están listados de manera creciente y los de  $D_n^*$  de manera decreciente. Explícitamente,  $D_n^+ =$

$$\{p^2q - q + pq^2 - p, p^2q - q + p^2 - q^2, pq^2 - p + p^2 - q^2\} \cup$$

$$\cup(D_n^* + n - 1) \cup 2D_n^*.$$

Para toda terna de elementos  $a, b, c \in D_n^* - 0$ , hay que probar que  $a + b \neq c$ . Claramente,  $a + b \neq a$ . Gracias a esta observación y al Corolario 5.1.3, podemos descartar inmediatamente muchos casos, dejando solo los siguientes:

1.  $p^2q - q + pq^2 - p = p^2 - q^2$ ,
2.  $p^2q - q + p^2 - q^2 = pq^2 - p$ ,
3.  $pq^2 - p + p^2 - q^2 = p^2q - q$ ,
4.  $2(p^2q - q) \in \{pq^2 - p, p^2 - q^2\}$ ,
5.  $2(pq^2 - p) \in \{p^2q - q, p^2 - q^2\}$ ,
6.  $2(p^2 - q^2) \in \{p^2q - q, pq^2 - p\}$ .

Las igualdades (1), (2), (4) y la igualdad  $2(pq^2 - p) = p^2 - q^2$  en (5) son evidentemente imposibles gracias al hecho que pudimos explicitar el ordenamiento completo de los elementos en  $D_n^*$ .

Con manipulaciones básicas podemos reescribir (3) como  $p = q(p+1) - q^2$ . Pero esto significa que  $q|p$ , lo cual es absurdo.

La igualdad  $2(pq^2 - p) = p^2q - q$  del caso (5) implica que  $2p \equiv 0 \pmod{q}$ , con lo cual  $q$  esta forzado a ser 2. Luego, obtenemos que  $p^2 = 3p + 1$ , pero esto no es posible ya que  $p$  es impar.

Solo queda analizar el caso (6). Si  $2(p^2 - q^2) = p^2q - q$ , se sigue que  $2p^2 \equiv 0 \pmod{q}$  y por ende  $q = 2$ . Pero entonces  $p^2 - 4 = p^2 - 1$ , que es absurdo. Si  $2(p^2 - q^2) = pq^2 - p$ , se deduce que  $2q^2 \equiv 0 \pmod{p}$ . Pero entonces tiene que ser  $p = 2$ , lo cual contradice la hipótesis de que  $p$  es impar.  $\square$

**Lema 5.4.8.** *Si  $p$  y  $q$  son primos, entonces  $pq^2 \notin \mathbb{N}(\Delta)$ .*

*Demostración.* Sea  $n = pq^2$ . Si  $p = q$ , usamos la Proposición 5.4.6. Si  $q > p$ , aplicamos la Proposición 5.4.3. Si  $p > q^2$ , el resultado requerido se deduce de la Proposición 5.4.2, pues  $q^2 > 2q - 1$ .

Sea entonces  $q < p < q^2$ . Como  $D_n = \{1, q, p, q^2, pq, n\}$ , tenemos que

$$D_n^* = \{n - 1, pq - q, q^2 - p\},$$

y por ende

$$D_n^+ = \{pq - q + q^2 - p\} \cup (D_n^* + n - 1) \cup 2D_n^*$$

Si  $a, b \in D_n^*$ , entonces obviamente  $a + b \neq a$ . Este simple hecho, en conjunto con el Corolario 5.1.3, son suficientes para concluir con facilidad que  $D_n^* \cap D_n^+ = \emptyset$ .  $\square$

**Lema 5.4.9.** *Si  $p$  y  $q$  son primos, entonces  $pq \notin \mathbb{N}(\Delta)$ .*

*Demostración.* Si  $p = q$ , usamos la Proposición 5.4.6. Si  $p \neq q$ , podemos asumir sin pérdida de generalidad que  $p < q$ . Luego, siendo  $n = pq$ ,  $D_n^* = \{n - 1, q - p\}$  y

$$D_n^+ = \{2(n - 1), n - 1 + q - p, 2(q - p)\}.$$

A este punto, mediante los argumentos usuales, se verifica rápidamente que  $D_n^* \cap D_n^+ = \emptyset$ .  $\square$

**Proposición 5.4.10.** *Si  $p$  y  $q$  son números primos, entonces*

$$\{pq, pq^2, p^2q^2\} \subset \mathbb{N} - \mathbb{N}(\Delta).$$

*Demostración.* Es el contenido de los Lemas 5.4.7, 5.4.8 y 5.4.9.  $\square$

El que sigue es un lema técnico que necesitamos luego para probar que 24 y 40 son los únicos  $\Delta$ -primitivos de la forma  $p^kq$ , donde  $p$  y  $q$  son primos.

**Lema 5.4.11.** *Sean  $i, j \in \mathbb{N}$  y sea  $q \geq 3$  un número impar. Si*

$$|2^{i-1}q - 2^{j-1}| = |2^{i+j} - q|, \quad (5.25)$$

*entonces  $(i, j, q) \in \{(1, 2, 5), (2, 1, 3)\}$ .*

*Demostración.* Si  $q > 2^{i+j}$  en (5.25), entonces  $2^{i-1}q - 2^{j-1} > 2^{2i+j-1} - 2^{j-1} > 0$ . Luego,

$$0 < 2^{j-1}(2^{i+1} - 1) = q(1 - 2^{i-1}) \leq 0,$$

lo cual es absurdo. Por lo tanto, se sigue que  $2^{i+j} > q$  en (5.25). Sucesivamente, usando argumentos similares, es fácil eliminar también el valor absoluto en el lado izquierdo de (5.25). Finalmente, (5.25) es equivalente a

$$2^{i-1}q - 2^{j-1} = 2^{i+j} - q. \quad (5.26)$$

Como el lado derecho de (5.26) es impar, necesariamente uno de los dos términos del lado izquierdo tiene que ser impar. Por lo tanto, tiene que ser o bien  $i = 1$ , o bien  $j = 1$ . Reemplazando  $i = 1$  en (5.26) y simplificando, obtenemos que  $2q = 2^{j-1}5$ , lo cual implica  $j = 2$  y  $q = 5$ . Si en cambio sustituimos  $j = 1$  en (5.26), llegamos a que  $q - 1 = 2^{i-1}(4 - q)$ . Como  $q - 1 > 0$ , tiene que ser  $4 - q > 0$  también. Dado que por hipótesis  $q$  es un impar  $\geq 3$ , la única opción es que sea  $q = 3$ , lo cual implica a su vez que  $i = 2$ .  $\square$

**Lema 5.4.12.** *Sea  $n = p^k q$ , donde  $p$  y  $q$  son primos distintos,  $q$  es impar y  $k \geq 2$ . Si  $n$  es  $\Delta$ -primitivo, entonces  $n \in \{24, 40\}$ .*

*Demostración.* Como  $n \in \mathbb{N}(\Delta)$ , existen enteros no-negativos  $e_1, \dots, e_6$  tales que  $e_1 + e_2 = e_3 + e_4 = e_5 + e_6 = k$  y

$$|p^{e_1}q - p^{e_2}| = |p^{e_3}q - p^{e_4}| + |p^{e_5}q - p^{e_6}|. \quad (5.27)$$

Si  $e_i > 0$  para todo  $i$ , podemos dividir por  $p$  en ambos lados de (5.27), obteniendo que  $m = p^{k-2}q \in \mathbb{N}(\Delta)$  (recordemos que  $k \geq 2$ ). Pero entonces  $n = p^2m$ , lo cual contradice la primitividad de  $n$ . Luego,  $0 \in \{e_1, \dots, e_6\}$ . Observemos que necesariamente  $e_2, e_4, e_6 > 0$  en (5.27), gracias al Corolario 5.1.3.

Si  $e_1 = 0$ , entonces (5.27) se convierte en

$$|q - p^k| = |p^{e_3}q - p^{e_4}| + |p^{e_5}q - p^{e_6}|. \quad (5.28)$$

Si  $e_3 = 0$  o  $e_5 = 0$ , encontramos  $|q - p^k|$  como sumando en el lado derecho de (5.28). Ambos casos conducen a claros absurdos. Si  $e_3, e_5 > 0$ , entonces el lado derecho de (5.28) se convierte en un múltiplo de  $p$ : esto representa otro absurdo porque el lado izquierdo de (5.28) no lo es. Por ende, podemos concluir que  $e_1 > 0$  en (5.27), es decir, el lado izquierdo de (5.27) es un múltiplo de  $p$  y además  $0 \in \{e_3, e_5\}$ .

Supongamos ahora que  $e_3 = 0$  y  $e_5 > 0$ . Después de haber reducido (5.27) módulo  $p$ , llegamos a que  $q$  es un múltiplo de  $p$ , lo cual es obviamente falso. Lo mismo pasaría si  $e_3 > 0$  y  $e_5 = 0$ . Por ende, la única posibilidad es que sea  $e_3 = e_5 = 0$ . Al cabo de todo estos pasos, hemos convertido (5.27) en

$$|p^{e_1}q - p^{e_2}| = 2|q - p^{e_1+e_2}|. \quad (5.29)$$

Reduciendo (5.29) módulo  $p$ , se obtiene que  $2q \equiv 0 \pmod{p}$ , lo cual es cierto solo si  $p = 2$ . Podemos reescribir entonces (5.29) como

$$|2^{e_1-1}q - 2^{e_2-1}| = |q - p^{e_1+e_2}|. \quad (5.30)$$

Hemos demostrado que si  $n$  es  $\Delta$ -primitivo, entonces  $n = 2^{e_1+e_2}q$ , donde los enteros  $e_1, e_2$  y  $q$  satisfacen (5.30). Por el Lema 5.4.11, las únicas ternas  $(e_1, e_2, q)$  de números naturales que satisfacen (5.30) son  $(1, 2, 5)$  y  $(2, 1, 3)$ . Por lo tanto, concluimos que  $n \in \{24, 40\}$ .  $\square$

**Proposición 5.4.13.** *Sea  $n = p^k q$ , donde  $p$  y  $q$  son primos y  $k \in \mathbb{N}$ . Si  $n \in \mathbb{N}(\Delta)$ , entonces  $n \in \{2^{2h+1}q : q \in \{3, 5\}, h \in \mathbb{N}\}$ .*

*Demostración.* Si  $k = 1$ , aplicamos el Lema 5.4.9. Si  $k \geq 2$ , supongamos que  $p \neq q$ ,  $q$  es impar y  $n \in \mathbb{N}(\Delta)$ . Si  $n$  es  $\Delta$ -primitivo, usamos el Lema 5.4.12. Si  $n$  no es  $\Delta$ -primitivo, entonces existe un entero  $e > 0$  tal que  $n = p^{2e}p^{k-2e}q$  y  $m = p^{k-2e}q$  es  $\Delta$ -primitivo. Pero de nuevo, por el Lema 5.4.12, se sigue que  $m \in \{24, 40\}$ , es decir,  $p = 2, k - 2e = 3$  y  $q \in \{3, 5\}$ .  $\square$

**Corolario 5.4.14.** *Si  $p$  y  $q$  son primos distintos impares, consideremos un número  $n$  que sea de la forma  $p^2q^3, p^3q^3$  o  $p^2q^4$ . Si  $n \in \mathbb{N}(\Delta)$ , entonces  $n$  es  $\Delta$ -primitivo.*

*Demostración.* Sea  $n \in \{p^2q^3, p^3q^3, p^2q^4\}$ . Supongamos que  $n$  tenga la propiedad  $\Delta$  pero no sea  $\Delta$ -primitivo. Entonces  $n = \alpha^2m$ , donde  $\alpha \in \{p, q, pq\}$  y  $m$  es  $\Delta$ -primitivo. Luego,

$$m \in \{q, q^3, p^2q, pq, p^3q, pq^3, q^2, q^4, p^2q^2\}.$$

Gracias a las Proposiciones 5.4.6, 5.4.10 y 5.4.13 sabemos que esto último no es posible.  $\square$

Gracias a la evidencia experimental, conjeturamos que 24 y 40 son los únicos números  $\Delta$ -primitivos que usan a lo sumo dos primos en su descomposición.

**Conjetura 5.4.15.** *Sea  $n$  un número natural de la forma  $p^xq^y$ , donde  $p$  y  $q$  son primos y  $x, y \geq 0$ . Si  $n$  es  $\Delta$ -primitivo, entonces  $n \in \{24, 40\}$ .*

El Lema 5.4.9 no se puede extender a un producto  $pqr$  de 3 primos distintos: números como  $105 = 3 \cdot 5 \cdot 7$  y  $385 = 5 \cdot 7 \cdot 11$  serían contraejemplos. Sin embargo, vamos a analizar lo mismo esta nueva situación para tratar de entender en detalle en que difieren el caso  $pq$  con el caso  $pqr$ .

Sean  $p, q$  y  $r$  números primos tales que  $p < q < r$ . Si  $n = pqr$ , entonces

$$D_n = \{1, p, q, r, pq, pr, qr, n\},$$

$$D_n^* = \{n - 1, qr - p, pr - q, |pq - r|\},$$

$$D_n^+ = \{qr - p + pr - q, qr - p + |pq - r|, pr - q + |pq - r|\} \cup \\ \cup (D_n^* + n - 1) \cup 2D_n^*,$$

donde los elementos de  $D_n^*$  están listados de manera decreciente. Este ordenamiento completo se debe a que  $1 < p < q < r, pq < pr < qr < n$ . Imaginemos de tener que probar que  $a + b \neq c$  para toda terna de elementos  $a, b, c \in D_n^* - 0$ . Claramente,  $a + b \neq a$ . Gracias a esta observación y al Corolario 5.1.3, podemos descartar inmediatamente muchos casos, dejando solo los siguientes:

1.  $qr - p + pr - q = |pq - r|$ ,
2.  $qr - p + |pq - r| = pr - q$ ,
3.  $pr - q + |pq - r| = qr - p$ ,
4.  $2(qr - p) \in \{pr - q, |pq - r|\}$ ,
5.  $2(pr - q) = qr - p$ ,
6.  $2(pr - q) = |pq - r|$ ,
7.  $2|pq - r| = qr - p$ ,
8.  $2|pq - r| = pr - q$ .

La imposibilidad de (1), (2), (4) y (6) queda en evidencia gracias al ordenamiento completo de los elementos de  $D_n^*$ .

Si  $r < pq$ , entonces (7) puede reescribirse como  $p(2q + 1) = r(q + 2)$ , con lo cual  $q = kp - 2$ , para algún  $k \in \mathbb{N}$ . Luego,  $k(2p - r) = 3$  y por ende  $k \in \{1, 3\}$ . Si  $k = 1$ , entonces  $q = p - 2 < p$ . Si  $k = 3$ , entonces  $r = 2p - 1 < 3p - 2 = q$ . En ambos casos se contradicen las hipótesis. Si  $pq < r$ , entonces (7) es equivalente a  $r(2 - q) = p(2q - 1)$ , la cual es obviamente falsa.

Si  $r < pq$ , la igualdad (8) puede reescribirse como  $q(2p + 1) = r(p + 2)$ . Como  $q(2p + 1)$  es impar, necesariamente  $p \neq 2$ . Además,  $q|(p + 2)$ , lo cual implica  $q \leq p + 2$ . Pero entonces  $q = p + 2$ , pues  $3 \leq p < p + 2 \leq q$ , y por ende  $r = 2p + 1$ . Si  $pq < r$ , entonces podemos convertir a (8) en  $r(2 - p) = q(2p - 1)$ , que es claramente absurda.

Podemos reescribir (5) como  $p(2r + 1) = q(r + 2)$ . Luego,  $2r + 1 = kq$  y  $r + 2 = hp$ , para ciertos  $k, h \in \mathbb{N}$ . Pero entonces  $pkq = qhp$ , es decir,  $k = h$ , con lo cual deducimos que  $k(2p - q) = 3$ . Por ende,  $k \in \{1, 3\}$ . Si  $k = 1$ , entonces  $r = p - 2 < p$ , una contradicción. Si  $k = 3$ , entonces  $r = 3p - 2$  y  $q = 2p - 1$ .

Con respecto a la igualdad (3), observemos que puede reescribirse como

$$(r + p + 1)(q - p - 1) = -p^2 - p - 1,$$

si  $pq < r$ , y

$$(r - p + 1)(q - p + 1) = p^2 - p + 1,$$

si  $r < pq$ . El primer caso queda inmediatamente descartado. Con respecto al segundo, podemos decir que  $d_1 = q - p + 1$  y  $d_2 = r - p + 1$  son divisores complementarios del entero  $m = d_1 d_2 = p^2 - p + 1$ . Por lo tanto, al fijar  $p$ ,

tendremos una cantidad finita de pares  $(q, r)$  tales que  $pqr \in \mathbb{N}(\Delta)$ . Notamos también que: 1)  $1 < d_1 < \sqrt{m}$ ; 2)  $m, d_1$  y  $d_2$  son impares para  $p > 2$ . Podemos compactar todo este análisis en la siguiente proposición.

**Proposición 5.4.16.** *Sean  $p, q$  y  $r$  números primos tales que  $p < q < r$ . Entonces  $pqr \in \mathbb{N}(\Delta)$  si y solo si alguna de estas condiciones se satisface:*

1.  $(r - p + 1)(q - p + 1) = p^2 - p + 1$ ,
2.  $(q, r) \in \{(p + 2, 2p + 1), (2p - 1, 3p - 2)\}$ .

*En particular, una vez fijado  $p$ , hay solamente una cantidad finita de pares  $(q, r)$  tales que  $pqr \in \mathbb{N}(\Delta)$ .*

*Demostración.* Se sigue de la discusión anterior. □

Veamos algunos ejemplos de aplicación de la Proposición 5.4.16. Si  $p = 2$ , entonces  $2qr \in \mathbb{N}(\Delta)$  si y solo si  $(r - 1)(q - 1) = 3$  (1) o  $(q, r) \in \{(4, 5), (3, 4)\}$  (2). Notamos que (1) implica  $q - 1 = 1$ , lo cual contradice que  $p < q$ . Respecto de (2), vemos que no hay pares de primos. Por lo tanto, concluimos que  $2qr \notin \mathbb{N}(\Delta)$ . Esto es compatible con la Proposición 5.4.1, de la cual la Proposición 5.4.16 es un caso particular cuando  $p = 2$ . Si  $p = 3$ , entonces  $3qr \in \mathbb{N}(\Delta)$  si y solo si  $(r - 2)(q - 2) = 7$  (1) o  $(q, r) \in \{(5, 7)\}$  (2). Vemos que (1) implica  $q - 2 = 1$ , lo cual contradice que  $p < q$ . Luego,  $3qr \in \mathbb{N}(\Delta)$  si y solo si  $(q, r) = (5, 7)$ , por (2). Si  $p = 5$ , entonces  $5qr \in \mathbb{N}(\Delta)$  si y solo si  $(r - 4)(q - 4) = 21$  (1) o  $(q, r) \in \{(7, 11), (9, 13)\}$  (2). Dado que  $1 < q - 4 < \sqrt{21} < 5$ , se deduce de (1) que  $q - 4 = 3$  y  $r - 4 = 7$ . Por ende,  $5qr \in \mathbb{N}(\Delta)$  si y solo si  $(q, r) = (7, 11)$ . De manera similar, es muy fácil verificar que  $7qr \in \mathbb{N}(\Delta)$  si y solo si  $(q, r) = (13, 19)$ . Podemos resumir todo esto en el siguiente corolario.

**Corolario 5.4.17.** *Sean  $p, q$  y  $r$  números primos tales que  $p < q < r$  y sea  $n = pqr$ . Si  $p \leq 7$  y  $n \in \mathbb{N}(\Delta)$ , entonces  $n \in \{105, 385, 1729\}$ .*

*Demostración.* Se sigue de la discusión anterior. □

El próximo corolario generaliza algunos argumentos usados en los ejemplos anteriores.

**Corolario 5.4.18.** *Sean  $p, q$  y  $r$  números primos tales que  $p < q < r$ . Si  $p^2 - p + 1$  es primo y el conjunto  $\{p + 2, 2p \pm 1, 3p - 2\}$  contiene a lo sumo un primo, entonces  $pqr \notin \mathbb{N}(\Delta)$ .*

*Demostración.* La condición (1) de la Proposición 5.4.16 no se puede cumplir de manera aceptable si  $p^2 - p + 1$  es primo, ya que esto implica que  $q - p + 1 = 1$ , contradiciendo la hipótesis de que  $p < q$ .

Si el conjunto  $\{p+2, 2p \pm 1, 3p-2\}$  contiene a lo sumo un primo, entonces no es posible formar ningún par de primos  $(q, r)$  como los requiere la condición (2) de la Proposición 5.4.16.  $\square$

Los números 13, 67 y 79 son los primos más chicos que cumplen las hipótesis del Corolario 5.4.18.

Finalmente, cerramos esta sección con un importante teorema sobre los ciclos inducidos  $n$ -simples de  $\Phi$ , cuando  $n \notin \mathbb{N}(\Delta)$  y no es un cuadrado.

**Teorema 5.4.19.** *Sea  $S$  un grafo split y sea  $C$  un ciclo inducido  $n$ -simple en  $\Phi(S)$ . Si  $n$  no es un cuadrado y  $n \notin \mathbb{N}(\Delta)$ , entonces  $|C| = 4$ .*

*Demostración.* Ya sabemos por el Teorema 4.3.7 que  $|C| \in \{3, 4\}$ . Si fuera  $|C| = 3$ , entonces  $C$ , visto en  $\vec{\Phi}(S)$ , tendrá que ser de tipo 0 (ver la Figura 4.5), por el Corolario 4.4.3. Dado que  $C$  es  $n$ -simple, se sigue por el Teorema 5.1.5 que  $n \in \mathbb{N}(\Delta)$ , lo cual contradice la hipótesis.  $\square$

# Capítulo 6

## Grafos activos de grado bajo

En este capítulo aplicamos toda la maquinaria desarrollada anteriormente con el objetivo de:

- (1). clasificar los grafos activos de grado 1, 2 y 3;
- (2). clasificar los espacios de realización asociados a los grafos de grado  $\leq 2$ ;
- (3). probar que los espacios de realización asociados a los grafos de grado 3 son “casi todos” 3-regulares;
- (4). clasificar los grafos split primos de grado 4.

En la primer sección resolvemos (1) para los grados 1 y 2, obteniendo (2) como consecuencia. En la segunda sección clasificamos los grafos activos de grado 3, con lo cual conseguimos (3). En la tercera y última sección resolvemos (4).

### 6.1. Grafos activos de grado 1 y 2

Los siguientes corolarios inmediatos del Teorema 2.3.1 permiten caracterizar los grafos  $G$  de grado  $\leq 2$  en base a los miembros de  $Q_G^*$ .

**Corolario 6.1.1.** *Sea  $G$  un grafo no-nulo. Las siguientes afirmaciones son equivalentes:*

1.  $\deg(G) = 0$ .
2.  $G$  no tiene subgrafos inducidos isomorfos a  $2K_2, C_4$ , o  $P_4$ .
3.  $G$  es *threshold*.
4.  $G$  es *inactivo*.

5.  $G^* = K_0$ .

**Corolario 6.1.2.** *Un grafo  $G$  tiene grado 1 si y solo si  $G$  tiene un solo subgrafo inducido isomorfo a  $P_4$  y no tiene subgrafos inducidos isomorfos a  $2K_2$  o a  $C_4$ .*

**Corolario 6.1.3.** *Un grafo  $G$  tiene grado 2 si y solo si se cumple exactamente una de las siguientes condiciones:*

1.  $G$  tiene exactamente dos subgrafos inducidos isomorfos a  $P_4$  y no tiene subgrafos inducidos isomorfos a  $2K_2$  o  $C_4$ .
2.  $G$  tiene exactamente un subgrafo inducido isomorfo a  $C_4$  y no tiene subgrafos inducidos isomorfos a  $2K_2$  o  $P_4$ .
3.  $G$  tiene exactamente un subgrafo inducido isomorfo a  $2K_2$  y no tiene subgrafos inducidos isomorfos a  $C_4$  o  $P_4$ .

**Teorema 6.1.4.** *Si  $G$  es un grafo activo, entonces*

$$4 \leq |G| \leq 4 \deg(G).$$

*Demostración.* Como  $G$  es activo, es claro que  $Q_G^* \neq \emptyset$ , pues  $\deg(G) \geq 1$ . Luego,  $|G| \geq 4$ . Por otro lado:

$$|G| = \left| \bigcup_{H \in Q_G^*} V(H) \right| \leq \sum_{H \in Q_G^*} 4 \leq 4 \sum_{H \in Q_G^*} \deg(H) = 4 \deg(G).$$

□

Una consecuencia inmediata del Teorema 6.1.4 es que  $P_4$  es el único grafo activo de grado 1.

**Corolario 6.1.5.** *Si  $s$  es una secuencia gráfica, entonces*

$$|\text{act}(s)| \leq 4 \min\{\deg(G) : G \in \mathcal{G}(s)\}.$$

**Teorema 6.1.6.** *Si  $\deg(G) = 1$ , entonces  $\deg(\tau(G)) = 1$ , para todo 2-switch  $\tau$ . En otras palabras, el 2-switch preserva el grado 1.*

*Demostración.* Usando el Teorema 6.1.4, deducimos que  $G^* \approx P_4$ . Siendo  $s = s(G)$ , tenemos  $\mathcal{G}(s) \approx \mathcal{G}(P_4) \approx K_2$ , por el Teorema 2.2.3. □

A partir del Teorema 6.1.6, obtenemos inmediatamente el siguiente corolario.

**Corolario 6.1.7.** Si  $\mathcal{G}(s)$  posee una hoja, entonces  $\mathcal{G}(s) \approx K_2$ .

**Proposición 6.1.8.** Sea  $(S, K, I)$  un grafo split.

1. Si  $S$  es activo, entonces

$$2 \leq |I|, |K| \leq 2 \deg(S).$$

2. Si  $S$  es primo, entonces

$$2 \leq |I|, |K| \leq \deg(S) + 1.$$

*Demostración.* (1). Si  $S$  es activo, entonces

$$\begin{aligned} |I| &= \left| \bigcup_{H \in Q_S(P_4)} (V(H) \cap I) \right| \leq \sum_{H \in Q_S(P_4)} |V(H) \cap I| \\ &\leq \sum_{H \in Q_S(P_4)} 2 = 2|Q_S(P_4)| = 2 \deg(S). \end{aligned}$$

Los argumentos anteriores siguen valiendo si se reemplaza  $I$  con  $K$ .

(2). Si  $S$  es primo, entonces  $\Phi(S)$  es conexo, por el Teorema 4.1.7. Entre todos los multigrafos conexos de tamaño fijo  $\deg(S)$ , los que maximizan la cantidad de vértices son claramente los árboles simples, los cuales tienen orden  $\deg(S) + 1$ . Luego,  $|I| \leq \deg(S) + 1$ . Dado que  $S$  es primo, también  $(\bar{S}, I, K)$  lo es (ver [7], pag.14). Por ende, reutilizando el mismo argumento, obtenemos que  $|K| \leq \deg(S) + 1$ . □

**Lema 6.1.9.** Si  $G$  es un grafo tal que  $\deg(G) = |Q_G(P_4)| \leq 4$ , entonces  $G$  es split.

*Demostración.* Recordemos que un grafo es split si y solo si no contiene subgrafos inducidos isomorfos a  $C_4$ ,  $2K_2$  o a  $C_5$ . Las hipótesis implican que  $G$  no contiene subgrafos inducidos isomorfos a  $C_4$  o  $2K_2$ . Si fuera  $C_5 \preceq G$ , entonces  $4 \geq \deg(G) \geq \deg(C_5) = 5$ , por la Proposición 2.3.3. Luego,  $G$  tampoco puede contener subgrafos inducidos isomorfos a  $C_5$ . □

Consideremos un grafo activo  $G$  tal que  $\deg(G) = |Q_G(P_4)| = 2$ . Gracias al Lema 6.1.9, sabemos que  $G$  es split. Sea  $n = |G|$ . Aplicando el Teorema 6.1.4, obtenemos que  $4 \leq n \leq 8$ . Sin embargo, es claro que  $n \neq 4$ , ya que de lo contrario tendríamos que  $|Q_G(P_4)| = 1$ . Ahora bien, supongamos que  $G = S \circ H$ , para ciertos grafos  $S$  y  $H$ . Dado que  $G$  es activo, se sigue de la Proposición 2.3.9 que  $S$  y  $H$  son activos. En consecuencia,  $|S|, |H| \geq 4$ , por el Teorema 6.1.4. Puesto que  $|S| + |H| = n \leq 8$ , concluimos que  $S, H \approx P_4$ . En definitiva:

- (1). si  $n = 8$ , entonces  $G \approx P_4^2$ ;  
 (2). si  $n \in \{5, 6, 7\}$ , entonces  $(G, K, I)$  es primo.

En general, para encontrar todos los grafos split primos  $S$  de un cierto grado, podemos primero asumir que  $(S, K, I)$  cumpla

$$\alpha(S) \leq \omega(S). \quad (6.1)$$

Cuando decimos “todos”, es claro que nos referimos a todas las clases de isomorfismo (las cuales, como ya sabemos, son grafos no-etiquetados). Una vez encontrados todos los  $S$  que cumplan (6.1), alcanza después con complementar cada uno de ellos para finalmente terminar la clasificación. Este procedimiento es válido por las siguientes razones:

- (1). un grafo es primo si y solo si su complemento es primo ([7], pag.14);  
 (2). todo grafo tiene el mismo grado que su complemento (Teorema 2.3.2);  
 (3).  $(\bar{S}, I, K)$  es la bipartición de  $\bar{S}$  y  $\alpha(\bar{S}) \geq \omega(\bar{S})$ .

Sigamos ahora nuestro análisis sobre  $G$ . Si  $n \in \{5, 6, 7\}$ , entonces  $\Phi(G)$  es conexo, por el Corolario 4.1.7. Esto significa que  $\Phi(G)$  es isomorfo a  $K_2$  o a  $P_3$ , ignorando multiplicidades (ver la Figura 6.1).

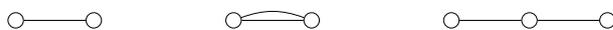


Figura 6.1: Los 3 multigrafos conexos de tamaño  $\leq 2$ .

Asumamos que  $\alpha = \alpha(G) \leq \omega(G) = \omega$ . No olvidemos que  $\omega = |K|$  y  $\alpha = |I|$  (pues  $G$  es balanceado). Como  $5 \leq \alpha + \omega = n \leq 7$  y  $2 \leq \alpha \leq \omega$ , se sigue que  $\alpha \in \{2, 3\}$  y  $\omega \neq 2$ . Además,  $\omega \leq 3$ , por la Proposición 6.1.8. Luego,  $\omega = 3$ .

Sea  $I = \{a, b\}$ . Claramente,  $\eta_{ab} = 0$ , pues  $G$  no tiene vértices universales. Luego,  $3 = \omega = d_a + d_b$ , y por ende  $(d_a, d_b) = (1, 2)$ . Salvo isomorfismo, existe un único grafo split con estas características; lo denominamos  $D_5$  y podemos verlo en la Figura 6.2.

Si  $\Phi$  es el camino  $abc$ , deducimos del Teorema 4.2.14 que  $G$  es isomorfo a  $(R, [3], I)$  o a  $\bar{R}^t$ , donde  $N_R(a) = N_R(c) = \{1\}$  y  $N_R(b) = \{2\}$ . Esto es imposible porque  $G$  es activo, pero tanto  $R$  como  $\bar{R}^t$  no lo son (el vértice 3 es intercambiable en  $R$  y universal en  $\bar{R}^t$ ).

Hasta ahora, hemos logrado clasificar todos los grafos activos  $G$  de grado 2 tales que  $Q_G^* = Q_G(P_4)$ . Para clasificar todos los grafos activos de grado 2, queda analizar el caso

$$Q_G^* = Q_G(C_4) \cup Q_G(2K_2). \quad (6.2)$$

Recordemos que  $4 \leq n \leq 8$ , por el Teorema 6.1.4. Obviamente,  $G \approx C_4$  o a  $2K_2$ , si  $n = 4$ . Por otro lado, si fuera  $n \geq 5$ , entonces tendríamos  $|Q_G^*| \geq 2$ . A su vez, esto implicaría  $\deg(G) \geq 4$ , por (6.2), contradiciendo la hipótesis de que  $\deg(G) = 2$ . Es muy sencillo verificar que  $C_4$  y  $2K_2$  son irreducibles. En efecto, si existieran grafos  $S$  y  $H$  tales que  $S \circ H \approx C_4$ , ambos factores deberían ser activos, según el Teorema 2.3.9. Pero entonces aplicando el Teorema 6.1.4 llegamos al siguiente absurdo:  $4 = |C_4| = |S| + |H| \geq 8$ . El mismo argumento aplica para  $2K_2$ .

**Teorema 6.1.10.** *Sea  $G$  un grafo activo.*

1. Si  $\deg(G) = 1$ , entonces  $G \approx P_4$ .
2. Si  $\deg(G) = 2$  y  $G$  es reducible, entonces  $G \approx P_4^2$ .
3. Si  $\deg(G) = 2$  y  $G$  es irreducible, entonces  $G$  es isomorfo a uno de estos grafos:  $D_5, \overline{D}_5, C_4, 2K_2$ .

Todos los grafos aquí nombrados están representados en la Figura 6.2.

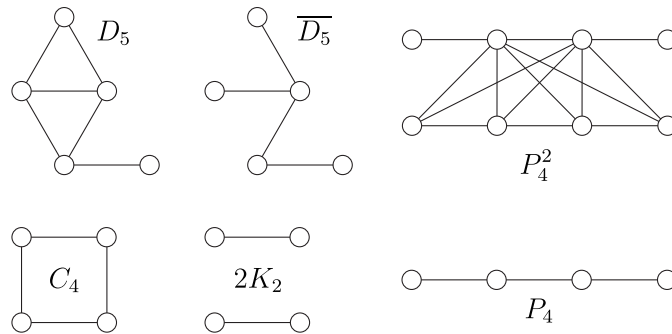


Figura 6.2: Los 6 grafos activos de grado  $\leq 2$ .

*Demostración.* Se sigue de la discusión anterior. □

**Teorema 6.1.11.** *Sea  $G$  un grafo. Si  $\deg(G) = 2$ , entonces  $\deg(\tau(G)) = 2$ , para todo 2-switch  $\tau$ . En otras palabras, el 2-switch preserva el grado 2.*

*Demostración.* Si  $X$  es un grafo cualquiera de grado 2, sabemos que  $\deg(X^*) = 2$  también. Gracias al Teorema 6.1.10, tenemos que  $X^* \approx D_5, \overline{D}_5, C_4, 2K_2$  o a  $P_4^2$  (ver la Figura 6.2). Luego, es evidente que  $\tau(X^*) \approx X^*$ , para todo 2-switch  $\tau$ , lo cual significa que  $\mathcal{G}(X^*)$  es 2-regular. Finalmente, el resultado se sigue del Teorema 2.2.3. □

**Corolario 6.1.12.** *Si  $\mathcal{G}(s)$  tiene un vértice de grado 2, entonces  $\mathcal{G}(s)$  es isomorfo a  $K_3$  o a  $C_4$ .*

*Demostración.* Desde los Teoremas 1.2.1 y 6.1.11 se sigue, respectivamente, que  $\mathcal{G}(s)$  es conexo y 2-regular. Luego,  $\mathcal{G}(s)$  es un ciclo. Para completar la prueba, gracias a los Teoremas 2.2.3 y 1.2.3 alcanza con considerar  $X \in \{\overline{D_5}, 2K_2, P_4^2\}$  (ver la Figura 6.2) y calcular  $c = |\mathcal{G}(X)|$ . Debido a la elevada simetría de  $X$ , es fácil en este caso encontrar el valor exacto de  $c$ .

Si  $X = \overline{D_5}$ , vemos que hay solo 3 maneras de etiquetar a  $X$  manteniendo  $s(X)$ , ya que el 2-switch solo intercambia las adyacencia de sus hojas. Luego,  $c = 3$ . Si  $Q$  es un conjunto de 4 elementos, hay exactamente 3 maneras de escribir a  $Q$  como  $A \dot{\cup} B$ , donde  $|A| = 2 = |B|$ . Esto muestra que  $c = 3$ , si  $X = 2K_2$ . Finalmente, sea  $X = P_4^2$ . En tal caso, notamos que el 2-switch actúa en cada uno de los factores  $P_4$  como si el resto del grafo no existiera, intercambiando las adyacencias de sus hojas. Por ende, hay dos grafos distintos con la misma secuencia de grados por cada  $P_4 \preceq X$ , lo cual implica  $c = 4$ .  $\square$

## 6.2. Grafos activos de grado 3

Consideremos un grafo activo  $G$  tal que  $\deg(G) = |Q_G(P_4)| = 3$ . Gracias al Lema 6.1.9, sabemos que  $G$  es split. Supongamos que  $G$  sea reducible. Dado que  $G$  es activo, se sigue de los Teoremas 2.3.9 y 2.3.8 que cada uno de los factores de  $G$  es un grafo split activo de grado 1 o 2. En consecuencia,

$$G \in \{P_4 \circ D_5, D_5 \circ P_4, P_4 \circ \overline{D_5}, \overline{D_5} \circ P_4, P_4^3\},$$

por el Teorema 6.1.10. Si en cambio  $(G, K, I)$  es irreducible, asumamos que  $\alpha = |I| \leq |K| = \omega$ . Sea  $n = |G|$ . Aplicando el Teorema 6.1.4, obtenemos que  $4 \leq n \leq 12$ . Sin embargo, es claro que  $n \geq 5$  y  $\omega \geq 3$ , ya que, de lo contrario, tendríamos que  $|Q_G(P_4)| = 1$ . Gracias a la Proposición 6.1.8, podemos entonces afirmar que, en principio,  $2 \leq \alpha \leq 4$  y  $\omega \in \{3, 4\}$ . Aplicando el Corolario 4.1.7, tenemos que

$$\Phi(G) \in \{K_2, K_3, P_3, S_4, P_4\},$$

ignorando multiplicidades en caso las haya (Figura 6.3). Si  $\Phi = \Phi(G) \in \{K_3, S_4, P_4\}$ , entonces  $G$  es homogéneo, por el Teorema 4.2.3. El Teorema 4.2.2 prohíbe por lo tanto que sea  $\Phi = P_4$ . Sea  $d$  el grado en  $G$  de los vértices en  $I$ . Supongamos que  $\Phi = S_4$ . Gracias al Teorema 4.2.2, sabemos que  $N_1 = N_2 = N_3$ . Por otro lado,  $0 = |\bigcap_{i=1}^4 N_i| = \eta_{14}$ , pues  $G$  no posee

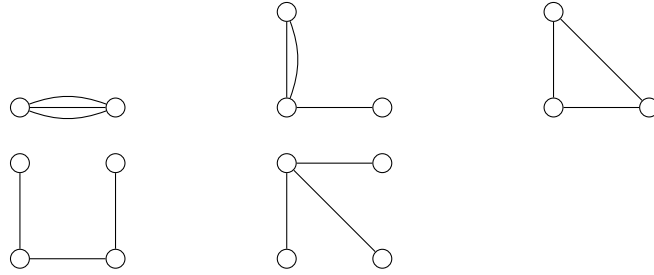


Figura 6.3: Los 5 multigrafos conexos de tamaño 3.

vértices universales. Esto significa que  $d = 1$ , por la Proposición 4.2.1. Pero entonces  $\omega = 2$ , contradiciendo que  $\alpha \leq \omega$ .

Si  $\Phi = K_3$ , el Teorema 4.2.5 nos dice que  $\omega = 3$  y que  $d \in \{1, 2\}$ . Ambas posibilidades para  $d$  se realizan, formando un par de grafos que son el complemento uno del otro. Denominamos  $T_6$  al grafo que resulta de tomar  $d = 1$ . Estos se muestran en la Figura 6.4.

Sea  $I = \{a, b\}$ , con  $d_a \leq d_b$ . Dado que  $G$  no posee vértices universales, tenemos que  $\eta_{ab} = 0$ . Luego,  $d_a = 1$  y  $d_b = 3$ , por la Proposición 4.2.1, lo cual implica  $\omega = 4$ . Salvo isomorfismo, existe un único grafo split con estas características; lo denominamos  $D_6$  y podemos verlo en la Figura 6.4.

Por último, sea  $\Phi = abc$ , con  $\sigma_{ab} = 2$ . Aquí se presentan dos casos: 1)  $d_a < d_b$ ; 2)  $d_a > d_b$ . Supongamos que  $d_a < d_b$ . Por la Proposición 4.2.1, tenemos que  $d_c = d_b = d_a + 1$  y  $N_a \subset N_c$ . Notemos que  $\eta_{ac} = d_a$ . Puesto que  $G$  no contiene vértices universales, se sigue que  $\emptyset = N_a \cap N_b \cap N_c = N_a \cap N_b$ , con lo cual  $\eta_{bc} = d_a = 1$ , de nuevo por la Proposición 4.2.1. Luego, aplicando la fórmula (B.1), es fácil deducir que  $\omega = 3$ . Todas estas características determinan un grafo que nombramos  $U_6$ , el cual encontramos representado en la Figura 6.4. Si  $d_a > d_b$ , un razonamiento prácticamente idéntico nos conduce hasta  $\overline{U_6}$ .

Hasta ahora, hemos logrado clasificar los grafos activos  $G$  de grado 3 tales que  $Q_G^* = Q_G(P_4)$ . Para completar la clasificación de todos los grafos activos de grado 3, queda analizar el siguiente caso:

$$|Q_G(C_4)| + |Q_G(2K_2)| = 1 = |Q_G(P_4)|. \quad (6.3)$$

Recordemos algo muy importante sobre como está definida la composición de Tyshkevich: si  $G = X \circ Y$ , entonces  $X$  tiene que ser split. Con esto en mente, si  $G$  es reducible y cumple (6.3), entonces  $G \in \{P_4 \circ C_4, P_4 \circ 2K_2\}$ , por las Proposiciones 2.3.9, 2.3.8 y el Teorema 6.1.10. En los lemas siguientes demostramos que no existen grafos primos que satisfagan (6.3).

**Lema 6.2.1.** *No existe ningún grafo primo de orden 5 u 8 tal que*

$$|Q_G(C_4)| = 1 = |Q_G(P_4)|, \quad Q_G(2K_2) = \emptyset. \quad (6.4)$$

*Demostración.* Supongamos que exista un grafo  $G$  de orden 5 u 8 que cumpla con (6.4). Luego,  $Q_G^* = \{P, C\}$ , donde  $P \approx P_4, C \approx C_4$  y  $V(P) \cup V(C) = V(G)$ . Más aún, gracias al Teorema 1.2.7, sabemos que  $A_4 = A_4(G)$  es conexo y que tanto  $V(P)$  como  $V(C)$  son cliques de tamaño 4 en  $A_4$ .

Si  $|G| = 8$ , entonces  $V(P) \cap V(C) = \emptyset$ . Como  $A_4$  es conexo, debe haber un arista  $ab \in A_4$  tal que  $a \in P$  y  $b \in C$ . Esto significa que existe un  $H \in Q_G^*$  tal que  $a, b \in V(H)$ , lo cual es claramente imposible.

Si  $|G| = 5$ , entonces  $|V(P) \cap V(C)| = 3$ . Luego,  $P = ax_1x_2x_3$  y  $C = bx_1x_2x_3b$ . Observemos ahora que, necesariamente,  $ab \in E(G)$ . De lo contrario,  $ax_1bx_3 \preceq G$ , lo cual iría en contra de la hipótesis sobre  $Q_G^*$ . Consecuentemente,  $ax_3 \in E(G)$  o  $bx_2 \in E(G)$ , ya que de lo contrario tendríamos  $abx_3x_2 \preceq G$ . Pero esto contradice que  $P, C \preceq G$ .  $\square$

**Lema 6.2.2.** *No existen grafos primos de orden 7 que cumplan con (6.4).*

*Demostración.* Supongamos que exista un grafo primo  $G$  de orden 7 que cumpla con (6.4). Luego,  $Q_G^* = \{P, C\}$ , donde  $P \approx P_4, C \approx C_4$  y  $V(P) \cup V(C) = V(G)$ . Como  $|G| = 7$ , se sigue que  $P$  y  $C$  comparten exactamente 1 vértice, llamémoslo  $x$ . Por lo tanto, tenemos esencialmente dos casos para analizar: 1)  $P = xa_1a_2a_3$ ; 2)  $P = a_1xa_2a_3$ . Sea  $C = xb_1b_2b_3x$ .

(1). Observemos que  $a_1b_1, a_1b_3 \in E(G)$  (de lo contrario,  $\{b_1xa_1a_2, b_3xa_1a_2\} \subseteq Q_G^*$ ). En consecuencia, también  $a_1b_2 \in E(G)$  (de lo contrario,  $a_1b_1b_2b_3a_1 \in Q_G^*$ ). A su vez, esto implica la presencia de  $a_2b_1$  en  $G$  (de lo contrario,  $b_1a_1a_2a_3 \in Q_G^*$ ). Dado que el camino  $a_2b_1xb_3$  no puede ser inducido en  $G$ , al menos un arista entre  $b_1b_3$  y  $a_2x$  se ve obligada a estar en  $G$ . Sin embargo, esto contradice que  $P, C \preceq G$ .

(2). Notemos que  $a_2b_1, a_2b_3 \in E(G)$  (de lo contrario,  $\{b_3xa_2a_3, a_2xb_1b_2\} \subseteq Q_G^*$ ). Luego, también  $a_2b_2 \in E(G)$  (de lo contrario,  $a_2b_1b_2b_3a_2 \in Q_G^*$ ). Puesto que el camino  $a_1xa_2b_2$  no puede ser inducido en  $G$ , al menos un arista entre  $a_1a_2$  y  $b_2x$  se ve forzada a estar en  $G$ . Sin embargo, esto contradice que  $P, C \preceq G$ .  $\square$

**Lema 6.2.3.** *No existen grafos primos de orden 6 que cumplan con (6.4).*

*Demostración.* Supongamos que exista un grafo primo  $G$  de orden 6 que cumpla con (6.4). Luego,  $Q_G^* = \{P, C\}$ , donde  $P \approx P_4, C \approx C_4$  y  $V(P) \cup$

$V(C) = V(G)$ . Como  $|G| = 6$ , se sigue que  $V(P) \cap V(C) = \{x_1, x_2\}$ . Vemos que  $x_1$  y  $x_2$  pueden estar posicionados en  $P$  esencialmente de 4 maneras: 1)  $a_1x_1x_2a_2$ ; 2)  $a_1a_2x_1x_2$ ; 3)  $a_1x_1a_2x_2$ ; 4)  $x_1a_1a_2x_2$ .

- (1). Sea  $C = b_1b_2x_2x_1b_1$ . Notamos que, necesariamente,  $a_1x_2 \in G$  o  $b_2x_1 \in G$  (de lo contrario,  $a_1x_1x_2b_2 \preceq G$ ). Esto contradice que  $P, C \preceq G$ .
- (2). Sea  $C = b_1b_2x_2x_1b_1$ . Observamos que, forzosamente,  $a_2x_2 \in G$  o  $b_2x_1 \in G$  (de lo contrario,  $a_2x_1x_2b_2 \preceq G$ ). Esto contradice que  $P, C \preceq G$ .
- (3). Sea  $C = b_1x_1b_2x_2b_1$ . Notemos que, necesariamente,  $a_1b_1, a_1b_2 \in G$  (de lo contrario,  $\{a_1x_1b_1x_2, a_1x_1b_2x_2\} \subseteq Q_G^*$ ). Esto fuerza a que  $b_1b_2$  o  $a_1x_2$  estén en  $G$  (de lo contrario,  $a_1b_1x_2b_2a_1 \preceq G$ ), lo cual contradice que  $P, C \preceq G$ .
- (4). Sea  $C = b_1x_1b_2x_2b_1$ . Observemos que, necesariamente,  $a_2b_1, a_2b_2 \in G$  (de lo contrario,  $\{a_1a_2x_2b_1, a_1a_2x_2b_2\} \subseteq Q_G^*$ ). Esto obliga  $b_1b_2$  o  $a_2x_1$  a ser aristas de  $G$  (de lo contrario,  $a_2b_2x_1b_1a_2 \preceq G$ ), lo cual contradice que  $P, C \preceq G$ .

□

**Lema 6.2.4.** *No existe ningún grafo primo que cumpla con (6.3).*

*Demostración.* Supongamos que  $G$  sea un grafo primo que satisface (6.3). Dado que  $|Q_G^*| = 2$ , es claro que  $5 \leq |G| \leq 8$ , pues  $G$  es activo y  $\deg(G) > 1$ . Tenemos dos casos para analizar: 1)  $|Q_G(C_4)| = 1$ ; 2)  $Q_G(C_4) = \emptyset$ .

- (1). Puesto que  $G$  satisface (6.4), se contradicen los Lemas 6.2.1, 6.2.2 y 6.2.3.
- (2). Ya que  $\overline{2K_2} = C_4$  y  $\overline{P_4} = P_4$ , se sigue que  $\overline{G}$  cumple con (6.4). Esto contradice los Lemas 6.2.1, 6.2.2 y 6.2.3.

□

**Proposición 6.2.5.** *Sea  $G$  un grafo activo de grado 3.*

1. Si  $G$  es reducible, entonces  $G \in$

$$\{P_4 \circ D_5, D_5 \circ P_4, P_4 \circ \overline{D_5}, \overline{D_5} \circ P_4, P_4^3, P_4 \circ C_4, P_4 \circ 2K_2\},$$

2. Si  $G$  es irreducible, entonces

$$G \in \{T_6, \overline{T_6}, D_6, \overline{D_6}, U_6, \overline{U_6}\},$$

los cuales son todos split (ver la Figura 6.4).

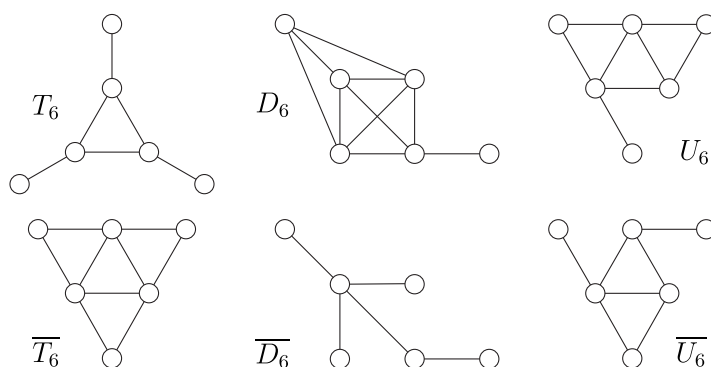


Figura 6.4: Los 6 grafos primos de grado 3.

*Demostración.* Se sigue de la discusión anterior. □

**Teorema 6.2.6.** *Sea  $X$  un grafo de grado 3 tal que ni  $U_6$  ni  $\overline{U_6}$  (ver la Figura 6.4) aparecen como factores en la descomposición de Tyshkevich de  $X$ . Entonces,  $\deg(\tau(X)) = 3$ , para todo 2-switch  $\tau$ . En otras palabras,  $\mathcal{G}(X)$  es 3-regular.*

*Demostración.* Gracias al Teorema 2.2.3, sabemos que  $\mathcal{G}(X) \approx \mathcal{G}(X^*)$ . Dado que  $\deg(X^*) = 3$  y que  $X^*$  es activo, podemos aplicar la Proposición 6.2.5 y ver fácilmente que  $\tau(X^*) \approx X^*$  para todo 2-switch  $\tau$  y para cada uno de los 11 grafos a los cuales  $X^*$  puede ser isomorfo. Por ende,  $\mathcal{G}(X)$  es 3-regular. □

Respecto del Teorema 6.2.6, es importante remarcar que este deja de ser cierto si  $U_6$  o  $\overline{U_6}$  aparecen como factores en la descomposición de  $X$ . Esto se debe a que  $U_6$  tiene un vecino de grado 4 en  $\mathcal{G}(U_6)$  (ver la Figura 6.2).

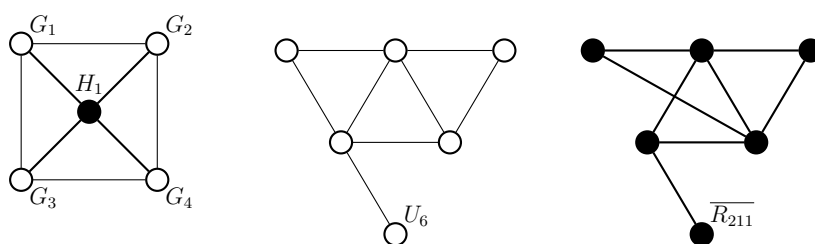


Figura 6.5: Izquierda:  $\mathcal{G}(U_6)$ ;  $G_i \approx U_6$  (centro),  $H_1 \approx \overline{R_{211}}$  (derecha).

### 6.3. Grafos split primos de grado 4

**Teorema 6.3.1.** *Para todo  $k \geq 4$ , existe un grafo  $G_k$  y un 2-switch  $\tau$  tal que  $\deg(\tau(G_k)) \neq \deg(G_k) = k$ . En otras palabras, para  $k \geq 4$ , el 2-switch*

no preserva el grado  $k$  en general.

*Demostración.* Sea  $\tau = \begin{pmatrix} a & b \\ d & c \end{pmatrix}$ . Si  $G_4 = abxcd \approx P_5$ , entonces  $\tau(G_4) \approx K_3 \dot{\cup} K_2$  y por lo tanto  $\deg(\tau(G_4)) = 6 \neq \deg(G_4) = 4$ . Entonces, para  $k \geq 5$ , consideremos el grafo  $G_k = Y_{k-1} \circ G_4$ , donde  $Y_{k-1}$  es el árbol de orden  $k - 1$  que se obtiene identificando un vértice de  $K_2$  con una hoja de  $S_{k-2}$ . Claramente,  $\deg(Y_{k-1}) = k - 4$ . Luego, por el Teorema 2.3.8, tenemos que  $\deg(G_k) = k$  y  $\deg(\tau(G_k)) = \deg(Y_{k-1} \circ \tau(G_4)) = k + 2$ .  $\square$

Consideremos un grafo primo  $S$  tal que  $\deg(G) = |Q_G(P_4)| = 4$ . Gracias al Lema 6.1.9, sabemos que  $S$  es split. Asumamos que  $S$  tenga bipartición  $(S, K, I)$  y que  $\alpha = |I| \leq |K| = \omega$ . Sea  $n = |S|$ . Aplicando el Teorema 6.1.4, obtenemos que  $4 \leq n \leq 16$ . Sin embargo, es claro que  $n \geq 5$  y  $\omega \geq 3$ , ya que, de lo contrario, tendríamos que  $|Q_G(P_4)| = 1$ . Gracias a la Proposición 6.1.8, podemos entonces afirmar que, en principio,  $2 \leq \alpha \leq 8$  y  $3 \leq \omega \leq 8$ . Aplicando el Corolario 4.1.7, tenemos que  $\Phi = \Phi(S)$  es isomorfo a uno de los 12 multigrafos en la Figura 6.6. Gracias a los Teoremas 4.2.3 y 4.2.2 podemos

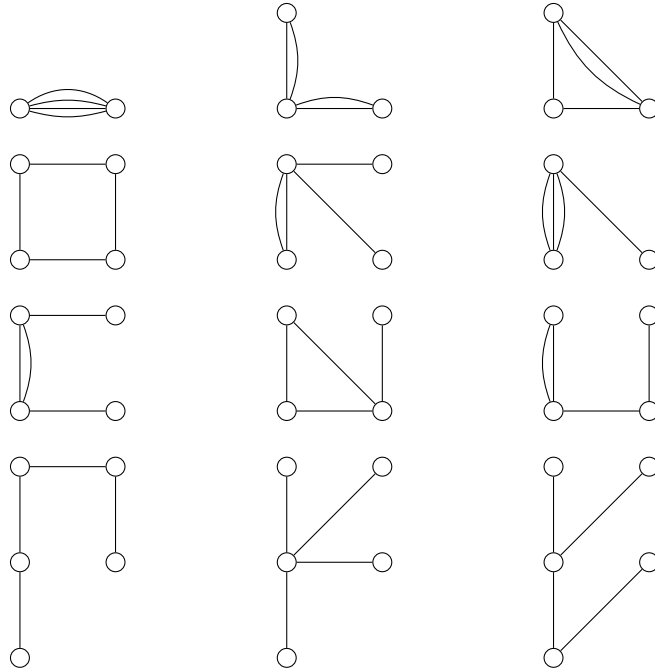


Figura 6.6: Los 12 multigrafos conexos de tamaño 4.

descartar inmediatamente que  $\Phi$  sea isomorfo a  $U_4$ ,  $P_5$  o a  $\overline{D_5}$ . Aplicando en cambio el Teorema 4.3.8, también podemos excluir que sea  $\Phi = v_1v_2v_3v_4$ , con  $\sigma_{23} = 1$ .

Si fuera  $\Phi = abca$ , con  $\sigma_{ac} = 2$ , entonces por la Proposición 4.2.1 tendríamos que  $d_a = d_b = d_c = d_a \pm 1$ , lo cual es absurdo.

Si  $\Phi \approx S_5$ , sea  $v_5$  el vértice de grado 4 en  $S_5$  y sean  $v_i$  sus hojas, para  $1 \leq i \leq 4$ . Aplicando los Teoremas 4.2.3 y 4.2.2 tenemos que los  $v_i$  son todos gemelos entre si en  $S$ , con lo cual  $K = N_1 \cup N_5$ . Por otro lado, como  $S$  no posee vértices universales, tenemos que  $\emptyset = \bigcap_{j=1}^5 N_j = N_1 \cap N_5$ , y, en consecuencia,  $d_1 = 1 = d_5$ , por la Proposición 4.2.1. Luego,  $5 = \alpha \leq \omega = 2$ , un absurdo.

Si  $\Phi \approx C_4 = v_1v_2v_3v_4v_1$ , entonces  $N_1 = N_3$  y  $N_2 = N_4$ , por los Teoremas 4.2.3 y 4.2.2, con lo cual  $K = N_1 \cup N_2$ . Por otro lado, como  $S$  no posee vértices universales, tenemos que  $\emptyset = \bigcap_{i=1}^4 N_i = N_1 \cap N_2$ , y, en consecuencia,  $d_1 = 1 = d_2$ , por la Proposición 4.2.1. Luego,  $4 = \alpha \leq \omega = d_1 + d_5 = 2$ , un absurdo.

Si  $\Phi = v_1v_2v_3v_4$ , con  $\sigma_{23} = 2$ , entonces podemos suponer sin pérdida de generalidad que  $d_2 \leq d_3$ . Luego,  $d_1 = d_2, d_3 = d_1 + 1 = d_4, N_2 \subset N_4$  y  $N_1 \subset N_3, N_4$ , por la Proposición 4.2.1. Entonces,  $K = N_3 \cup N_4$ . Como  $S$  no posee vértices universales, tenemos que  $\emptyset = \bigcap_{i=1}^4 N_i = N_1 \cap N_2$ , y, en consecuencia,  $d_1 = 1$ , por la Proposición 4.2.1. Así,  $d_3 = 2$  y  $\eta_{34} = 1$ , de nuevo por la Proposición 4.2.1. Finalmente, obtenemos que  $4 = \alpha \leq \omega = d_3 + d_4 - \eta_{34} = 3$ , un absurdo.

Si  $E(\Phi) = \{2v_1v_2, v_2v_3, v_2v_4\}$ , entonces  $d_3 = d_2 = d_4, |d_2 - d_1| = 1$  y  $N_3 = N_4$ , por la Proposición 4.2.1. Si  $d_2 = d_1 + 1$ , entonces  $N_1 \subset N_3$ , con lo cual  $K = N_2 \cup N_3$ . Como  $S$  no posee vértices universales, tenemos que  $\emptyset = \bigcap_{i=1}^4 N_i = N_1 \cap N_2$ , y, en consecuencia,  $d_1 = 1$ , por la Proposición 4.2.1. Así,  $\eta_{23} = 1$ , de nuevo por la Proposición 4.2.1. Finalmente, obtenemos que  $4 = \alpha \leq \omega = d_2 + d_3 - \eta_{23} = 3$ , un absurdo. El caso  $d_1 = d_2 + 1$  se reduce a un absurdo con argumentos similares.

Si  $I = \{a, b\}$ , entonces  $N_a \cap N_b = \emptyset$ , pues  $S$  no tiene vértices universales. Luego,  $\omega = d_a + d_b$  y  $4 = \sigma_{ab} = d_a d_b$ , por la Proposición 4.2.1. Siendo  $d_a \leq d_b$ , concluimos entonces que  $(d_a, d_b, \omega) \in \{(1, 4, 5), (2, 2, 4)\}$ . Las realizaciones de estas ternas las llamamos respectivamente  $D_{41}$  y  $D_{22}$ ; las mismas se muestran junto con su complemento en la Figura 6.7. Si  $\Phi = abc$ , con  $\sigma_{bc} = 3$ , entonces  $d_a = d_b$  y  $|d_c - d_b| = 2$ , por la Proposición 4.2.1. Si  $d_c = d_b + 2$ , se sigue por la Proposición 4.2.1 que  $N_a \subset N_c$ , con lo cual  $K = N_b \cup N_c$ . Como  $S$  no posee vértices universales, tenemos que  $\emptyset = N_a \cap N_b \cap N_c = N_a \cap N_b$ , y, en consecuencia,  $d_a = 1$ , por la Proposición 4.2.1. Así,  $\eta_{bc} = 0$ , de nuevo por la Proposición 4.2.1. Luego,  $\omega = d_b + d_c = 4$ , de modo que, tenemos una realización para  $S$  que llamamos  $F_{311}$ . Si  $d_b = d_c + 2$ , se sigue por la Proposición 4.2.1 que  $N_c \subset N_a$ , con lo cual  $K = N_a \cup N_b$ . Como  $S$  no posee vértices universales, tenemos que  $\emptyset = N_a \cap N_b \cap N_c = N_b \cap N_c$ , y, en consecuencia,  $d_c = 1$ , por la Proposición 4.2.1. Así,  $\eta_{ab} = 2$ , de

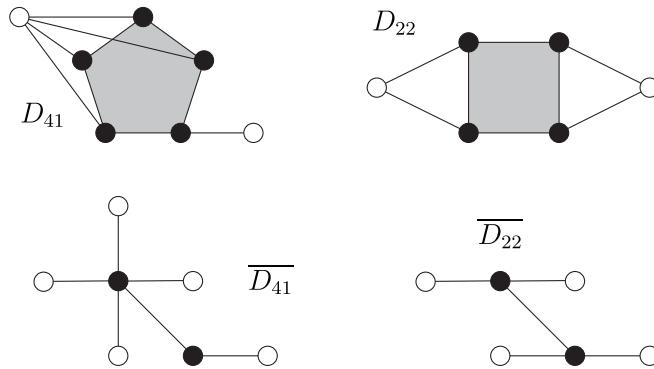


Figura 6.7: Los grafos split primos  $D_{41}, D_{22}$  y sus complementos.

nuevo por la Proposición 4.2.1. Luego,  $\omega = d_a + d_b - \eta_{ab} = 4$ , de modo que, obtenemos otra realización para  $S$  que llamamos  $F_{331}$ . Los grafos  $F_{311}, F_{331}$  y sus complementos se muestran en la Figura 6.8. Sea  $\Phi = abc$ , con  $\sigma_{ab} =$

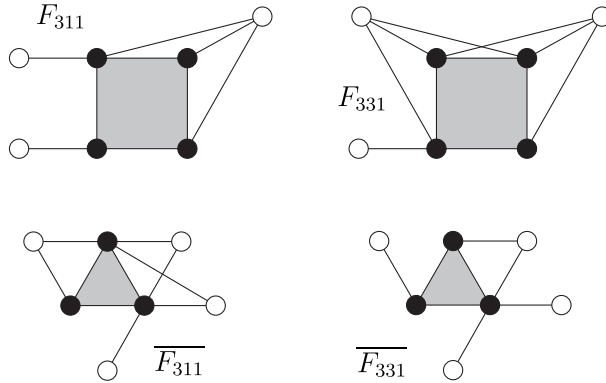


Figura 6.8: Los grafos split primos  $F_{311}, F_{331}$  y sus complementos.

2. Entonces  $|d_b - d_a| = 1 = |d_c - d_b|$ , por la Proposición 4.2.1. Si  $d_b = d_a + 1$  y  $d_c = d_a$ , se sigue por la Proposición 4.2.1 que  $N_a = N_c$ , con lo cual  $K = N_a \cup N_b$ . Como  $S$  no posee vértices universales, tenemos que  $\emptyset = N_a \cap N_b \cap N_c = N_a \cap N_b$ , y, en consecuencia,  $d_a = 1$ , por la Proposición 4.2.1. Luego,  $\omega = d_a + d_b = 3$ , de modo que, tenemos una realización para  $S$  que llamamos  $R_{211}$ . Si  $d_b = d_a + 1$  y  $d_c = d_a + 2$ , se sigue por la Proposición 4.2.1 que  $N_a \subset N_c$ , con lo cual  $K = N_b \cup N_c$ . Como  $S$  no posee vértices universales, tenemos que  $\emptyset = N_a \cap N_b \cap N_c = N_a \cap N_b$ , y, en consecuencia,  $d_a = 1$ , por la Proposición 4.2.1. Así,  $\eta_{bc} = 1$ , de nuevo por la Proposición 4.2.1. Luego,  $\omega = d_b + d_c - \eta_{bc} = 4$ , de modo que, obtenemos otra realización para  $S$  que llamamos  $R_{321}$ . Por último, si  $d_a = d_b + 1$  y  $d_a = d_c$ , entonces mediante razonamientos análogos se obtiene  $\overline{R_{211}}$ . Los grafos  $R_{211}, R_{321}$  y sus

complementos se muestran en la Figura 6.9.

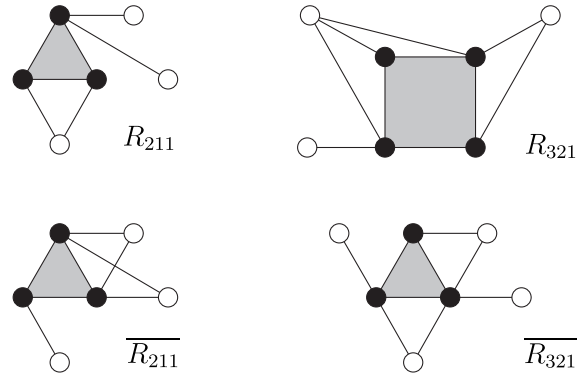


Figura 6.9: Los grafos split primos  $R_{211}$ ,  $R_{321}$  y sus complementos.

# Capítulo 7

## Conclusiones

De todos los resultados obtenidos a lo largo de este trabajo, queremos destacar los siguientes.

**Teorema 7.0.1.** *Todo espacio de transición  $\mathcal{X} \preceq \mathcal{G}(s)$  es isomorfo a su espacio activo asociado:*

$$\mathcal{X} \approx \mathcal{X}^*.$$

**Teorema 7.0.2.** *Sea  $k \leq 3$  y sea  $X$  un grafo de grado  $k$  tal que ni  $U_6$  ni  $\overline{U}_6$  (ver la Figura 6.4) aparecen como factores en la descomposición de Tyshkevich de  $X$ . Entonces,  $\deg(\tau(X)) = k$ , para todo 2-switch  $\tau$ . En otras palabras,  $\mathcal{G}(X)$  es  $k$ -regular.*

**Teorema 7.0.3.** *Si  $S$  es un grafo split y  $G$  es un grafo, entonces:*

1.  $\deg(S \circ G) = \deg(S) + \deg(G)$ ;
2. si  $S$  es balanceado, entonces  $[S \circ G] = [S] \circ [G]$ .

**Teorema 7.0.4.** *Si  $G$  es un grafo, entonces*

$$\deg(G) + \zeta_2(G) = \|G\|^2 + 2c_4(G) + 3k_3(G) - 4k_4(G).$$

**Teorema 7.0.5.** *Sea  $S$  un grafo split activo. Entonces  $S$  es primo si y solo si  $\Phi(S)$  es conexo.*

**Teorema 7.0.6.** *Todo grafo activo y libre de gemelos puede escribirse de manera única como composición de grafos elementales.*

**Teorema 7.0.7.** *Sea  $(S, K, I)$  un grafo split tal que  $\Phi(S)$  es simple y completo, y sea  $U$  el conjunto de vértices universales de  $S$ . Si  $\bigcup_{v \in I} N_v = K$ ,  $\omega = |K|$  y  $\alpha = |I| \geq 2$ , entonces:*

1.  $S$  es homogéneo;
2. si  $d$  es el grado en  $S$  de los vértices en  $I$ , entonces  $1 \leq d \leq \omega - 1$ ;
3.  $|U| \in \{d - 1, d + 1 - \alpha\}$ ;
4.  $|U| = d - 1$  si y solo si  $\omega = \alpha + d - 1$ ;
5.  $|U| = d + 1 - \alpha$  si y solo si  $\omega = d + 1$ ;
6.  $\omega = \alpha + |U|$  (en particular,  $\omega \geq \alpha$ );
7.  $S$  es activo si y solo si  $U = \emptyset$ ;
8. Si  $S$  es activo, entonces  $\omega = \alpha$  y  $d \in \{1, \omega - 1\}$ ;
9. si  $\omega = \alpha$  o  $d = 1$ , entonces  $S$  es activo;

**Teorema 7.0.8.** Dado un grafo split  $(S, K, I)$  con  $|K| \leq |I|$ , consideremos el grafo split asociado  $(R, K, I)$  tal que  $\deg_R(v) = 1$  para todo  $v \in I$ , donde  $u \cong_R v$  si y solo si  $\sigma_{uv}(S) = 0$ , para todo  $\{u, v\} \subseteq I$ . Entonces  $S$  es activo y  $\Phi(S)$  es simple y conexo, si y solo si  $S$  es isomorfo a  $R$  o a  $\overline{R^i}$ .

**Teorema 7.0.9.** Sea  $S$  un grafo split y sea  $\Phi = \Phi(S)$ .

1. Si  $C$  es un ciclo inducido en  $\Phi$ , entonces  $|C| \leq 4$ .
2. Si  $\Phi$  es conexo, entonces  $\text{diam}(\Phi) \leq \lceil (\deg(S) + 1)/2 \rceil$ .

**Teorema 7.0.10.** Si  $S$  es un grafo split  $n$ -simple y  $\vec{\Phi}(S) = \Delta_0$  (ver la Figura 4.5), entonces  $n \in \mathbb{N}(\Delta)$ .

**Teorema 7.0.11.** Si  $n \in \mathbb{N}(\Delta)$ , sea  $(x, y, z)$  una terna de divisores de  $n$  que satisface (5.2). Entonces existe un grafo split balanceado y  $n$ -simple  $(S, K, I)$  tal que  $\vec{\Phi}(S) = \Delta_0$  (ver la Figura 4.5). Más aún, si  $y \leq z$ , tenemos que  $S$  posee las siguientes propiedades:

1.  $d_b = d_a + \frac{n}{z} - z, d_c = d_a + \frac{n}{x} - x$ ;
2.  $\eta_{ab} = d_a - z, \eta_{bc} = d_a + \frac{n}{z} - z - y, \eta_{ac} = d_a - x$ ;
3.  $d_a \geq z$ ;
4.  $|K| = \frac{n}{x} + z + y + \eta_{abc}$ , donde  $\eta_{abc} = |N_a \cap N_b \cap N_c| \geq d_a - x - z$ ;
5. si  $S$  es activo, entonces  $d_a \leq x + z$ ;

6. si  $d_a = z$ , entonces  $S$  es activo.

**Teorema 7.0.12.** *Sea  $S$  un grafo split y sea  $C$  un ciclo inducido  $n$ -simple en  $\Phi(S)$ . Si  $n$  no es un cuadrado y  $n \notin \mathbb{N}(\Delta)$ , entonces  $|C| = 4$ .*

**Teorema 7.0.13.** *Hay infinitos números  $\Delta$ -primitivos.*

A continuación, aportamos también algunas ideas para trabajos a futuro.

- (1). Encontrar un método eficiente para clasificar por grado los grafos primos  $G$  que contienen a  $C_4$  o a  $2K_2$  como subgrafos inducidos, cuando  $\deg(G) \geq 4$ . Puesto que bajo estas condiciones  $G$  no es split, no podemos aplicar directamente las herramientas desarrolladas alrededor del grafo factor  $\Phi$ . Sin embargo, pueden imitarse estas ideas para definir un multigrafo factor más general que pueda usarse en otras familias de grafos.
- (2). Estudiar y/o caracterizar los grafos primos  $G$  cuyo grado es invariante bajo 2-switch, es decir,  $\deg(\tau(G)) = \deg(G)$ , para todo 2-switch  $\tau$ . Esto sería determinante para decidir si un espacio de transición arbitrario (o un dado subespacio inducido del mismo) es o no un grafo regular.
- (3). Investigar como un 2-switch sobre un grafo split  $S$  afecta la estructura de  $\Phi(S)$ .
- (4). La propiedad  $\Delta$  y el estudio de los números naturales que la satisfacen o no, surge desde el estudio de los triángulos  $n$ -simples en  $\Phi$ . Una propiedad análoga emerge analizando los ciclos de tamaño 4 en  $\Phi$ , con lo cual nos proponemos en investigar los números naturales que la satisfacen o no, y su relación con la propiedad  $\Delta$ .
- (5). Decidir si es cierta o no la siguiente conjetura: hay infinitos cuadrados  $\Delta$ -primitivos.

# Apéndice A

## Demostración del Lema 2.1.1

Si  $a$  es un vértice inactivo de un grafo  $G$ , entonces  $a$  también es inactivo en  $\tau(G)$ , para todo 2-switch  $\tau$ .

*Demostración.* Sea  $\tau = \begin{pmatrix} x & z \\ y & u \end{pmatrix}$ . Supongamos que  $a$  es inactivo en  $G$ , pero activo en  $\tau(G) \neq G$ . Entonces,  $a \notin \{x, z, y, u\}$  (de lo contrario,  $a$  sería activo en  $G$ ). Dado que  $a$  es activo en  $\tau(G)$ , debe haber un 2-switch  $\tau'$  que reemplace las aristas  $av$  y  $e$  en  $\tau(G)$ , para algún  $v \in V(\tau(G))$  y  $e \in E(\tau(G))$ . Podemos distinguir dos casos principales:

- (1)  $e \in \{xy, zu\}$ ,
- (2)  $e \notin \{xy, zu\}$ .

Caso (1): Supongamos, sin pérdida de generalidad, que  $e = xy$  y sea  $H$  el subgrafo de  $G$  inducido por  $\{a, v, x, y\}$ . Si  $av \notin G$ , entonces  $\tau$  necesariamente activa a  $a$  (porque  $av \in \tau(G)$ ), lo cual contradice el hecho de que  $a$  sea inactivo en  $G$ . Por lo tanto,  $av \in H$ . Claramente,  $\deg(H) = 0$  (porque  $a \in H \in Q_G$  y  $a \notin \text{act}(G)$ ).

Sea  $H'$  el subgrafo de  $\tau(G)$  inducido por  $\{a, v, x, y\}$ . Dado que  $\deg(H') \neq 0$  (gracias a  $\tau'$ ), tenemos cuatro posibilidades para  $E(H')$  (sin pérdida de generalidad):

- (1.1)  $\{ax, xy, yv, va\}$ ,
- (1.2)  $\{av, xy\}$ ,
- (1.3)  $\{va, ax, xy\}$ ,
- (1.4)  $\{av, vy, yx\}$ .

Es evidente que  $H \neq H'$ , porque  $\deg(H) \neq \deg(H')$ . Ahora, recordemos que  $G = \tau(G) - xy - zu + xz + uy$ . En particular,  $xy, zu \notin H$ . Si  $v \notin \{u, z\}$ ,

entonces  $zu, xz$  y  $uy$  no pueden pertenecer a  $H$  (por definición de  $H$ ), y por lo tanto  $H = H' - xy$ . Si  $v = u$ , tenemos  $vy = uy \in H$  y  $xz \notin H$ , y por ende  $H = H' - xy + uy$ . Si  $v = z$ , entonces  $xv = xz \in H$  y  $uy \notin H$ , con lo cual  $H = H' - xy + xz$ .

Caso (1.1): Si  $v \neq z$ , entonces  $H \approx P_4$  y, por lo tanto,  $\deg(H) \neq 0$ , lo cual es una contradicción. Si  $v = z$ , centrémonos en las aristas  $av$  y  $uy$  en  $G$ . Dado que  $a \notin \text{act}(G)$ , la arista  $ay$  o  $uz$  debe estar en  $G$ , lo cual también es una contradicción (porque  $E(H) = \{ax, yx, ay, xz\}$  y debido a la definición de  $\tau$ , respectivamente).

Caso (1.2): Si  $v \notin \{u, z\}$ , centrémonos en las aristas  $av$  y  $xz$  en  $G$ . Dado que  $a \notin \text{act}(G)$ , al menos uno de los siguientes cuatro triángulos debe estar en  $G$ :  $azxa, vxzv, xvax, zvaz$ . Ya que  $ax, vx \notin G$ , podemos descartar  $azxa, vxzv$  y  $xvax$ . Luego, enfoquemos nuestra atención en las aristas  $az$  y  $uy$  en  $G$ . Dado que  $a \notin \text{act}(G)$ , al menos uno de los siguientes cuatro triángulos debe estar en  $G$ :  $ayua, zyuzy, yzay, uzau$ . Esto es una contradicción porque  $ay, zu \notin G$ .

Caso (1.3): Si  $v \notin \{u, z\}$ , centrémonos en las aristas  $av$  y  $xz$  en  $G$ . Dado que  $a \notin \text{act}(G)$ , la arista  $az$  o  $vx$  debe estar en  $G$ . Pero  $E(H) = av, ax$ , y por lo tanto se descarta el caso  $vx \in G$ . Ahora, miremos las aristas  $az$  y  $uy$  en  $G$ . Dado que  $a \notin \text{act}(G)$ , al menos uno de los siguientes cuatro triángulos debe estar en  $G$ :  $auya, zuyz, yazy, uazu$ . Esto es una contradicción porque  $ay, zu \notin G$ .

Caso (1.4): Si  $v \notin \{u, z\}$ , centremos nuestra atención en las aristas  $av$  y  $xz$  en  $G$ . Dado que  $a \notin \text{act}(G)$ , al menos uno de los siguientes cuatro triángulos debe estar en  $G$ :  $azxa, xvax, vxzv, zvaz$ . Los tres primeros triángulos se pueden descartar porque  $ax, vx$  y  $xz$  no están en  $G$ . Ahora, observemos las aristas  $az$  y  $uy$  en  $G$ . Dado que  $a \notin \text{act}(G)$ , al menos uno de los siguientes cuatro triángulos debe estar en  $G$ :  $auya, zuyz, yazy, uazu$ . Esto es absurdo porque  $zu, ay \notin G$ .

Caso (2): Supongamos que  $e = bc \notin \{xy, zu\}$  y sea  $H$  el subgrafo de  $G$  inducido por  $\{a, v, b, c\}$ . Dado que  $a \notin \text{act}(G)$  y  $a \in H \in Q_G$ ,  $H$  tiene grado 0. Si  $av \notin G$ , entonces  $\tau^{-1}$  activa a  $a$  (porque  $av \in \tau(G)$ ), lo que contradice el hecho de que  $a$  sea inactivo en  $G$ . Por lo tanto,  $av \in H$ . Dado que  $bc \notin \{xy, zu\}$  según la hipótesis,  $\tau^{-1}$  no lo reemplaza y, por lo tanto,  $bc \in H$ .

Sea  $H'$  el subgrafo de  $\tau(G)$  inducido por  $\{a, v, b, c\}$ . Claramente,  $\deg(H) \neq \deg(H')$  implica  $H \neq H'$ . Por otro lado, es evidente que no podemos obtener  $H$  agregando o eliminando dos aristas en o desde  $H'$  (de lo contrario, sería  $H' = \tau(H) = H$ , lo que es una contradicción). Por lo tanto, la única posibilidad es obtener  $H$  agregando o eliminando una sola arista en o desde  $H'$ . Dado que  $\deg(H') \neq 0$ , tenemos cuatro posibilidades para  $E(H')$  (sin

pérdida de generalidad):

$$(2.1) \{av, bc\},$$

$$(2.2) \{ab, bc, cv, va\},$$

$$(2.3) \{av, vc, cb\},$$

$$(2.4) \{va, ab, bc\}.$$

Caso (2.1): Dado que  $av, bc \in H$ ,  $\tau^{-1}$  debe agregar una arista en  $H'$  para transformarlo en  $H$ . Hay cuatro formás de hacerlo, pero en todos estos casos  $H \approx P_4$ , lo cual es imposible porque  $\deg(P_4) = 1$ .

Caso (2.2): La eliminación de cualquier arista en  $H'$  resulta en un grafo  $\approx P_4$ . Por lo tanto,  $H = H' + bv$  o  $H = H' - cv + bv$ , porque  $\tau^{-1}$  no activa a  $a$  (no podemos agregar o eliminar  $ac$  o  $ab$  en  $H'$ ).

Si  $H = H' + bv$ , es evidente que  $bv \in \{xz, uy\}$ . Podemos suponer, sin pérdida de generalidad, que  $b = x$  y  $v = z$ . Luego, observemos que  $u, y \notin H$  (de lo contrario, el subgrafo de  $G$  inducido por  $\{x, y, z, u\}$  tendría grado 0). Consideremos las aristas  $az$  y  $uy$  en  $G$ . Dado que  $a \notin \text{act}(G)$ , al menos uno de los siguientes cuatro triángulos debe estar en  $G$ :  $ayua, zyuzy, yzay, uzau$ . Pero  $uz \notin G$ , por lo que podemos descartar  $zyuz$  y  $uzau$ . Si  $G$  contiene  $ayua$  o  $yzay$ , enfoquémonos en las aristas  $ay$  y  $cx$  en  $G$ . Dado que  $a \notin \text{act}(G)$ , tenemos que  $ac \in G$  o  $xy \in G$ , lo cual es una contradicción.

Si  $H = H' - cv + bv$ , es evidente que  $cv \in \{xy, uz\}$  y  $bv \in \{xz, uy\}$ . Es fácil ver que podemos suponer  $v = x$ , sin pérdida de generalidad, de modo que  $H = H' - xy + xz$  y  $u \notin H$ . Ahora, observemos las aristas  $az$  y  $uy$  en  $G$ . Dado que  $a \notin \text{act}(G)$ , tenemos que  $ac \in G$  o  $uz \in G$ , lo cual es absurdo.

Caso (2.3): Notemos que  $H' - cv \approx 2K_2$  y  $H' - cv + bv \approx P_4$ . Por lo tanto,  $H = H' + bv$ , donde, sin pérdida de generalidad, podemos tomar  $bv = xz$ . Si  $c \in \{u, y\}$ , entonces el subgrafo de  $G$  inducido por  $\{x, y, z, u\}$  tendría grado 0. Por lo tanto,  $c \notin \{u, y\}$ , es decir,  $u, y \notin H$ . Primero, supongamos que  $b = x$  y  $v = z$ . Al considerar las aristas  $az$  y  $uy$  en  $G$ , la prueba continúa exactamente como en el caso (2.2). Ahora, supongamos que  $b = z$  y  $v = x$ . Considere las aristas  $ax$  y  $uy$  en  $G$ . Dado que  $a \notin \text{act}(G)$ ,  $G$  debe contener al menos uno de los siguientes cuatro triángulos:  $ayua, xyux, yxay, uxau$ . Pero  $xy \notin G$ , por lo que podemos descartar  $xyux$  y  $yxay$ . Si  $G$  contiene  $ayua$  o  $uxau$ , enfoquémonos en las aristas  $au$  y  $cz$  en  $G$ . Dado que  $a \notin \text{act}(G)$ , tenemos que al menos uno de los siguientes cuatro triángulos está en  $G$ :  $azca, uczu, cauc, zuaz$ . Esto es una contradicción porque  $ac, uz \notin G$ .

Caso (2.4): Notemos que  $ab$  no puede ser eliminado de  $H'$  por  $\tau^{-1}$  (de lo contrario,  $a$  sería utilizado por  $\tau$ ). Por lo tanto,  $H = H' + bv$ , donde, sin pérdida de generalidad, podemos tomar  $bv = xz$ . Primero, supongamos que  $b = x$  y  $v = z$ . Si  $u, y \notin H$ , considere las aristas  $az$  y  $uy$  en  $G$ , y proceda

como en (2.3). Si  $c = u$ , miremos las aristas  $ax$  y  $uy$  en  $G$ . El hecho de que  $a \notin \text{act}(G)$  implica que  $ac \in G$  o  $xy \in G$ , lo cual es una contradicción. Ahora, suponga que  $b = z$  y  $v = x$ . Si  $u, y \notin H$ , considere las aristas  $ax$  y  $uy$  en  $G$ , y proceda como en (2.2). Si  $c = y$ , observemos las aristas  $az$  y  $uy$  en  $G$ . Puesto que  $a \notin \text{act}(G)$ , debemos tener  $ac \in G$  o  $uz \in G$ , una contradicción.  $\square$

# Apéndice B

## Familias intersecantes de conjuntos

Las familias intersecantes de conjuntos han demostrado ser una herramienta fundamental en combinatoria. Este marco teórico permite describir, analizar y clasificar estructuras complejas a partir de propiedades de intersección entre conjuntos finitos. En particular, las condiciones sobre el tamaño de las intersecciones proporcionan una base sólida para derivar propiedades más amplias que pueden extenderse a contextos estructurales, como es el de los grafos justamente.

En esta sección, exploramos familias de conjuntos con tamaño fijo cuyos elementos cumplen restricciones particulares de intersección, como que el tamaño de la intersección entre dos conjuntos sea constante. Más específicamente, estudiamos familias de conjuntos  $\{N_v : v \in I\}$  que satisfacen estas dos propiedades:

1.  $|N_v| = d$ , para algún  $d \geq 1$  y para todo  $v \in I$ ;
2.  $|N_u \cap N_v| = d - 1$ , para todo  $\{u, v\} \subseteq I$ .

Sorprendentemente, descubrimos que los tamaños de intersecciones arbitrarias y el tamaño de la unión de todos los miembros de la familia, quedan completamente determinados por  $|\bigcap_{v \in T} N_v|$ , donde  $T$  es una terna cualquiera de  $I$ . Este análisis resulta esencial en la Sección 4.2 para caracterizar los grafos split  $S$  tales que  $\Phi(S)$  es simple y completo.

Los primeros dos lemas de esta sección describen como cambia el tamaño de una intersección arbitraria de conjuntos cuando se agrega un nuevo conjunto intersecante. En pocas palabras, mostramos que este queda igual o disminuye en 1.

**Lema B.0.1.** Sea  $\mathcal{N} = \{N_v : v \in I\}$  una familia finita de conjuntos finitos de tamaño  $d$  tal que  $|N_u \cap N_v| = d - 1$  para todo  $\{u, v\} \subseteq I$ . Si  $A \subseteq I$ ,  $|A| \geq 2$  y  $b \in I - A$ , entonces

$$\left| \bigcap_{v \in A \cup b} N_v \right| \in \left\{ \left| \bigcap_{v \in A} N_v \right| - 1, \left| \bigcap_{v \in A} N_v \right| \right\}.$$

En particular:

$$|N_u \cap N_v \cap N_w| \in \{d - 2, d - 1\},$$

para cualquier terna  $\{u, v, w\} \subseteq I$ .

*Demostración.* Sin pérdida de generalidad, podemos tomar  $A = [n - 1]$  y  $b = n$  ( $n \geq 3$ ). Renombramos las intersecciones como  $\bigcap_{v \in A} N_v = M_{n-1}$  y  $N_n \cap M_{n-1} = M_n$ . Obviamente,  $|M_n| \leq |M_{n-1}|$ , ya que  $M_n \subseteq M_{n-1}$ . Supongamos que  $|M_n| \leq |M_{n-1}| - 2$ . Entonces,  $|M_{n-1} - N_n| \geq 2$ . Tomemos  $x, y \in M_{n-1} - N_n$ . Puesto que  $x, y \in M_{n-1}$ , se sigue que en particular  $x, y \in N_1$ . Por lo tanto,  $\{x, y\} \subseteq N_1 - N_n$ , lo cual es absurdo porque la hipótesis implica que  $|N_u - N_v| = 1 = |N_v - N_u|$  para todo  $\{u, v\} \subseteq I$ .  $\square$

**Lema B.0.2.** Sea  $\mathcal{N} = \{N_v : v \in I\}$  una familia finita de conjuntos finitos de tamaño  $d$  tal que  $|N_u \cap N_v| = d - 1$  para todo  $\{u, v\} \subseteq I$ . Si  $W$  es un subconjunto arbitrario de  $I$  con al menos 4 elementos, entonces:

1. si  $|\bigcap_{v \in W-x} N_v| = d - 1$  para algún  $x \in W$ , entonces

$$\left| \bigcap_{v \in W} N_v \right| = \left| \bigcap_{v \in W-x} N_v \right|;$$

2. si  $|\bigcap_{v \in W-x} N_v| = d + 2 - |W|$  para algún  $x \in W$ , entonces

$$\left| \bigcap_{v \in W} N_v \right| = \left| \bigcap_{v \in W-x} N_v \right| - 1.$$

*Demostración.* Sin pérdida de generalidad, tomamos  $W = [n]$  y  $x = n$ , para  $n \geq 4$ , de modo que  $W - x = [n - 1]$ . Si  $M_k = \bigcap_{v=1}^k N_v$  ( $k \in [n]$ ), entonces  $|M_n| \in \{|M_{n-1}| - 1, |M_{n-1}|\}$ , por el Lema B.0.1.

Supongamos que  $|M_{n-1}| = d - 1$ , pero  $|M_n| = |M_{n-1}| - 1$ . Entonces, podemos encontrar elementos  $a, b \in N_n - M_{n-1}$ . Dado que  $a, b \notin M_{n-1}$ , existen  $i, j \in [n - 1]$  tales que  $a \notin N_i$  y  $b \notin N_j$ . Si  $i = j$ , entonces  $\{a, b\} \subseteq N_n - N_i$ , lo cual es una contradicción. Por lo tanto, debe ser  $i \neq j$  y podemos

asumir sin pérdida de generalidad que  $i = 1$  y  $j = 2$ . Es decir,  $a \in N_n - N_1$  y  $b \in N_n - N_2$ . Llamemos  $x_1$  al único elemento en  $N_1 - M_{n-1}$ . Si  $x_1 \neq b$ , entonces  $\{a, b\} \subseteq N_1 - N_n$ , lo cual es absurdo. Por lo tanto,  $x_1 = b$  y  $N_1 = b \dot{\cup} M_{n-1}$ . Usando argumentos similares, es fácil deducir que  $N_2 = a \dot{\cup} M_{n-1}$ . Sea  $x_3$  el único elemento en  $N_3 - M_{n-1}$ . Luego,  $N_3 = x_3 \dot{\cup} M_{n-1}$ . Si  $x_3 \in \{a, b\}$ , entonces  $N_3 = N_1$  o  $N_3 = N_2$ , lo cual es absurdo. Si  $x_3 \notin \{a, b\}$ , entonces  $\{a, b\} \subseteq N_n - N_3$ , otra contradicción. Con esto, queda demostrado el ítem (1).

Supongamos ahora que  $|M_{n-1}| = d + 2 - n$ , pero  $|M_n| = |M_{n-1}|$ . Entonces,  $M_n = M_{n-1}$ , porque  $M_n \subseteq M_{n-1}$  y  $|M_n| = |M_{n-1}|$ . Observemos que  $N_n - M_n = \bigcup_{v=1}^{n-1} (N_n - N_v)$ . Dado que  $|\bigcup_{v=1}^{n-1} (N_n - N_v)| = |N_n| - |M_n| = n - 2$  y  $|N_n - N_v| = 1$  para todo  $v \in [n - 1]$ , existe exactamente una repetición entre la unión de esos singles. Por lo tanto, podemos suponer sin pérdida de generalidad que  $N_n - N_1 = \{a\} = N_n - N_2$  y  $|N| = n - 3$ , donde  $N = \bigcup_{v=3}^{n-1} (N_n - N_v)$ . Dado que  $|N_1 \cap N_n| = d - 1$  y  $|N_1| = d$ , tenemos que  $N_1 = x_1 \dot{\cup} M_n \dot{\cup} N$ , para algún elemento  $x_1 \notin N_n$ . Del mismo modo:  $N_2 = x_2 \dot{\cup} M_n \dot{\cup} N$  para algún  $x_2 \notin N_n$ . Como  $N_n = a \dot{\cup} M_n \dot{\cup} N$ , es evidente que  $|N_1 \cap N_2 \cap N_n| = |M_n \dot{\cup} N| = d - 1$ . Entonces,  $|M_n| = d - 1$ , por (1), y en consecuencia  $n = 3$ , lo cual es una contradicción. Finalmente, queda demostrado también el ítem (2).  $\square$

El esfuerzo hecho en los primeros lemas de esta sección es bien recompensado en los resultados que siguen. A continuación, se muestra que el tamaño de intersecciones arbitrarias se restringe a dos valores posibles.

**Proposición B.0.3.** *Sea  $\mathcal{N} = \{N_v : v \in I\}$  una familia finita de conjuntos finitos de tamaño  $d$  tal que  $|N_u \cap N_v| = d - 1$  para todo  $\{u, v\} \subseteq I$ . Si  $W$  es un subconjunto no vacío de  $I$ , entonces*

$$\left| \bigcap_{v \in W} N_v \right| \in \{d + 1 - |W|, d - 1\}.$$

*Demostración.* Procedemos por inducción sobre  $n = |W|$ . El caso  $n \leq 2$  forma parte de las hipótesis. El caso  $n = 3$  es cierto por el Lema B.0.1. Ahora, supongamos que la afirmación es válida para cada  $W' \subseteq I$  tal que  $4 \leq |W'| < n$ . Sin pérdida de generalidad, tomamos  $W = [n]$ . Si  $M_k = \bigcap_{v=1}^k N_v$  ( $k \in [n]$ ), entonces  $|M_{n-1}| \in \{d - 1, d + 2 - n\}$ , por hipótesis inductiva. Si  $|M_{n-1}| = d - 1$ , entonces  $|M_n| = d - 1$ , por el ítem (1) del Lema B.0.2. Si  $|M_{n-1}| = d + 2 - n$ , entonces  $|M_n| = d + 1 - n$ , por el ítem (2) del Lema B.0.2.  $\square$

La siguiente proposición nos dice que el tamaño de una intersección arbitraria de 3 o más conjuntos está determinado por el tamaño de la intersección

de solamente 3 de ellos, y viceversa. Además, intersecciones de la misma cantidad de conjuntos tienen el mismo tamaño.

**Proposición B.0.4.** *Sea  $\mathcal{N} = \{N_v : v \in I\}$  una familia finita de conjuntos finitos de tamaño  $d$  tal que  $|N_x \cap N_y| = d - 1$  para todo  $\{x, y\} \subseteq I$ . Luego, tenemos lo siguiente:*

1. *si  $A \subseteq I$  y  $|A| \geq 3$ , entonces*

$$\left| \bigcap_{v \in A} N_v \right| = d - 1$$

*si y solo si existe una terna  $T \subseteq A$  tal que  $|\bigcap_{v \in T} N_v| = d - 1$ ;*

2. *si  $A \subseteq I$  y  $|A| \geq 3$ , entonces*

$$\left| \bigcap_{v \in A} N_v \right| = d + 1 - |A|$$

*si y solo si existe una terna  $T \subseteq A$  tal que  $|\bigcap_{v \in T} N_v| = d - 2$ ;*

3. *si  $A, B \subseteq I$  y  $|A| = |B| \geq 1$ , entonces*

$$\left| \bigcap_{v \in A} N_v \right| = \left| \bigcap_{v \in B} N_v \right|.$$

*Demostración.* (1)-(2). Si  $|A| = 3$ , entonces tanto (1) como (2) son trivialmente ciertos. Sea entonces  $|A| \geq 4$ . La vuelta en ambos ítems se obtiene fácilmente por inducción sobre  $|A|$  utilizando el Lema B.0.2. Veamos ahora la ida de (1). Supongamos que ninguna terna de  $A$  cumpla lo requerido. Luego, por el Lema B.0.1, tenemos que  $|\bigcap_{v \in T} N_v| = d - 2$  para toda terna  $T \subseteq A$ . Dado que  $\bigcap_A N_v \subseteq \bigcap_T N_v$  implica  $|\bigcap_A N_v| \leq |\bigcap_T N_v|$ , llegamos finalmente a un absurdo. Para la ida de (2), supongamos nuevamente que ninguna terna de  $A$  cumpla lo requerido. Luego, por el Lema B.0.1, tenemos que  $|\bigcap_T N_v| = d - 1$  para toda terna  $T \subseteq A$ , con lo cual  $|\bigcap_A N_v| = d - 1$ , por (1). Pero entonces  $d + 1 - |A| = d - 1$  implica  $|A| = 2$ , una contradicción.

(3). Sea  $n = |A| = |B|$ . El caso  $n \leq 2$  es la hipótesis general. Si  $n \geq 3$ , supongamos que  $|\bigcap_A N_v| = d - 1$  y  $|\bigcap_B N_v| = d + 1 - n$ . Por los ítems (1) y (2), existen entonces ternas de elementos  $T_1$  y  $T_2$  tales que  $T_1 \subseteq A, T_2 \subseteq B, |\bigcap_{T_1} N_v| = d - 1$  y  $|\bigcap_{T_2} N_v| = d - 2$ . Dado que  $T_1, T_2 \subseteq A \cup B$ , podemos aplicar nuevamente (1) y (2) para inferir que

$$d - 1 = \left| \bigcap_{v \in A \cup B} N_v \right| = d + 1 - |A \cup B|.$$

Luego,  $|A \cup B| = 2$ . Esto es imposible ya que  $n \geq 3$  implica  $|A \cup B| \geq 4$ .  $\square$

Antes de seguir necesitamos recordar un resultado bien conocido que, mediante el **principio de inclusión-exclusión** (también conocido como principio de la criba), relaciona el tamaño de la unión de una familia finita de conjuntos finitos con los tamaños de las intersecciones de los mismos. Dicho resultado afirma que, si  $\{N_v : v \in [\alpha]\}$  es una familia de conjuntos finitos, entonces

$$\left| \bigcup_{v=1}^{\alpha} N_v \right| = \sum_{\emptyset \neq A \subseteq [\alpha]} (-1)^{|A|+1} \left| \bigcap_{v \in A} N_v \right|. \quad (\text{B.1})$$

**Lema B.0.5.** Para todo número natural  $n$ ,

$$\sum_{k=0}^n \binom{n}{k} (-1)^k = 0.$$

*Demostración.* Es una consecuencia del teorema del binomio:

$$0 = ((-1) + 1)^n = \sum_{k=0}^n \binom{n}{k} 1^{n-k} (-1)^k.$$

$\square$

**Lema B.0.6.** Si  $\alpha$  y  $d$  son dos números naturales, entonces

$$\sum_{v=0}^{\alpha} \binom{\alpha}{v} (d+1-v) (-1)^v = 0.$$

*Demostración.* Primero, observemos que vale la siguiente identidad:

$$\begin{aligned} \binom{\alpha}{v} (d+1-v) &= \binom{\alpha}{v} ((d+1-\alpha) + (\alpha-v)) \\ &= \binom{\alpha}{v} (d+1-\alpha) + \frac{\alpha!}{v!(\alpha-v-1)!} \\ &= \binom{\alpha}{v} (d+1-\alpha) + \alpha \binom{\alpha-1}{v}. \end{aligned}$$

Más aún, recordemos que  $\binom{n}{k} = 0$  si  $k > n$ . Finalmente, mediante el uso del Lema B.0.5, obtenemos la identidad requerida de la siguiente manera:

$$\sum_{v=0}^{\alpha} \binom{\alpha}{v} (d+1-v) (-1)^v =$$

$$(d+1-\alpha) \sum_{v=0}^{\alpha} \binom{\alpha}{v} (-1)^v + \alpha \sum_{v=0}^{\alpha} \binom{\alpha-1}{v} (-1)^v =$$

$$\alpha \left( \binom{\alpha-1}{\alpha} (-1)^\alpha + \sum_{v=0}^{\alpha-1} \binom{\alpha-1}{v} (-1)^v \right) = 0.$$

□

Por medio de los lemas técnicos recién desarrollados, vamos a probar a continuación que el tamaño de la unión de todos los conjuntos de la familia está determinado por el tamaño de la intersección de solamente 3 de ellos, y viceversa.

**Proposición B.0.7.** *Sea  $\{N_v : v \in [\alpha], \alpha \geq 3\}$  una familia de conjuntos finitos de tamaño  $d \geq 1$  tal que  $|N_x \cap N_y| = d - 1$  para todo  $\{x, y\} \subseteq [\alpha]$ . Si  $\omega = |\bigcup_{v=1}^{\alpha} N_v|$ , entonces tenemos lo siguiente:*

1.

$$\omega = \alpha + d - 1$$

si y solo si existe una terna  $T \subseteq [\alpha]$  tal que  $|\bigcap_{v \in T} N_v| = d - 1$ ;

2.

$$\omega = d + 1$$

si y solo si existe una terna  $T \subseteq [\alpha]$  tal que  $|\bigcap_{v \in T} N_v| = d - 2$ .

*Demostración.* (1,  $\Leftarrow$ ). Usando el Lema B.0.4, podemos inferir inmediatamente que  $|\bigcap_A N_v| = d - 1$  para todo  $A \subseteq [\alpha]$  tal que  $|A| \geq 2$ . Entonces, aplicando la fórmula (B.1), obtenemos que

$$\omega = \alpha d - (d - 1) \sum_{v=2}^{\alpha} \binom{\alpha}{v} (-1)^v. \quad (\text{B.2})$$

A través del Lema B.0.5 se deriva de inmediato que

$$\sum_{v=2}^{\alpha} \binom{\alpha}{v} (-1)^v = \alpha - 1. \quad (\text{B.3})$$

La fórmula requerida se obtiene ahora sustituyendo (B.3) en (B.2).

(2,  $\Leftarrow$ ). Mediante el Lema B.0.4 deducimos que  $|\bigcap_{v \in A} N_v| = d + 1 - |A|$  para todo  $A \subseteq [\alpha]$  tal que  $A \neq \emptyset$ . Una vez más, aplicamos la fórmula (B.1),

y luego la combinamos con el Lema B.0.6, obteniendo la igualdad requerida del siguiente modo:

$$\begin{aligned}\omega &= - \sum_{v=1}^{\alpha} \binom{\alpha}{v} (d+1-v)(-1)^v = \\ &= \binom{\alpha}{0} (d+1-0)(-1)^0 - \sum_{v=0}^{\alpha} \binom{\alpha}{v} (d+1-v)(-1)^v = d+1.\end{aligned}$$

(1,  $\Rightarrow$ ). Supongamos que  $\omega = \alpha + d - 1$ , pero ninguna terna en  $[\alpha]$  cumpla lo requerido. Luego,  $|\bigcap_T N_v| = d - 2$  para toda terna  $T \subseteq [\alpha]$ , por el Lema B.0.1. Consecuentemente, tenemos que  $\omega = d + 1$ , por (2,  $\Leftarrow$ ). Pero entonces  $\alpha = 2$ , una contradicción.

(2,  $\Rightarrow$ ). Se sigue de (1,  $\Leftarrow$ ) mediante el mismo razonamiento usado en la prueba de (1,  $\Rightarrow$ ).  $\square$

La sección culmina con dos teoremas importantes que reúnen todos los avances parciales obtenidos hasta ahora. Concluimos que el tamaño de la intersección de una sola terna de conjuntos determina el comportamiento de toda la familia, provocando una alta regularidad estructural de la misma. Esta gran “rigidez” combinatoria permite entonces relacionar propiedades locales (como las intersecciones de 2 o 3 conjuntos) y propiedades globales (como la unión de todos los conjuntos) de la familia intersecante.

**Teorema B.0.8.** *Sea  $\{N_v : v \in [\alpha], \alpha \geq 3\}$  una familia de conjuntos finitos de tamaño  $d \geq 1$  tal que  $|N_x \cap N_y| = d - 1$  para todo  $\{x, y\} \subseteq [\alpha]$ . Sea, además,  $\omega = |\bigcup_{v=1}^{\alpha} N_v|$ . Las siguientes afirmaciones son equivalentes:*

1. *existe una terna  $T \subseteq [\alpha]$  tal que  $|\bigcap_{v \in T} N_v| = d - 1$ ;*

2.

$$\left| \bigcap_{v \in A} N_v \right| = d - 1,$$

*para todo  $A \subseteq [\alpha]$  con  $|A| \geq 2$ ;*

3.

$$\omega = \alpha + d - 1.$$

*Demostración.* (1  $\iff$  2). Es el contenido del ítem (1) del Lema B.0.4 en conjunto con una de las hipótesis generales del teorema.

(1  $\iff$  3). Es el contenido del ítem (1) de la Proposición B.0.7.  $\square$

**Teorema B.0.9.** Sea  $\{N_v : v \in [\alpha], \alpha \geq 3\}$  una familia de conjuntos finitos de tamaño  $d \geq 1$  tal que  $|N_x \cap N_y| = d - 1$  para todo  $\{x, y\} \subseteq [\alpha]$ . Sea, además,  $\omega = |\bigcup_{v=1}^{\alpha} N_v|$ . Las siguientes afirmaciones son equivalentes:

1. existe una terna  $T \subseteq [\alpha]$  tal que  $|\bigcap_{v \in T} N_v| = d - 2$ ;

2.

$$\left| \bigcap_{v \in A} N_v \right| = d + 1 - |A|,$$

para todo  $A \subseteq [\alpha]$  con  $A \neq \emptyset$ ;

3.

$$\omega = d + 1.$$

*Demostración.* (1  $\iff$  2). Es el contenido del ítem (2) del Lema B.0.4 en conjunto con las hipótesis generales del teorema.

(1  $\iff$  3). Es el contenido del ítem (2) de la Proposición B.0.7.  $\square$

# Bibliografía

- [1] S. R. Arikati and U. N. Peled. The realization graph of a degree sequence with majorization gap 1 is hamiltonian. *Linear algebra and its applications*, 290(1-3):213–235, 1999.
- [2] M. D. Barrus and D. B. West. The  $a_4$  structure of a graph. *Journal of Graph Theory*, 69(2):97–113, 2012.
- [3] G. Chartrand, L. Lesniak, and P. Zhang. *Graphs & Digraphs*. Textbooks in Mathematics. CRC Press, 2010.
- [4] D. A. Jaume, A. Pastine, and V. Schvöllner. 2-switch transition on unicyclic graphs and pseudoforest. *arXiv preprint arXiv:2103.00618*, 2021.
- [5] D. A. Jaume, A. Pastine, and V. N. Schvöllner. 2-switch: transition and stability on graphs and forests. *arXiv preprint arXiv:2004.11164*, 2020.
- [6] R. Taylor. Constrained switchings in graphs. In *Combinatorial Mathematics VIII: Proceedings of the Eighth Australian Conference on Combinatorial Mathematics Held at Deakin University, Geelong, Australia, August 25–29, 1980*, pages 314–336. Springer, 2006.
- [7] R. Tyshkevich. Decomposition of graphical sequences and unigraphs. *Discrete Mathematics*, 220(1-3):201–238, 2000.